



**FEN BİLİMLERİ ENSTİTÜSÜ
DOKTORA TEZİ**

**TERMAL KAYNAKLARDAN İZOLE ELDE EDİLEN ÇEŞİTLİ *Bacillus*
TÜRLERİNDEN 1,4- β -ENDO KSİLANAZ ENZİMİNİN ÜRETİLMESİ,
SAFLAŞTIRILMASI VE TİCARİ KULLANILABİLİRLİĞİNİN ARAŞTIRILMASI**

Orhan ULUÇAY

Tez Danışmanı: Doç. Dr. Arzu GÖRMEZ

Moleküler Biyoloji ve Genetik Anabilim Dalı

Erzurum

2018

Her hakkı saklıdır



**FEN BİLİMLERİ ENSTİTÜSÜ
DOKTORA TEZİ**

**TERMAL KAYNAKLARDAN İZOLE ELDE EDİLEN ÇEŞİTLİ *Bacillus*
TÜRLERİNDEN 1,4- β -ENDO KSİLANAZ ENZİMİNİN ÜRETİLMESİ,
SAFLAŞTIRILMASI VE TİCARİ KULLANILABİLİRLİĞİNİN ARAŞTIRILMASI**

Orhan ULUÇAY

Tez Danışmanı: Doç. Dr. Arzu GÖRMEZ

Moleküler Biyoloji ve Genetik Anabilim Dalı

Erzurum

2018

Her hakkı saklıdır

T.C.
ERZURUM TEKNİK ÜNİVERSİTESİ
FEN BİLİMLERİ ENSTİTÜSÜ
TEZ ONAY FORMU

**TERMAL KAYNAKLARDAN İZOLE ELDE EDİLEN ÇEŞİTLİ *Bacillus*
TÜRLERİNDEN 1,4- β -ENDO KSİLANAZ ENZİMİNİN ÜRETİLMESİ,
SAFLAŞTIRILMASI VE TİCARİ KULLANILABİLİRLİĞİNİN ARAŞTIRILMASI**

Doç. Dr. Arzu GÖRMEZ danışmanlığında, Orhan ULUÇAY tarafından hazırlanan bu çalışma 20/02/2018 tarihinde aşağıdaki jüri tarafından Moleküler Biyoloji ve Genetik Ana Bilim Dalı'nda Doktora tezi olarak **oybirliği/oy çokluğu (.../...)** ile kabul edilmiştir.

Başkan	: Prof. Dr. Ahmet ADIGÜZEL	İmza	:
Üye	: Doç. Dr. Arzu GÖRMEZ (Danışman)	İmza	:
Üye	: Doç. Dr. Metin ÖĞÜN	İmza	:
Üye	: Yrd. Doç. Dr. Serkan ÖRTÜCÜ	İmza	:
Üye	: Yrd. Doç. Dr. Cem ÖZİÇ	İmza	:

Yukarıdaki sonucu onaylıyorum

Doç. Dr. Arzu Görmez

Enstitü Müdürü

Bu çalışma Kafkas Üniversitesi **2016-FM-24** numaralı BAP projesi kapsamında desteklenmiştir.

Proje No: **2016-FM-24**

ETİK KURALLARA UYGUNLUK BEYANI

Erzurum Teknik Üniversitesi Fen Bilimleri Enstitüsü tez yazım kurallarına uygun olarak hazırladığım bu tez içindeki tüm bilgilerin doğru ve tam olduğunu, bilgilerin üretilmesi aşamasında bilimsel etiğe uygun davrandığımı, yararlandığım bütün kaynakları atıf yaparak belirttiğimi beyan ederim.

20/02/2018

Orhan ULUÇAY

ÖZET

DOKTORA TEZİ

TERMAL KAYNAKLARDAN İZOLE ELDE EDİLEN ÇEŞİTLİ *Bacillus* TÜRLERİNDEN 1,4- β -ENDO KSİLANAZ ENZİMİNİN ÜRETİLMESİ, SAFLAŞTIRILMASI VE TİCARİ KULLANILABİLİRLİĞİNİN ARAŞTIRILMASI

Orhan ULUÇAY

Erzurum Teknik Üniversitesi

Fen Bilimleri Enstitüsü

Moleküler Biyoloji ve Genetik Ana Bilim Dalı

Danışman: Doç. Dr. Arzu GÖRMEZ

Bu çalışmada; Doğu ve Güneydoğu Anadolu bölgesinde bulunan sıcak su kaynaklarından termofilik bakteriler izole edilmiştir. İzole edilen örneklerin morfolojik özellikleri tespit edilerek total ksilanaz aktiviteleri belirlenmiştir. İzole edilen DNA'lardan 16s rDNA bölgeleri PCR ile amplifiye edildikten sonra klonlanmış ve sekans analizleri gerçekleştirilmiştir. Yüksek aktivite gösteren *Bacillus subtilis* türüne ait ksilanaz enzimini kodlayan gen dizileri biyoinformatik analiz yöntemleri ile belirlenmiştir. Nikel affinitesi ile 6X-His takısına sahip rekombinant proteinlerin saflaştırılması gerçekleştirilmiştir. Saflaştırılan enzim ANADOLUCA yöntemi ile kafeslenmiştir. 5 farklı izolat (*Bacillus coagulans*, *Bacillus licheniformis*, *Bacillus subtilis*, *Bacillus thuringiensis* ve *Geobacillus kaustophilus*) tanılanmış olup bunlardan en yüksek aktivite gösteren *B. subtilis* izolatının ksilanazı saflaştırılarak rekombinant olarak üretilmiştir. Rekombinant ve rekombinant nano ksilanaz enziminin her ikisinin de optimum pH'nın 7.0, optimum sıcaklık değerinin ise rekombinant enzim için 68 °C, nano enzim için ise 75 °C olarak belirlenmiştir. Optimum enzim aktivitesi rekombinant enzim için 1803 U/mg, nano enzim için ise 1898 U/mg olduğu belirlenmiştir. İzolatların Km ve Vmax değerleri rekombinant enzim için sırasıyla 2,298 (mM) ve 5,691 (EU/mL.dk.), Nano enzim için ise 2,402 (mM) ve 6,195 (EU/mL.dk.) olarak belirlenmiştir. Metal iyonlarının rekombinant ksilanaz enzimi için MgSO₄ (%80), CuSO₄ (%57), CaCl₂ (%74), ZnSO₄ (%5) ve FeSO₄ (%72), rekombinant nano ksilanaz enzimi için ise MgSO₄ (%85), CuSO₄ (%71), CaCl₂ (%85), ZnSO₄ (%50) ve FeSO₄ (%94) farklı rölatif aktivite gösterdiği belirlenmiştir.

Şubat 2018, 165 sayfa

Anahtar Kelimeler: Termofilik bakteri, *Bacillus subtilis*, 1,4- β -Endo Ksilanaz, 16s rDNA, SDS-PAGE, Anadoluca

ABSTRACT

Ph.D. THESIS

PURIFICATION, PRODUCTION AND INVESTIGATION OF COMMERCIAL USE OF 1,4- β -ENDO XYLANASE IN VARIOUS *Bacillus* SPECIES ISOLATED FROM THERMAL RESOURCES

Orhan ULUÇAY

Erzurum Technical University
Graduate School of Natural and Applied Sciences
Department of Molecular Biology and Genetic
Supervisor: Assoc. Prof. Dr. Arzu GÖRMEZ

In this study; thermophilic bacteria have been isolated from hot water springs in Eastern and Southeastern Anatolia. The morphological characteristics of the isolated samples were identified and total xylanase activities were determined. The 16s rDNA regions from the isolated DNAs were amplified by PCR and then cloning and sequence analysis was performed. Gene sequences coding for xylanase enzyme from *Bacillus subtilis* strain with high activity were determined by bioinformatics analysis methods. Purification of recombinant proteins with 6X-His tag was performed through nickel affinity chromatography. The purified enzyme was caged by the ANADOLUCA method. Five different isolates (*Bacillus coagulans*, *Bacillus licheniformis*, *Bacillus subtilis*, *Bacillus thuringiensis* and *Geobacillus kaustophilus*) were identified and the xylanase from *B. subtilis* isolate which showed highest activity was produced as recombinant enzyme. The optimal pH of both the recombinant and recombinant nano-xylanase enzyme was 7.0, the optimum temperature was 68 °C for the recombinant enzyme and 75 °C for the nano-enzyme. Optimum enzyme activity was determined to be 1803 U/mg for the recombinant enzyme and 1898 U / mg for the nano-enzyme. The K_m and V_{max} values of the isolates were determined to be 2,298 (mM) and 5,691 (EU/mL.dk) for the recombinant enzyme, 2,402 (mM) and 6,195 (EU/mL.dk) for the Nano enzyme, respectively. It was found that the recombinant and nano xylanase showed different relative activity when metal ions were included: recombinant xylanase; MgO₄ (80%), CuSO₄ (57%), CaCl₂ (74%), ZnSO₄ (5%) and FeSO₄ (72%), nano xylanase; MgO₄ (85%), CuSO₄ (71%), CaCl₂ (85%), ZnSO₄ (50%) and FeSO₄ (94%).

February 2018, 165 pages

Keywords: Thermophilic bacteria, *Bacillus subtilis*, 1,4- β -Endo Xylanase, 16s rDNA, SDS-PAGE, Anadoluca

TEŞEKKÜR

Öncelikle tez çalışmamda bana araştırma ve kendimi geliştirme olanağı sağlayan, katkı ve fikirleriyle yol gösteren danışmanım Sayın Doç. Dr. Arzu GÖRMEZ'e, yardımlarını ve laboratuvar deneyimlerini benimle paylaştıkları için Veteriner Fakültesi Mikrobiyoloji ABD Bölüm Başkanı Sayın Prof. Dr. Mitat ŞAHİN ve laboratuvar ekibine, çalışma arkadaşım Uzman Mahmut AYDIN'a, tez çalışmamda büyük emeği geçen ve laboratuvardaki çalışmalarım sırasında beni yalnız bırakmayarak tüm bilgi birikimleri ve bunun yanında maddi manevi tüm özverisiyle ailem kadar yanımda olan Sayın Yrd. Doç. Dr. Cem ÖZİÇ' e saygı ve teşekkürü bir borç bilirim. Aynı zamanda tez çalışmamın desteklenmesinde Kafkas Üniversitesi BAP (2016-FM-24) koordinatörlüğüne teşekkür ederim.

Son olarak hayatımın her anında maddi manevi desteklerini benden hiçbir zaman esirgemeyen, ilgi ve sevgilerini her zaman hissettiğim sevgili aileme hep yanımda oldukları için sonsuz sevgilerimi sunarım.

Orhan ULUÇAY

Şubat 2018

İÇİNDEKİLER

	<u>Sayfa</u>
TEŞEKKÜR	v
İÇİNDEKİLER	vi
ŞEKİLLER DİZİNİ	viii
SİMGELER VE KISALTMALAR	xi
1. GİRİŞ	1
2. KURAMSAL TEMELLER	8
2.1. Enzimler ve Biyoteknolojide Kullanımı	8
2.2. Ksilanaz Enzimi	10
2.2.1. Ksilanaz Enziminin Genel Özellikleri.....	12
2.2.2. Ksilanaz Enziminin Kullanım Alanları	12
2.3. <i>Bacillus</i> Türleri ve Genel Özellikleri	15
2.3.1. <i>Bacillus</i> Türleri ve Biyoteknolojide Kullanımı	16
2.4. Amaç	17
3. MATERYAL ve YÖNTEM	18
3.1. Materyal	18
3.1.1. Biyolojik Materyal	18
3.1.2. Kullanılan Cihazlar	18
3.1.3. Kullanılan Kitler.....	19
3.1.4. Kullanılan Besiyerleri	19
3.1.5. Kullanılan Kimyasallar ve Çözeltiler	20
3.2. Yöntem	21
3.2.1. Biyolojik Materyalin Toplanma Yöntemi	21
3.2.2. Sıcak Su Kaynaklarının Kimyasal Analizi	23
3.2.3. Bakterilerin İzolasyonu	23
3.2.4. Bakteri Örneklerinin Gelişim Gösterdiği Sıcaklıkların Tespiti.....	23
3.2.5. Bakteri İzolatlarının Tanılanması	24
3.2.5.1. Morfolojik Tanılama	24
3.2.5.2. Moleküler Tanılama	25
3.2.6. İzolatların Total Ksilanaz Aktivitesinin Belirlenmesi.....	30

3.2.7. Rekombinant Ksilanaz Üretimi	31
3.2.7.1. Biyoinformatik Analizler	31
3.2.7.2. 1,4- β -endo Ksilanaz Proteinlerine Ait Genlerin Klonlanması	32
3.2.7.3. 1,4- β -endo Ksilanaz Enzimine Ait Proteininin <i>E. coli</i> 'de Heterolog Protein Olarak Üretimi, Saflaştırılması ve Karakterizasyonu	36
3.2.7.4. ANADOLUCA Yöntemi ile Enzimin Kafeslenmesi	40
3.2.7.5. Ksilanaz Enziminin Aktivitesinin Tayini	41
4. ARAŞTIRMA BULGULARI	43
4.1. Sıcak Su Kaynaklarının Kimyasal Analiz Sonuçları	43
4.2. Bakteri İzolatlarının Gelişim Sıcaklıkları	43
4.3. Bakteri İzolatlarının Tanısı	45
4.3.1. Morfolojik Tanılama	45
4.3.2. Moleküler Tanılama	49
4.4. İzolatların Total Ksilanaz Aktivitesi	54
4.5. <i>B. subtilis</i> 'ten Rekombinant Ksilanaz Üretimi	56
4.6. Anadoluca Metoduyla Enzimin Kafeslenmesi	61
4.7. Rekombinant Ksilanaz ve Nano Ksilanaz Enzimlerinin Aktivitesinin Belirlenmesi	64
5. TARTIŞMA ve SONUÇ	69
KAYNAKLAR	79
EKLER	88
ÖZGEÇMİŞ	152

ŞEKİLLER DİZİNİ

Şekil 2.1 Ksilanazların Ksilan Omurgasına Etki Noktaları.....	11
Şekil 2.2 Ksilanaz Enziminin Kristal Yapısı.....	11
Şekil 3.1 A: Köprü sıcak su kaynağı, B: Davut sıcak su kaynağı	22
Şekil 3.2 Davut sıcak su kaynaklarının genel doğal görünümü	22
Şekil 3.3 Sıvı besiyerine ekim yapılan örnekler.....	24
Şekil 3.6 Ni-NTA Agarose Boncuk Sistemi	38
Şekil 4.1 Gram Boyama; A: Davut çamur kaynağı, B: Pasinler su kaynağı.....	45
Şekil 4.2 İzolatların PCR ürünlerinin elektroforez jel sonucu	49
Şekil 4.3 Ksilanaz geninin PCR amplifikasyon sonucunun agaroz jel görüntüsü	56
Şekil 4.4 Ksilanaz geninin (Btx6 izolatı) jel saflaştırma sonucu. M: Marker	57
Şekil 4.5 Ksilanaz genini taşıyan PGEMTeasy plazmidinin kesim sonucu elde edilen agaroz jel görüntüsü. M: Lambda DNA/EcoRI /Hind III Marker, Ürünler; A: PGEMeasy plazmit bant büyüklüğü B: Ksilanaz geni bant büyüklüğü	58
Şekil 4.6 Ni-NTA saflaştırılması sonucu oluşan SDS jelin görüntüsü. M: Marker (SDS-PAGE Moleküler Ağırlık Standartları Broad Range (Bio-RAD, Kat. no:161-0317)), 1: 1 Saat İndüklenmiş, 2: 2 Saat İndüklenmiş, 3: 3 Saat İndüklenmiş ve 4: Total Proteinin SDS Jel Görüntüsü.	60
Şekil 4.7 Rekombinant ksilanaz proteininin Western Blot Analizi ile görüntülenmesi. M: Marker (Kaleidoscope Pretained Standarts BİORAD), 1: 1 Saat İndüklenmiş, 2: 2 Saat İndüklenmiş, 3: 3 Saat İndüklenmiş ve 4: Total Protein Antihistidin ve İkincil Antikor ile yapılan Western Blot görüntüleri	60
Şekil 4.8 Rekombinant Ksilanaz Zeta Boyut Analizi	61
Şekil 4.9 Rekombinant Nano Ksilanaz Zeta Boyut Analizi.....	61
Şekil 4.10 Rekombinant Ksilanaz'ın CD Spektroskopisi	63
Şekil 4.11 Rekombinant Nano Ksilanaz'ın CD Spektroskopisi.....	63
Şekil 4.12 Rekombinant Ksilanaz ve Rekombinant Nano Ksilanaz enziminin optimum aktivite gösterdiği pH	64
Şekil 4.13 Rekombinant Ksilanaz enziminin optimum aktivite gösterdiği sıcaklık	65
Şekil 4.14 Rekombinant Nano Ksilanaz enziminin optimum aktivite gösterdiği sıcaklık.....	65

Şekil 4.15 Rekombinant Ksilanaz enziminin optimum aktivite gösterdiği substrat konsantrasyonu.....	66
Şekil 4.16 Rekombinant Nano Ksilanaz enziminin optimum aktivite gösterdiği substrat konsantrasyonu.....	66
Şekil 4.17 Metal iyonlarının rekombinant Ksilanaz enzimine etki grafiği	67
Şekil 4.18 Metal iyonlarının rekombinant Nano Ksilanaz enzimine etki grafiği.....	67
Şekil 4.19 <i>B. subtilis</i> 'den elde edilen rekombinant Ksilanazın Lineweaver Burke denklemleri ile K_m ve V_{max} değerinin ölçülmesi	68
Şekil 4.20 <i>B. subtilis</i> 'den elde edilen rekombinant Nano Ksilanazın Lineweaver Burke denklemleri ile K_m ve V_{max} değerinin ölçülmesi	68

ÇİZELGELER DİZİNİ

Çizelge 2.1 Mikrobiyal Kaynaklı Enzimler ve Kullanım Alanları	9
Çizelge 3.1 PCR Temel Bileşenleri.....	27
Çizelge 3.2 PCR Reaksiyon Koşulları	27
Çizelge 3.3 Aday genlerin PCR amplifikasyonunda kullanılan primer DNA dizileri	32
Çizelge 4.1 Su örneklerinin kimyasal analizi.....	43
Çizelge 4.2 Bakteri izolatlarının gelişim sıcaklık değerleri	44
Çizelge 4.3 Bakteri izolatlarının morfolojik test sonuçları	46
Çizelge 4.4 İzolatların sekans analiz sonuçları	51
Çizelge 4.5 Farklı saatlerde türlere ait total ksilanaz aktivitesinin ölçümü	55

SİMGELER VE KISALTMALAR

μL	Mikrolitre
ANADOLUCA	AminoAcid Decorated and Light Underpining Conjugation Approach
BHI	Brain Heart İnfusion
CaCl₂	Kalsiyum Klorür
dk	Dakika
DNA	Deoksiribonükleik Asit
DNS	Dinitro Salisilik Asit
EDTA	Etilendiamin tetra asetik asit
L	Litre
LB	Luria Bertani
M	Molar
mg	Miligram
mL	Mililitre
ng	Nanogram
°C	Santigrat
OD	Optik Yoğunluk
RNA	Ribonükleik Asit
Rpm	rounds per minute
SDS	Sodyum Dodesil Sülfat
SDS PAGE	Sodyum Dodesil Sülfat, Poliakrilamit Jel
sn	Saniye
TAE	Tris Asetik Asit EDTA
Tris	2-Amino-2-(hidroksimetil)-1,3-propanediol
Tris-HCl	Tris Hidroklorik asit

1. GİRİŞ

Temelde biyolojik organizmalardaki özel kimyasal reaksiyonların katalizlenmesinde oldukça etkin yeteneğe sahip enzimlerin geneli protein yapıdadır. Enzim sentezleme yeteneğine sahip olan mikroorganizmalarda, enzimler hücre içinde oluşturulur. Bu sentezlenen enzimlerin bir kısmı hücre içinde yapım ve yıkım olaylarına etki için hücre içinde kalır (Gangadhar 2013). Enzimler, her ne kadar canlı hücreler tarafından oluşturulsa da aktivitelerine doğal olmayan ortamlarda da yani '*in vitro*' koşullarda da devam edebilme yeteneğine sahiptir (Temîzkan and Arda 1999). Enzimler hücre içinde gerçekleşen pek çok çalışmanın özgünlüğünü ve hızını düzenledikleri gibi, *In vitro* ortamda da pek çok kimyasal reaksiyonları katalizlemede görev yapmaktadırlar (Ekinci *et al.* 2016).

Canlı yapısında önemli metabolik görevleri olan enzimler; insanoğluna, günlük yaşamının bir parçası olarak ekonomi, gıda, tarım ve sanayii gibi birçok alanda, farklı amaçlarda kullanılarak önemli katkılarda bulunmaktadır (Wiseman 1983). Günümüzde üretim ve kullanım amaçları gittikçe artan enzimlerin eldesi bitkisel, hayvansal ve mikroorganizma kaynaklıdır (Akcan 2011). Gelişen ve büyüyen dünya pazar sektöründe enzimlerin oldukça geniş ve yaygın kullanımı mevcuttur (Turker 2004), bu dağılım oranlarının sanayide deterjan ürünlerinde %29, kâğıt endüstrisinde % 11, deri, tekstil ürünlerinde % 17 ve tarım ve gıda sektöründe ise yaklaşık olarak % 34'lük bir oranda olduğu bilinmektedir (Outtrup and Jorgensen 2002). Daha hızlı çoğalabilme, üretiminin kolay olması, ekstrem koşullarda üreyebilmesi ve hücre yapılarından dolayı mikroorganizmalardan ticari enzim üretimi bilim adamları tarafından oldukça popüler bir çalışma alanı haline gelmiştir (Aehle 2007). Mikroorganizmaların yaşam şartları oldukça değişkenlik göstermektedir. Jeotermal bölgeler ile volkanik alanlardaki yüksek sıcaklıklara sahip bölgelerde yaşayan mikroorganizmalara ek olarak, derin denizlerde, kutuplarda, çok yüksek ya da çok düşük basınç altındaki bölgelerde ve değişken olan aşırı asidik veya bazik pH şartlarına adapte olan ekstremofilik mikroorganizmalar da bulunmaktadır. Bu ekstrem koşullardaki yaşayan organizmalar ve onların sahip oldukları enzimler izole edilerek karakterize edilmişlerdir (Petti and Carroll 2011). Ekstremofil organizmalardan elde edilen enzimler standart enzimlerin aktif olarak çalışmadığı ekstrem şartlarda çalışabilmektedirler (Kulkarni *et al.* 1999). Mikroorganizmalar

bulunduđu dıř ortam řartlarına gre; asidofilik, barofilik, halofilik, alkafilik ve termofilik olarak sınıflandırılmaktadır.

Uchino and Nakane (1981) tarafından yapılan bir alıřmada; termofilik asidofilik bakteri tr olan *Bacillus* sp. 11-1S'ın, ksilan ieren ortamda hcre dıřına ksilanaz enzimi rettiđi bildirilmiřtir.

Bernier *et al.* (1983) tarafından yapılan bir alıřmada; *B. subtilis*'ten kromatografi ile izole edilen bir hcre dıřı ksilanazın kısmi karakterizasyonu neticesinde molekl ađırlıđının 32.000, optimum pH'sının 5.0, optimum sıcaklıđının ise 50   C olduđu tespit edilmiřtir.

Fukusaki *et al.* (1984) tarafından yapılan bir alıřmada; ksilanaz (EC 3.2.1.8) geninin (xyw1) ve ksilanazın hiper reticisi olan *Bacillus pumilus* IPO'nun tam nkleotid dizisi belirlenmiřtir. alıřmada ksilanaz geni iin 684 bp okuma erevesi gzlemlenmiřlerdir.

Honda *et al.* (1985) tarafından yapılan bir alıřmada; alkalofilik *Bacillus* sp. C-125 suřundan Ksilanaz A geni saflařtırılarak klonlanmıřtır.

Paul and Varma (1992) tarafından yapılan bir alıřmada; mezofilik *Bacillus* sp. izolatatının bymesi sırasında karbon kaynađı olarak pirin kabuđunun kullanılması neticesinde, substratın sellozik ve hemisellozik bileřenlerinin paralanmasından sorumlu bir dizi hcre dıřı enzimin salgılandıđı bildirilmiřtir. alıřmada sırasıyla % 1 CMC'ye ve % 0.5 ksilan'a karřı aktif olan 30 kd ve 15.7 kd'lik molekl ađırlıklarına sahip iki nemli glikoprotein kltr spernatantından tespit edilmiř ve afinite kromatografisi kullanılarak kısmen saflařtırılmıřtır. Her iki proteinin de *Km* deđerlerinde, karbonhidrat ieriđinde, pH ve sıcaklık kararlılıklarında farklılık gsterdiđi belirtilmiřtir. Bađlanmış fraksiyon zerinde gerekleřtirilen IEF jel elektroforezi, her iki protein iin de asidik pI (İzoelektrik nokta) saptamıřtır. Bylelikle alıřmada bu proteinlerin katalitik zellikleri arařtırılmıř ve paralanma srecinde olası rolleri tartıřılmıřtır.

Jung and Pack (1993) tarafından yapılan bir çalışmada; *Clostridium thermocellum*'dan izole edilen bir ksilanaz geninin C-terminal bölgesinin ksilanaz etkinliği ile ilgili olmayan bir kısmı çıkarılmıştır. Modifiye ksilanaz geni, *B. subtilis*'e transforme edilmiştir. Ksilanaz geni *B. subtilis*'de iyi ifade edilmiş ve büyüme OD₆₀₀'üne ulaştığında hücre dışı ksilanaz, ml başına 30 üniteye kadar üretilmiştir.

Wolf *et al.* (1995) tarafından yapılan bir çalışmada; ekstraselüler ksilanaz (~rynA) enzimini kodlayan gen, *B. subtilis* 168 DNA'sından 770 bp'lik bir DNA parçası olarak amplifiye edilmiştir. Endo- β -1,4 - glukanaaz ve endo- β , 1,3 - 1,4 - glukanaazı kodlayan genler *B. subtilis* 168'in genomik kütüphanesinden izole edilmiştir. Çalışmada XynA ve eglS dizilerinin *B. subtilis* PAP115'de bulunan ksilanaz ve selülaz genleriyle aynı olduğunu gözlemlenmiştir.

Davoodi *et al.* (1998) tarafından yapılan bir çalışmada; *Bacillus circulans* ksilanaz ve bir disülfid köprü içeren mutantın (SIOOC / N148C) stabilitesi, diferansiyel tarama kalorimetresi (DSC) ve termal inaktivasyon kinetiği ile incelenmiştir. Her iki proteinin termal denatürasyonunun geri döndürülemez olduğu ve görünür geçiş sıcaklığının tarama hızı üzerinde önemli bir bağımlılık gösterdiği bulunmuştur.

Lin *et al.* (1998) tarafından yapılan bir çalışmada; endüstri ve biyoteknoloji alanında yaygın olarak kullanılan *Bacillus* sınıfında yer alan birçok enzim tespit edilmiştir. Sanayi ve ticari sektörde sıklıkla tercih edilen amilaz ve ksilanaz enzimlerinin ticari olarak üretilmelerinde en çok tercih edilen türlerin; *B. amyloliquefaciens*, *B. subtilis* ve *B. licheniformis* türleri olduğu bildirilmiştir.

Cordeiro *et al.* (2002) tarafından yapılan bir çalışmada; termal ortamlardan elde edilen bakterilerin 16s rRNA sekans analizleri çıkarılmış ve izolatların ribozomal DNA sekanslarının % 94 oranında *Bacillus coldoxylolyticus* ve *Bacillus* sp AK1 suşu ile benzer olduğu bildirilmiştir.

Damiano *et al.* (2003) tarafından yapılan bir çalışmada; alkalofilik *B. licheniformis* 77-2'den, mısır samanını içeren ortamda selülaz aktivitesine sahip ve hücre dışı alkaliye dayanıklı bir ksilanaz enzimi üretilmiştir. Okaliptüs Kraft küspesinin

işlenmesine yönelik ham ksilanazın etkinliği değerlendirilmiş, klor tasarrufu ile enzim tarafından işlenmiş ve işlenmemiş pulpa karşılaştırmak için bir biyolojik ağartma deneyi gerçekleştirilmiştir. İki aşamalı ağartmada ClO₂ ve NaOH ekstraksiyonu (DE serisi) kullanılarak yapılmıştır. Enzimatik muamele ile aynı Kappa sayısı ve parlaklık değerini elde etmek için enzimatik olarak muamele edilmemiş numunelere kıyasla sırasıyla % 28.5 ve % 30 daha az ClO₂ gerektiği bildirilmiştir.

Tolan and Collins (2004) tarafından yapılan bir çalışmada; termofil bakterilerden elde edilen ksilanazların yüksek sıcaklıklarda yapılarının tamamen bozulmadığı, sadece ileri derecede olmayan yüzeysel modifikasyonların oluştuğu tespit edilmiştir.

Yapılan birçok araştırmada *Bacillus sp.* suşlarının optimum aktivite gösterdikleri pH aralıklarının farklı değerlerde pH (5.5, 5.6, 6.0, 6.5 ve 7.0) olduğu belirtilmiştir (Blanco *et al.* 1995; Pham *et al.* 1998b; Dhillon and Khanna 2000; Lama *et al.* 2004; Avcioglu *et al.* 2005).

Sapre *et al.* (2005) tarafından yapılan bir çalışmada; ksilanaz enziminin ksilan substratının hidrolizi haricinde başka hiçbir şekilde aktivitesini göstermediği anlaşılmıştır. Enzim aktivitelerinde optimal sıcaklığın 50 °C olduğu görülmüştür. Ksilanaz aktivitesi için optimum pH'nın sırasıyla, 6.5, 8.5 ve 10.5 seviyelerinde olduğu ve enzimin pH değerinin 6.0'dan 10.5'e kadar geniş bir pH aralığında kararlı yapı gösterdiği tespit edilmiştir.

Choudhury *et al.* (2006) tarafından yapılan bir çalışmada; *B. coagulans* izolatından ksilanaz üretimi; çevresel parametrelere, karbon kaynağına ve sallama düzeyi seviyesindeki karbon kaynağının konsantrasyonuna göre incelenmiştir. Kullanılan çeşitli karbon kaynakları arasında buğday tozu yüksek enzim üretimi göstermiştir. Buğday tozundan izole edilen ksilanın, birchwood ksilana kıyasla daha yüksek enzim üretimi sağladığı belirtilmiştir. Çalışmada % 2 buğday tozu ile maksimum 165 IU / ml enzim aktivitesi elde edilmiştir.

Ayyachamy and Vatsala (2007) tarafından yapılan bir çalışmada; tarımsal bitki atıklarından ksilanaz üretimi için katı ekimler optimize edilmiş ve ksilanazın odunsu

olmayan bitki materyalleri üzerindeki biyolojik etkinliđi test edilmiřtir. Enzim yardımlı biyolojik ađartma sonuları; ksilanazın odunsu olmayan bitki hamuru posasının parlaklıđını arttırmada potansiyel uygulama alanı olduđunu gstermiřtir.

Bocchini *et al.* (2008) tarafından yapılan bir alıřmada; *B. circulans* D1 izolatının, hcre dıřı termostabil ksilanazın iyi bir reticisi olduđu belirtilmiřtir. Farklı karbon kaynaklı ksilanaz retimi deđerlendirilmiř ve enzim sentezi eřitli karbon kaynakları ile indklenmiřtir. D-glikoz ve D-arabinoz, bazal ksilanaz dzeylerine yol aarken, D-maltozun enzim sentezinde indkleyici olduđu gzlemlenmiřtir.

Yasinok *et al.* (2010) tarafından yapılan bir alıřmada; topraktan izole edilen *B. pumilus* SBM13 suřundan izole edilen ksilanaz geni dizisinin diđer *B. pumilus* suřlarından elde edilen ksilanaz genlerine % 89-94 benzerlik gsterdiđi belirtilmiřtir.

Garg *et al.* (2011) tarafından yapılan bir alıřmada; katı hal fermantasyonu altında *B. pumilus* ASH'dan ksilanaz retimini optimize etmek iin iki ařamalı istatistiksel tasarım kullanılmıřtır. retim parametrelerinin seimi iin Plackett-Burman tasarımı (PB) kullanılmıřtır. alıřmanın sonucunda pepton, maya zt, inkbasyon sresi, nem seviyesi ve pH, ksilanaz retimi iin kritik faktrler olarak gzlemlenmiřtir.

Battan *et al.* (2012) tarafından yapılan bir alıřmada; pamuklu ve mikro-poli kumařların desikasyonu, *B. pumilus* ASH'den izole edilen termostabil ksilanaz kullanılarak yapılmıřtır. Enzim varlıđında mikropoli kumařların aynı kořullar altında pamuktan daha iyi desizasyon gsterdiđi saptanmıřtır.

Banka *et al.* (2014) tarafından yapılan bir alıřmada; *Escherichia coli*'de, *B. subtilis* M015'den izole edilen ksilanaz ve β -ksilosidaz'ın enzimlerinin klonlanması, ekspresyonu ve karakterizasyonu yapılmıřtır. Genlerin ksilanaz geninin (glikozid hidrolaz (GH) ailesi 11) 213 amino asit ile β -ksilosidazın ise 533 amino asit tarafından (GH ailesi 43) kodlandıđı saptanmıřtır.

Chutani and Sharma (2016) tarafından yapılan bir alıřmada; Hindistan'ın farklı blgelerinden; tarım toprakları ve endstriyel kullanıma aık topraklardan, toplam altmıř

mantar kültürü izole edilmiştir. On beş mantar kültürü ksilanaz ve selülaz üretimi için seçilmiş ve çeşitli primerler (ITS, NS ve MNS) kullanılarak belirlenmiştir. Çalışmanın sonucunda 3811 IU/g ksilanaz ve 9.9 IU/g selülazdan oluşan *Trichoderma longibrachiatum* MDU-6'dan elde edilen enzim kokteyli, çeşitli kağıt atıklarının dejenerasyonu için nicel olarak uygun olduğu tespit edilmiştir.

Gong *et al.* (2016) tarafından yapılan bir çalışmada; iyon değişim kromatografisi kullanılarak, üç farklı endo1,4- β -ksilanaz (An_xyn1, An_xyn2 ve An_xyn3) enziminin, SDS-PAGE ile ayırmış olduğunu tespit etmişlerdir.

Kim *et al.* (2016) tarafından yapılan bir çalışmada; *Acidothermus cellulolyticus*'tan izole edilen ksilanazın heterolog ekspresyonu sağlanmıştır.

Anbarasan *et al.* (2017) tarafından yapılan bir çalışmada; termofilik *Thermoplasma flexuosa* GH10 ksilanazı (TfXYN10A), biyofaz çözücü hidrofilik iyonik sıvılar ile (IL) [EMIM] OAc (Asetat), [EMIM] DMP (2,2-dimetoksipropan) ve [DBNH] OAc'nin varlığında çalışılmıştır. 65-70 °C'de ve TfXYN10A'nın optimum sıcaklık değerinde selüloz içerikli çözülmeyen ksilan, 70-75 °C'de % 1 ksilan ve 75-80 °C'de % 3 ksilan ile çözündürülmüştür. Bu nedenle, çözünür substrat miktarının seviyesinin, yüksek sıcaklıklarda enzim aktivitesini etkilediği belirtilmiştir.

Walia *et al.* (2017) tarafından yapılan bir çalışmada; ksilanaz enzimi ile kağıt hamuru parlaklığının artırılması, çevre kirliliğinin azaltılması ve bununla ilgili biyolojik arındırma işlemlerinin gerçekleştirildiği potansiyel endüstriyel uygulamaları çalışılmıştır.

Zheng (2017) yaptığı bir çalışmada; *Pichia pastoris* GS115'de *B. pumilus* G1-3'den elde edilen rekombinant alkalın ksilanazın (xynG1-3-opt) ekspresyon seviyesini iyileştirmek için *P. pastoris*'da heterojen ekspresyonu için kodon optimizasyonu gerçekleştirilmiştir. Optimize edilmiş gen (xynG1-3-opt) tarafından kodlanan ksilanazın aktivitesinin, 33641 U / mL'ye kadar olduğu belirlenmiş ve bu yabancı türün, xynG1-3 geninden % 37 daha yüksek olduğu belirlenmiştir. Çalışmanın sonucunda, *P. pastoris*'teki rekombinant proteinlerin üretiminin artırılmasına ve alkalın ksilanazın endüstriyel üretiminin geliştirilmesine etkisinin büyük ölçüde katkıda bulunacağı öngörülmüştür.

Zhan *et al.* (2017) tarafından yapılan bir alıřmada; pirinte tanımlanan bir XIP-Tipi ksilanaz inhibitörü geni olan riceXIP, *E. coli*'de klonlanmış ve eksprese edilmiştir. Rekombinant protein riceXIP'in, *Aspergillus niger*'den izole edilen ksilanaza karşı aktif olarak, doğru bir şekilde eksprese olduğu belirtilmiştir. alıřmada transgenik teknikler kullanılarak, riceXIP geninin aşırı ekspresyonu gerçekleştirilmiş ve bitkilerde gen nakavt ve diğeri metotlarla otoburlara karşı bitki savunmasına katkı sağlayacağı açıklanmıştır.

Cano *et al.* (2017) yapmış oldukları alıřmada; % 1 poliakrilamid jel elektroforezi ile farklı kaynaklardan elde edilmiş bakteri ve mantarların, selülaz ve ksilanaz aktivitelerini % 1 (w/v) poliakrilamid jeller kullanarak ayırmışlardır. Bu yöntemin, selülaz ve ksilanaz üreticilerinin taranması, bu aktiviteleri gösteren polipeptidlerin tanımlanması ve moleküler ağırlıklarının belirlenmesi için uygun bir metot olduğunu bildirmişlerdir.

2. KURAMSAL TEMELLER

2.1. Enzimler ve Biyoteknolojide Kullanımı

Enzimler, organizmalarda substratların biyolojik ve kimyasal olaylarını katalizleyen moleküllerdir. Dış ortamda da aktivite gösterebilen enzimler, çeşitli canlı gruplarından biyoteknolojik yöntemlerle izole edilerek farklı endüstriyel alanlarda kullanılabilirler. Biyoteknolojinin gelişmesi ve ilerlemesi ile birlikte, canlı hücrelerden elde edilen enzimler; bira üretiminde, sütçülükte, etlerin işlenmesinde, meyve şuruplarının berraklaştırılmasında, gıda alanında, yağ atıklarının parçalanması için deterjan sektöründe, deri ve dokuma sanayide, tıpta tanı ve teşhislerde, tıbbi tedavi yöntemlerinde, deterjan ve diğer kimyasal temizleyicilerin ağartma işlemlerinde de büyük katkı sağlamaktadır (Voget *et al.* 2006). Giderek gelişen ve büyüyen enzim teknolojisi, üretilen ürünlerin çeşitlilik gösteren kullanım alanları ve yüksek ekonomik değere sahip olması nedeniyle son yıllarda biyoteknolojik alanlarda endüstriyel enzimlere olan ilgi artmış ve bu alanda çalışmalar ve araştırmalar yapılması oldukça büyük bir önem kazanmıştır. Yine rekombinant DNA teknolojisi ile de enzim üretim çalışmaları oldukça büyük önem kazanmıştır (Hols *et al.* 1994). Biyoteknolojik gelişmeler ile birlikte mikroorganizma kaynaklı spesifik enzimler çeşitli alanlarda ticari olarak kullanılmaktadırlar. Mikrobiyal kaynaklı enzimler ve bunların kullanım alanları Çizelge 2.1’ de belirtilmiştir (Kennedy and Rehm 1987).

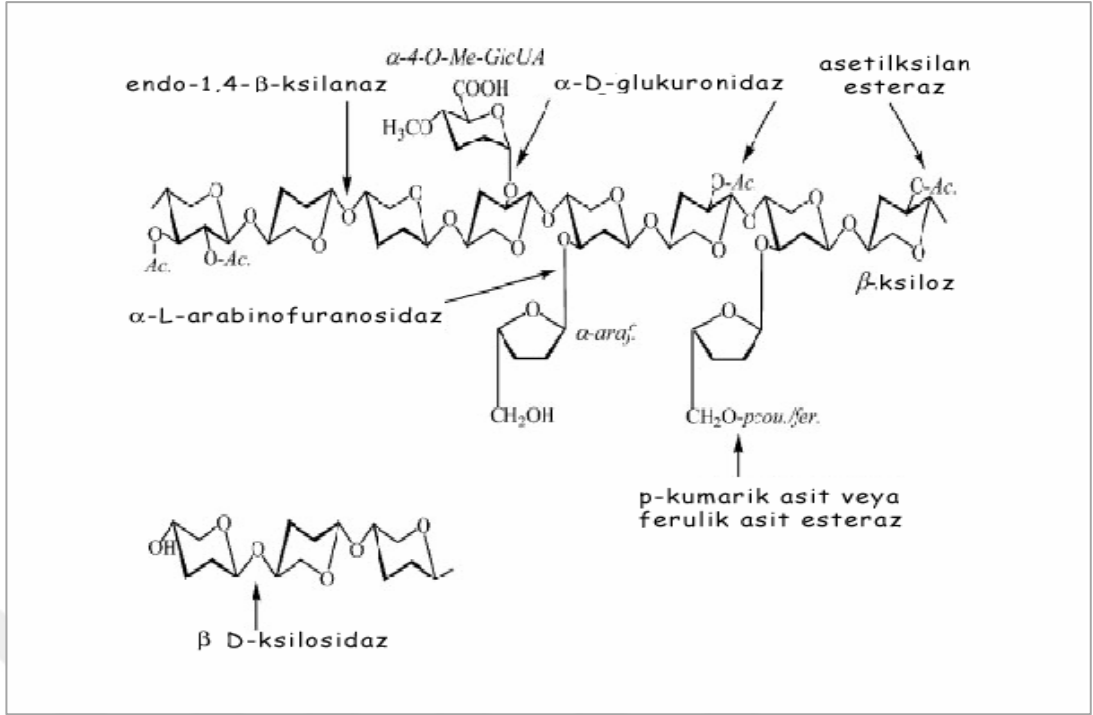
Çizelge 2.1 Mikrobiyal Kaynaklı Enzimler ve Kullanım Alanları

Enzim Sınıfı	Kullanıldığı Alanlar	Mikroorganizma Örnekleri
α -amilaz	Dekstrin ve Maltoz reaksiyonunda Ekmek yapımı Glikoz yapımı	<i>B. subtilis</i> <i>Aspergillus oryzae</i> <i>B. licheniformis</i>
β -glucanaz	Bira berraklaştırılması	<i>A. oryzae</i> <i>B.subtilis</i>
Katalaz	İçecek korunması	<i>A. niger</i> <i>Micrococcus lysodelticus</i>
Selülaz	Deterjan yapımı Atık yıkımında	<i>Penicillium spp.</i>
Glukoz izomeraz	Glukoz, Fruktoz dönüşümü	<i>Aspergillus spp.</i>
Glukoz oksidaz	Biyosensor	<i>A.niger</i>
Laktaz	Peynir altı suyu Laktosuz gıda üretimi	<i>Kluyveromyces lactis</i>
Lipaz	Deterjan yapımı Deri Endüstrisi, Sindirime yardımcı	<i>A. oryzae</i>
Renin	Peynir Endüstrisi	<i>Kluyveromyces lactis</i> <i>Mucor spp.</i>
Sukraz (invertaz)	Şekerleme yapımı	<i>Saccharomyces spp.</i> <i>Bacillus sp.</i> <i>B. circulans</i> <i>B.licheniformis</i>
Ksilanaz	Kâğıt hamuru sanayisi, Hayvan yemleri Meyve ve şıra suyu yapımı ve berraklaştırılması Gıda endüstrisi	<i>Bacillus ginsengihumi</i> <i>Cellulomonas fimi</i> <i>Micrococcus sp</i> AR-135, <i>Trichoderma longibrachiatum</i> <i>Thermoascus aurantiacus</i> <i>Rahnella aquatilis</i> <i>Pseudomonas monteilii</i>
Bacterial α -amilaz	Maltoz ve dekstrinin yıkılması Leke çıkarıcı Glikoz şurubu	<i>Bacillus amyloliquefaciens,</i>
Hemiselülaz	Deterjan katkı maddesi Atıkların değerlendirilmesi	<i>B.subtilis,</i> <i>Aspergillus niger</i>
Pullulanaz	Biyo-yakıt üretimi	<i>Bacillus sp.</i> <i>Clostridium pasteurianum,</i>
Pektinaz	Meyve suyu yapımında Şarap ve diğer içeceklerin berraklaştırılması	<i>Erwinia spp</i>

2.2. Ksilanaz Enzimi

Bitkilerde bulunan hücre duvarı, mikroorganizmaların hücreye girişini engellemek için önemli bir bariyer konumundadır. Bitkilerde doğal olarak var olan ve yaklaşık olarak biyokütlenin % 20-30'luk kısmını heteropolisakkarit yapıda olan hemiselülozik tabaka oluşturur (Gamerith, G 1992). Bu biyokütle dünyanın yakıt ihtiyacını karşılamada da önemli bir konumdadır (Alvarez-Cervantes *et al.* 2016). Ksilan, çoğu bitki hücre duvarının hemiselülozik olan temel yapısıdır (Anbarasan *et al.* 2017). Kullanışlı ve son ürüne parçalanabilen bir yapıdadır (Yang *et al.* 1995). Büyüyen ve gelişen dünyamızda katı ve sıvı atıkların büyük bir kısmının da yine bu hemiselüloz yapısından kaynaklandığı bilinmektedir (Lee *et al.* 2015). Mantarların ve bakterilerin büyük çoğunluğu ksilan'ı parçalayabilmek için ksilanaz enzimine mutlak olarak sahip olmaları gerekmektedir. Bu sebepten ötürü patojen ve saprofit türler hücre duvarının temel bileşeni ve aynı zamanda bitki hücrelerinin orta lamelinde bulunan ksilanı parçalamak için ksilanaz enzimini üretir (Salles *et al.* 2000). Ksilanaz enzimi, ksilan yapısında bulunan β -1,4-D-ksilozidik bağlarını hidrolizle parçalamaktadır. Bu nedenle ksilanaz enzimi doğada yaygın şekilde görülen ve bitki patojenlerince bitki hücresinin enfeksiyonunda gerekli olan bir enzim çeşiti olarak bilinmektedir (Collins *et al.* 2005).

Ksilan içeriğinin tamamen hidrolizi geniş bir grup mikrobiyal enzim işbirliği ile sağlanabilmektedir (Amerah *et al.* 2017). Bu enzimlerin en önemlisi ksilan yapısındaki glikozid bağını kıran β -1,4-endoksilanaz grubu olan ksilanohidrolazlardır (Gilbert and Hazlewood 1993). Endoksilanazlar, ksilan iskeletindeki iç glikozit bağlarını hidrolize ederken, ekzoksilanazlar ise endoksilanazların aktivitesi neticesinde meydana gelen ksilooligosakkaritleri hidroliz etmektedirler (Wong *et al.* 1988). Şekil 2.1 ve Şekil 2.2'de ksilanaz enzimlerinin kristal yapısı ve ksilan iskeletindeki yapısal bölgeler gösterilmektedir.



Şekil 2.1 Ksilanazların Ksilan Omurgasına Etki Noktaları (Collins *et al.* 2005).



Şekil 2.2 Ksilanaz Enziminin Kristal Yapısı (St John, Franz J., *et al.* 2009)

2.2.1. Ksilanaz Enziminin Genel Özellikleri

Genel olarak mikrobiyal kaynaklı ksilanazlar asidik veya nötral pH'larda optimum aktivite gösterirler. Bakteri kaynaklı ksilanazlar ise genellikle pH 5-9 arasında, büyük bir alanda etkin olmasına rağmen çoğu nötral pH'larda da optimum aktiviteye sahiptirler (Beg *et al.* 2001). Endoksilanazların izoelektrik noktaları PI 3-10 aralığındadır. Ksilanazlar, katalitik, hidrolitik ve termal kararlılıktan sorumludurlar. Sıcaklık değerlerinin optimum 34 ile 75 °C aralığında değişebildiği ancak 75-90 °C sıcaklıklar arasında aktivite gösteren ksilanazların bulunduğu bilinmektedir. Ksilanaz aktivitelerinin, düşük amonyum sülfat konsantrasyonunda bile sıcaklıkla artış gösterdiği bilinmektedir. Fungal ksilanazlar genelde bakteriyel ksilanazlara göre daha düşük sıcaklık direncine sahiptirler (Abdulla *et al.* 2017). Ksilanaz çeşitlerinde molekül ağırlığı ve pH değeri arasında belli sabit bir ilişki vardır; düşük molekül ağırlıklarında bazik iken, yüksek molekül ağırlığında ise asidik yapı gözlemlenmiştir (Wong *et al.* 1988).

2.2.2. Ksilanaz Enziminin Kullanım Alanları

Ksilan, yüksek bitkilerin hücre duvarının hemiselülozik tabakasının temel bileşenidir ve endüstride doğaya zararı en aza indirgeyerek kullanılabilirliği bakımından oldukça önemli bir yere sahiptir (Gessesse 1998). Dünyada ksilandan en çok gıda ve yem alanında faydalanılmakta aynı zamanda, kâğıt sanayisinde ve atıkların arıtım işlemlerinde değerlendirme prosesleri olarak da ksilana yönelik uygulamalar bulunmaktadır. Ksilanın ve ksilanaz enziminin en önemli özelliklerinin başında sanayi endüstrisinde kullanılan bitkisel veya bitkisel kaynaklı olmayan atıkların enzimatik olarak hidrolizi gelmektedir. Ksilanın enzimatik hidrolizindeki en önemli enzim ise β -1,4 bağları ile bağlanan ve ksiloz birimlerinden oluşan iskeleti hidrolizleyen β -1,4 ksilanazlardır (Sargın *et al.* 2003).

Doğa kirliliğini önlemek ve çevresel düzenlemeler çerçevesinde kâğıt hamuru ve kâğıt endüstrisinde beyazlatma ve ağartma işlemleri genellikle yüksek yoğunluktaki klor ile yapılmaktaydı. Ancak klor kullanımının sınırlandırılması, ağartma işlemlerinde enzim kullanılmasına, akabinde araştırmacıların mikrobiyal enzimlere yönelmesine neden olmuştur (Eren-Kıran Ö. 2006). Kâğıt endüstrisindeki kirliliği azaltmak için mikrobiyal enzimlerin uygulanması ile birlikte ağartma işlemlerinde klorun kullanımı azaltılmış ve

böylelikle çevreye vermiş olduğu zararın indirgenmesi sağlanmıştır. Kuzey Amerika'da ve Batı Avrupa ülkelerinde ksilanazlar, ağaç mantar dokulu kabuk ekstraktında, geri dönüşüm ürünlerinin ağartılmasında ve kullanılmış olan kâğıt hamurunun beyazlatılması işleminde selülozun hidroliz edilmesiyle tekrar kullanılmaktadır (Yang *et al.* 1995). Gıda sanayisinde ise ksilanazlar, ekme yapımında hamurun yoğrulması esnasında kullanılmakta ve böylelikle hamurun kabarık, yumuşak ve kıvamlı bir hal almasına neden olmaktadır (Güneri vd. 2008). Bunun temel nedeni buğday unundaki ksilanaz için substrat olan ve su içerisinde çözölemeyen arabinoxylan (AX)'ın çözünmesi olduğu bilinmektedir. Ksilanaz, meyve ve şıra sularının arıtılması, sebze ve meyve sularının eldesi için de yoğun olarak kullanılmaktadır. Ksilanazın diğer önemli kullanım alanı ise yem ve hayvancılıkta piliçlerin besinleri olan çavdar tabanlı diyetlerin içerisine dâhil edilmek suretiyle yemlerde viskozitenin azaltılmasıdır. Bunun sonucunda ise hem yemlerin ağırlıkları artmakta hem de piliçlerin ağırlıkları artmaktadır. Gıda endüstrisindeki atıklarda ksilan miktarı oldukça yüksektir. Bu sonuçla birlikte ksilanın kullanım alanları ksilanazlar sularında bulunan ksilan'ı iskeletini ksiloz'a dönüştürmek içinde kullanılır. Çizelge 2.2'de ksilanaz enziminin dünya çapındaki kullanılabilirliği ve işlemlerdeki önceliği işlevsel ve ayrıntılı olarak verilmektedir (Collins *et al.* 2005).

Çizelge 2.2 Ksilanaz enziminin kullanım alanları

Sanayi Katkısı	Kullanım Alanı	Özelliği
Sanayii kuruluşlarındaki meyve, sebze ve şarap üretim ve işleme alanlarında	Yağ, meyve suyu, şarap ve diğer meyve ve sebzelerin atık ve işlemlerinde kullanılır	Yağ, meyve suyu, şarap ve diğer meyve sularının kalitesinin arttırılmasında ve berraklaştırılmasında kullanılır
Ekmek ve unlu mamül üretim tesislerinde	Ekmek yapımında ve diğer hamur ürünlerinin üretiminde	Hamurun daha şişkin, yumuşak ve kıvamlı bir hal almasını sağlar.
Hayvancılık	Yem ürünlerinin üretilmesinde ve geliştirilmesinde	Hayvanlarının aldıkları yemlerden içerik yoğunluğunu azaltarak proteinlerden ve diğer bileşiklerden en üst düzeyde faydalanmasını sağlar.
Kâğıt endüstrisinde	Kâğıt üretiminde kâğıt renginin kalitesinin artmasına ve ağartma işleminin daha net olmasında	Kâğıt endüstrisinden kullanılan zararlı kimyasalların sayısının azaltılması sağlar.
Glukoz ve Nişasta	Nişastanın diğer ürünlerden ayırımına	Hanur işlerindeki yoğunluğu azaltır ve daha kıvamlı bir hal verir.
Giyim ve tekstil sanayisinde	Giyim sanayide kullanılan kot, keten ve kendir gibi ürünlerin işlenmesinde	Enzimatik yüzeye etki eder.
Biyoyakıt üretim tesislerinde dönüşüm	Elde edilen atıkların zararının en aza indirgenmesinde ve uzaklaştırılmasında	Fabrika ve diğer sanayi kuruluşlarındaki atıkların arıtımını sağlar.

2.3. *Bacillus* Türleri ve Genel Özellikleri

İlk olarak 1872’de Ferdinand Cohn tarafından adlandırılan *Bacillus*’lar gram pozitif, krem ya da beyaz renkli farklı koloni tiplerine sahip, olumsuz koşullara oldukça dayanıklı endospor oluşturan peritrik kamçılı aerobik veya fakültatif aneorobik bir bakteri cinsidir (Lin *et al.* 1998). Vejetatif hücre yapıları 0.5x1.2 µm ile 2.5x10 µm çapı arasında değişkenlik göstermektedir (Buchanan 1994). Bilinen yaklaşık elliye yakın *Bacillus* türü bulunmaktadır. Bu türlerin bazılarında endosporun hücre içindeki konumunda farklılıklar gözlemlenmektedir. Endosporlarının konumuna göre sentral, terminal ya da subterminal olarak ayrılabilirler. Yine Turnbell and Kramer’in yapmış olduğu çalışmada *Bacillus* türlerinin teşhisinde spor morfolojilerinin temel alındığı ve buna göre *Bacillus*’ların 3 gruba ayrıldığı bildirilmiştir. İlk grup *Bacillus*’lar kendi içlerinde A ve B olmak üzere ayrılmaktadırlar. Bu grupların ikisinde de sporangia şiş değildir. Sporlar merkezi veya terminal konumlu ve elips veya silindirik şekilli yapıdadır ve gram pozitiflerdir. Bu gruplardan A grubunda hücreler 1µm’den küçüktür. B grubunda ise hücreler 1µm’den büyüktür. A grubunda; *B. megaterium* ve *B. cereus* gibi türler var iken; B grubunda ise *B. pumilus*, *B. firmus*, *B. licheniformis*, *B. subtilis* ve *B. coagulans* gibi türler vardır. Diğer grupta ise *Bacillus* türlerinde sporangia şiş durumdadır. Elips, sentral veya terminal şeklinde sporlar vardır. *B. circulans*, *B. stearothermophilus*, *B. polymyxa*, *B. macerans*, *B. alvei*, *B. laterosporus* ve *B. brevis* gibi türler bunlara örnektir. Üçüncü grup *Bacillus* türlerinde de sporangia şiş konumdadır. Küresel, subterminal veya terminal konumlu sporlar vardır. *B. sphaericus* bu gruba örnek olarak verilebilir (Turnbell *et al.* 1991). Bazı *Bacillus* türleri polipeptit yapıda kapsül geliştirmişlerdir (*B. subtilis*, *B. anthracis*, *B. megaterium* ve *B. licheniformis*). DNA’larındaki G + C oranı yaklaşık olarak % 32 ile % 62 arasında değişmektedir (Con *et al.* 1997). Birçok *Bacillus* türünde hücre duvarı mezodiamino pimelik asitten meydana gelir (Özçelik 1995). Tüm *Bacillus* türleri kanlı agar, nutrient agar, trypticase soy agar ve brain heart infusion besi ortamlarında rahatlıkla üreyebilmektedirler. Sentetik ortam büyüme koşullarında ise en iyi ortam nitrojen kaynağı olan amonyum bulunduran ortamlar iken, karbon içeren organik asit, şeker ve alkol de çok iyi bir büyüme ortamıdır (Kaynar and Beyatli 2008). Genel olarak şekerleri fermente ederek asit üretebilirken, proteinleri de kullanarak amonyak oluşturacak şekilde parçalamakta ve böylelikle kokuşmaya neden olabilmektedirler. *Bacillus* türleri genellikle saprofit olup toprakta, su, bitki, bitki atıkları ve hayvanlarda yaygın olarak bulunmaktadır. *Bacillus* türlerinin genel olarak çalışılmasının nedenlerinden biri, bazı

biyolojik kaynaklı metabolitlerin üretimi ve sıcaklık dirençli spor oluşturma yetenekleridir (Silo-Suh *et al.* 1998).

2.3.1. *Bacillus* Türleri ve Biyoteknolojide Kullanımı

Biyoteknoloji; biyoloji, moleküler biyoloji ve genetik alanlarındaki gelişmelere paralel olarak gelişen ve sürekli olarak güncellenen yeni, güvenilir ve gelecek vadeden bir çalışma alanıdır. Enzim teknolojisinin gelişmesi ve ekonomik değeri yüksek olan ürünlerin kullanım alanının çeşitliliği nedeniyle, biyoteknolojik alanda endüstriyel enzimlerin önemi de giderek artmıştır. Özellikle mikroorganizmalar hızlı üremeleri yanında gelişimlerinin kolay ve ekonomik olması gibi nedenlerden dolayı enzim kaynağı olarak tercih edilmişlerdir. Ekstrem koşullarda yaşayan mikroorganizmalar ve onların ürettiği enzimler bu anlamda büyük önem kazanmıştır. *Bacillus* türleri ekstra sellüler enzimler üretme yetenekleri ve diğer enzim kaynaklarına göre daha az ürün oluşturmaları nedeni ile en çok tercih edilen bakteri grupları arasındadır.

Bacillus'lar genel olarak mezofilitler, termofilik ve psikrofilik türleri de bulunmaktadır (Ayhan 2000.). Termofilik açıdan değerlendirildiğinde *Bacillus* cinsine ait sıcaklığa en dirençli türün *B. subtilis*, en hassas türün ise *B. coagulans* olduğu; pH açısından değerlendirildiğinde, *B. coagulans* (*B. thermoacidurans*) ve *B. stearothermophilus* gibi bazı türlerin 4,2 gibi oldukça düşük pH'larda gelişim süreçlerini devam ettirebildiği bilinmektedir. Ekstrem türler dışında *Bacillus* türleri genellikle çamur, su, toprak ve çeşitli besinlerde kolaylıkla bulunabilmektedirler.

Bacillus türlerinden amilaz, proteaz, lipaz, azoredüktaz, katalaz-peroksidaz ve pektat liyaz gibi pek çok enzim çalışması yapılmıştır (Gomes ve Steiner 2004). Bunun yanında *Bacillus* türlerinin ekstradan ürettiği çeşitli bileşiklerinde biyoteknolojik açıdan önem arz ettiği ve pek çok çalışmada kullanıldığı bilinmektedir. *B. subtilis*'den subtilin, *B. licheniformis*'den basitrasin, *B. polymyxa*'dan ise polimiksin antibiyotiklerinin üretimi bunlara örnek olarak verilebilir (Ayhan 2000).

2.4. Amaç

Çalışmanın amacı Doğu ve Güneydoğu Anadolu bölgesinde bulunan sıcak su kaynaklarından toplanan su ve çamur örneklerinden termofilik bakterilerin izole edilerek tanımlanmasıdır. Bunun yanı sıra izole edilen bakterilerden ksilanaz enzim aktivitelerinin tespit edilmesi ve ksilanaz enzim aktivitesi yüksek olan türün seçilerek enzimin saflaştırılması, saflaştırılan enzimin rekombinant ve nano kapsüllenmiş formunun aktivite sonuçlarının kıyaslanıp ticari olarak kullanılabilirliğinin araştırılmasıdır.



3. MATERYAL ve YÖNTEM

3.1. Materyal

3.1.1. Biyolojik Materyal

Pasinler (Erzurum), Hasanabdal (Van), Hıstaçermiği (Siirt), Diyadin; Davut ve Köprü çermiği (Ağrı), Dargeçit (Mardin) ve Güçlükönak (Şırnak) termal kaynaklardan alınan su ve çamur örneklerinden izole edilen bakteriler çalışmanın materyalini oluşturmaktadır.

3.1.2. Kullanılan Cihazlar

Çalkamalı inkübatör: LABWİT ZWYR-200D Orbital

Distile su cihazı: Nüve ND 4L

Elektroforez: WEALTEC ELİTE 300 PLUS

Etüv: Nüve FN500

Hassas terazi: Vibra AJ3200H Shinko

Isıtıcı magnetik karıştırıcı: Are VELP Scientifica

Jel görüntüleme: Dnr Bio-imaging Systems MiniLumi

Nanodrop spektrometre: ACTG Gene UVS-99

Otoklav: Nüve OT 40 Otoklav

PCR cihazı: BİOER GenePro

pH metre: AZ 8685

Pipetler: Eppendorf

Santrifüj: ScanSpeed mini

Sıcak su banyosu: Labo BMS 5200

Vortex: PV-1 Grant-bio Vortex Mixer

Western blot: WEALTEC

3.1.3. Kullanılan Kitler

pGEMTeasy vektörü: 1.2µg pGEM®-T Vektör (50ng/µL) • 12µL Kontrol Insert DNA (4ng/µL) • 100u T4 DNA Ligaz • 200µL 2X Rapid Ligasyon Solüsyonu, T4 DNA Ligaz (Promega)

pET16b vektör: Novagen pET-16b vektör (Kat. No. 69662-3)

Proteo qwest kiti: Sigma (LC6070)

QIAGEN plazmid kiti: Plasmid Midi Kit (Kat. No. 12143)

Quick Gel Extraction Kit: İnvitrogen (K210012)

3.1.4. Kullanılan Besiyerleri

Kanlı Agar: Toplamda 40 gr; (Oxoid) Blood Agar Base çözeltisinden, (2.5 gr Liver digest, 15 gr proteose peptone, , 5 gr sodium chloride, 5 gr yeast extract) ve 12 gr agar alınıp 1000 ml su ile çözüldürülmüştür. Hazırlanan çözelti 121 °C’de yüksek basınç altında 15 dk otoklanmıştır.

Luria Bertani (LB): Toplamda; 10 gr tripton (Sigma), 5 gr Yeast infusion (Merck) ve 5 gr NaCl (Merck) karışımı 600 ml H₂O ile çözümlenerek pH 7.4’e ayarlanır ve toplam hacim 1000 ml olacak şekilde H₂O ile tamamlanır. Hazırlanan besi ortamı 121 °C’de 1,5 atm basınçta 15 dk otoklavlanır.

Nutrient Broth (NB): Toplamda 13 gr; (Oxoid) NB çözeltilisinden, (1 gr `Lab-Lemco' powder, 5 gr peptone, 5 gr sodium chloride, 2 gr yeast extract) alınıp 1000 ml su ile çözüldürülmüştür. Hazırlanan besi ortamı 121 °C'de 1,5 atm basınçta 15 dk otoklavlanır.

3.1.5. Kullanılan Kimyasallar ve Çözeltiler

10x TAE: Tris Acetate-EDTA buffer BioReagent, 50x suitable for electrophoresis

Ampisilin: Sigma A 6140 Solüsyon, 1000x ampisilin stok solüsyonu

Brain Heart Infusion (BHI): Toplamda 37 gr; (Oxoid) 12.5 gr Brain heart infusion, 5 gr Beef Heart infusion, 10 gr Proteose peptone, 2 gr Glukoz, 5 gr Sodyum klorid, 2.5 gr Disodium phosphate üzerine 1000 ml distile su içinde çözümlenerek pH 7.4'e ayarlanır. Hazırlanan besi ortamı 121 °C'de 1,5 atm basınçta 15 dk otoklavlanır.

DNS: Enzim aktivitesinin belirlenmesinde reaksiyonu durdurmak ve aktivite sonucu açığa çıkan indirgen şeker miktarını belirlemek için kullanılır. 1g DNS 50 mL dH₂O içerisinde çözülür ve daha sonra son hacim 30g K-Na-Tartarat ve 20 mL 2N NaOH ile 100 mL'ye tamamlanır.

EDTA: Fluka Kat no: 03620

Etanol: Merck 100983 Ethanol absolute for analysis ACS, ISO, Reag. Ph Eur 2.5 L

Etidyum bromür: 10 mg/ml stok çözelti Ethidium bromide hazırlandı [EB], (Kod: 802511)

Fenol Kloroform İzooamilalkol: Sigma

Gliserol: Emsure® ACS, Reag. Ph Eur. CAS 56-81-5, EC Number 200-289-5 % 80'lik gliserol kullanıldı

İzopropanol: Sigma EC no: 200-661-7

Kalsiyum Klorür: 25:24:1, Saturated with 10mM Tris, pH 8.0, 1mM EDTA, 7.34 gr CaCl₂ üzerine 1lt H₂O eklenir.

Kloroform: Sigma Anhydrous, ≥ % 99 contains % 0.5-1.0 ethanol as stabilizer

TE: Sigma Tris EDTA pH:8.0

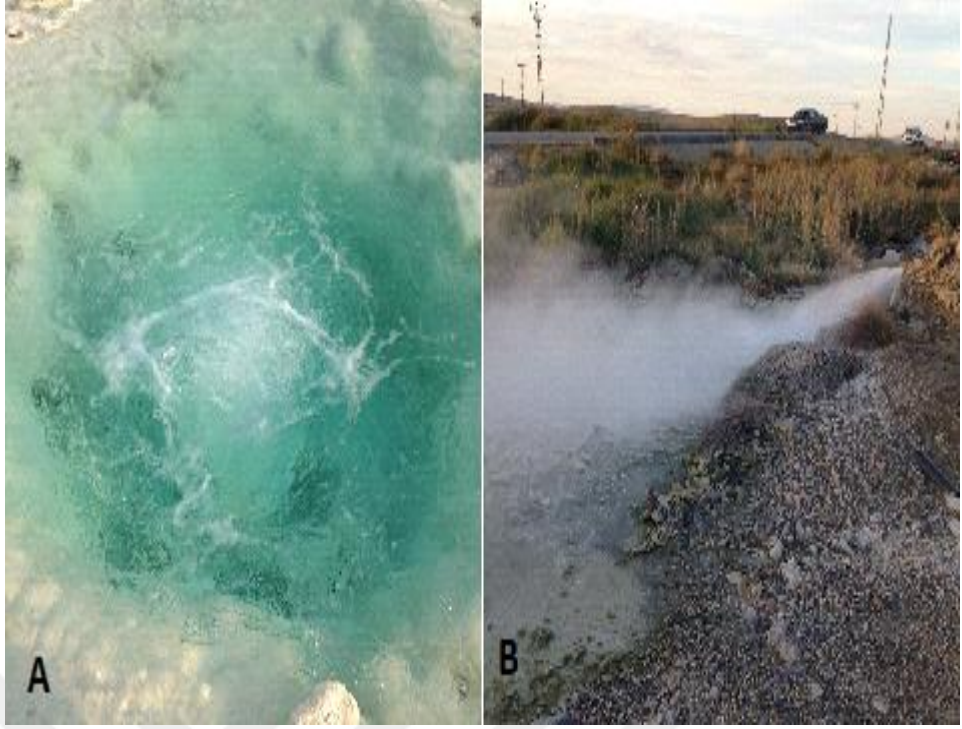
Tris: Sigma EC No: 201-064-4

X-gal: (Bio Basic Katalog no: 12872) 50 mg/ml hazırlandı (N-N dimetilformamide Sigma Katalog no:38H0812)

3.2. Yöntem

3.2.1. Biyolojik Materyalin Toplanma Yöntemi

İzolasyon yapılan alanlardan alınan su ve çamur örnekleri 2 lt'lik cam kavanozlara konularak etrafı güneş ışığı almayacak şekilde alüminyum folyo ile tamamen kapatıldı ve alınan bölgenin bilgileri ve koordinatları kaydedildi (Wulf 1989). Çalışmada; Ağrı (Diyadin; Davut ve Köprü çermiği) Lat. :39,493548, Lng. : 43,649362 kaynak suyu sıcaklığı 70 °C (Şekil 3.1), Davut sıcak su kaynaklarının genel doğal görünümü (Şekil 3.2), Pasinler (Erzurum) Lat. : 39,978194 Lng. : 41,664286, kaynak suyu sıcaklığı 38 °C, Hasanabdal (Van) Lat: 39,225049, Lng. : 43,388236 kaynak suyu sıcaklığı 70 °C, Hıstaçermiği (Siirt) Lat.: 37,707582, Lng. :42,002020 kaynak suyu sıcaklığı 60 °C, Dargeçit (Mardin) Lat. : 37,546184, Lng. : 41,720381 kaynak su sıcaklığı 60 °C ve Güçlükonak (Şırnak) Lat. : 37,476818, Lng. :41,939351 kaynak suyu sıcaklığı 60 °C, olarak tespit edildi ve alınan örneklerden izolasyon gerçekleştirildi.



Şekil 3.1 A: Köprü sıcak su kaynağı, B: Davut sıcak su kaynağı



Şekil 3.2 Davut sıcak su kaynaklarının genel doğal görünümü

3.2.2. Sıcak Su Kaynaklarının Kimyasal Analizi

Toplanan su örneklerinin kimyasal analizleri Kars Halk Sağlığı İl Müdürlüğü su analiz laboratuvarında yapılmıştır. Örneklerde pH, iletkenlik, NO_3^{-1} (Nitrat), NH_4^{+1} (Amonyum), NO_2^{-1} (Nitrit), Fe (Demir), Al^{+3} (Alüminyum), Cu (Bakır), Pb (Kurşun) ve suyun kaynak sıcaklıkları rapor edilmiştir.

3.2.3. Bakterilerin İzolasyonu

Termal kaynaklarından alınan su ve çamur numuneleri distile su içeren tüplere (1 mL örnek 9 mL distile su olacak şekilde aktarılmış) alınarak 10^{-1} ve 10^{-6} 'lık dilüsyonları yapılmıştır. Her bir dilüsyondan 25 μL alınarak sıvı besi ortamlarında geliştirilmiş (Şekil 3.3) ve gelişen her bir besi ortamından da 100 μL inokulum alınarak katı besi ortamlarına ekilmiş ve 55-58 °C' de 24 saat inkübe edilmiştir. İnkübasyon süreci sonunda gelişen kolonilerden öze ile alınan bakteri izolatları ayrı besi ortamlarına çizgi ekim yöntemi ile ekilerek saf kültürleri elde edilmiştir.

Mikroorganizmaların stoklanması amacıyla 2 mL'lik ependorf tüplerine 500 μl (% 30'luk gliserol) ile 500 μl LB eklendi. Çalışma sonucunda saflaştırılan her bir izolattan bir öze dolumu bakteri tüplere alınarak vortekslendi. İzolat numaraları kaydedilen her bir tüp -80 °C'de stoklandı.

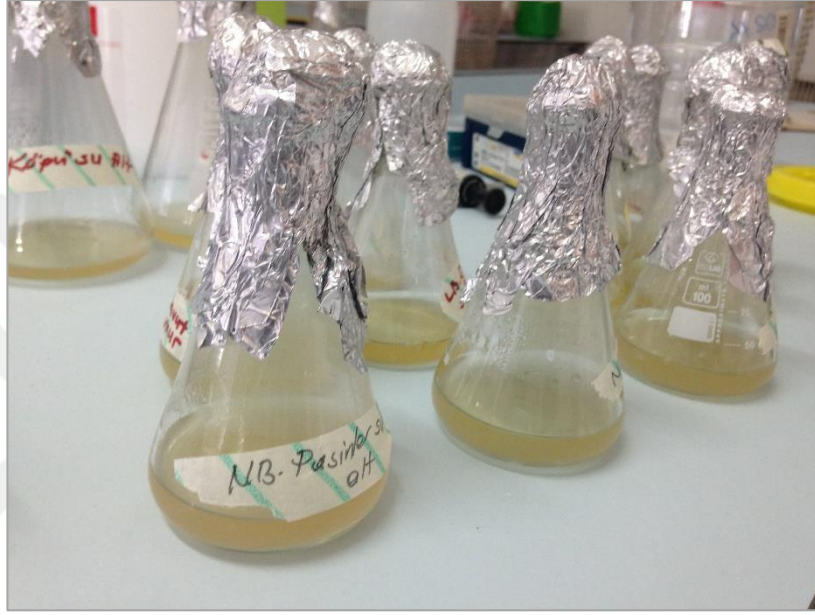
3.2.4. Bakteri Örneklerinin Gelişim Gösterdiği Sıcaklıkların Tespiti

İzolatlara ait örnekler farklı sıcaklık (40 °C, 55 °C, 65 °C, 70 °C, 75 °C, 85 °C ve 90 °C) değerlerine sahip parametreler baz alınarak ölçülerek sonuçlar rapor edilmiştir.

3.2.5. Bakteri İzolatlarının Tanınması

3.2.5.1. Morfolojik Tanılama

Tüm bakteriler mikroskop altında incelenerek morfolojik yapıları gözlenmiş olup aynı zamanda endospor ve gram boyama testleri yapılmıştır.



Şekil 3.3 Sıvı besiyerine ekim yapılan örnekler

Hücre Morfolojileri

İzole edilen bakteriler LB agar besi ortamında 70 °C'de 48 saat süre ile inkübe edilmişlerdir. Bu süre sonunda izolatların oluşturduğu hücreler mikroskop altında incelenerek hücre morfolojileri tespit edilmiştir. (Jampaphaeng *et al.* 2017).

Endospor Oluşumları

Endospor elverişsiz yaşam şartlarında bakterilerin yaşamda kalmalarını sağlamak amaçlı oluşturdukları bir yapıdır. Bir gece LB besiyerindeki kültürden saf koloni alınarak lam üzerine yayılarak alevden geçirilerek fikse edildi. Hazırlanan preperat 5 dk boyunca karbon fuksin ile boyandı. Daha sonra yıkanan preperatlar 10 sn boyunca %10'luk nitrik

asitle muamele edildikten sonra 2 dk boyunca metilen mavisi ile boyandı ve mikroskop ile incelendi.

Gram Boyama

İzole edilen bakterilerin gram özelliklerini tespit etmek amacıyla izolatlar LB besi ortamında geliştirilmiş ve lam üzerine alınarak fikse edilmiştir (Yang *et al.* 1995). Fikse edilen örnek ilk aşamada kristal viyole boyasında 1 dk boyunca muamele edilmiş ve bu sürenin ardından distile su ile yıkanmıştır. Böylelikle kristal viyole, ortamda bulunan tüm hücrelerin mor renge boyanmasını sağlamıştır. Akabinde lügol çözeltisi ile örnekler 1 dk kadar muamele edilerek, % 96'lık etil alkol ile yıkanmıştır. Bu aşamalardan sonra hücre duvarları yapılarından dolayı lam üzerinde bulunan ve gram negatif özelliğe sahip bakteriler rengini kaybederken, gram pozitif bakteriler ise mor renkte görülmüşlerdir. Son olarak distile su ile yıkanan örnekler yaklaşık 15 sn. kadar safranin boyasıyla muamele edilip, distile su ile tekrar yıkanarak preparatlar kurumaya bırakılmıştır. İmmersiyon yağı yardımı ile preparatlar mikroskopta incelenmiş, inceleme sonucunda gram pozitif bakterilerin mor renkte, gram negatif bakterilerin ise pembe renkte olduğu gözlenmiştir (Bernard *et al.* 2017).

3.2.5.2. Moleküler Tanılama

Bakterilerden DNA İzolasyonu

Bakterilerden genomik DNA izolasyonu için izlenen protokol aşağıda verilmiştir.

1) Bakteri izolatları 5 mL NB besi yeri içeren ortama alınarak 37 °C'de 24 saat boyunca inkübe edilmiştir. Daha sonra besiyerinden ependorflara 1.5 mL kadar alınmış ve 7000 rpm'de 5 dk. boyunca santrifüj edilmiştir. Üst kısım sıvısı atılmış ve hücre peletinin üzerine; 200µl dH₂O, 50µl 0,5M EDTA, 10µl % 20 sarkosyl, 10µl proteinaz K (10mg/ml), 10µl 1M Tris- HCl (pH:8) ve 5µl 5M NaCl eklenerek karışım 5 dk. boyunca vortekslenmiştir.

- 2) Örnekler 30 dk. boyunca 65°C'ye ayarlanmış su banyosunda bekletilmiştir. Süreç boyunca örnekler her 10 dakikada bir vortekslenmiştir.
- 3) Örneklerle aynı hacimde olacak şekilde fenol: kloroform: izoamilalkol (25: 24: 1) eklenmiş ve hafifçe ters/düz edilmiştir.
- 4) 13000 rpm'de 5 dk. boyunca santrifüj yapılmış ve süpernatant kısım pipet yardımı ile alınarak yeni ependorf tüpüne aktarılmıştır.
- 5) Fenol: kloroform: izoamilalkol (25: 24: 1) işlemi 3 defa yukarıda belirtildiği şekilde yapılmıştır. Her basamakta santrifüj sonunda elde edilen ürünlerden süpernatant kısmı alınmış ve yeni ependorf tüpüne aktarılmıştır.
- 6) Yeni ependorfa alınan süpernatant hacminin 1/10'u kadar 3M NaOAc ve hacminin 2 katı kadar absolüt etanol eklenip -20°C'de 1 gece inkübasyona bırakılmıştır.
- 7) Süre bitiminde örneklere 13000 rpm'de 10 dk. boyunca santrifüj yapılarak süpernatant uzaklaştırılmış ve pelet kurutulmuştur. Kurutulan pelet 200µl dH₂O eklenip pelet çözüldürülerek, çözülmüş olan peletin üstüne 1/10 hacminde 0,3M NaOAc ve 440µl etanol eklenmiş ve örnekler -20°C'de 1 gece inkübe edilmiştir.
- 8) Süre bitiminde örnekler 13000 rpm'de 10 dk. boyunca santrifüj edilerek süpernatant kısmı tüpten uzaklaştırılmış ve pelet kurumaya bırakılmıştır.
- 9) Kurutulan pelet 100 µL dH₂O ile çözüldürülerek % 0.8'lik agaroz jelde yürütüldü. Aynı zamanda DNA'nın kalitesi ve saflığını tespit amacıyla spektrofotometrik ölçümler dalga boyu 260 ve 280 nm olacak şekilde nanodrop'ta gerçekleştirildi. Ölçümlerde kör olarak peletlerin çözüldürüldüğü tampon kullanılarak bakteri izolatlarının nanodrop sonuçları kayıt altına alındı (Ozic 2012).

16S rRNA PCR (Polimeraz Zincir Reaksiyonu) Reaksiyon Koşulları ve Amplifikasyonu

Bakteri izolatlarının 16S rRNA bölgelerinin amplifikasyonu için gerekli olan tüm PCR temel bileşenleri Çizelge 3.1’de verilmiştir. Çalışılacak örnek sayısı kadar bileşenlerin yoğunluğu ve miktarları hazırlanarak hazırlanan bu karışımlar PCR tüplerine aktarılmış ve Çizelge 3.2’ de verilen reaksiyon koşulları dikkate alınarak örnekler amplifiye edilmiştir. PCR sonrası elde edilen ürünlerin DNA konsantrasyonları ölçülerek kayıt altına alınmıştır. (Baltacı vd 2016).

Çizelge 3.1 PCR Temel Bileşenleri

Bileşenler	Bileşen Miktarları
Taq Polimeraz (5U/μL)	0,25 μL
10x Buffer PCR	2,5 μL
MgCl ₂ (25 mM)	2 μL
Primer 27 F (25pmol/ μL)	2,5 μL
Primer 1385 R (25pmol/ μL)	2,5 μL
DNA (Genomik)	1 μL
dNTP (25mM)	1,5 μL
Distile Su	12,75 μL

Çizelge 3.2 PCR Reaksiyon Koşulları

Sıcaklık	Süre	Döngü
94 °C	5 dakika	40 Döngü
94 °C	1dakika	
55 °C	1dakika	
72 °C	1dakika	
72 °C	5 dakika	
4 °C	∞	

16S rRNA PCR ürünlerinin Klonlanması

Kompetent Hücre

PCR ampliconları taşıyıcı vektörlere ve ardından *E. coli*'ye aktarılmıştır. Çalışmamızda daha önceden stoklanmış hazır *E.coli* DH5- α kompetent hücre stokları kullanılmıştır.

PCR ürününün plazmite ligasyonu

PCR ürününün taşıyıcı plazmite eklemesi T-A klonlanması (plazmitdeki T nükleotid ile Taq polimeraz tarafından PCR ürününün uçlarına eklenen A nükleotidin birleştirilmesi) temeline dayandırılmıştır.

PCR ürünlerine A ekleme reaksiyonu: 1 μ l 10X tampon, 1 μ l 25 mM MgCl₂, 0,5 μ l 2.5 μ M dATP, 6.5 μ l PCR ürünü, 1 μ l Taq DNA Polimeraz ile hazırlanan karışım 70°C 'de 30 dk. bekletilmiş ve sonra PCR ürünü ligasyona alınmıştır.

Ligasyon: Klonlama reaksiyonlarında genel olarak pGEMTEasy (Promega) vektörü kullanılmıştır. Vektörler ilgili firmadan temin edilmiştir. Ligasyon, plazmit içeriğinde bulunan T nükleotitleri ile PCR ile ürün amplifikasyonu yapıldığında Taq polimeraz enziminin ürünün uçlarına eklediği A nükleotidinin bir araya gelmesi ile T-A klonlanması olayı temeline dayanmaktadır. Hazırlanan karışım 70°C 'de 30 dk. inkübe edildikten sonra PCR ürünü ligasyon için hazırlanmıştır.

Transformasyon: Daha önceden stoklanmış ve -80°C' de muhafaza edilen kompetent hücreler çıkarılmış ve buz üzerinde yaklaşık 5 dk. bekletilmiştir. Ligasyon aşamasında elde edilen ürün daha önceden temin edilmiş olan kompetent hücrenin üzerine aktarılmış ve buz üzerinde yaklaşık 30 dk. boyunca bekletilmiştir. Bu süre zarfı sonucunda buz üzerinden alınan örnekler 42 °C'ye ayarlanan ısı bloğuna 1 dk. ısı şokuna bırakılmıştır. Süre sonunda ısı bloğu üzerinden alınan örnekler tekrar buz üzerine alınmış ve buzda 3 dk. bekletilmiştir. Süre sonunda üzerine 500 μ L LB eklenmiş ve 37 °C'de 35 dk. inkübe edilmiştir. İnkübe edilen örnekler 10000 rpm'de 2 dk. boyunca santrifüj edilmiştir. Besiyerlerinin ekimi yapılacağı petripler 40'ar μ L X-Gal ile muamele edilmiştir. Tüp

içerisinde süpernatanttan 50 µL kalacak şekilde süpernatant uzaklaştırılmıştır. Pelet 50 µL içerisinde çözülmüş, sonra LB-agar-ampisilin - XGal plate yüzeyine dağıtılmış ve bir gece 37 °C’de inkübe edilmiştir. Yapılan bu transformasyon basamağından sonra oluşacak olan mavi-beyaz kolonilerden beyaz renkli olan koloniler seçilerek alınmıştır. Aseptik koşullar altında öze yardımıyla alınarak, önceden hazırlanmış olan 40 µL X-Gal içeren LB Agar Amfisilin (100 µg/µL) petrilere çizgi ekimleri yapılmıştır. İşlemden artı kalan öze uçlarındaki amfisilinli kısım 100 ml sıvı besiyeri içeren erlenlere alınmıştır. X-Gal içeren LB Agar amfisilin petrilere ve LB besiyerleri 37 °C’de bir gece inkübe edilmiştir.

Plazmid İzolasyonu: Plazmid izolasyonu için izole edilen beyaz kolonilerden plazmid izolasyonu yapmadan önce koloniler 1 gece boyunca 120 rpm’de 37°C’de ampisilin (100 µg/µL) içeren LB agar besiyerinde büyütülmüştür. Daha sonra besiyerleri falkon tüplerine transfer edilmiş ve 8000 rpm’de 5 dk. santrifüje tabi tutulmuştur. Elde edilen süpernatant uzaklaştırılarak tüplerine pH’ı 8.0 olan 1000 µL 50 mM Tris-HCl ilave edilmiştir. Vorteks yardımı ile elde edilen peletler çözündürülmüş ve ependorf tüplerine transfer edilmişlerdir ve bu aşamadan sonra 1 dk. boyunca 8000 rpm’de santrifüj edilmiştir. Bakteri peletinin parçalanmasında ise 150 µL Lizozim-Tris ve pH’ı 8.0 olan 20 µL 0.5 M EDTA karıştırılarak pelet üzerine aktarılmış ve pelet solüsyon çözündürülmüştür. Çözündürülen pelet 30 dk. boyunca buz üzerinde inkübe edilmiştir. Plazmit DNA’sının çöktürülmesi aşamasında ise her bir tüpe 400 µL 0.2 M NaOH ve 1:1 oranında % 1’lik SDS eklenmiş ve 5 dk. buzda inkübe edilmiştir. Bu süreç zarfında pelete 300 µL 7.5 M amonyum asetat eklenmiştir. Tüpler nazikçe ters düz edilmiştir ve 10 dk. boyunca buzda inkübe edilmiştir. Bu aşamadan sonra çöken plazmitin saflaştırılması için süre sonunda tüpler buzdan alınarak 8000 rpm’de 15 dakika boyunca santrifüj edilmiş ve süpernatant kısmı yeni ependorflara aktarılmıştır. Fenol-kloroform uygulama aşamasında süpernatantın üzerine 800 µL fenol: kloroform: izoamilalkol (25: 24: 1) eklenmiştir. Çalkalamalı tabla üzerinde 5 dakika karıştırılmış ve tüpler 8000 rpm’de 2 dk santrifüj yapılmıştır. Oluşan üç fazdan plazmit içeren en üst faz yeni bir ependorfa alınmış ve üzerine hacminin 0.6 katı kadar 2-Propanol ilave edilmiştir. Nazikçe karıştırılmış ve 15 dk. oda sıcaklığında inkübe edilmiştir. Daha sonra 8000 rpm’de 10 dk santrifüj yapılmıştır. Süpernatant uzaklaştırılmış ve pelette kalan sıvının kuruması sağlanmıştır. Kurutulan pelet üzerine 200 µL 0.3 M NaOAc eklenmiş ve çözündürülmüştür. Tüpe 400 µL absolut etanol ilave edilmiş ve -20 °C’de gece boyunca

inkübasyonu sağlanmıştır. Daha sonra 8000 rpm'de 10 dakika santrifüj edilmiş, süpernatant uzaklaştırılmış ve pelet kurumaya bırakılmıştır. Pelet üzerine 30 µL TE ilave edilmiş ve -20 °C'de muhafaza edilmiştir.

Çalışmada bakteriler için spesifik olan ve evrensel olarak kabul edilen primerler [Primer 1: 27 F (5'-GAG TTT GAT CCT GGC TCA-3') ve Primer 2: (1385R) (5'-CGGTGTGT[A/G]CAAGGCC-3')] kullanılmıştır. Primerler kullanılarak amplifiye edilen PCR ürünlerinin 5µL' si % 1'lik agaroz jelde yürütülerek 16s rRNA bölgelerinin elde edilip edilmediği yani istenilen bölgenin çoğaltılıp çoğaltılmadığı doğrulanmıştır. (Yanmis ve Adiguzel 2014).

% 1'lik agaroz jel hazırlamak için 22 gram agaroz 220 ml 1xTAE solüsyona eklenerek mikrodalga fırında homojen bir şekilde çözülmesi sağlanmış, homojen karışım yaklaşık olarak 45 °C ile 50 °C arasına kadar soğumaya bırakılıp ve son konsantrasyonu 0,3 µL/mL olacak şekilde 8 µL Etidyum Bromür eklenmiş, daha sonra agaroz jel kasete yüklenerek 35- 60 dakika boyunca donması için bekletilmiş daha sonra taraklar çıkarılmış ve jel, 1x TAE buffer bulunan elektroforez tankına yerleştirilmiştir.

Bakteri İzolatlarının Dizi Analizi

Klonlaması yapılan örneklerin PCR ürünleri hizmet alımı ile sekans analizine gönderilmiş, buradan elde edilen veriler (sekans dizi sonuçları) National Center for Biotechnology Information (NCBI) üzerinden BLAST edilerek hangi türe veya türlere yakınlık gösterdiği belirlenmiştir. Sekans analiz sonuçları EMBL, GenBank, DDBJ Basic Local Alignment Search Tools (BLAST) programı ile karşılaştırmalı olarak analiz edilmiştir (Altschul *et al.* 1990).

3.2.6. İzolatların Total Ksilanaz Aktivitesinin Belirlenmesi

Bakteri izolatlarının enzim aktivitelerinin belirlenmesi amacı ile sıvı besi yerinde geliştirilen kültürlerden 1,5 mL ependorf tüplerine alınarak 12000 rpm'de 5 dk. boyunca santrifüj edilmişlerdir. Santrifüj sonunda ependorf tüplerinin süpernatant kısmından 0.5 ml'lik kısmı alınarak, aynı oranda % 1'lik ksilan çözeltisiyle Hungate tüpünde

kariřtirilmiřtir. Daha sonra 1 saat boyunca 65 °C’de bekletilmiřtir. Surenin bitiminde Hungate ttipunun uzerine 1’er ml DNS cözeltisi eklenerek reaksiyon iřleminin durdurulması sađlanmıřtır. Daha sonra 5 dk. boyunca sıcak su banyosunda tutulmuř ve uzerlerine 5 ml kadar dH₂O ilave edilmiřtir. Distile su ilave edilen ttipler ters döz edilerek kariřtirilmiř ve akabinde spektrofotometrik ölçüm yapan nanodrop cihazı ile 540 nm dalga boyunda O.D. yođunlukları ölçölmüřtür. Aktivitesi yüksek olan bakterilerden ksilanaz enzimi rekombinant olarak üretilmiřtir.

3.2.7. Rekombinant Ksilanaz Üretilmesi

3.2.7.1. Biyoinformatik Analizler

Çalıřma kapsamında klonlanarak rekombinant protein olarak üretilcek 1,4-β-endo ksilanaz geninin cęřitli *Bacillus* türlerinin genomunda belirlenmesi, belirlenen aday genin diđer organizmalardaki genler ile benzerliklerinin ortaya konması, *E. coli*’de heterolog protein ekspresyonunun gercėleştirilmesi amacıyla yapılan klonlama cılıřmalarında kullanılacak primer DNA dizilerinin belirlenebilmesi için NCBI Genbank gibi veri tabanları ile BLAST, ClustalW, WebCutter gibi cęřitli temel biyoinformatik araçlardan yararlanılmıřtır.

Aday genlerin tayini için 1,4-β-endo ksilanaz enziminin rekombinant olarak üretilmesi amaçlandıđından, *Bacillus* türleri seçilmiřtir. Organizmanın genomunda yer alan 1,4-β-endo ksilanaz enzimini kodlayan protein ve DNA dizilerine NCBI veri tabanından ulařılmıřtır.

Primer dizilerin tasarımı; belirlenen aday genin PCR ile cözaltılması amacıyla kullanılan primer DNA’ların tasarımı için;

- i) İlk olarak aday gen dizileri Webcutter ile restriksiyon kesim analizine alınmıř ve gen bölgesini kesmeyen restriksiyon enzimleri belirlenmiřtir.
- ii) Sonrasında bu enzimlerden pET 16b vektörünün cöklu klonlama bölgesinde bulunanlar primer dizilere eklenerek primer dizilerin tasarımı gercėleştirilmiřtir.

Tasarlanan primerler BLAST ile analiz edilmişlerdir. PCR reaksiyonlarında kullanılan primer DNA dizileri Çizelge 3.3.'de gösterilmiştir.

Çizelge 3.3 Aday genlerin PCR amplifikasyonunda kullanılan primer DNA dizileri

Gen	Primer Adı	Primer DNA dizisi	Restriksiyon Enzimi	Bç. Uzunluğu	Tm
1,4-β-endo ksilana z	F-Ksilanaz	GTCGAGATGAAA AAATTA CTGT GTCTTA	SalI	27	57°C
	R-Ksilanaz	AAGCTTCAAAAC AAGGAAAATATC TCCAAA	HindIII	28	61°C

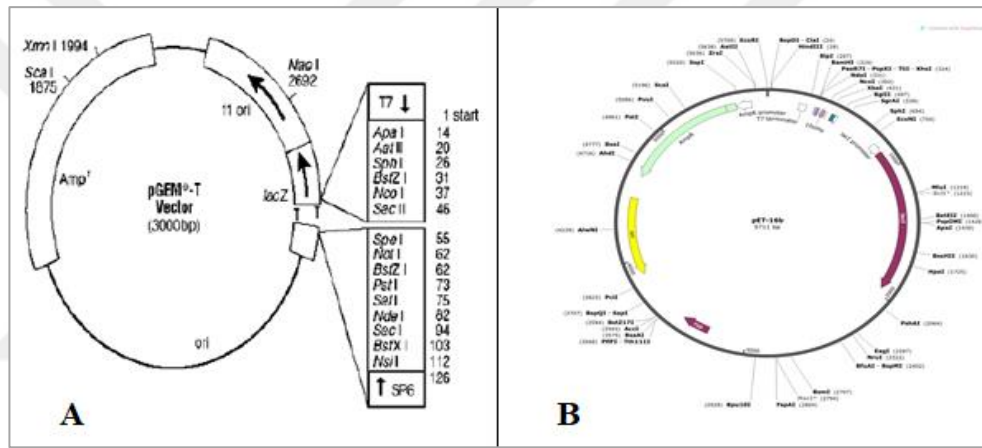
* sarı ile gösterilen kısımlar restriksiyon tanıma bölgelerini göstermektedir.

3.2.7.2. 1,4-β-endo Ksilanaz Proteinlerine Ait Genlerin Klonlanması

Çizelge 3.3.'de belirlenmiş olan genler PCR ile amplifiye edilerek PCR ampliconları taşıyıcı vektörlere ve ardından *E. coli*'ye aktarılmıştır. Bu amaçla ilk olarak genomik DNA izolasyonu Chong (2001)'dan alınan metoda göre gerçekleştirilmiştir. Elde edilen gDNA kalıp olarak kullanılarak aday genlerin amplifikasyonu yukarıda belirtilen primerler kullanılarak gerçekleştirilmiştir. PCR ürünleri % 1'lik agaroz jelde analiz edilmiş ve ilgili genlere ait istenen büyüklükteki DNA bantları jelden kesilip saflaştırılmıştır. Elde edilen ampliconlar TA klonlama ile pGEMT-Easy vektörüne ve ardından *E. coli* DH5-α konakçısına ısı şoku ile aktarılmıştır. Belirlenen pozitif klonlardan saflaştırılan plazmit DNA'lar XbaI ve KpnI enzimleri ve primer DNA'lar üzerinde tanıma dizileri bulunan uygun restriksiyon enzimleri ile kesim reaksiyonuna alınmış ve saflaştırılmıştır. Restriksiyon analizi sonucunda belirlenen plazmit DNA'lar dizi analizi ile kontrol edilmiş ve pozitif klonlar belirlenmiştir. Dizi analizi işlemi hizmet alımı şeklinde gerçekleştirilmiştir.

Kullanılan Vektörler

Bacillus türlerinden 1,4- β -endo ksilanaz geninin klonlanması amacı ile pGEMT-Easy vektörü (Promega), rekombinant protein ifadesi için ise pET 16b vektörü (Qiagen) kullanılmıştır (Şekil 3.3). pGEMT-Easy vektörünün klonlama bölgesine sarkik timin bazları oturtulmuş ve plazmitde bulunan 3' uçlarındaki fosfatlar çıkartılmıştır. Buradaki amaç plazmitin ligasyon aşamasında halkasal yapı alması engellenerek klonlama olasılığının artırılmasıdır. Klonlama bölgesi plazmit üzerinde β -galaktosidaz enzimini üreten lac-Z geni içerisine yerleştirilmiştir. Bu sonuçla pozitif klonların seçilmesi ve kolonilerdeki mavi-beyaz seleksiyon seçimi bu farklılığa göre yapılmıştır (Ozic 2012).



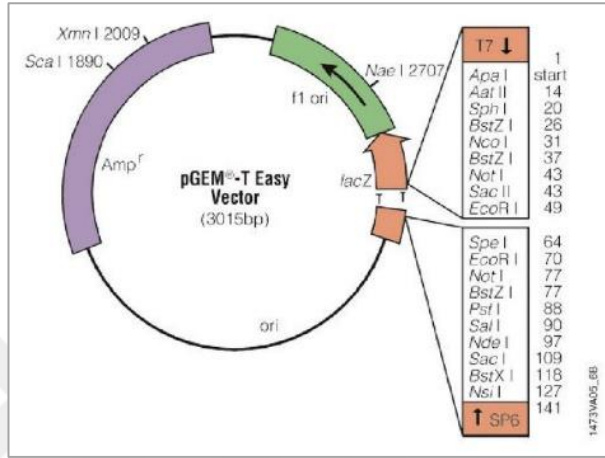
Şekil 3.3 Çalışmada kullanılan vektörler, A: pGEMT-Easy Vektörü (Promega); B: pET 16b Vektörü (Novagen)

PCR Reaksiyonu Sonucu Oluşan Ürünün Ligasyonu

Ligasyon, plazmit içeriğinde bulunan Timin (T) nükleotitleri ile PCR ile ürün amplifikasyonu yapıldığında Taq polimeraz enziminin ürünün uçlarına eklediği Adenin (A) nükleotidinin bir araya gelmesi ile T-A klonlanması olayı temeline dayanmaktadır. PCR ürünlerine A ekleme reaksiyonu: 1 μ L 10x tampon, 1 μ L 25 mM MgCl₂, 0,5 μ L 2.5 μ M dATP, 6.5 μ L PCR ürünü, 1 μ L Taq DNA Polimeraz ile hazırlanan karışım 70°C 'de 30 dk. inkübe edildikten sonra PCR ürünü ligasyon için hazırlanmıştır. Ligasyon aşamasında belirtildiği gibi pGEMT Easy vektörü kullanılmıştır (Şekil 3.4). Bu vektörler projeler ile hizmet alımı şeklinde elde edilmişlerdir. Ligasyon için gerekli olan bileşenler,

miktarları ve insert oranı firma tarafından gönderilen uygun protokole göre uygulanmıştır.

Reaksiyonda; 2x Rapid Ligation Bufer 5 µL, pGEM-T Easy Vektör 1 µL, İnsert X µL, T4 DNA Ligaz (5u/µL) 1 µL, Deiyonize su 10µL'ye tamamlanmıştır. Reaksiyonun tamamlanma süresi ve ortam sıcaklığı, 16 °C'de 24 saattir (Ozic 2012).



Şekil 3.4 pGEM-T Easy Vektör Sistemi

***E. coli* (Kompetent) Suşlarının Tranformasyonu**

-80°C' de muhafaza edilen kompetent hücreler çıkarılmış ve buz üzerinde yaklaşık 5 dk. bekletilmiştir. Ligasyon aşamasında elde edilen ürün daha önceden temin edilmiş olan kompetent hücrenin üzerine aktarılmış ve buz üzerinde yaklaşık 30 dk. boyunca bekletilmiştir. Bu süre zarfı sonucunda buz üzerinden alınan örnekler 42 °C'ye ayarlanan ısı bloğuna 1 dk.ısı şokuna bırakılmıştır. Süre sonunda ısı bloğuna alınan örnekler tekrar buz üzerine alınmış ve buzda 3 dk. bekletilmiştir. Süre sonunda üzerine 500 µL LB eklenmiş ve 37 °C'de 35 dk. inkübe edilmiştir. Süre sonunda 10000 rpm'de 2 dk. boyunca santrifüj edilmiştir. Besiyerlerinin ekimi yapılacağı petriyerler 40'ar µL X-Gal ile muamele edilmiştir. Tüp içerisinde süpernatanttan 50 µL kalacak şekilde süpernatant uzaklaştırılmıştır. Pelet 50 µL içerisinde çözülmüş, sonra LB-agar-ampisilin - XGal içeren besi ortamına alınmış ve bir gece 37 °C'de inkübe edilmiştir. Yapılan bu transformasyon basamağından sonra oluşacak olan mavi-beyaz kolonilerden beyaz renkli olan koloniler seçilerek alınmıştır. Aseptik koşullar altında öze yardımıyla alınarak, önceden hazırlanmış olan 40 µL X-Gal içeren LB Agar Amfisilin (100 µg/µL) petriyerlerine

çizgi ekimleri yapılmıştır. İşlemden arta kalan öze uçlarındaki amfisilinli 100 ml sıvı besiyeri içeren erlenlere alınmıştır. X-Gal içeren LB Agar amfisilin petripleri ve LB besiyerleri 37 °C’de bir gece inkübe edilmiştir (Ozic 2012).

Plazmid İzolasyonu

Elde edilen beyaz kolonilerden plazmit izolasyonu yapmadan önce koloniler 1 gece boyunca 120 rpm’de 37°C’de ampisilin (100 µg/µL) içeren LB agar besiyerinde büyütülmüştür. Daha sonra besiyerleri falkon tüplerine transfer edilmiş ve 8000 rpm’de 5 dk. santrifüje tabi tutulmuştur. Elde edilen süpernatant uzaklaştırılmıştır üzerlerine pH’ı 8.0 olan 1000 µL 50 mM Tris-HCl ilave edilmiştir. Vorteks yardımı ile elde edilen peletler çözündürülmüş ve ependorf tüplerine transfer edilerek 1 dk. boyunca 8000 rpm’de santrifüj edilmiştir. Bakteri peletinin parçalanmasında ise 150 µL Lizozim-Tris ve pH’ı 8.0 olan 20 µL 0.5 M EDTA karıştırılarak pelet üzerine aktarılmış ve pelet solüsyonda çözündürülmüştür. Çözündürülen pelet 30 dk. boyunca buz üzerinde inkübe edilmiştir. Plazmit DNA’sının çöktürülmesi aşamasında ise her bir tüpe 400 µL 0.2 M NaOH ve 1:1 oranında % 1’lik SDS eklenmiş ve 5 dk. buzda inkübe edilmiştir. Bu süreç zarfında pelete 300 µL 7.5 M amonyum asetat eklenmiştir. Tüpler nazikçe ters düz edilerek 10 dk. boyunca buzda inkübe edilmiştir. Bu aşamadan sonra çöken plazmitin saflaştırılması için süre sonunda tüpler buzdan alınarak 8000 rpm’de 15 dakika boyunca santrifüj edilmiş ve süpernatant kısmı yeni ependorflara aktarılmıştır. Fenol-kloroform uygulama aşamasında süpernatantın üzerine 800 µL fenol: kloroform: izoamilalkol (25: 24: 1) eklenmiştir. Çalkalamalı tabla üzerinde 5 dakika karıştırılan tüpler 8000 rpm’de 2 dk santrifüj yapılmıştır. Oluşan üç fazdan plazmit içeren en üst faz yeni bir ependorfa alınmış ve üzerine hacminin 0.6 katı kadar 2-Propanol ilave edilmiştir. Nazikçe karıştırılan tüpler 15 dk. oda sıcaklığında inkübe edilerek 8000 rpm’de 10 dk santrifüj yapılmıştır. Süpernatant uzaklaştırılarak kurutulan pelet üzerine 200 µL 0.3 M NaOAc eklenmiş ve çözündürülmüştür. Tüpe 400 µL absolut etanol ilave edilmiş ve -20 °C’de gece boyunca inkübasyonu sağlanmıştır. Daha sonra 8000 rpm’de 10 dakika santrifüj edilmiş, süpernatant uzaklaştırılmış ve pelet kurumaya bırakılmıştır. Pelet üzerine 30 µL TE ilave edilmiş ve -20 °C’de muhafaza edilmiştir (Ozic 2012).

Plazmitin Restriksiyon Enzimleriyle Kesimi

Plazmitlerin istenilen DNA bölgesini içerip içermediğinin kontrolü için bu bölgeye özel restriksiyon enzimleriyle (XbaI ve KpnI) kesimi sağlanmıştır. Kullanılan kesim reaksiyonu; 1 µL (Fermentas XbaI ve KpnI 10,000 u/ml) enzimi, 1 µL 10X enzim tamponu, 1 µL Plazmit (1.380 ng/µL) ve 7 µL H₂O'dan meydana gelmektedir. Karışımı hazırlanan reaksiyon tüpü 37 °C'de 16 saat inkübasyona bırakılmıştır. Kesime uğrayan ve içinde klonlanmış DNA parçası içerenler “pozitif koloni” olarak tanımlanmıştır (Ozic 2012).

PCR Ürünlerinin Jelden Saflaştırılması

Jelde yürütülen örneğe ait ürünün oluşturduğu bant büyüklüğü uygun marker yardımı ile tespit edilmiştir. Beklenen marker büyüklüğündeki bant, UV ışık altında jelden dikkatlice kesilerek alınmış ve Invitrogen PureLink Quick Gel Extraction Kit protokolü uygulanarak saflaştırma işlemi yapılmıştır.

3.2.7.3. 1,4-β-endo Ksilanaz Enzimine Ait Proteininin *E. coli*'de Heterolog Protein Olarak Üretilmesi, Saflaştırılması ve Karakterizasyonu

Çalışmada elde edilen pozitif klonlarda enzimlerin üretilmesi, saflaştırılmaları ve enzimatik karakterizasyonları yapılmıştır. Moleküler klonlama işlemleri sonucunda elde edilen pozitif klonlardan enzimlerin saflaştırılması için klonlar amfisilin (0,1 mg/ml) içeren LB ortamında 37 °C'de OD₆₀₀ değeri 0,6-0,8 değerine gelinceye kadar inkübe edilmiş ve ardından IPTG ile indüklenerek (yaklaşık 3 saat) proteinin aşırı şekilde ifade edilmesi sağlanmıştır. İnkübasyon sonrasında hücrelerden toplam protein izolasyonu ve bunu takiben de Nikel afinitesi ile 6X-His takısına sahip rekombinant proteinlerin saflaştırılması gerçekleştirilmiştir. Histidin takısına sahip rekombinant proteinlerin saflaştırılmasında yüksek miktarda ve yüksek saflıkta ürün elde edilebildiği için Nikel afinitesi ile saflaştırma tercih edilmiştir (Steinert *et al.* 1997). Saflaştırma sonrasında elde edilen proteinlerin başarılı bir şekilde ifade edilip edilmedikleri ve saflaştırılan proteinin moleküler ağırlığı SDS-PAGE ile analiz edilmiştir. Ayrıca Western blot tekniği

kullanılarak saflaştırılan proteinin histidin takısına sahip olup olmadığı Anti-His antikoruna ile teyit edilmiştir.

Ksilanazın *E. coli*'de Rekombinant Olarak Üretilmesi ve Saflaştırılması

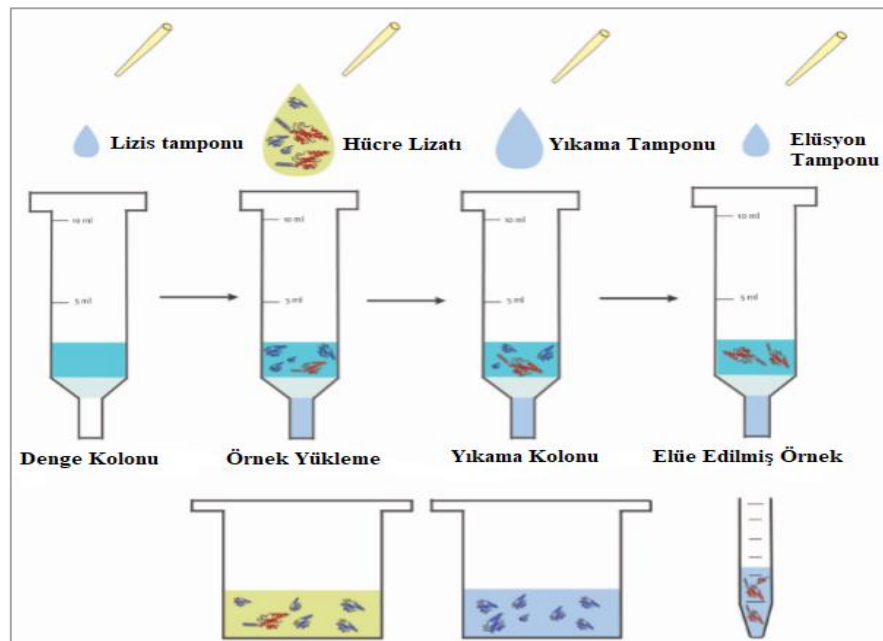
Rekombinant proteinin üretilmesi aşaması ksilanazın ekspresyon plazmitine aktarılması, proteinin izolasyonu, saflaştırma ve SDS Page aşamalarından oluşmaktadır. Rekombinant proteinlerin ifadesi amacıyla kullanılan pET 16b vektörü *E. coli*'de yüksek miktarda protein ifadesi için oluşturulmuş bir vektördür. Vektör yapısında yüksek transkripsiyon için sentetik bir ribozom bağlanma bölgesi yer almaktadır. Ayrıca vektör üretilen rekombinant proteinlerin saflaştırılması amacıyla N terminalde altı adet histidin artığına, birçok restriksiyon enziminin tanıma dizilerinin yer aldığı çoklu klonlama bölgesine ve amfisilin direnç bölgesine sahiptir.

Protein İzolasyonu Aşaması

Elde edilen beyaz kolonilerden yani pozitif kolonilerden 10 ml'lik kültür amfisilinli LB besiyerine aktarılmış ve 16 saat boyunca inkübe edilmiştir, bu sürenin sonunda 0.1 M IPTG (izopropil- beta- D- tiogalaktopiranosit) 100 µL eklenmiş ve 3 saatlik süreç boyunca saat başı hücreler alınmıştır. Alınan hücreler 6000 rpm'de 15 dk. boyunca santrifüj edilmiş ve 1 ml TES (100 mM Tris HCL pH: 7.5, 100 mM EDTA ve 100 mM NaCl ile 50 ml) ile yıkanmışlardır. Daha sonra aynı santrifüj koşullarında tekrar peletlenmiş ve 180 µL TES ile çözündürülmüştür. Bu örneklere 10 mg/ml lizozimden 0.02 gr lizozim ve 50 mM TrisHCL ve pH:8 ile çözündürülüp distile su eklenerek 2 ml'ye tamamlanmıştır. Daha sonra 2 µL ve 10 µL deterjan kokteyli 150 µL Tween 20 ile 150 µL Triton x100 eklenmiş ve 20 dk. buz üzerinde inkübe olması sağlanmıştır. İnkübasyon sonrası 50 µL 50 mM Tris HCL, 0.8 µL Endonükleaz ve 1.5 µL 1 M MgCl₂ eklenip 20 dk. oda koşullarında bekletilmiştir. Bu aşamadan sonra iki kez tekrarlı olmak kaydıyla, -80°C'de 20 dk. tutulan karışım oda koşullarında bekletilmiştir. Elde edilen karışım soğutmalı santrifüjde +4 °C'de yaklaşık 12000 rpm'de 15 dk. boyunca santrifüj edilip süpernatant kısmı farklı bir ependorfa alınıp saflaştırma işlemine geçilmiştir.

Safılaştırma Aşaması

Safılaştırma aşamasında ksilanazı tanıyan ve tutan safılaştırma boncuğu kullanılmıştır. Bu boncuk Ni-NTA agarose (QIAGEN Kat. no: 30230) Histidin affinitesine yakınlık göstererek bunları tutan boncuklardır (Şekil 3.6). Bu boncuklar pET16b içinde 6X His'lere affinite duymaktadır. Ni-NTA agarose'dan 120 µL alınıp soğutmalı santrifüjde +4°C'de 3,000 rpm'de 5 dk. boyunca santrifüje tabi tutulmuştur. Ni-NTA agarozları kitle belirtildiği gibi Buffer C; 8 M urea, 100 mM NaH₂PO₄ ve 10 mM Tris HCl ile pH:6.3 olacak şekilde 1.000 ml tamamlanır. Daha sonra 3 dk. boyunca karıştırıcı tabla üzerinde karıştırıldıktan sonra 3,000 rpm'de 5 dk. santrifüj edilmiştir. Bu işlem 3 defa tekrarlanmıştır. Protein süpernatantları Ni-NTA agarose boncukları ile karıştırıldıktan sonra gece boyunca +4 °C'de karıştırıcı tabla üzerinde bekletilmiştir. Bu sürecin ardından örnekler +4 °C'de 3,000 rpm'de 5 dk. boyunca santrifüj edilmiştir. Santrifüj sonrası elde edilen pelet 500 µL Buffer C (Ni-NTA için) ve 1X PBS ile yıkanmış, 3 dk. boyunca karıştırıcı üzerinde çalkalandıktan sonra 3,000 rpm'de 5 dk. boyunca santrifüj edilmiştir. Bu işlem 5 defa tekrarlanmıştır. Son santrifüj ile birlikte süpernatant atıldıktan sonra 100 µL Leamli buffer (250 µL 0.5 M Tris HCl (pH:6.8), 200 µL % 20 SDS, 200 µL Gliserol, 100 µL β-merkaptoetanol, az miktarda Bromfenol blue eklenmiş ve dH₂O ile 1 ml'ye tamamlanır) eklenmiş ve 10 dk. boyunca kaynatılmıştır. Bu aşamadan sonra örneklerden 10 µL SDS-Page jeline yüklenmiştir (Ozic 2012).



Şekil 3.4 Ni-NTA Agarose Boncuk Sistemi (Chao *et al.* 2017), Anonim 2017

SDS Page Aşaması

SDS Page de kullanılan jel sistemi Bio-RAD firması tarafından temin edilmiştir. Biyoteknolojik çalışmalarda sıklıkla kullanılan SDS-PAGE proteinlerin molekül ağırlıklarını belirlemek amacı ile kullanılan jel elektroforezidir. Deterjan türevi olan sodyum dodesil sülfat (SDS) proteinlerin yapısının bozulmasını sağlar. Yürütme tamponu (Running buffer) ve ayırma tamponu olmak üzere iki farklı tampon kullanılmıştır. Yürütme tamponu; Hazırlanışı itibari ile % 10'luk hazırlanacak şekilde, 3.3 ml % 30 Bis-akrilamid, 2.5 ml 1.5 M Tris HCl (pH:6,8), 0.1 ml % 10 SDS, 4.1 ml dH₂O, 5 µL TEMED ve 50 µL amonyom persülfat ile hazırlanmıştır. Ayırma tamponu (Stacking buffer) ise; yine % 10'luk hazırlanacak şekilde 1.7 ml % 30 Bis-akrilamid, 2.5 ml 0.5 M Tris HCl (pH:6,8), 0.1 ml % 10 SDS, 5.7 ml dH₂O, 10 µL TEMED (N,N,N',N'-tetrametiletilediamin) ve 50 µL amonyom persülfat ile süspansiyon edilmiştir. Bu tamponlar aracılığı ile hazırlanan jelle örnekten 10 µL yüklenmiş ve 80 V'da 2 saat yürütülmüştür ve renkli özelliğe sahip olan Kaleidoscope prestained standards (Bio-RAD, Kat. no:161-0324) markırı kullanılmıştır.

Rekombinant Olarak Üretilen Ksilanazın Western Blot Analizi

Western blot; spesifik antikorlar ile jel elektroforezinin rezolüsyonunu bir araya getirerek kullanan analiz metodudur. Çalışmada üretilen proteinin doğru protein olup olmadığını ve miktarı tespit etmek amacıyla bu yöntem kullanılmıştır.

SDS-Page'e yüklenen jeller öncelikle yıkama tamponu (3 gr TrisHCL, 14.4 gr glisin, 200 ml methanol, dH₂O ile 1,000 ml tamamlanmıştır) içinde 30 dk. boyunca karıştırıcı üzerinde tutulmuştur. mA değerinin hesaplanmasında ise Alan x 0,8 = ?mA formülüne 24 mA'lık bir değer bulunmuştur. Çalışmada Sigma Proteo qwest kiti kullanılmıştır. Blotma işleminin ardından ise membranlar kit içeriğinde toz halinde olan ve 500 ml distile su ile hazırlanan TBST ile 1 dk. boyunca yıkanmış ve süre sonunda TBST süzülerek atılmıştır. Süzülen membran üzerine kit içerisinde bulunan bloker çözeltisi aktarılmış ve 30 dk. boyunca karıştırıcı üzerinde etkin temas olması için karıştırılmıştır. Ni-NTA kullanılarak saflaştırılan membran için anti-Histidin antikor (Mouse monoklonal antibody Anti-His6 (Roche, Kat. no: 135508)) ve 30 dk. boyunca

karıştırıcı üzerinde etkin temas olması için karıştırılmıştır. Süre sonunda TBST ile membranlar 1 dk. boyunca karıştırıcı üzerinde yıkanmış ve TBST süzülerek atılmış ve ikinci bloklama aşamasına geçilmiştir. Tekrar western bloker çözeltisi eklenmiş ve 30 dk boyunca karıştırıcıda bekletilmeden ikincil antikor (Anti-mouse IgG (Sigma, Kat.no: A5225) 1:1000 ile muamele edilmiştir. Bu membranlar süre sonunda 5'er dk. boyunca 5'er kez TBST tamponu ile yıkanmıştır. Uzaklaştırılan TBST'den sonra membranlar ikinci bir plastik boyama tankına aktarılmış ve üzerlerine 4-kloro-1-naftol eklenerek 15 dk boyunca bekletilmiştir. Bantlaşmalar belirginleşince tampondan alınmış, dH₂O ile yıkanarak, kurutulmuştur. Kurutulan membranlar UV fotometrede beyaz ışıktaki görüntülenmiştir.

3.2.7.4. ANADOLUCA Yöntemi ile Enzimin Kafeslenmesi

Say *et al.* (2015) tarafından patentlenen ANADOLUCA yöntemi; biyoteknoloji, genetik ve moleküler biyoloji gibi alanlarda elde edilen ürünlerin kararlılık ve etkinliğini geliştiren bir yöntem olup, oligomerlerin, enzimlerin, aminoasitlerin ve bunun gibi biyoteknolojik ürünlerin; rutenyum tabanlı, ışığa duyarlı, konjugasyonunu ve çapraz bağlanmasını kurgulayan bir yöntemdir. Bu yöntemde çeşitli yapıların etrafı rutenyum tabanlı aminoasit monomerleri ile kuşatarak çapraz bağlı yapılar sayesinde moleküllerin; aktiviteleri, kararlılıkları, duyarlılıkları ve yeniden kullanılabilirliklerinin artırılması sağlanmaktadır. Bu yöntem ile enzimin kuşaklanmasından sonra enzimin geniş pH, sıcaklık ve tekrar tekrar kullanımında aktivitesinin daha geniş ve etkin bir biçimde uzun soluklu kalması sağlanmaktadır (Say *et al.* 2015). Çalışmada 45 mL distile suda çözünen 0.5 gr PVA (Poly vinil alkol), mikro emülsiyon sistem ile hazırlanmıştır. 20 µL ksilanaz enzimi 10 µL MATry-Ru (biyr)₂ – MATyr (Methacroyl Tyrosine- Metracroyl Tyrosine ruthenium (II) ile 20 dk. boyunca karıştırılarak üzerine hazırlanmış PVA (Poly Vinil Alkol) çözeltisinden 15 mL eklenmiştir. Başlatma solüsyon 0.02 gr APS (Amonyun Persulfate) ve 45 mL distile su ile çözüldürülmüş ve reaksiyon karışımından 5 mL eklenerek gün ışığında Nitrojenli azot atmosferi altında 48 saat boyunca karıştırılmıştır. Ksilanaz nanopartikülleri tepkime çözeltisinden 6000 rpm'de 10 dk. santrifüjlenerek ayrılmış ve reaksiyona girmeyen maddeler distile su ile yıkanarak uzaklaştırılmıştır.

3.2.7.5. Ksilanaz Enziminin Aktivitesinin Tayini

Enzim Aktivite Tayinini Etkileyen Faktörlerin Ölçümü

a. pH Değerinin Aktiviteye Etkisi

Farklı pH aralıklarında ksilanaz enziminin aktivite testlerinin yapılması amacı ile çeşitli tamponlar kullanılmıştır. Enzimin pH 4.0 ile 5.5 arasındaki aktivitesinin tespiti için sitrat tamponu (0.2 M sitrik asit ve 0.2M Na₂HPO₄.7H₂O ve distile su), pH 6.0 ile 8.0 arasındaki aktivitesinin tespiti için Sodyum-Fosfat tamponu (0.2M NaH₂PO₄ ile 0.2M Na₂HPO₄.7H₂O ve distile su) kullanılmıştır. pH 8.5-10.0 arasındaki aktivitenin tespiti için de Glisin-NaOH tamponu (0.2M Glisin ile 0.2M NaOH ve distile su) kullanılmıştır. Hazırlanan her bir tampon içerisinde farklı pH değerlerinde enzimlerin aktivite ölçümleri hesaplanmıştır (Temizkan ve Arda, 2004).

b. Sıcaklık Seviyesinin Aktiviteye Etkisi

Elde edilen enzimin aktivitesi için uygun sıcaklık aralıklarının belirlenmesi amacıyla farklı sıcaklık değerlerinde (37 °C, 40 °C, 45 °C, 50 °C, 60 °C, 70 °C, 80 °C, ve 90 °C'lik aralıklarda) aktivite testleri yapılmıştır. 0.5 ml enzim ve aynı hacimde substrat karışımı enzim aktivite test metodu ile belirtilen sıcaklıklarda 1 saat inkübe edildikten sonra karışıma 1.5 ml DNS eklenip 5 dk. boyunca kaynar su banyosunda bekletilmiştir. Daha sonra 550 nm dalga boyunda O.D. değerleri belirlenmiştir.

c. Substrat Miktarının Aktiviteye Etkisi

Elde edilen enzimin substrat miktarına dayalı olarak aktivitesini tespit etmek için farklı yoğunluklarda hazırlanan ksilan (% 0.5, 1.0, 1.5, 2.0, 2.5, 3.0, 3.5, 4.0) ependorflara aktarılmış, uygun pH ve sıcaklık değerlerinde 1 saatlik aralıklarla enzim aktivitesi ölçülmüştür.

d. Metal İyonlarının Aktiviteye Etkisi

Metal iyonlarının aktiviteye etkisinin belirlenmesi amacı ile MgSO₄, CuSO₄, CaCl₂, ZnSO₄, ve FeSO₄² içeren çözeltiler kullanılmıştır. Uygun pH ve sıcaklık değerlerinde 5 mM, 0,01 mL metal iyonu çözeltisi 0.5 ml örnek ile muamele edilmiştir. 15 dk boyunca ön inkübasyona bırakılarak örneklere uygun substrat ilave edilmiş ve optimum sıcaklıkta 60 dk.inkübe edilmiştir. İnkübasyon sonunda 550 nm dalga boyunda absorbans değerleri belirlenmiştir. (Aygan ve Arıkan, 2009).

V_{max} ve *K_m* Değerinin Hesaplanması

B. subtilis'ten elde edilen ve saflaştırılan rekombinant ve rekombinant nano ksilanaz enzimlerinin *V_{max}* ve *K_m* değerleri 5 farklı substrat yoğunluğuna karşı ölçülmüştür. Substratın farklı konsantrasyonlarında (% 0,5, % 1, % 1,5, % 2, % 2,5, % 3, % 3.5 ve % 4 ksilan) hazırlanan enzimler optimum pH ve sıcaklıkta (75 °C ve pH=7'de) inkübe edilerek 540 nm'de spektrofotometrik absorbans değerleri ölçülmüştür. Lineveawer-Burk grafikleri belirlenerek elde edilen veriler neticesinde *K_m* ve *V_{max}* değerleri hesaplanmıştır.

4. ARAŞTIRMA BULGULARI

4.1. Sıcak Su Kaynaklarının Kimyasal Analiz Sonuçları

Toplanan su örneklerinin kimyasal analizleri, pH, iletkenlik, NO₃, NH₄, NO₂, Fe, Al, Cu, Pb ve S rapor edilmiştir. Analiz sonuçları içilebilir su kaynakları ve genel kaplıcalardaki referans aralıkları ile karşılaştırmalı olarak verilmiştir (Çizelge 4.1).

Çizelge 4.1 Su örneklerinin kimyasal analizi (Aksoy *et al.* 2009) (İSKİ, Su Kalite Raporları)

Sıcak Su Kaynakları	pH	İletkenlik (mS/cm)	NO ₂ (mg/l)	NH ₄ (mg/l)	NO ₃ (mg/l)	Fe (mg/l)	Al (mg/l)	Cu (mg/l)	Pb (mg/l)	S (mg/l)
İçilebilir Değer Sınırları Genel Kaplıcalar	6,5-9,5	<2500	<0,5	<0,5	45-50	<0,2	<0,2	<0,05	<0,01	<0,01
Pasinler	7,79	1,899	0,007	2,15	38,5	0,377	0,09	0,5	1,69	0,02
Dargeçit	6,94	3,177	0,378	1,06	0	0,749	0	0	0,860	0,03
Güçlükonak	6,90	1,782	0,613	2,39	2,5	>1,000	0,134	8,26	>1,000	0,039
Hısta	7,90	1,146	0,375	>2,58	0	0,925	0,50	3,19	>1,000	0,027
Hasanabdal	9,1	942,9	0,390	>2,58	0	1,099	0,4	1,81	>1,000	0,029
Davut	6,2	5,158	0,395	0,008	0	0,389	0,181	0	0,666	0,021
Köprü	8,5	1,551	0,254	2,01	0	0,611	0,17	0	0,728	0,019
	7,4	2,254	0,273	0,79	0	0,817	0,23	0	0,454	0,017

4.2. Bakteri İzolatlarının Gelişim Sıcaklıkları

İzolatlar farklı sıcaklık (40 °C, 55 °C, 65 °C, 70 °C, 75 °C, 85 °C ve 90 °C) değerlerinde inkübe edilerek sonuçlar değerlendirilmiştir (Çizelge 4.2). Çalışma kapsamında yüksek sıcaklığa adapte olan bakteri izolatları tercih nedeni olduğundan, bundan sonraki aşamalarda yüksek sıcaklık değerlerinde üreyebilme yeteneğine sahip izolatlar üzerinden çalışmalar devam ettirilmiştir.

Çizelge 4.2 Bakteri izolatlarının gelişim sıcaklık değerleri

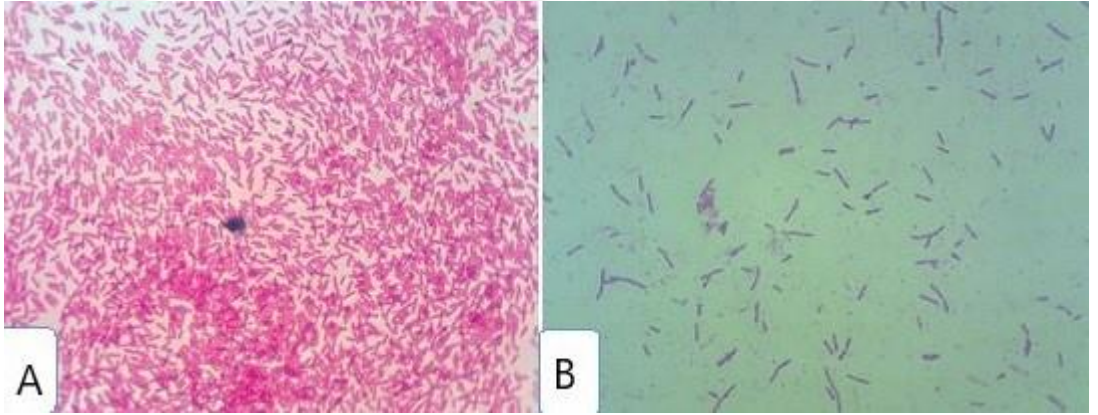
İzolatların Kodu	Sıcaklık Değerleri (°C)						
	40	55	65	70	75	85	90
BTX1,BTX2,BTX3 ,BTX4 ,BTX5 , BTX6 ,BTX7,BTX8, BTX9, BTX10, BTX11, BTX12,BTX13, BTX14, BTX15, BTX16, BTX17,BTX18, BTX19, BTX20, BTX21, BTX22,BTX23, BTX24, BTX25, BTX26, BTX27,BTX28, BTX29, BTX30, BTX31, BTX32, BTX33, BTX34, BTX35, BTX36,BTX51, BTX52, BTX53, BTX54, BTX55, BTX60, BTX61, BTX62, BTX63, BTX64, BTX65, BTX66, BTX67, BTX79, BTX80, BTX81, BTX82, BTX83	+	+	+	+	+	+	-
BTX37, BTX38, BTX39, BTX40,BTX41, BTX42,BTX43,BTX44,BTX45,BTX46, BTX47,BTX47,BTX49,BTX50,BTX58, BTX59,BTX68,BTX69,BTX70,BTX71, BTX72,BTX73,BTX74,BTX75,BTX76, BTX77,BTX78	+	+	+	+	+	-	-
BTX56,BTX57	+	+	+	+	-	-	-

4.3. Bakterileri İzolatlarının Tanısı

4.3.1. Morfolojik Tanılama

İzole edilen bakteri izolatları saf kültür olarak geliştirildikten sonra mikroskopik olarak incelenerek hücre morfolojileri tespit edildi. İzole edilen bakterilerin büyük bir çoğunluğu basil, tek bir türün ise (BTX16 izolatının) cocobasil olduğu tespit edilmiştir. Yapılan morfolojik incelemelerde hücrelerin bazılarının zincir formunda olduğu belirlenmiştir (Çizelge 4. 3).

Bakteri izolatlarının gram boyama sonucunda elde edilen mikroskop görüntüleri Şekil 4.1’de gösterilmiştir. Gram boyama testleri sonucunda izole edilen toplam 83 bakteriden 14 türün Gram (-), diğerlerinin Gram (+) olduğu tespit edilmiştir. Yine 26 izolatın endospor oluşturmadığı, 57 izolatın tamamının ise endospor oluşturduğu belirlenmiştir. İzolatların morfolojik test sonuçları Çizelge 4.3’de özetlenmiştir.



Şekil 4.1 Gram Boyama; A: Davut çamur kaynağı, B: Pasinler su kaynağı

Çizelge 4.3 Bakteri izolatlarının morfolojik test sonuçları

İzolat Kodu	Lokasyon	Hücre morfolojisi	Zincir Oluşumu	Endospor	Gram Testi
BTX1	Ağrı/Davut	Basil	+	+	+
BTX2	Ağrı/Davut	Basil	+	+	+
BTX3	Ağrı/Davut	Basil	-	+	+
BTX4	Ağrı/Davut	Basil	-	+	+
BTX5	Ağrı/Davut	Basil	-	+	+
BTX6	Ağrı/Davut	Basil	+	+	+
BTX7	Ağrı/Davut	İnce Basil	+	+	+
BTX8	Ağrı/Davut	Basil	+	+	+
BTX9	Ağrı/Davut	Basil	-	+	+
BTX10	Ağrı/Davut	Basil	+	+	+
BTX11	Ağrı/Davut	Basil	-	+	+
BTX12	Ağrı/Davut	Basil	+	+	+
BTX13	Ağrı/Davut	Basil	+	+	+
BTX14	Ağrı/Davut	Basil	+	+	+
BTX15	Ağrı/Davut	Basil	-	+	+
BTX16	Ağrı/Davut	Coco Basil	-	+	+
BTX17	Davut	Basil	-	+	+
BTX18	Davut	Basil	-	-	-
BTX19	Davut	Basil	+	+	+
BTX20	Davut	Basil	+	+	+
BTX21	Davut	Basil	+	+	+
BTX22	Davut	Basil	-	+	+
BTX23	Davut	Basil	+	+	+
BTX24	Davut	Basil	-	+	+
BTX25	Davut	Basil	-	-	-
BTX26	Davut	Basil	+	+	+
BTX27	Davut	Basil	+	+	+
BTX28	Davut	Basil	-	+	+
BTX29	Davut	Basil	+	+	+
BTX30	Davut	Basil	+	+	+
BTX31	Davut	Basil	-	+	+
BTX32	Davut	Basil	+	+	+
BTX33	Davut	Basil	+	+	+
BTX34	Davut	Basil	+	+	+

Çizelge 4.3 (Devam) Bakteri izolatlarının morfolojik test sonuçları

İzolat Kodu	Lokasyon	Hücre Morfolojisi	Zincir Oluşumu	Endospor	Gram Testi
BTX35	Davut	Basil	+	+	+
BTX36	Davut	Basil	-	+	+
BTX37	Pasinler	Basil	-	+	+
BTX38	Pasinler	Basil	-	+	+
BTX39	Pasinler	Basil	+	+	+
BTX40	Pasinler	İnce Basil	+	+	+
BTX41	Pasinler	Basil	+	+	+
BTX42	Pasinler	Basil	-	+	+
BTX43	Pasinler	Basil	+	+	+
BTX44	Pasinler	Basil	-	+	+
BTX45	Pasinler	Basil	+	+	+
BTX46	Pasinler	Basil	+	+	+
BTX47	Pasinler	Basil	+	+	+
BTX48	Pasinler	Basil	-	-	-
BTX49	Pasinler	Basil	-	+	+
BTX50	Pasinler	Basil	-	-	-
BTX51	Hısta	Basil	-	+	+
BTX52	Hısta	Basil	+	+	+
BTX53	Hısta	Basil	+	+	+
BTX54	Hısta	Basil	+	+	+
BTX55	Hısta	Basil	-	+	+
BTX56	Güçlükonak	Basil	+	+	+
BTX57	Güçlükonak	Basil	-	+	+
BTX58	Dargeçit	Basil	-	-	-
BTX59	Dargeçit	Basil	+	+	+
BTX60	Hısta	Basil	+	+	+
BTX61	Hısta	Basil	-	-	-
BTX62	Davut	Basil	+	+	+
BTX63	Köprü	Basil	+	+	+
BTX64	Köprü	Basil	-	+	+
BTX65	Köprü	Basil	+	+	+
BTX67	Köprü	Basil	+	+	+
BTX68	Pasinler	Basil	+	+	+
BTX69	Pasinler	Basil	-	+	+
BTX70	Pasinler	Basil	+	+	+
BTX71	Pasinler	Basil	-	+	+

Çizelge 4.3 (Devam) Bakteri izolatlarının morfolojik test sonuçları

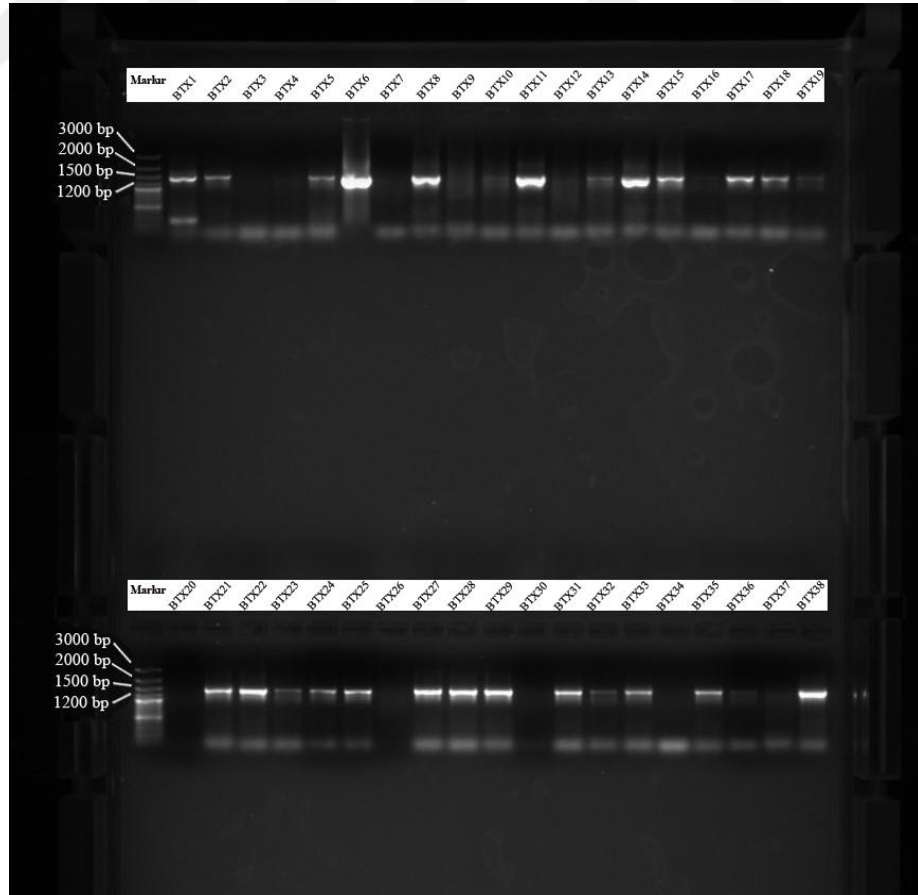
İzolat Kodu	Lokasyon	Hücre Morfolojisi	Zincir Oluşumu	Endospor	Gram Testi
BTX72	Pasinler	Basil	+	+	+
BTX73	Pasinler	Basil	+	+	+
BTX74	Pasinler	Basil	+	+	+
BTX75	Pasinler	Basil	-	+	+
BTX76	Pasinler	Basil	-	+	+
BTX77	Pasinler	Basil	-	-	-
BTX78	Pasinler	Basil	-	-	-
BTX79	Köprü	Basil	+	+	+
BTX80	Köprü	Basil	+	+	+
BTX81	Köprü	Basil	+	+	+
BTX82	Köprü	Basil	+	+	+
BTX83	Köprü	Basil	+	+	+

4.3.2. Moleküler Tanılama

Bakterilerin moleküler tanılması için 16S rRNA gen bölgesi amplifiye edilerek baz dizisi çıkarılmıştır. Bu amaçla öncelikle genomik DNA izolasyonu, 16S rRNA PCR, klonlama, sekanslama ve sekans verilerinin karşılaştırılması yapılarak türler tanılanmıştır.

Genomik DNA' nın Elde Edilmesi

Çalışmada izole edilen bakterilerin tamamının genomik DNA' ları izole edilerek DNA' ların konsantrasyonları spektrofotometrik olarak tespit edilmiş ve çalışma konsantrasyonu ayarlanmıştır (Ek 20). Genomik DNA izolasyonları sonucunda elde edilen DNA' lar 16S rRNA gen bölgelerine spesifik primerler ile çoğaltılarak PCR sonucu oluşan ürünler jel elektroforez ile görüntülenmiştir. PCR sonucu oluşan ürünler jel elektroforezinde yürütüldüğünde beklenen büyüklük olan 1300 baz çifti ürünlerin oluştuğu görülmüştür (Şekil 4.2).



Şekil 4.2 İzolatların PCR ürünlerinin elektroforez jel sonucu

16S rRNA PCR ürünlerinin Klonlanması

Elde edilen izolatların tanımlanmasında evrensel olarak kabul gören ve kullanılan 16S rRNA gen bölgelerinin baz diziliminde öncelikle daha net ve kayıpların engellenmesi için klonlama işlemi yapılması önem arz etmektedir. Bu amaçla çalışmada izolatların kompetent *E. coli*'ye klonlama işlemi gerçekleştirilmiştir. İzolatlar daha sonra ligasyon ve transformasyon işlemlerine tabii tutularak, IPTG ve X-gal içeren besi ortamından mavi beyaz seleksiyon seçimi ile beyaz koloniler seçilmiştir. Daha sonra DNA markırında yaklaşık olarak 1300 bp büyüklüğündeki bandı veren en parlak koloni seçilerek antibiyotikli besi yerine ekimi yapılarak jelden ekstrakte edilmiştir. Ekimi yapılan kültürlerden plazmit izolasyonları yapılarak elde edilen ürünlerin hizmet alımı ile sekans analizleri gerçekleştirilmiştir.

Örneklerin Dizi Analiz Sonuçları

PCR sonucu elde edilen ürünler klonlanarak sekans analizleri gerçekleştirilmiş ve sekans analizleri sonucunda 5 farklı *Bacillus* türü tanımlanmıştır. Tanımlanan türlerin sekans analiz sonuçları Çizelge 4.4'de gösterilmektedir.

Çizelge 4.4 İzolatların sekans analiz sonuçları

İzolatin Kodu	Tam Sonucu	Genbank Numarası	Benzerlik Oranı	Baz Uzunluğu
BTX1	<i>Bacillus subtilis</i>	MH101281	%99	1397 (bç)
BTX2	<i>Bacillus subtilis</i>	MH101282	%99	1387 (bç)
BTX3	<i>Bacillus subtilis</i>	MH101283	%99	1385 (bç)
BTX4	<i>Bacillus subtilis</i>	MH101284	%99	1389 (bç)
BTX5	<i>Bacillus subtilis</i>	MH101285	%99	1386 (bç)
BTX6	<i>Bacillus subtilis</i>	MH101286	%99	1384 (bç)
BTX7	<i>Bacillus subtilis</i>	MH101287	%99	1382 (bç)
BTX8	<i>Bacillus subtilis</i>	MH101288	%99	1381 (bç)
BTX9	<i>Bacillus subtilis</i>	MH101289	%99	1386 (bç)
BTX10	<i>Bacillus subtilis</i>	MH101290	%99	1386 (bç)
BTX11	<i>Bacillus subtilis</i>	MH101291	%99	1380 (bç)
BTX12	<i>Bacillus subtilis</i>	MH101292	%99	1386 (bç)
BTX13	<i>Bacillus subtilis</i>	MH101293	%99	1385 (bç)
BTX14	<i>Bacillus subtilis</i>	MH101294	%99	1383 (bç)
BTX15	<i>Bacillus subtilis</i>	MH101295	%99	1387 (bç)
BTX22	<i>Bacillus subtilis</i>	MH101296	%99	1388 (bç)
BTX23	<i>Bacillus subtilis</i>	MH101297	%99	1384 (bç)
BTX24	<i>Bacillus subtilis</i>	MH101298	%99	1384 (bç)
BTX25	<i>Bacillus subtilis</i>	MH101299	%99	1387 (bç)
BTX26	<i>Bacillus subtilis</i>	MH101300	%99	1384 (bç)
BTX27	<i>Bacillus subtilis</i>	MH101301	%99	1383 (bç)
BTX28	<i>Bacillus subtilis</i>	MH101302	%99	1386 (bç)
BTX30	<i>Bacillus subtilis</i>	MH101303	%99	1384 (bç)
BTX31	<i>Bacillus subtilis</i>	MH101304	%99	1384 (bç)
BTX32	<i>Bacillus subtilis</i>	MH101305	%99	1384 (bç)
BTX33	<i>Bacillus subtilis</i>	MH101306	%99	1391 (bç)
BTX34	<i>Bacillus subtilis</i>	MH101307	%99	1380 (bç)
BTX35	<i>Bacillus subtilis</i>	MH101308	%99	1387 (bç)
BTX48	<i>Bacillus subtilis</i>	MH101309	%99	1384 (bç)
BTX60	<i>Bacillus subtilis</i>	MH101310	%99	1384 (bç)
BTX61	<i>Bacillus subtilis</i>	MH101311	%99	1384 (bç)
BTX78	<i>Bacillus subtilis</i>	MH101312	%99	1394 (bç)
BTX81	<i>Bacillus subtilis</i>	MH101313	%99	1387 (bç)
BTX16	<i>Bacillus licheniformis</i>	MH101314	%98	1417 (bç)
BTX17	<i>Bacillus licheniformis</i>	MH101315	%98	1410 (bç)
BTX18	<i>Bacillus licheniformis</i>	MH101316	%98	1411 (bç)

Çizelge 4.5 (Devam) İzolatların sekans analiz sonuçları

İzolatın Kodu	Tanı Sonucu	Genbank Numarası	Benzerlik Oranı	Baz Uzunluğu
BTX19	<i>Bacillus licheniformis</i>	MH101317	%98	1414 (bç)
BTX20	<i>Bacillus licheniformis</i>	MH101318	%98	1413 (bç)
BTX21	<i>Bacillus licheniformis</i>	MH101319	%98	1416 (bç)
BTX29	<i>Bacillus licheniformis</i>	MH101320	%98	1410 (bç)
BTX36	<i>Bacillus licheniformis</i>	MH101321	%98	1410 (bç)
BTX37	<i>Bacillus licheniformis</i>	MH101322	%98	1413 (bç)
BTX38	<i>Bacillus licheniformis</i>	MH101323	%98	1419 (bç)
BTX39	<i>Bacillus licheniformis</i>	MH101324	%98	1415 (bç)
BTX40	<i>Bacillus licheniformis</i>	MH101325	%98	1418 (bç)
BTX41	<i>Bacillus licheniformis</i>	MH101326	%98	1411 (bç)
BTX82	<i>Bacillus licheniformis</i>	MH101327	%98	1409 (bç)
BTX53	<i>Bacillus thuringiensis</i>	MH101328	%100	873 (bç)
BTX54	<i>Bacillus thuringiensis</i>	MH101329	%100	868 (bç)
BTX55	<i>Bacillus thuringiensis</i>	MH101330	%100	866 (bç)
BTX56	<i>Bacillus thuringiensis</i>	MH101331	%100	866 (bç)
BTX57	<i>Bacillus thuringiensis</i>	MH101332	%100	866 (bç)
BTX58	<i>Bacillus thuringiensis</i>	MH101333	%100	878 (bç)
BTX59	<i>Bacillus thuringiensis</i>	MH101334	%100	864 (bç)
BTX72	<i>Bacillus thuringiensis</i>	MH101335	%100	867 (bç)
BTX73	<i>Bacillus thuringiensis</i>	MH101336	%100	862 (bç)
BTX79	<i>Bacillus thuringiensis</i>	MH101337	%100	867 (bç)
BTX42	<i>Geobacillus kaustophilus</i>	MH101338	%98	1415 (bç)
BTX43	<i>Geobacillus kaustophilus</i>	MH101339	%98	1411 (bç)
BTX44	<i>Geobacillus kaustophilus</i>	MH101340	%98	1410 (bç)
BTX45	<i>Geobacillus kaustophilus</i>	MH101341	%98	1409 (bç)
BTX46	<i>Geobacillus kaustophilus</i>	MH101342	%98	1418 (bç)
BTX47	<i>Geobacillus kaustophilus</i>	MH101343	%98	1410 (bç)
BTX49	<i>Geobacillus kaustophilus</i>	MH101344	%98	1410 (bç)
BTX50	<i>Geobacillus kaustophilus</i>	MH101345	%98	1414 (bç)
BTX51	<i>Geobacillus kaustophilus</i>	MH101346	%98	1412 (bç)
BTX52	<i>Geobacillus kaustophilus</i>	MH101347	%98	1410 (bç)
BTX69	<i>Geobacillus kaustophilus</i>	MH101348	%98	1408 (bç)
BTX70	<i>Geobacillus kaustophilus</i>	MH101349	%98	1410 (bç)
BTX71	<i>Geobacillus kaustophilus</i>	MH101350	%98	1413 (bç)
BTX77	<i>Geobacillus kaustophilus</i>	MH101351	%98	1410 (bç)

Çizelge 4.6 (Devam) İzolatların sekans analiz sonuçları

İzolatın Kodu	Tanı Sonucu	Genbank Numarası	Benzerlik Oranı	Baz Uzunluğu
BTX80	<i>Geobacillus kaustophilus</i>	MH101352	%98	1408 (bç)
BTX62	<i>Bacillus coagulans</i>	MH101353	%98	1339 (bç)
BTX63	<i>Bacillus coagulans</i>	MH101354	%98	1352 (bç)
BTX64	<i>Bacillus coagulans</i>	MH101355	%98	1343 (bç)
BTX65	<i>Bacillus coagulans</i>	MH101356	%98	1346 (bç)
BTX66	<i>Bacillus coagulans</i>	MH101357	%98	1347 (bç)
BTX67	<i>Bacillus coagulans</i>	MH101358	%98	1343 (bç)
BTX68	<i>Bacillus coagulans</i>	MH101359	%98	1343 (bç)
BTX74	<i>Bacillus coagulans</i>	MH101360	%98	1355 (bç)
BTX75	<i>Bacillus coagulans</i>	MH101361	%98	1341 (bç)
BTX76	<i>Bacillus coagulans</i>	MH101362	%98	1350 (bç)
BTX83	<i>Bacillus coagulans</i>	MH101363	%98	1343 (bç)

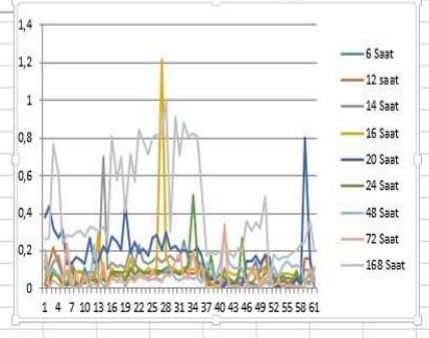
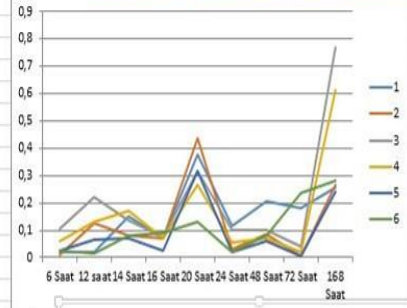
Sekans analiz sonuçlarına göre BTX1, BTX2, BTX3, BTX4, BTX5, BTX6, BTX7, BTX8, BTX9, BTX10, BTX11, BTX12, BTX13, BTX14, BTX15, BTX22, BTX23, BTX24, BTX25, BTX26, BTX27, BTX28, BTX30, BTX31, BTX32, BTX33, BTX34, BTX35, BTX48, BTX60, BTX61, BTX78, BTX81 kodlu izolatların yapılan BLAST analizi sonucunda *B. subtilis* türüne benzerlik gösterdiği anlaşılmıştır (Ek 1, Ek 2, Ek 3). *B. subtilis* 16S rRNA geninin dizisi EK 21’de gösterilmiştir. BTX16, BTX17, BTX18, BTX19, BTX20, BTX21, BTX29, BTX36, BTX37, BTX38, BTX39, BTX40, BTX41 ve BTX82 kodlu izolatların yapılan BLAST analizi sonucunda *B. licheniformis* türüne benzerlik gösterdiği anlaşılmıştır (Ek 4, Ek 5, Ek 6). *B. licheniformis* 16S rRNA geninin dizisi EK 22’de gösterilmiştir. BTX53, BTX54, BTX55, BTX56, BTX57, BTX58, BTX59, BTX72, BTX73 ve BTX79 kodlu izolatların yapılan BLAST analizi sonucunda *B. thuringiensis* türüne benzerlik gösterdiği anlaşılmıştır (Ek 7, Ek 8, Ek 9). *B. thuringiensis* 16S rRNA geninin dizisi EK 23’de gösterilmiştir. BTX42, BTX43, BTX44, BTX45, BTX46, BTX47, BTX49, BTX50, BTX51, BTX52, BTX69, BTX70, BTX71, BTX77 ve BTX80 kodlu izolatların yapılan BLAST analizi sonucunda *G. kaustophilus* türüne benzerlik gösterdiği anlaşılmıştır (Ek 10, Ek 11, Ek 12). *G. kaustophilus* 16S rRNA geninin dizisi EK 24’de gösterilmiştir. BTX62, BTX63, BTX64, BTX65, BTX66, BTX67, BTX68, BTX74, BTX75, BTX76 ve BTX83 kodlu izolatların yapılan BLAST analizi sonucunda *B. coagulans* türüne benzerlik gösterdiği anlaşılmıştır (Ek 13, Ek 14, Ek 15). *B. coagulans* 16S rRNA geninin dizisi EK 25’de gösterilmiştir.

4.4. İzolatların Total Ksilanaz Aktivitesi

Elde ettiğimiz izolatların ksilanaz aktivitelerinin belirlenmesi amacı ile yapılan spektrofotometrik ölçüm sonuçları Çizelge 4.5’de (Ek 16’da izolat kodları ile birlikte) verilmiştir. İzolatlara ait aktivite tablosu ise EK 16’da gösterilmiştir. Total ksilanaz aktiviteleri incelendiğinde *B. subtilis* BTX6 örneğinin ksilanaz aktivitesinin diğer türlere göre daha fazla olduğu görülmüştür. Elde edilen bu sonuçlardan sonra çalışmada rekombinant enzim üretmek amacıyla *B. subtilis* BTX6 kodlu izolatın ksilanazı seçilmiştir.

Çizelge 4.7 Farklı saatlerde türlere ait total ksılanaz aktivitesinin ölçümü

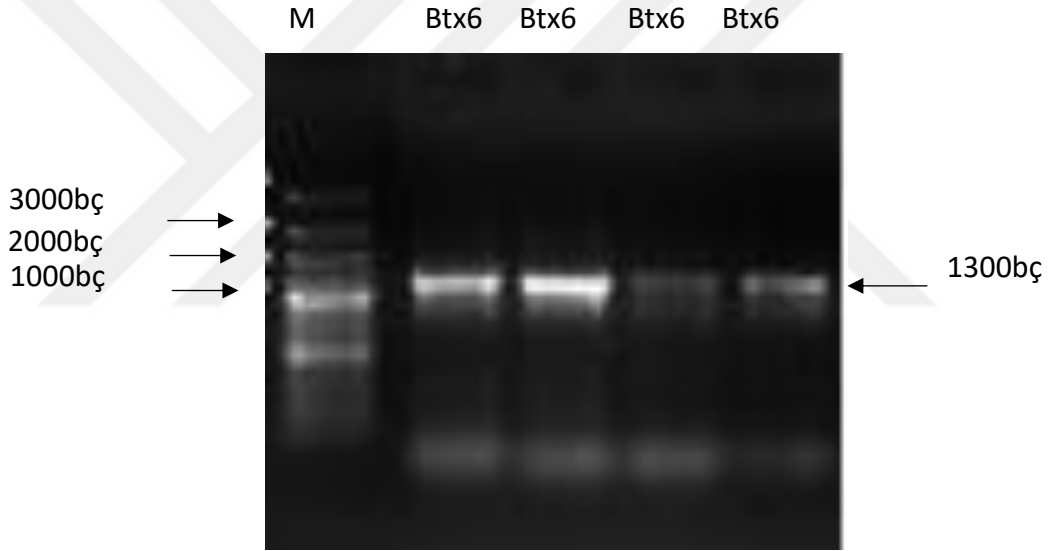
	6 Saat	12 saat	14 Saat	16 Saat	20 Saat	24 Saat	48 Saat	72 Saat	168 Saat	Sıra	6 Saat	12 saat	14 Saat	16 Saat	20 Saat	24 Saat	48 Saat	72 Saat	168 Saat
1	0,021	0,022	0,148	0,07	0,377	0,115	0,205	0,181	0,258	1	0,021	0,022	0,148	0,07	0,377	0,115	0,205	0,181	0,258
2	0,009	0,127	0,082	0,068	0,436	0,03	0,084	0,005	0,268	2	0,009	0,127	0,082	0,068	0,436	0,03	0,084	0,005	0,268
3	0,104	0,219	0,137	0,074	0,317	0,098	0,098	0,041	0,766	3	0,104	0,219	0,137	0,074	0,317	0,098	0,098	0,041	0,766
4	0,059	0,129	0,172	0,07	0,266	0,055	0,069	0,022	0,612	4	0,059	0,129	0,172	0,07	0,266	0,055	0,069	0,022	0,612
5	0,024	0,064	0,071	0,025	0,315	0,02	0,062	0,003	0,24	5	0,024	0,064	0,071	0,025	0,315	0,02	0,062	0,003	0,24
6	0,023	0,014	0,079	0,092	0,131	0,021	0,08	0,237	0,282	6	0,023	0,014	0,079	0,092	0,131	0,021	0,08	0,237	0,282
7	0,019	0,138	0,121	0,049	0,138	0,099	0,006	0,002	0,273										
8	0,021	0,014	0,083	0,083	0,165	0,028	0,006	0,089	0,298										
9	0,029	0,02	0,089	0,091	0,155	0,025	0,01	0,002	0,306										
10	0,109	0,061	0,077	0,04	0,13	0,031	0,001	0,063	0,277										
11	0,044	0,038	0,083	0,059	0,271	0,04	0,012	0,009	0,325										
12	0,043	0,074	0,084	0,045	0,14	0,04	0,235	0,027	0,321										
13	0,037	0,025	0,081	0,294	0,148	0,026	0,061	0,009	0,308										
14	0,048	0,101	0,702	0,049	0,225	0,047	0,014	0,137	0,325										
15	0,029	0,011	0,098	0,035	0,185	0,022	0,017	0,003	0,258										
16	0,077	0,079	0,138	0,106	0,276	0,083	0,063	0,057	0,808										
17	0,067	0,066	0,112	0,073	0,25	0,085	0,039	0,038	0,576										
18	0,079	0,076	0,125	0,08	0,204	0,09	0,073	0,044	0,697										
19	0,049	0,095	0,106	0,05	0,443	0,036	0,009	0,025	0,407										
20	0,095	0,067	0,208	0,161	0,187	0,106	0,063	0,048	0,716										
21	0,129	0,044	0,124	0,072	0,248	0,064	0,063	0,033	0,565										
22	0,103	0,065	0,236	0,107	0,191	0,103	0,067	0,081	0,848										
23	0,082	0,068	0,143	0,082	0,209	0,085	0,058	0,063	0,79										
24	0,088	0,054	0,127	0,111	0,173	0,076	0,046	0,049	0,716										
25	0,09	0,078	0,143	0,095	0,269	0,085	0,049	0,092	0,799										
26	0,091	0,073	0,17	0,105	0,286	0,09	0,051	0,056	0,815										
27	0,097	0,084	0,139	1,22	0,2	0,088	0,039	0,046	0,814										
28	0,109	0,083	0,158	0,167	0,299	0,099	0,093	0,069	1,007										
29	0,115	0,082	0,171	0,108	0,211	0,086	0,108	0,061	0,308										
30	0,097	0,084	0,145	0,099	0,224	0,087	0,05	0,147	0,909										
31	0,09	0,073	0,151	0,088	0,195	0,077	0,042	0,186	0,707										
32	0,105	0,096	0,257	0,108	0,2	0,089	0,06	0,068	0,879										
33	0,112	0,081	0,157	0,101	0,193	0,126	0,063	0,052	0,811										
34	0,179	0,078	0,183	0,102	0,196	0,498	0,052	0,195	0,825										
35	0,103	0,089	0,148	0,109	0,217	0,161	0,06	0,054	0,809										
36	0,097	0,117	0,128	0,071	0,177	0,058	0,028	0,121	0,531										



4.5. *B. subtilis*'ten Rekombinant Ksilanaz Üretilmesi

B. subtilis'ten Ksilanaz Geninin Klonlanması

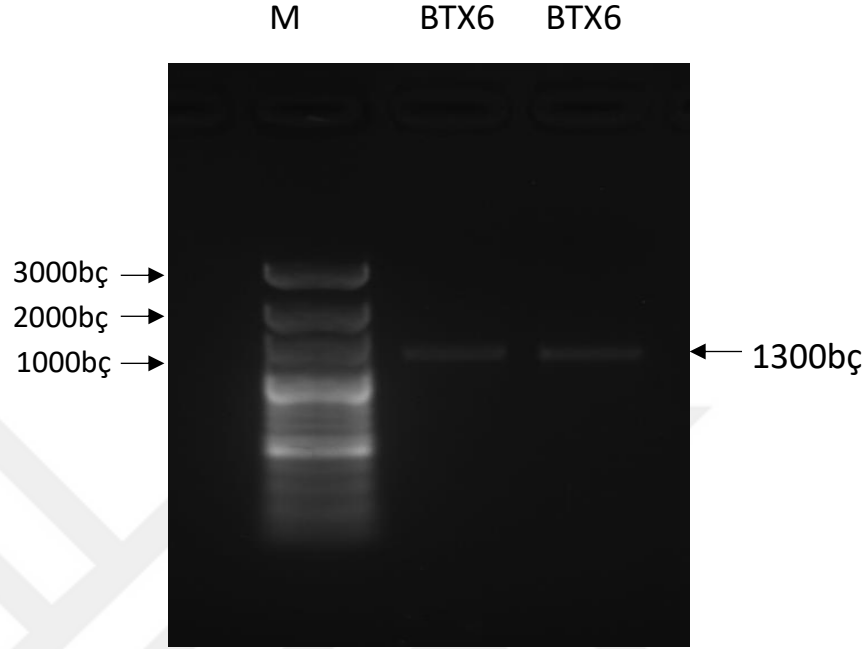
B. subtilis'ten ksilanaz geninin üretilmesi için sırasıyla; gDNA' lardan ksilanaz genine ait bölgenin PCR ile amplifikasyonu, insertün ligasyonu, transformasyonu, plazmit izolasyonu, restriksiyon enzimleri ile insertü taşıyıp taşımadığının belirlenmesi ve insertün dizi analizi yapılarak klonlamanın tamamlanması işlemleri yapılmıştır. Bu kapsamda öncelikli olarak gDNA'lardan biyoinformatik analizler ile gene ait tasarlanan ksilanaz geni primerleri kullanılarak ksilanaz gen bölgeleri PCR ile çoğaltılmıştır (Şekil 4.3).



Şekil 4.3 Ksilanaz geninin PCR ampifikasyon sonucunun agaroz jel görüntüsü (M:Marker)

Yapılan PCR çalışması sonucunda çoğaltılan gen bölgelerinin saf olarak eldesi için elektroforez üzerinden bantlar İnvitrogen (K210012) Quick Gel Extraction jel saflaştırma kiti kullanılarak saflaştırılmıştır. Saflaştırma işlemindeki temel hedef PCR işleminde kullanılan diğer kimyasalların ve atıkların saflaştırılmış olan jelde bulunmamasıdır. Bu amaçla beklenen bant tamamen diğer bantlardan arındırılmış olmaktadır. Bu aşamada öncelikle boş ependorfun hassas terazide darası alınmış olup daha sonra kesilen jelin ependorfa eklenmesiyle jelin ağırlığı belirlenmiştir. Bu işlemde boş ependorf tüpünün ağırlığı 1.04 gr gelirken, eklenen jel ile birlikte ependorf tüpünün

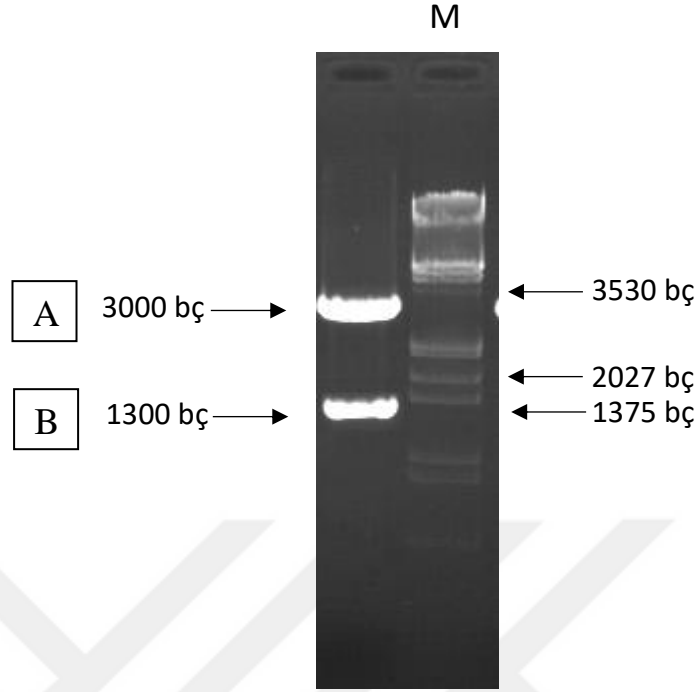
total ağırlığı 1.54 gr gelmiştir. Buradan jelin ağırlığının 0.5 gr geldiği belirlenmiştir. Jel saflaştırma protokolü uygulanarak saflaştırılan bant Şekil 4.4' de gösterilmiştir.



Şekil 4.4 Ksilanaz geninin (Btx6 izolatu) jel saflaştırma sonucu. M: Marker (Mass Ruler 100bp.)

Agaroz jelden saflaştırılmış olan ürünün A ekleme reaksiyonu; Taq polimeraz enziminin ürünün uçlarına eklediği A reaksiyonuyla yapılmıştır. Daha sonra ligasyon aşamasında gerekli olan üründen 3 μ L eklenmiş ve ligasyon işlemi gerçekleştirilmiştir. Transformasyon aşamasında oluşan mavi-beyaz kolonilerden ilgilenilen geni taşıyan beyaz koloniler seçilerek bunlardan plazmit izolasyonu yapılmıştır.

İzolasyonda PGEMTeasy vektörünün istediğimiz ksilanaz genini taşıyıp taşımadığını gözlemlemek amacı ile XbaI ve KpnI restriksiyon enzimleri ile kesim yapılmıştır. Restriksiyon enzimi ile kesim yapılan ürünlerden yaklaşık 3000 bç. büyüklüğündeki bandın PGEMTeasy vektörüne 1300 bç. büyüklüğündeki bandın ksilanaz genine ait olduğu görülmüştür (Şekil 4.5). Bu sonuçlar ksilanaz geninin başarılı bir şekilde klonlanmış olduğunu göstermektedir.



Şekil 4.5 Ksilanaz genini taşıyan PGEMTeasy plazmidinin kesim sonucu elde edilen agaroz jel görüntüsü. M: Lambda DNA/EcoRI /Hind III Marker, Ürünler; A: PGEMeasy plazmit bant büyüklüğü B: Ksilanaz geni bant büyüklüğü

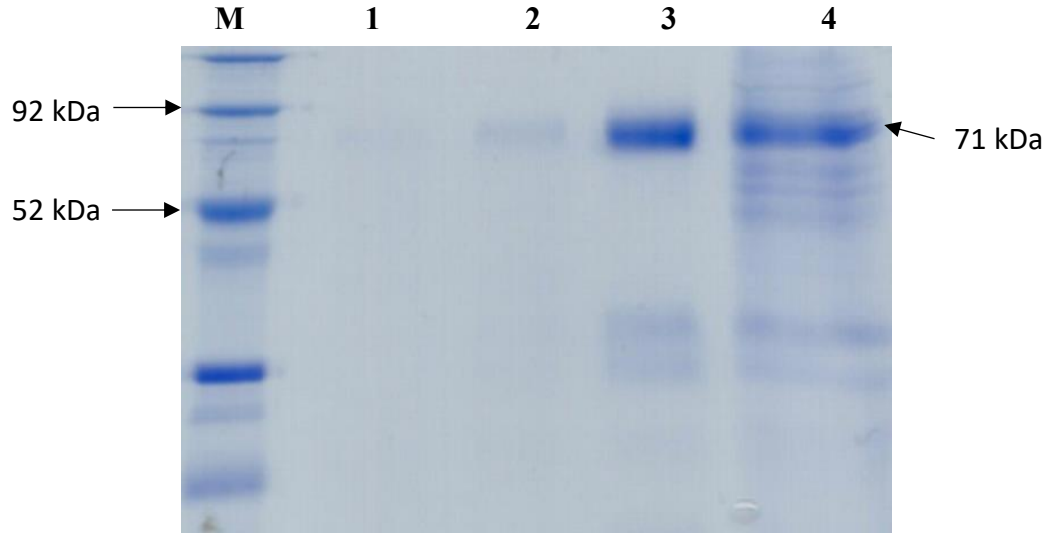
Elde edilen ürün NCBI üzerinden değerlendirilmiş ve oluşan ürünün ksilanaz genine ait diziler olduğu sekans sonuçları ile belirlenmiştir. Elde edilen sekans verileri ve pikleri EK 26' da gösterilmiştir.

Ksilanazın Rekombinant Proteininin Ekspresyonu

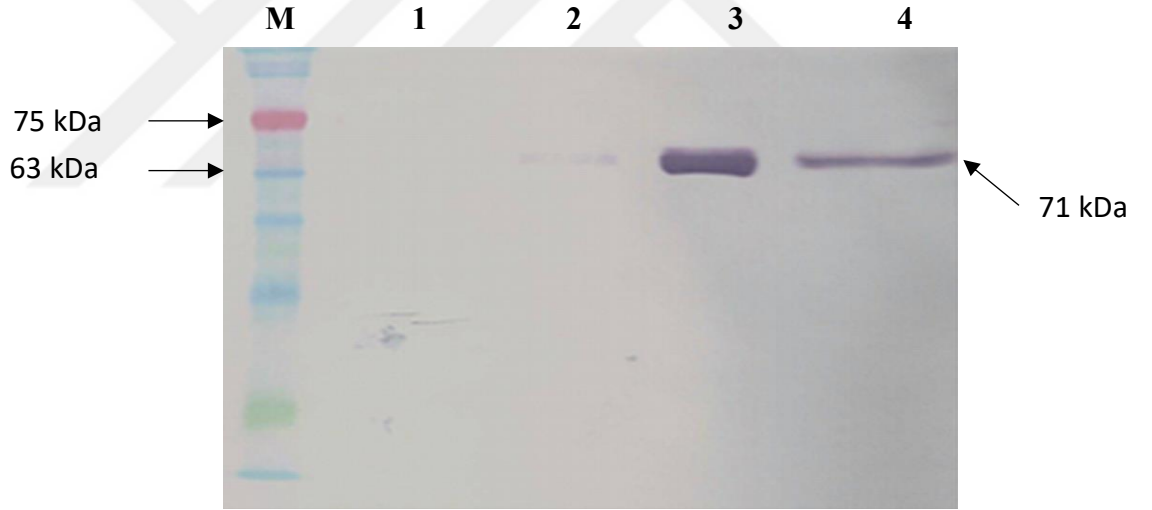
His takısı (6x His) bulunan pET16b vektörü protein ekspresyonunda, ekspresyon vektörü olarak kullanılmıştır. Ksilanaz genini taşıyan insörtümüz pET16b vektörüne yerleştirilmiş, daha sonra *E. coli* Rosetta'ya aktarılmış ardından protein izolasyonu yapılmıştır. Elde edilen protein izolatları His affinitesi gösteren Nikel NTA bocukları bulunan agaroz ile 6x His histidin takılarını tutan Ni-NTA boncukları yardımı ile önce filtrede tutulmuş daha sonra kit solüsyonları ile enzim saflaştırılmıştır. Ni-NTA boncukları ile saflaştırılan enzimler belirlenmiştir. Şekil 4.6'da görüldüğü üzere saflaştırılan örnekler IPTG ile indüklenmelerine göre 1., 2. ve 3. saatler sonrasında sırası ile jele yüklenmiştir. 1. ve 2. saatlerde jele yüklenen proteinde bantlaşma çok az olarak görülürken, 3. saatte ise jelde protein bantlaşması net bir şekilde gözlenmiştir (Şekil 4.6

[1, 2 ve 3] ve Şekil 4.7 [1, 2 ve 3]). Bu sonuçlar bize 3. saat sonunda proteinin ekspresyonun başarılı bir şekilde olduğunu göstermiştir. Anti-His antikoruna ile yapılan Western blot analizi ile SDS-PAGE sonucunu doğrulanmış ve saflaştırılan proteinin *B. subtilis*'e ait ksilanaz olduğu belirlenmiştir. Böylece ekspresyonun başarılı bir şekilde gerçekleştiği görülmüştür.





Şekil 4.6 Ni-NTA saflaştırılması sonucu oluşan SDS jelin görüntüsü. M: Marker (SDS-PAGE Moleküler Ağırlık Standartları Broad Range (Bio-RAD, Kat. no:161-0317)), 1: 1 Saat İndüklenmiş, 2: 2 Saat İndüklenmiş, 3: 3 Saat İndüklenmiş ve 4: Total Proteinin SDS Jel Görüntüsü.

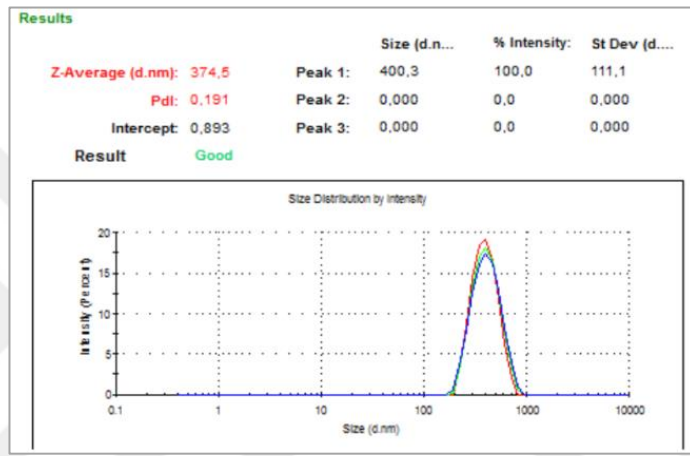


Şekil 4.7 Rekombinant ksilanaz proteininin Western Blot Analizi ile görüntülenmesi. M: Marker (Kaleidoscope Pretained Standarts BIORAD), 1: 1 Saat İndüklenmiş, 2: 2 Saat İndüklenmiş, 3: 3 Saat İndüklenmiş ve 4: Total Protein Antihistidin ve İkincil Antikor ile yapılan Western Blot görüntüleri

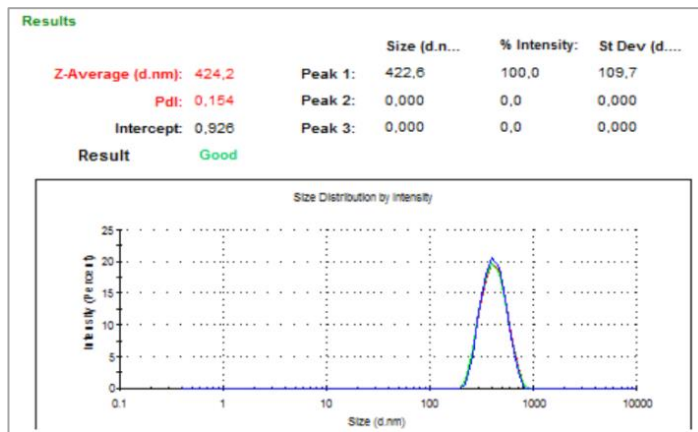
4.6. Anadoluca Metoduyla Enzimin Kafeslenmesi

Zeta Boyut Analizi

1000 ppm olarak hazırlanan rekombinant ksilanaz enzimi (Şekil 4.8) ve rekombinant nano ksilanaz (Şekil 4.9) ultrasonik su banyosunda dağıtıldıktan sonra zeta cihazında boyut analizi yapılmıştır. Şekil 4.8’de ve Şekil 4.9’da görüldüğü gibi enzimin boyutları sırası ile ortalama 400,3 nm ve 422,6 nm olarak ölçülmüştür.



Şekil 4.8 Rekombinant Ksilanaz Zeta Boyut Analizi

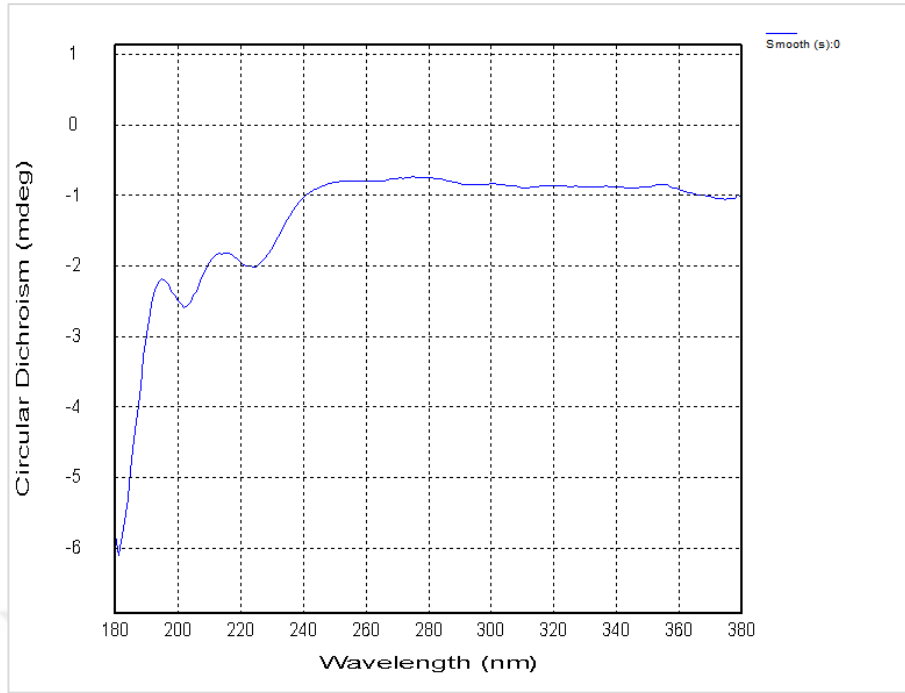


Şekil 4.9 Rekombinant Nano Ksilanaz Zeta Boyut Analizi

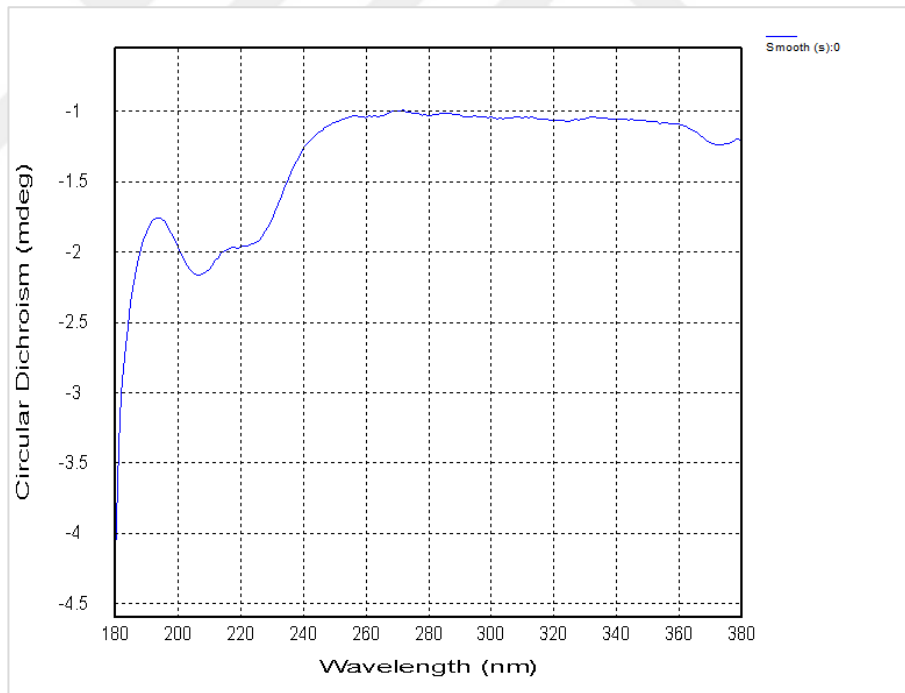
CD Spektroskopisi

Rekombinant Ksilanaz ve Rekombinant Nano Ksilanaz'nin CD spektroskopileri Şekil 4.10 ve Şekil 4.11'de belirtilmiştir. Şekil 4.10'de görüldüğü üzere, rekombinant ksilanazın yapısı CD analiziyle değerlendirildiğinde, spektrumdaki 190-200 nm de gelen pozitif pik ve 200-205 nm'de gelen negatif pik yapıdaki α heliks katlanmalarını, 210-220 nm'deki pik β katlanmasını ifade etmektedir. Ayrıca; 230-240 nm arasındaki bölgede rastgele katlanmaların olduğu görülmektedir. 350 nm'de gelen pozitif bant ise yapıdaki aromatik aminoasitlerin varlığını göstermektedir. Ksilanazın sekonder yapı analizi için karakteristik piklerin belirli bölgelerde gelmiş olması CD spektrumunun yapı analizinde kullanılabilirliğini göstermektedir.

Şekil 4.11'de görülen rekombinant Nano Ksilanazın yapısının CD spektrumuna bakıldığında, 190-210 nm arasındaki pozitif pik ve 210-221 nm arasındaki negatif pik α -heliks yapısını ve 220-230 nm arasındaki negatif bant β -katlanmasını göstermektedir. Bunun yanında, 232 nm'deki bant yapıdaki rastgele katlanmaları ifade etmektedir. Nano yapının CD spektrumunda görülen 320-340 nm arasındaki yayvan bant protein yapısındaki aromatik proteinleri işaret etmektedir. Belirtilen aralıklarda karakteristik piklerin gelmesi nano yapıda da protein yapısının bozunmadığını göstermektedir.



Şekil 4.10 Rekombinant Ksilanaz'ın CD Spektroskopisi

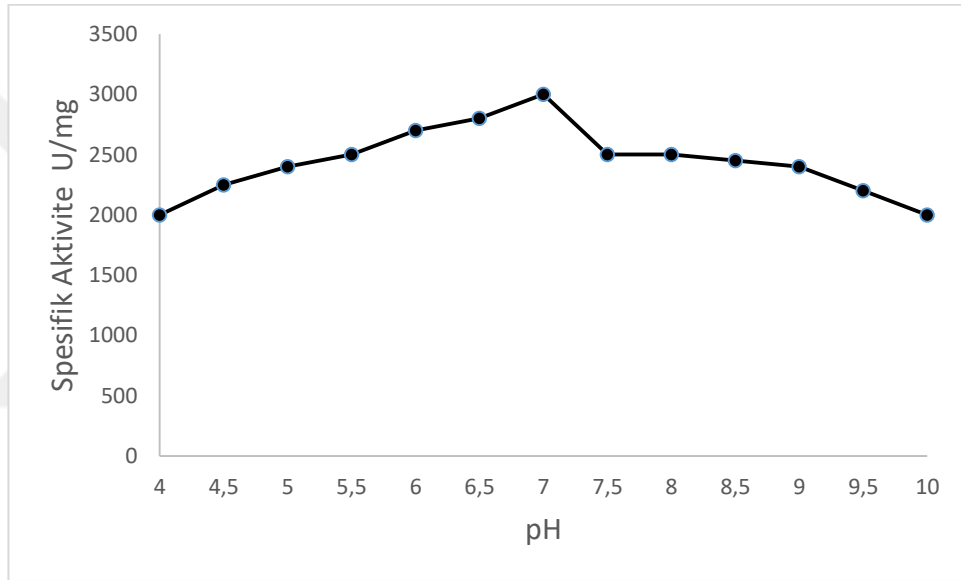


Şekil 4.11 Rekombinant Nano Ksilanaz'ın CD Spektroskopisi

4.7. Rekombinant Ksilanaz ve Nano Ksilanaz Enzimlerinin Aktivitesinin Belirlenmesi

a) Değişen pH düzeyinin Ksilanaz aktivitesine etkisi

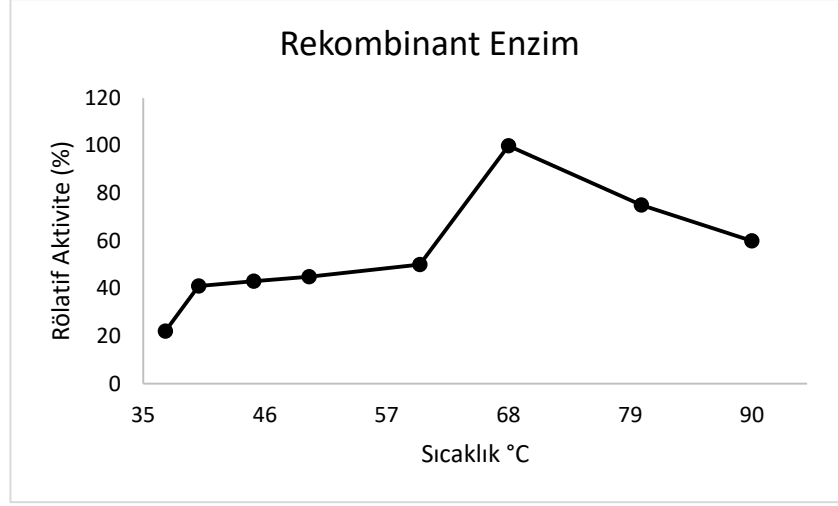
Enzim aktivitesi sonucunda yüksek aktivite gösteren *B. subtilis* türü izolatından saflaştırılan ksilanaz enzimi rekombinant olarak ve aynı enzim rekombinant nano enzim olarak üretilmiştir. Her iki enzim aktivitesi farklı pH aralıklarında değerlendirilmiş ve optimum pH'larının 7.0 olduğu tespit edilmiştir (Şekil 4.12).



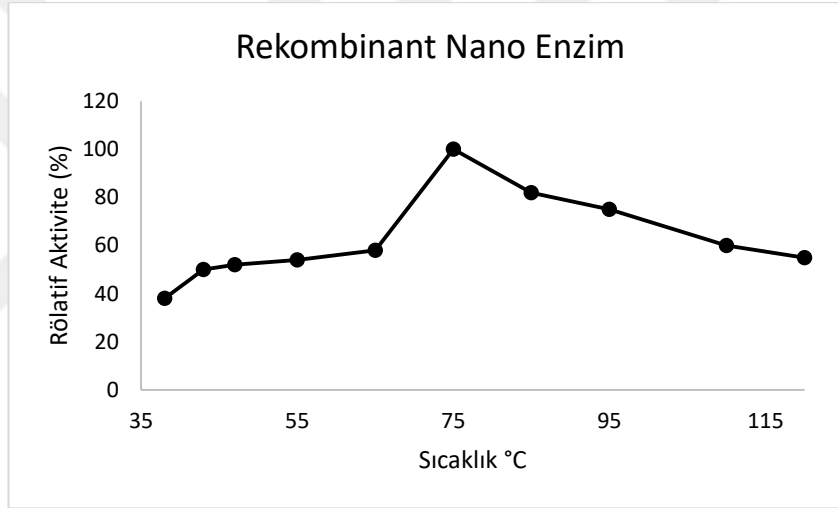
Şekil 4.12 Rekombinant Ksilanaz ve Rekombinant Nano Ksilanaz enziminin optimum aktivite gösterdiği pH

b) Sıcaklık Seviyesinin Aktiviteye Etkisi

Rekombinant ve rekombinant nano ksilanaz olarak *B. subtilis*'den üretilen enzimin yapılan farklı sıcaklık (37 °C, 40 °C, 45 °C, 50 °C, 60 °C, 70 °C, 80 °C ve 90 °C) aralıklarındaki ve optimum pH'da (pH 7.0) aktivite testi sonucunda, optimum enzim aktivitesinin rekombinant ksilanaz enzimi için 68 °C (Şekil 4.13), rekombinant nano ksilanaz için ise 75 °C olduğu tespit edilmiştir (Şekil 4.14).



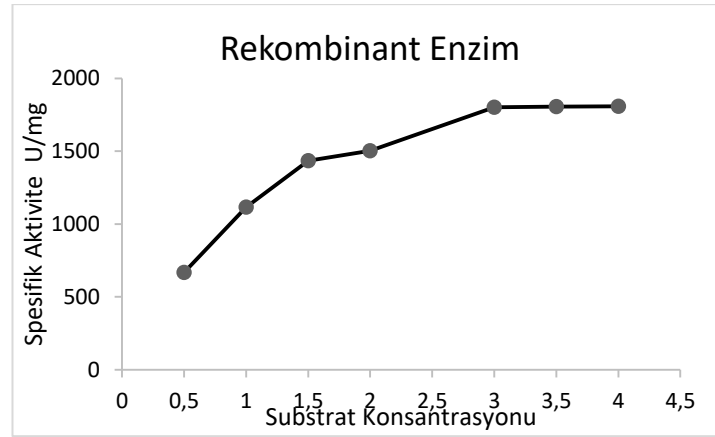
Şekil 4.13 Rekombinant Ksilanaz enziminin optimum aktivite gösterdiği sıcaklık



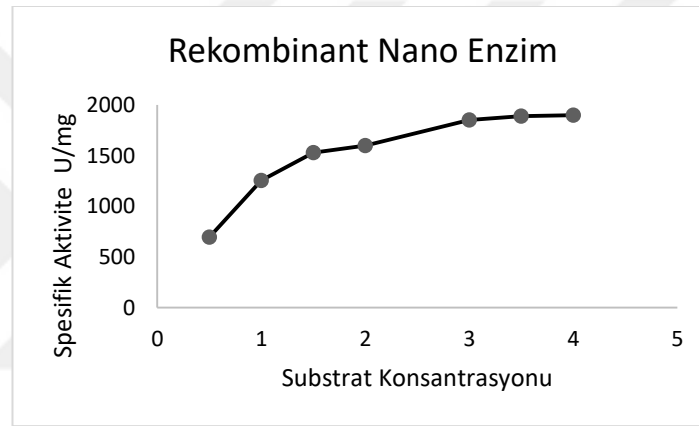
Şekil 4.14 Rekombinant Nano Ksilanaz enziminin optimum aktivite gösterdiği sıcaklık

c) Substrat Miktarının Aktiviteye Etkisi

Rekombinant ve rekombinant nano ksilanaz olarak *B. subtilis*'den üretilen enzimin yapılan farklı substrat yoğunluklarındaki aktivite testleri sonucunda, optimum enzim aktivitesi rekombinant enzim için % 3 konsantrasyonda 1802 U/mg, rekombinant nano enzim için ise optimum konsantrasyon yoğunluğu % 3,5'da 1898 U/mg olarak ölçülmüştür. Çalışma sonucunda enzim üretimi için en uygun yoğunluk konsantrasyonunun rekombinant enzim için % 3, rekombinant nano enzim için ise % 3,5 olduğu tespit edilmiştir (Şekil 4.15, Şekil 4.16).



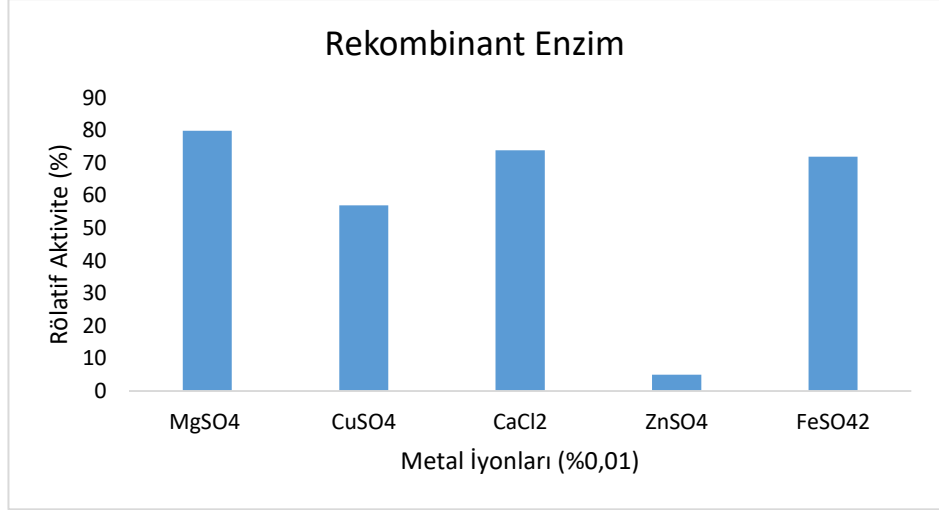
Şekil 4.15 Rekombinant Ksilanaz enziminin optimum aktivite gösterdiği substrat konsantrasyonu



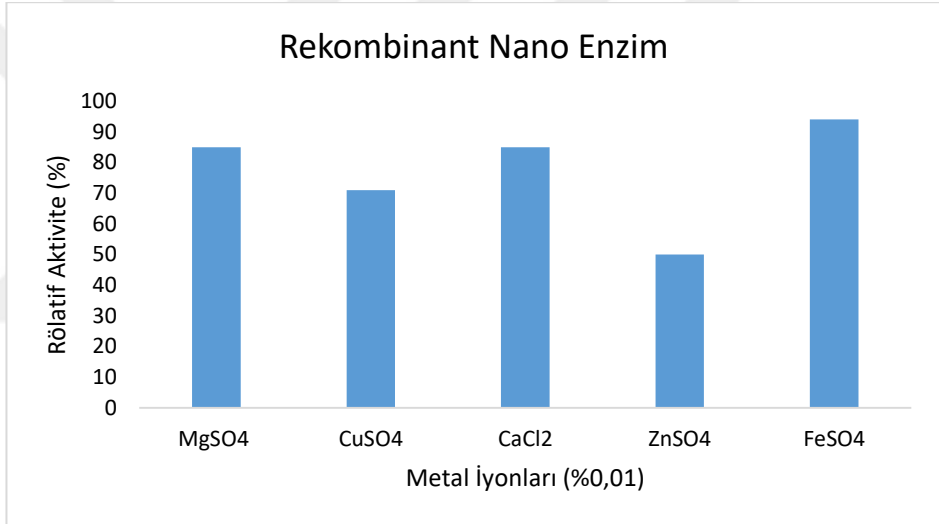
Şekil 4.16 Rekombinant Nano Ksilanaz enziminin optimum aktivite gösterdiği substrat konsantrasyonu

d) Metal İyonlarının Aktiviteye Etkisi

Çalışmada rekombinant ksilanaz ve rekombinant Nano ksilanaz enzim aktivitesine etki eden metal iyonlarının, 0,01 mL'lik konsantrasyonlarında rekombinant ksilanaz için $MgSO_4$ 'in % 80, $CuSO_4$ 'in % 57, $CaCl_2$ 'in % 74, $ZnSO_4$ 'in % 5 ve $FeSO_4^{2-}$ 'in % 72 oranında aktivitede artışa neden olduğu belirlenmiştir (Şekil 4.17). Rekombinant Nano ksilanaz enzimi için ise $MgSO_4$ 'in % 85, $CuSO_4$ 'in % 71, $CaCl_2$ 'in % 85, $ZnSO_4$ 'in % 50 ve $FeSO_4^{2-}$ 'in % 94 oranlarında aktivitede artışa neden olduğu tespit edilmiştir (Şekil 4.18).



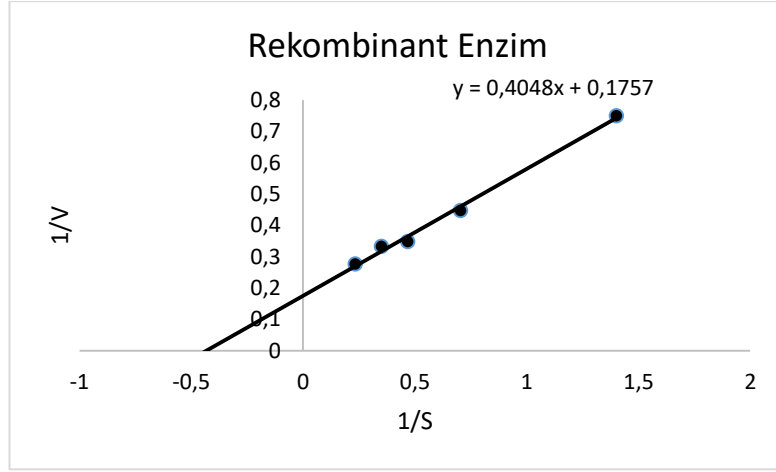
Şekil 4.17 Metal iyonlarının rekombinant Ksilanaz enzimine etki grafiği



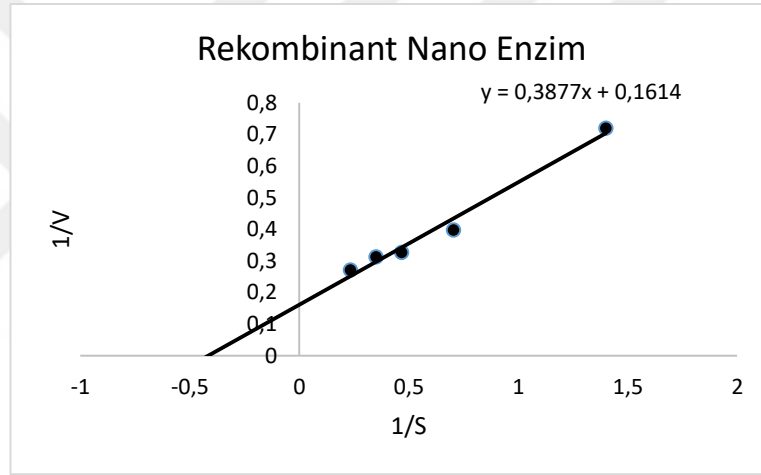
Şekil 4.18 Metal iyonlarının rekombinant Nano Ksilanaz enzimine etki grafiği

V_{max} ve K_m Değerinin Hesaplanması

Ksilanaz enziminin V_{max} ve K_m değerleri % 1'lik ksilan substratı kullanılarak belirlenmiştir. 5 farklı konsantrasyondaki ölçümler sonucunda grafik değerleri belirlenmiş ve aktivitenin substrat miktarındaki değişimleri gözlemlenmiştir. Grafikten elde edilen verilerden yararlanılarak Lineweaver Burke denklemi ile rekombinant enzim ve rekombinant nano enzimler için V_{max} ve K_m değerleri ölçülmüştür (Şekil 4.19, Şekil 4.20). Rekombinant enzim için V_{max} değeri 5,691 (EU/mL. dk.), K_m değeri ise 2,298 (mM), Rekombinant nano enzim için ise V_{max} değeri 6,195 (EU/mL. dk.), K_m değeri ise 2,402 (mM) olarak belirlenmiştir.



Şekil 4.19 *B. subtilis*'den elde edilen rekombinant Ksilanazın Lineweaver Burke denklemi ile K_m ve V_{max} değerinin ölçülmesi



Şekil 4.20 *B. subtilis*'den elde edilen rekombinant Nano Ksilanazın Lineweaver Burke denklemi ile K_m ve V_{max} değerinin ölçülmesi

5. TARTIŞMA ve SONUÇ

Bu çalışmada Doğu ve Güneydoğu Anadolu bölgesindeki sıcak su kaynakları ile bu kaynakların yakınındaki çamur örneklerinden izole edilen bakterilerin, morfolojik ve moleküler yöntemlerle tanınması, optimum gelişme koşullarının tespit edilmesi, özellikle termofilik özellik gösteren izolatların seçilerek ksilanaz enzim aktivitesinin belirlenmesi, aktivitesi yüksek izolatlardan enzimin rekombinant olarak üretilmesi amaçlanmıştır. Enzimin rekombinant olarak üretilmesi için öncelikle izolatların enzim aktivitesi ölçülmüş, yüksek aktivite gösteren izolat bu amaçla tercih edilmiştir. Ksilanaz enzimini kodlayan genler biyoinformatik araçlarla tespit edildikten sonra vektörler vasıtasıyla konakçılara aktarılıp, konakçıda proteinin ekspresyonu ve böylelikle enzimin üretimi gerçekleştirilmiştir. Say ve arkadaşları (2015) tarafından patentlenen ANADOLUCA yöntemi ile enzim kafeslenerek daha aktif, kararlı, geniş pH aralıklarına sahip, yüksek sıcaklık değerlerinde bile tekrar tekrar kullanımı mümkün olacak şekilde enzimin ticari olarak kullanılabilirliği belirlenmiştir. Böylelikle bugün piyasada olan ve yüksek sıcaklıklara uyum sağlayamayan birçok enzim yerine, sanayi ve biyoteknolojik çalışmalarda daha çok tercih edilerek kullanılacak bir nano enzimin ticari olarak üretiminin önü açılmıştır.

Çalışma kapsamında alınan su örneklerinin kimyasal analiz değerleri incelendiğinde; Aksoy *et al.* (2009) yapmış oldukları çalışmada; Balçova bölgesindeki termal su kaynaklarını incelemiş yapılan inceleme sonucunda alınan tüm örneklerin iletkenlik değerlerinin 1000 (mS/cm)' nin üzerinde olduğu ve pH ve kimyasal içeriklerinin ortalamasının ise pH için 7.89, Bakır (Cu) da 17.14, Demir (Fe) de 0.377, Kurşun (Pb) da 1.69, Nitrat (NO_3^{-1}) da 38.5, Amonyum (NH_4^{+1}) da 2.15 ve Nitrit (NO_2^{-1}) de ise 0.007 olduğunu bildirmişlerdir. Negri *et al.* (2018) yaptıkları bir çalışmada Coastal ve Aysen termal su kaynaklarından elde ettikleri suların kimyasal testleri sonucunda iletkenlik değerinin bölgelere göre farklılık gösterdiğini Coastal termal kaynaklardan elde ettikleri sularda iletkenliğin 1000 (mS/cm)'in üzerinde olduğunu ve pH değerinin ise 6,4 ile 8,4 arasında değiştiğini, Aysen termal kaynaklarından elde ettikleri suların ise iletkenlik değerinin 1000 (mS/cm)' nin altında olduğunu, pH'nın ise 7,9 ile 9,6 arasında değiştiğini tespit etmişlerdir. Çalışmamızda ise sadece Hısta termal kaynağından alınan numunelerde iletkenliğin 942,9 (mS/cm) ve pH değerinin 9,1 olduğu, diğer kaynakların tümünde iletkenliğin 1000 (mS/cm)' nin üzerinde, pH'nın ise 6,9 ile 8,5 arasında değiştiği

belirlenmiştir. Alınan kaynakların pH ortalamasının 7.3, kimyasal içeriklerinin ortalamasının ise, Bakır (Cu) da 2.02, Demir (Fe) de 0.931, Kurşun (Pb) da 1.12, Nitrat (NO_3^{-1}) da 0.41, Amonyum (NH_4^{+1}) da 2.043 ve Nitrit (NO_2^{-1}) de ise 0.381 olduğu tespit edilmiştir. Bu sonuçlara göre bölgesel olarak sulara kimyasal verilerin değişkenlik gösterdiği ve çalışmamızda diğer literatüre paralel olarak termal su kaynaklarının iletkenlik ve pH değerinin içilebilir su kaynaklarına göre daha yüksek olduğunu söylemek mümkündür.

Gelişen ve sürekli büyüyen dünyada biyoteknolojik yatırımların ve ihtiyaçların giderek artması, endüstriyel enzimlerin gerekliliğini arttırmıştır. Dünyada enzim üretimi konusunda çok az ülkenin kendi üretim çemberi bulunmakta ve bu ürettikleri ürünleri dünya pazarında satmaktadır. Bu sebeple bir enzimin sanayi ve endüstride kullanımı maliyetinin düşük olması, tekrar tekrar kullanılabilirliği, aktivitesinin yüksekliği, ekstrem koşullara dayanabilirliği büyük önem arz etmektedir (Sarıkaya, 1995). Özellikle endüstri ve sanayi alanında kullanılan, geniş bir alana sahip olan enzimlerin birçoğu bakterilerden temel almaktadır. Bitkisel veya hayvansal kaynaklı enzimlere göre daha ucuz ve daha verimli olan mikroorganizma kökenli enzimlerin elde edilme aşamaları da çok daha kolay ve uygun olabilmektedir. Bunun yanında endüstri alanında enzimlerin kullanılabilmesi için bu mikrobiyal kaynaklı enzimlerin zararlı etkilerinin de olmaması gerekmektedir (Wiseman and Dalton 1987). Mikrobiyal kaynaklı enzimler, özellikle de ekstremofil organizmalardan elde edilen enzimler bugün pek çok alanda yaygın bir şekilde kullanılmaktadır. Ekstremofil organizmalar ortamın pH, sıcaklık ve diğer olumsuz faktörlerinden etkilenmeyeceğinden bunların ürettiği enzimlerin kararlılıkları ve aktiviteleri de oldukça yüksek olmaktadır. Termofilik organizmalar da ekstrem şartlara uyum sağlamış mikroorganizmalar olduğundan elverişsiz koşullarda bile kullanılabilir çeşitlilikte ürünler oluşturabilmektedirler. Termofilik organizmalardan selüloz, ksilanaz, katalaz, laktaz, lipaz, sükröz, pullulanaz, pektinaz, amilaz, proteaz ve bunun gibi birçok enzim saflaştırılarak ticari olarak üretilmektedir. Bu enzimler tekstil, gıda, deterjan, sanayi, içecek sektörü ve en önemlisi sağlık alanı gibi birçok alanda yaygın olarak da kullanılmaktadır (Niehaus *et al.* 1999). Bu çalışmada izole edilen bakteriler de termofilik özelliklerinden dolayı oldukça kararlı yapıda, yüksek sıcaklık ve ekstrem koşullarda çalışabilen enzimler olması nedeniyle avantajlı konumda değerlendirilmiştir. Bu nedenle çalışmada; endüstri alanında sıklıkla kullanılan ve aranan enzim olan ksilanaz enzimi

üzerine odaklanılmış ve piyasada ticari olarak kullanılabilir daha yüksek verimli ksilanazların elde edilmesi sağlanmıştır.

Sıcak su kaynakları yanında pek çok ortamdan da izole edilebilen *Bacillus* türleri enzim üretimi açısından büyük önem arz etmektedir. *Bacillus* türleri proteolitik ve karbohidratazların etkin kaynaklarının başında yer almakta ve özellikle nişasta, ekmek, meyve suyu, kâğıt ağartma ve bira yapımı gibi birçok alanda enzim ihtiyacını karşılamaktadır. Bu nedenle *Bacillus* türlerinin sentezledikleri birçok enzim sanayide oldukça farklı pek çok alanda kullanılmaktadır (Niehaus *et al.* 1999). Endüstride yaygın şekilde kullanılan enzimlerin en önemlilerinden biri olan ksilanazın üretiminde her ne kadar bazı funguslar kullanılsa da bakterilerin özellikle de *Bacillus* türlerinin büyük önem arz ettiği bilinmektedir (Gomes *et al.* 2017). *B. cereus* (Roy ve Rowshanul, 2009), *Bacillus sp.* (Hiremath vd. Patil, 2011), *B. subtilis*, *B. licheniformis* ve *Geobacillus thermodenitrificans* gibi pek çok *Bacillus* türünün ksilanaz ürettiği bilinmektedir (Guo *et al.* 2012). *B. subtilis* ticari olarak üretilen ksilanaz enzimi için en çok tercih edilen termofilik *Bacillus* türüdür (Banka *et al.* 2014). Literatürde verilen bu bilgilerle paralel olacak şekilde bizim çalışmamızda da *B. subtilis* izolatu en yüksek aktivite gösteren tür olarak tespit edilmiş olup çalışmalar bu tür üzerinden yürütülmüştür.

Çalışmada termal su kaynaklarından alınan örneklerden bakteriyel izolasyonlar yapılarak tanılanmıştır. Bakterilerin tanılanmasında morfolojik özellikler yanında organizmalar arasında ki filogenetik ilişkileri açığa çıkaran 16S rDNA bilgilerine dayanılarak da filogenetik tanılama yapılmıştır. Bakterilerin genomlarında bazı bölgeler özel olarak korunmuş bölgeler olarak bilinmektedir. Bu bölgeler ribozomun küçük alt birimini oluşturan 16s rRNA, 23s rRNA ve 5s rRNA bölgeleridir. Bakterilerde özellikle bu bölgelerden 16s rRNA bölgesi bakteriler arasındaki çeşitliliğin belirlenmesinde kilit rol oynamaktadır. Aynı zamanda filogenetik sınıflandırmanında temelinde bu korunmuş bölgelerdeki diziliş farklılıkları model olarak kullanılmaktadır (Tortoli 2003). Bu nedenle 16s rRNA geni, bakteriler arasındaki çeşitlilik ve evrimsel bağlantının çözümlenmesi aşamasında birçok çalışmada araştırmacılar tarafından kullanılmaktadır (Harmsen and Karch 2004). Bu dizilerin tanılama ve filogenetik sınıflandırmada önemli yer almasının sebebi, bu korunmuş bölgelerin mutasyonlara kapalı olması ve ender durumlarda meydana gelebilecek olası mutasyonların ise çoğunlukla hızlı bir şekilde düzeltilmesi temeline dayanmaktadır. Aynı zamanda bakteriler arasında bu bölgelerin korunur

olmalarından dolayı tüm bakterilerde ortak alan olarak tanımlanmakta ve bu ortak alanlar içerisindeki değişimler bakterilerin tanımlanması ve birbirleri ile benzerlik ve farklılıklarının tespit edilmesine imkân sağlamaktadır (Woese 1987). Bu amaçla, 16s rRNA gen bölgesinin evrensel primerlerle PCR amplifikasyonu sonucunda elde edilen genlerin baz dizilimleri analiz edilerek var olan türler ile karşılaştırılmakta ve böylece bakterilerin tür tanısı yapılarak filogenetik olarak sınıflandırılmaktadır (Hakovirta *et al.* 2016). 16S rRNA bölgelerinin tanılamada başarılı olduğuna dair pek çok çalışma yapılmıştır. Bavykin *et al.* (2004) yapmış oldukları çalışmada *B. cereus* grupları arasındaki farklılıkları belirlemek için 183 türün 16s rRNA bölgelerini, 74 türün de 23s rRNA bölgesinin dizisini analiz etmişlerdir. Çalışma sonucunda *Bacillus anthracis*'in *B. cereus* grubundaki diğer mikroorganizmalardan (*B. cereus*, *B. thuringiensis* ve *B. mycooides*) ayırımında bu yöntemlerin etkili olduğunu vurgulamışlardır. Hakovirta *et al.* (2016) benzer şekilde yapmış oldukları çalışmada farklı bölgelerden elde ettikleri 50 farklı izolatın 16s rRNA genlerinin analizi ile *B. cereus* grubu, bunların da; *B. anthracis*, *B. cereus*, *B. mycooides* ve *B. thuringiensis* izolatlarından oluştuğunu tespit etmişlerdir (Hakovirta *et al.* 2016). Bu çalışmada da bakterilerin tür tanımlarında 16s rRNA gen bölgesi hedef alınarak tanılamalar gerçekleştirilmiştir. Çalışmamızda izole edilen bakterilerden gDNA izolasyonları yapılarak türlerin 16s rRNA dizi sekansları yapılmıştır. Bu sekans sonucu elde edilen diziler NCBI (National Center for Biotechnology Information) veri tabanında taranarak bakterilerin tanımları gerçekleştirilmiştir. Buna göre çalışmamızda 5 farklı tür (*B. coagulans*, *B. licheniformis*, *B. subtilis*, *B. thuringiensis* ve *Geobacillus kaustophilus* türleri) tanımlanmıştır. Yalnız *B. thuringiensis* (BTX53, BTX54, BTX55, BTX56, BTX57, BTX58, BTX59, BTX72, BTX73, BTX79) olarak tanımlanmış ve termofilik özellik göstermiş bu izolatların yüksek sıcaklıklarda elde edilmiş olması literatür bilgileriyle örtüşmemektedir. Termofilik *B. thuringiensis* izolatları varlığı belirlenmemiştir. Bu kapsamda bu 10 izolatın yeniden değerlendirilmesi uygun görülmüştür.

Adıgüzel *et al.* (2009) yaptıkları çalışmada Türkiye'deki çeşitli termal su kaynaklarından izole ettikleri izolatları 16s rRNA dizi analizleri kullanarak tanımlamışlardır. Çalışmalarının sonucunda elde ettiği izolatların *Geobacillus*, *Anoxybacillus* ve *Bacillus sp.* izolatlarına % 97- 99 oranında yakınlık gösterdiklerini bildirmişlerdir. Acar (2009) yapmış olduğu çalışmasında, Van Hasanabdal sıcak su kaynaklarından çeşitli bakteri izolasyonları yapmış ve elde ettiği bakterilerin 16s rRNA

gen dizisini PGEMT vektörüyle *E.coli*'ye transforme etmiştir. *E. coli*'ye klonlanan dizilerin sekans analizi sonucunda, izole edilen türlerin *B. licheniformis*, *Brevibacillus brevis*, *Geobacillus pallidus*, *Brevibacillus borstelensis* ve *B. pumilus* olduğunu bildirmiştir. Bizim çalışmamızda da aynı bölgeden alınan örneklerden yapılan izolasyonlar sonucunda *B. licheniformis* türü belirlenmiş, diğer belirtilen türlere ise rastlanmamıştır. Pirinccioglu (2010) yapmış olduğu çalışmasında Dargeçit ve Güçlükonak bölgesindeki termal su kaynaklarından elde ettiği su ve çamur örneklerinden yaptığı izolasyonlar sonucunda tanılama aracı olarak 16s rRNA gen bölgelerini sekanslamış ve sekans analizi sonucunda *Geobacillus* cinsine ait izolatlar tanılamıştır. Bizim çalışmamızda da benzer şekilde Dargeçit ve Güçlükonak bölgesinden alınan izolatların 16s rRNA gen bölgesinin sekans analizi sonucunda *Geobacillus kaustophilus* türüne % 100 benzerlik gösterdiği belirlenmiştir. Çalışmamızda;

Bakteri tanılamalarının ardından, izolatlar arasında ksilanaz enzimi için aktivite testleri gerçekleştirilmiş olup yapılan testler sonucunda *B. subtilis* BTX6 izolatının diğer türlere nazaran daha yüksek aktivite gösterdiği belirlenmiş ve çalışmaya bu izolat ile devam edilmiştir (Çizelge 4.5). Ağrı Diyadin'den izole edilen ve ekstrem şartlarda üreyebilme yeteneğine sahip olan *B. subtilis* izolatının Gram +, sporlu ve hücre morfolojisinde de basil şeklinde zincirler oluşturduğu tespit edilmiştir (Çizelge 4.3). Çalışmanın bir sonraki aşamasında enzim aktivitesi yüksek olan *B. subtilis* BTX6' dan ksilanaz geni alınarak rekombinant olarak üretilmiştir. Bu amaçla klonlama vektörü olarak PGEMTeasy, plazmit izolasyon aşamasında restriksiyon enzimi olarak XbaI ve KpnI (Fermentas 10,000 u/ml), konakçı olarak ise *E.coli* DH5- α ırkı kullanılmıştır. Ekspresyon aşamasında ise restriksiyon enzimi olarak SalI ve HindIII, vektör olarak pET 16b vektörü, konakçı olarak da *E. coli* Rosetta ırkı kullanılmıştır. Rekombinant olarak üretilen enzim SDS PAGE ve Western Blot ile analiz edilmiş, SDS PAGE sonucunda enzimin 71 kDa olduğu tespit edilmiştir.

Yang *et al.* (1988) yaptıkları çalışmada, *B. polymyxa*'dan elde ettikleri ksilanaz geninden rekombinant ksilanaz enzimi üretmek için öncelikle, restriksiyon enzimleri olarak EcoRI, HindIII, ve BamHI kullanmışlardır. Klonlama vektörü olarak pBR322 ve konakçı olarak da *E. coli* kullanmışlardır. Ekspresyon vektörüne aktarılan insört BamHI-EcoRI restriksiyon enzimleri aracılığı ile pUC19 vektörüne aktarılmış ve *E. coli*'de protein saflaştırılması yapılmıştır. Bai *et al.* (2015) yapmış oldukları çalışmada bazı

alkalifik *Bacillus* türlerinde ksilanaz enzimini elde etmek istemişlerdir. Klonlama aşamasında izole edilen ksilanaz geni klonlama vektörü olan pUC18' in defosforile BamHI bölgesine lige edilerek *E. coli* DH5 α 'ya transforme edilmiştir. Ekspresyon aşamasında ise Rekombinant plazmid izole edilmiş, ilgili gen bölgesi pET28a-xyn11A vektörüne lige edilmiş ardından da *E. coli* BL21 (DE3)' ye transforme edilip protein üretimi sağlanmıştır. Saflaştırılan enzimin SDS-PAGE' deki moleküler ağırlığının 27 ile 43 kDa arasında olduğu bildirilmiştir. Zafar *et al.* (2016) yapmış oldukları bir çalışmada; *B. licheniformis* 9945A'nın ksilanaz genini (xynA) klonlamışlardır. Burada pET-22b'nin (+) vektörünün NdeI ve HindIII bölgelerinde lige edilmiş sonrasında *E. coli* BL21(DE3) konakçısında üremeleri sağlanmıştır. *E. coli* BL21 ekspresyon konakçısında ise protein üretimi yapılmıştır. Saflaştırılmış ksilanazın moleküler ağırlığı, SDS-PAGE ile belirlenmiş ve 23 kDa olarak bildirilmiştir.

Sunna and Antranikian (1997) yapmış oldukları çalışmada; *B. subtilis* izolatlarından elde edilen ksilanaz enzimlerinin moleküler ağırlıklarının yaklaşık olarak 8 ile 145 kDa arasında değişkenlik gösterdiğini bildirmişlerdir. *Bacillus* türlerindeki ksilanaz enziminin moleküler ağırlıkları ile yapılan çalışmalarda genellikle farklı değerlerde sonuçlar rapor edilmiştir (Kulkarni vd., 1999). Sa Pereira *et al.* (2002) bazı *B. subtilis* izolatlarından elde edilen ksilanaz enziminin molekül ağırlığını 340 kDa olarak bildirmişlerdir. Ryan *et al.* (2003) yapmış oldukları çalışmada, *Penicillium capsulatum* fungusundan izole edilen ksilanaz enziminin moleküler ağırlığının 22 kDa, *Aspergillus fumigatus*'dan elde edilen enzim ise 212 kDa moleküler ağırlığında olduğunu belirtmişlerdir. Lama *et al.* (2004) çalışmış oldukları bazı *Bacillus sp.* izolatlarının moleküler ağırlığının 24 ile 45 kDa arasında değiştiğini bildirmişlerdir. Aygan (2008)'da yapmış olduğu çalışmasında bazı *Bacillus* türlerinden elde edilen ksilanaz enziminin molekül ağırlıklarını 108, 95, 80 ve 68 kDa olarak bildirmiştir. Bu veriler ksilanaz enziminin moleküler ağırlığının farklı türlerde hatta aynı tür içerisinde bile farklılıklar gösterebildiğini izah etmiştir.

Çolak (2011) çalışmasında Kitosan immobilizasyonu ile saflaştırılan paraoksonaz enzimini immobilize ederek enzimin bağlanma yüzdesini % 68, katalitik etki değerini ise 3,2229 olarak belirlemiştir. K_m ve V_{max} miktarları Lineweaver-Burk ile hesaplandığında; Paraoksonaz enziminin saf halinin 1,067 mM ve 125 U/ml dakika, immobilize enzimin ise 1,755 mM ve 181 U/ml dakika olarak belirlemiştir. Saf enzim ve immobilize

paraoksonaz enziminin benzer optimum (25-45 °C) ve pH (7.0) değerler gösterdiğini belirtmiştir.

Çalışmamızda rekombinant olarak üretilen enzimi nano rekombinant bir enzim olarak üretmek suretiyle kontrollü, üretimi kolay, kararlı, maliyeti düşük ürün elde edilmesi sağlanmıştır. Bu amaçla rekombinant teknoloji ile elde edilen ürün ANADOLUCA metodu ile nanobiyokonjugat halinde sentezlenmiş ve böylelikle nanoksilanaz'ın uzun süre ve dış ortam koşullarına dayanabilirliği ve uzun soluklu kullanılabilirliği sağlanmıştır. Zeta boyut analizinde rekombinant olarak üretilen nanoksilanazın boyutunun 422,6 nm olduğu görülmüştür. Karşılaştırmada rekombinant ksilanaz proteinin boyutunun 400,3 nm olduğu belirlenmiştir. CD spektrumlarına bakıldığında α -heliks yapıları ve β katlanmaları ile nano yapıya ait aromatik yapı bantları gözlenmiş ve bundan dolayı ikincil yapısının korunduğu ve aktif kaldığı gözlenmiştir. Yine ANADOLUCA yöntemi ile kafeslenen rekombinant nano enzim, rekombinant enzim ile kıyaslanmış benzer pH (7.0) ve substrat konsantrasyonlarına sahip oldukları, sıcaklık değerinde ise rekombinant enzimin optimum sıcaklık değerinin 68°C, rekombinant nano enzimin ise optimum sıcaklık değerinin 75°C olduğu belirlenmiştir. Çalışmamızda rekombinant enzim için V_{max} değeri 5,691 (EU/mL. dk.), K_m değeri ise 2,298 (mM), Rekombinant nano enzim için ise V_{max} değeri 6,195 (EU/mL. dk.), K_m değeri ise 2,402 (mM) olarak belirlenmiştir. Bunun yanında metal iyonlarına karşı ise rekombinant nano enzimin daha fazla aktivite gösterdiği görülmüştür.

Abdel-Naby (1993) yapmış oldukları çalışmada; *Aspergillus niger* NRC 107'dan elde edilen ksilanaz ve β -ksilosidaz enzimlerinin çeşitli taşıyıcılar üzerinde fiziksel adsorpsiyon, kovalent bağlama, iyonik bağlama ve tuzaklanma gibi farklı immobilizasyon yöntemleri ile immobilize edilmiştir. Hareketsizleştirilmiş enzimler, tanen-kitosan üzerinde fiziksel adsorpsiyon, Dowex-50W üzerine iyonik bağlanma, kitosan boncuklarında glutaraldehit ile kovalent bağlanma ve poliakrilamid içerisine enjekte etme yoluyla en yüksek aktiviteleri elde etmişlerdir. İmmobilize olmayan ksilanazın optimum reaksiyon sıcaklığı, immobilizasyon sonrası 50 °C'den 52.5 °C - 65°C'ye çıkarken, immobilize β -ksilosidazın reaksiyon sıcaklığının 45 °C'den 50-60 °C'ye ulaştığını bildirmişlerdir.

Dusterhoft *et al.* (1997) yaptıkları çalışmada; pH 7.0'de *Sulfolobus solfataricus*'tan elde ettikleri ksilanaz enziminin optimum aktiviteye sahip olduğunu, Breccia *et al.* (1998) *B. amyloliquefaciens*'den izole edilen ksilanaz enziminin optimum aktivitesini çeşitli pH aralıkları ve sıcaklıklarda örneğin; pH 9.0'da % 71 oranında, pH 10,0'da ise % 43'e kadar koruduğunu, Dhillon *et al.* (2000) *B. circulans* ksilanaz enzimlerinin 50 °C'de, pH 8.0' de 10 dk. boyunca orijinal aktivitesinin % 60'a kadar korunduğunu, Cordeiro *et al.* (2002) ksilanaz enziminin optimum aktivite gösterdiği pH aralığının çeşitli termofilik *Bacillus sp.* türlerinde pH 6.5-7.0 arasında olduğunu ve aktivitenin pH 7.0 ve üzerinde gittikçe düştüğünü, Waino and Ingvorsen (2003) *Humicola insolens*'ten elde edilen ksilanaz enziminin optimum çalışma ve aktivite değerinin pH 6.0-6.5 aralığında olduğunu, Cannio *et al.* (2004) *Halorhabdus utahensis* izolatından elde ettikleri ksilanaz enziminin optimum aktivitesinin pH 7.0'de olduğunu, Kumar *et al.* (2004) alkali ortamda yaşayan *Bacillus*'ların optimum aktivite gösterdiği değerin pH 8.0 olduğunu, Annamalai *et al.* (2009) nehir suyu kenarından izole ettikleri *B. subtilis*'den izole edilen ksilanazın 7.0-10.0 pH aralığında en yüksek enzim üretim seviyesine 36 ile 48. saatlerde ulaştığını, Kamble *et al.* (2012) termofilik ortamdan izole edilen bazı *Bacillus* türlerinde üretilen ksilanaz enziminin aktivite aralıklarının pH 6.0-10.0 değerleri arasında değiştiğini, İrfan *et al.* (2016) *B. subtilis* ve *B. megaterium* ksilanazlarının optimum aktivite gösterdikleri üreme periyodunun sırasıyla 48. ve 72. saatte gerçekleştiğini rapor etmişlerdir. Yapılan çalışmalarda farklı türler tarafından elde edilen ksilanazların *Penicillium capsulatum* türünde optimum pH değerinin 3.8, *Fusarium proliferatum*'da pH aralığının 5.0 - 5.5 ve *Aspergillus fumigatus*'da pH aralığının ise 6.0 ile 6.5 arasında değiştiğini göstermişlerdir (Saha 2002; Anthony *et al.* 2003). Yine literatürde optimum aktivitenin farklı pH (5.0, 5.5, 5.6, 6.0, 6.5 ve 7.0) aralıklarında olduğu bazı *Bacillus* türleri de rapor edilmiştir (Gallardo *et al.* 2004; Avcioglu *et al.* 2005). Bunun yanında Bhakyaraj *et al.* (2014) çeşitli pH aralıklarında ksilanaz aktivitesi gösteren, hem asidik hem de nötr şartlarda yapısı bozulmadan kalan ksilanazlar bildirmişlerdir. Ammoneh *et al.* (2014) yapmış oldukları çalışmada; alkali ortamlarda enzimin kararlılığının yüklü aminoasit artıklarından kaynaklandığını bildirmişlerdir. Kararlı yapıdaki enzimlerde asidik yapılarında azalma, arjinin miktarında ise bir artış meydana geldiği bildirilmiştir. Yaptığımız çalışmada total aktivitede yüksek aktivite değeri gösteren *B. subtilis* BTX6 izolatının rekombinant ksilanaz ve aynı şekilde rekombinant nano ksilanazında optimum enzim aktivitesinin pH 7.0' de gerçekleştiği tespit edilmiş olup bu değer literatür bilgileriyle pek çok çalışmada benzer şekilde olduğu

görülmüştür. Çalışma sonucunda elde edilen enzimin bu sonuç itibari ile yem endüstrisinde, kâğıt endüstrisinde, ekmek yapımında ve diğer alanlarda da rahatlıkla uyum sağlayacak ideal pH özelliğinde olduğu düşünülmektedir.

Literatürde yapılan gözlemlerde ksilanaz enziminin aktivitesinin farklı sıcaklık skalalarında olduğu gözlemlenmiştir. Enzimler bazı proseslerde yüksek sıcaklıklarda ihtiyaç duyulması ve bu enzimlerinde bu yüksek sıcaklıklarda aktivite göstermeleri, ısı işlem uygulanmaları gerektiren bazı çalışmalarda istenilen ve arzulanan durumlardır. Bu nedenle termofilik ortamda aktivite gösteren enzimler mezofilik olanlara göre daha çok tercih edilme nedeni olmuşlardır. Breccia *et al.* (1998) çalışmalarında *Bacillus sp.* izolatlarının ksilanaz enziminin optimum aktivite gösterdikleri sıcaklıkların 60 °C ile 80 °C arasında olduklarını, Cordeiro *et al.* (2002) 90 °C’de optimum ksilanaz aktivitesi gösteren termofilik bazı *Bacillus sp.* türleri olduğunu bildirmişlerdir. Yine bazı çalışmalarda halofilik bakterilerden elde edilen ksilanaz enzimlerinin yaklaşık olarak 50 °C ile 90 °C arasındaki sıcaklıklarda optimum aktivite gösterdikleri rapor edilmiştir (Dusterhoft *et al.* 1997; Wejse *et al.* 2003). Bazı mantar ve türevlerinde ise ksilanaz enziminin optimum aktivite gösterdiği sıcaklık değerinin 45 °C ile 60 °C arasında değiştiği rapor edilmiştir (Anthony *et al.* 2003; Ryan *et al.* 2003). Konsula and Liakopoulou-Kyriakides (2004) yapmış oldukları bir çalışmada; koyun sütünden orta derecede termofilik *B. subtilis* izolatları izole etmişlerdir. Elde ettikleri bu *B. subtilis* izolatından rekombinant hücre dışı a-amilaz üretmişlerdir. *In vitro* ortamda bu enzimin pH 6.5’da ve 135 °C’de bile kalsiyum ve nişasta varlığında aktivite gösterdiğini tespit etmişlerdir. Termofilik ortamlardan izole edilen bazı *Bacillus* türlerinin 40 °C ile 60 °C arasındaki sıcaklıklarda optimum ksilanaz aktivitesi gösterdikleri bildirilmiştir (Bernier *et al.* 1983, Pham *et al.* 1998a; Lama *et al.* 2004; Poorna and Prema 2006, Guo *et al.* 2012, Kamble and Jadhav 2012, Ammoneh *et al.* 2014). Çalışmamızda ise *B. subtilis* izolatından elde edilen ksilanaz enziminin rekombinant ksilanaz ve rekombinant nano ksilanaz enzimlerinin yapılan farklı sıcaklık (37 °C, 40 °C, 45 °C, 50 °C, 60 °C, 70 °C, 80 °C ve 90 °C) aralıklarındaki aktivite testi sonucunda, optimum enzim aktivitesinin rekombinant ksilanaz enzimi için 68 °C’de, rekombinant nano ksilanaz için ise 75 °C’de olduğu belirlenmiştir. Bu sonuçlar literatüre bakıldığında bazı çalışmalara benzer niteliktedir. Ayrıca rekombinant nano ksilanaz formunda çok daha yüksek sıcaklıkta aktivite göstermesi bu metodun enzimlerin aktivitesini de ekstrem koşullara taşıdığını göstermiştir.

Yapılan bazı çalışmalarda, *Bacillus* türlerinde genel olarak HgCl₂'nin inhibitör etkiye neden olduğu ve ksilanaz enziminin Hg⁺² iyonları tarafından inhibisyonunun nedenin ise Hg⁺² iyonlarının sistinin sülfidril grupları ile temas içerisinde olmasından kaynaklandığı bildirilmiştir (Khasin *et al.* 1993, Gessesse 1998, Faulet *et al.* 2006, Khandeparkar and Bhosle 2006, Gaur *et al.* 2015). Yine pek çok metal iyonlarının enzim aktivitesi üzerine etkileri (CaCl₂, MgCl₂, MgSO₄, ZnSO₄ ve CoCl₂ ve Mn⁺²) de pek çok araştırmacı tarafından araştırılmıştır (Khasin *et al.* 1993; Gessesse 1998; Annamalai *et al.* 2009; Gaur *et al.* 2015). Bazı çalışmalarda ksilanaz aktivitesinin Ca⁺² ve MgCl₂ ile etkileşimde inhibe oldukları bildirilmiştir (Gessesse 1998; Faulet *et al.* 2006). Bizim çalışmamızda rekombinant ksilanaz ve rekombinant Nano ksilanaz enzimlerinin MgSO₄, CuSO₄, CaCl₂, ZnSO₄ ve FeSO₄ gibi metal iyonlarının varlığında farklı tepkiler verdiği görülmüştür. Bu farklı tepkilerin metal iyonlarının rekombinant ksilanaz enzimi için MgSO₄ (% 80), CuSO₄ (% 57), CaCl₂ (% 74), ZnSO₄ (% 5) ve FeSO₄ (% 72), rekombinant nano ksilanaz enzimi için ise MgSO₄ (% 85), CuSO₄ (% 71), CaCl₂ (% 85), ZnSO₄ (% 50) ve FeSO₄ (% 94) farklı rölatif aktivite gösterdiği belirlenmiştir. Bu durumun sadece ksilanazın ksilan bağ alanına değil, substratın hidrolizi ile ilgili olan non-katalitik ksilan bağlanma bölgesini de etkilemiş olmasından dolayı olabileceği rapor edilmiştir (Ratanakhanokchai *et al.* 1999). Yine çalışmamızın sonuçları incelendiğinde metal iyonlarının indirgeyici etkisinin rekombinant nano ksilanaz enzimlerinin aktiviteleri üzerinde etkili olmadığı ve rekombinant ksilanaz ile karşılaştırıldığında aktivitesinin arttığını söylemek mümkündür.

Ksilanaz enzimi ile ilgili yapılan çalışmalarda; Heck *et al.* (2002) *B. subtilis* BL53 izolatının 72 saatlik inkübasyonunun ardından ksilanaz aktivitesini 5.19 UI/mg olarak, Menon *et al.* (2010) saflaştırmış oldukları *B. pumilus* GESF1 ksilanazının aktivitesini 21.21 kat oranında yükselterek 112.42 U/mg olarak, Kapilan (2016) ise *B. subtilis* BS166 ksilanazının ham aktivite değerini 32.14, saflaştırılmış spesifik aktivite değerini ise 212.5 U/mg-1 olarak bildirmiştir. Yapmış olduğumuz çalışmada ise *B. subtilis* rekombinant nano ksilanazın spesifik aktivite değerinin rekombinant olarak üretilen ksilanaza ve literatürde verilen değerlere göre oldukça yüksek olduğu (1898 U/mg) tespit edilmiştir. Dolayısıyla bu değerler göz önüne alınarak rekombinant nano ksilanazın, endüstriyel kullanım için oldukça uygun olduğunu söylemek mümkündür.

KAYNAKLAR

- Abdel-Naby, M.A., 1993. Immobilization of *Aspergillus niger* NRC 107 xylanase and β -xylosidase, and properties of the immobilized enzymes. *Applied Biochemistry and Biotechnology*, 38 (1), 69-81.
- Abdulla, J.M., Rose, S.P., Mackenzie, A.M. and Pirgozliev, V.R., 2017. Feeding value of field beans (*Vicia faba* L. var. minor) with and without enzyme containing tannase, pectinase and xylanase activities for broilers. *Archives of Animal Nutrition*, 71 (2), 150-164.
- Acar, S., 2009. Hasanabdal Köyü Termal Tesislerinden Alınan Su Örneklerinden Ğzole Edilen Termofilik Bakterilerin Moleküler Karakterizasyonu. Yüksek Lisans Tezi, Atatürk Üniversitesi, Fen Bilimleri Enstitüsü, Erzurum.
- Adiguzel, A., Ozkan, H., Baris, O., Inan, K., Gulluce, M. and Sahin, F., 2009. Identification and characterization of thermophilic bacteria isolated from hot springs in Turkey. *Journal of Microbiological Methods*, 79 (3), 321-328.
- Aehle, W., 2007. *Enzymes in industry: production and applications*. John Wiley & Sons.
- Akcan, N., 2011. High level production of extracellular beta-galactosidase from *Bacillus licheniformis* ATCC 12759 in submerged fermentation. *African Journal of Microbiology Research*, 5 (26), 4615-4621.
- Aksoy, N., Simsek, C. and Gunduz, O., 2009. Groundwater contamination mechanism in a geothermal field: A case study of Balçova, Turkey. *Journal of Contaminant Hydrology*, 103 (1-2), 13-28.
- Alvarez-Cervantes, J., Dominguez-Hernandez, E.M., Mercado-Flores, Y., O'Donovan, A. and Diaz-Godinez, G., 2016. Mycosphere Essay 10: Properties and characteristics of microbial xylanases. *Mycosphere*, 7 (10), 1600-1619.
- Amerah, A.M., Romero, L.F., Awati, A. and Ravindran, V., 2017. Effect of exogenous xylanase, amylase, and protease as single or combined activities on nutrient digestibility and growth performance of broilers fed corn/soy diets. *Poultry Science*, 96 (4), 807-816.
- Ammonah, H., Harba, M., Akeed, Y., Al-Halabi, M., Bakri, Y., Isolation and identification of local *Bacillus* isolates from xylanase biosynthesis. *Iranian Journal of Microbiology*, 6(2): 127-132. 2014
- Anbarasan, S., Wahlstrom, R., Hummel, M., Ojamo, H., Sixta, H. and Turunen, O., 2017. High stability and low competitive inhibition of thermophilic *Thermopolyspora flexuosa* GH10 xylanase in biomass-dissolving ionic liquids. *Applied microbiology and biotechnology*, 101 (4), 1487-1498.
- Annamalai, N., Thavasi, R., Jayalakshmi, S. and Balasubramanian, T., 2009. Thermostable and alkaline tolerant xylanase production by *B. subtilis* isolated from marine environment. *Indian Journal of Biotechnology*, 8 (3), 291-297.
- Anthony, T., Raj, K.C., Rajendran, A. and Gunasekaran, P., 2003. High molecular weight cellulase-free xylanase from alkali-tolerant *Aspergillus fumigatus* AR1. *Enzyme and Microbial Technology*, 32 (6), 647-654.
- Avcioglu, B., Eyupoglu, B. and Bakir, U., 2005. Production and characterization of xylanases of a *Bacillus* strain isolated from soil. *World Journal of Microbiology & Biotechnology*, 21 (1), 65-68.
- Aygan A., Haloalkalofil *Bacillus* sp. İzolasyonu, Amilaz, Selülaz ve Ksilanaz Enzimlerinin Üretimi, Karakterizasyonu ve Biyoteknolojik Uygulamalarda Kullanılabilirliği, Çukurova Üniversitesi Fen Bilimleri Enstitüsü, 2008

- Ayhan, K., 2000. Gıdalarda Bulunan Mikroorganizmalar Gıda Mikrobiyolojisi ve Uygulamaları Ankara Üniversitesi Ziraat Fakültesi Gıda Mühendisliği Bölüm Yayını, 43-44. Sim Matbaacılık Ltd. Ankara.
- Ayyachamy, M. and Vatsala, T.M., 2007. Production and partial characterization of cellulase free xylanase by *B. subtilis* C 01 using agriresidues and its application in biobleaching of nonwoody plant pulps. *Letters in Applied Microbiology*, 45 (5), 467-472.
- Bai, W.Q., Xue, Y.F., Zhou, C. and Ma, Y.H., 2015. Cloning, expression, and characterization of a novel alkali-tolerant xylanase from alkaliphilic *Bacillus* sp SN5. *Biotechnology and Applied Biochemistry*, 62 (2), 208-217.
- Banka, A.L., Guralp, S.A. and Gulari, E., 2014. Secretory Expression and Characterization of Two Hemicellulases, Xylanase, and beta-Xylosidase, Isolated from *B. subtilis* M015. *Applied Biochemistry and Biotechnology*, 174 (8), 2702-2710.
- Battan, B., Dhiman, S.S., Ahlawat, S., Mahajan, R. and Sharma, J., 2012. Application of Thermostable Xylanase of *Bacillus pumilus* in Textile Processing. *Indian Journal of Microbiology*, 52 (2), 222-229.
- Bavykin, S.G., Lysov, Y.P., Zakhariev, V., Kelly, J.J., Jackman, J., Stahl, D.A. and Cherni, A., 2004. Use of 16S rRNA, 23S rRNA, and gyrB gene sequence analysis to determine phylogenetic relationships of *Bacillus cereus* group microorganisms. *Journal of Clinical Microbiology*, 42 (8), 3711-3730.
- Beg, Q.K., Kapoor, M., Mahajan, L. and Hoondal, G.S., 2001. Microbial xylanases and their industrial applications: a review. *Applied microbiology and biotechnology*, 56 (3-4), 326-338.
- Bernard, K., Burdz, T., Wiebe, D., Balcewich, B.M., Zimmerman, T., Lagace-Wiens, P., Hoang, L.M.N. and Bernier, A.M., 2017. Characterization of isolates of Eisenbergiella tayi, a strictly anaerobic Gram-stain variable *Bacillus* recovered from human clinical materials in Canada. *Anaerobe*, 44, 128-132.
- Bernier, R., Desrochers, M., Jurasek, L. and Paice, M.G., 1983. Isolation and Characterization of a Xylanase from *Bacillus subtilis*. *Applied and Environmental Microbiology*, 46 (2), 511-514.
- Bhagyaraj, R., Isolation, production and characterization of xylanase from *Bacillus* sp. isolated from soil samples. *International Journal of Advanced Multidisciplinary Research*, 1(1): 41-51. 2014.
- Bilgehan, H., 1995, *Bacillus* Genusu: Klinik Mikrobiyolojik Tanı, Fakülteler Kitabevi, Barış Yayınları, 529-532, İzmir.
- Blanco, A., Vidal, T., Colom, J.F. and Pastor, F.I.J., 1995. Purification and Properties of Xylanase-a from Alkali-Tolerant *Bacillus* sp Strain Bp-23. *Applied and Environmental Microbiology*, 61 (12), 4468-4470
- Bocchini, D.A., Gomes, E. and Da Silva, R., 2008. Xylanase production by *Bacillus circulans* D1 using maltose as carbon source. *Applied Biochemistry and Biotechnology*, 146 (1-3), 29-37.
- Breccia, J.D., Sineriz, F., Baigori, M.D., Castro, G.R. and HattiKaul, R., 1998. Purification and characterization of a thermostable xylanase from *Bacillus amyloliquefaciens*. *Enzyme and Microbial Technology*, 22 (1), 42-49.
- Buchanan, R.E., 1994. An Aid to Formation of Bacterial Names - Chemical Terminology and Microbiological Nomenclature. *International Journal of Systematic Bacteriology*, 44 (3), 588-590.
- Canakci, S., Kacagan, M., Inan, K., Belduz, A.O. and Saha, B.C., 2008. Cloning, purification, and characterization of a thermostable alpha-L-arabinofuranosidase

- from *Anoxybacillus kestanbolensis* AC26Sari. Applied microbiology and biotechnology, 81 (1), 61-68.
- Cannio, R., Di Prizito, N., Rossi, M. and Morana, A., 2004. A xylan-degrading strain of *Sulfolobus solfataricus*: isolation and characterization of the xylanase activity. Extremophiles, 8 (2), 117-124.
- Cano-Ramirez, C., Santiago-Hernandez, A., Rivera-Orduna, F.N., Pineda-Mendoza, R.M., Zunga, G. and Hidalgo-Lara, M.E., 2017. One-step zymogram method for the simultaneous detection of cellulase/xylanase activity and molecular weight estimation of the enzyme. Electrophoresis, 38 (3-4), 447-451.
- Çetinkaya, E., Ayhan, K., Mikrobiyolojide kullanılan bazı moleküler teknikler. Karaelmas Science and Engineering Journal, 2(1): 53-62. 2012.
- Chao, A., Jiang, N., Yang, Y., Li, H.Y. and Sun, H.Z., 2017. A Ni-NTA-based red fluorescence probe for protein labelling in live cells. Journal of Materials Chemistry B, 5 (6), 1166-1173.
- Chaudhary, H., Chaudhary, V., Kasana, H., Production and partial purification of xylanase from *Bacillus pumilus*. International Journal of Multidisciplinary Research and Development, 2(10): 396-400. 2015
- Chong, L., 2001. Molecular cloning - A laboratory manual, 3rd edition. Science, 292 (5516), 446-446.
- Choudhury, B., Chauhan, S., Singh, S.N. and Ghosh, P., 2006. Production of xylanase of *Bacillus coagulans* and its bleaching potential. World Journal of Microbiology & Biotechnology, 22 (3), 283-288.
- Chutani, P. and Sharma, K.K., 2016. Concomitant production of xylanases and cellulases from *Trichoderma longibrachiatum* MDU-6 selected for the deinking of paper waste. Bioprocess and Biosystems Engineering, 39 (5), 747-758.
- Çolak U., İnsan Serum Paraoksonaz Enziminin Kitosan Üzerine İmmobilizasyonu ve Karakterizasyonu Balıkesir Üniversitesi Fen Bilimleri Enstitüsü, 2011
- Collins, T., Gerday, C. and Feller, G., 2005. Xylanases, xylanase families and extremophilic xylanases. FEMS microbiology reviews, 29 (1), 3-23.
- Con, A. H. ve Gökalp, H. Y. 1997. Gıda Mikrobiyolojisi. Pamukkale Üniversitesi Mühendislik Fakültesi Ders Notları Yayın no: 007, 23 s. Mühendislik Fakültesi Basım Ünitesi. Denizli.
- Cordeiro, C.A.M., Martins, M.L.L., Luciano, A.B. and da Silva, R.F., 2002. Production and properties of xylanase from thermophilic *Bacillus* sp. Brazilian Archives of Biology and Technology, 45 (4), 413-418.
- Damiano, V.B., Bocchini, D.A., Gomes, E. and Da Silva, R., 2003. Application of crude xylanase from *Bacillus licheniformis* 77-2 to the bleaching of eucalyptus Kraft pulp. World Journal of Microbiology & Biotechnology, 19 (2), 139-144.
- Davoodi, J., Wakarchuk, W.W., Surewicz, W.K. and Carey, P.R., 1998. Scan-rate dependence in protein calorimetry: The reversible transitions of *Bacillus circulans* xylanase and a disulfide-bridge mutant. Protein Science, 7 (7), 1538-1544.
- Dhillon, A. and Khanna, S., 2000. Production of a thermostable alkali-tolerant xylanase from *Bacillus circulans* AB 16 grown on wheat straw. World Journal of Microbiology & Biotechnology, 16 (4), 325-327.
- Dhillon, A., Gupta, J.K. and Khanna, S., 2000. Enhanced production, purification and characterisation of a novel cellulase-poor thermostable, alkalitolerant xylanase from *Bacillus circulans* AB 16. Process Biochemistry, 35 (8), 849-856.
- Dusterhoft, E.M., Linssen, V.A.J.M., Voragen, A.G.J. and Beldman, G., 1997. Purification, characterization, and properties of two xylanases from *Humicola insolens*. Enzyme and Microbial Technology, 20 (6), 437-445.

- Ekinci, A.P., Dincer, B., Baltas, N. and Adiguzel, A., 2016. Partial purification and characterization of lipase from *Geobacillus stearothermophilus* AH22. *Journal of Enzyme Inhibition and Medicinal Chemistry*, 31 (2), 325-331.
- Eren-Kıran Ö., Çömlekçioğlu, U., Dostbil N. 2006. Bazı Mikrobiyal Enzimler ve Endüstrideki Kullanım Alanları. *KSÜ Fen ve Mühendislik Dergisi*, 9 (1).
- Faulet, B.M., Niamke, S., Gonnety, J.T. and Kouame, L.P., 2006. Purification and biochemical properties of a new thermostable xylanase from symbiotic fungus, *Termitomyces* sp. *African Journal of Biotechnology*, 5 (3), 273-282.
- Fukusaki, E., Panbangred, W., Shinmyo, A. and Okada, H., 1984. The Complete Nucleotide-Sequence of the Xylanase Gene (Xyna) of *Bacillus pumilus*. *Febs Letters*, 171 (2), 197-201.
- Gallardo, O., Diaz, P. and Pastor, F.I.J., 2004. Cloning and characterization of xylanase A from the strain *Bacillus* sp BP-7: Comparison with alkaline pI-low molecular weight xylanases of family 11. *Current Microbiology*, 48 (4), 276-279.
- Gamerith, G., Groicher, R., Zeilinger, S., Herzog, P., Kubicek, C.P., 1992. Cellulase-Poor Xylanases Produced by *Trichoderma reesei* RUTC-30 on Hemicellulose Substrates. *Appl Microbiol Biotechnol.* 38: 315-322
- Gangadhar C vd. 2013. "Isolation and Characterization of B-Galactosidase Producing *B. subtilis* From Milk" *World Journal of Pharmaceutical research* Volume 3, Issue 1, 597-618. ISSN 2277 – 7105
- Garg, G., Mahajan, R., Kaur, A. and Sharma, J., 2011. Xylanase production using agro-residue in solid-state fermentation from *Bacillus pumilus* ASH for biodelignification of wheat straw pulp. *Biodegradation*, 22 (6), 1143-1154.
- Gaur, R., Tiwari, S., Rai, P. and Srivastava, V., 2015. Isolation, Production, and Characterization of Thermotolerant Xylanase from Solvent Tolerant *Bacillus vallismortis* RSPP-15. *International Journal of Polymer Science*.
- Gessesse, A., 1998. Purification and properties of two thermostable alkaline xylanases from an alkaliphilic *Bacillus* sp. *Applied and Environmental Microbiology*, 64 (9), 3533-3535.
- Gilbert, H.J. and Hazlewood, G.P., 1993. Bacterial Cellulases and Xylanases. *Journal of General Microbiology*, 139, 187-194.
- Gomes, K.D., Maitan-Alfenas, G.P., de Andrade, L.G.A., Falkoski, D.L., Guimares, V.M., Alfenas, A.C. and de Rezende, S.T., 2017. Purification and Characterization of Xylanases from the Fungus *Chrysosporthe cubensis* for Production of Xylooligosaccharides and Fermentable Sugars. *Applied Biochemistry and Biotechnology*, 182 (2), 818-830.
- Gong, W.L., Zhang, H.Q., Tian, L., Liu, S.J., Wu, X.Y., Li, F.L. and Wang, L.S., 2016. Determination of the modes of action and synergies of xylanases by analysis of xylooligosaccharide profiles over time using fluorescence-assisted carbohydrate electrophoresis. *Electrophoresis*, 37 (12), 1640-1650.
- Güneri, K.G., Dağlıoğlu, O. 2008. Ksilanaz Enziminin Ekmek Yapımında Kullanımı. *Türkiye 10. Gıda Kongresi*; 21-23 Mayıs 2008, Erzurum.
- Guo, G., Liu, Z.C., Xu, J.F., Liu, J.P., Dai, X.Y., Xie, D.P., Peng, K.Q., Feng, X.Y., Duan, S.W., Zheng, K., Cheng, L.F. and Fu, Y.G., 2012. Purification and characterization of a xylanase from *B. subtilis* isolated from the degumming line. *Journal of Basic Microbiology*, 52 (4), 419-428.
- Hakovirta, J.R., Prezioso, S., Hodge, D., Pillai, S.P. and Weigel, L.M., 2016. Identification and Analysis of Informative Single Nucleotide Polymorphisms in 16S rRNA Gene Sequences of the *Bacillus cereus* Group. *Journal of Clinical Microbiology*, 54 (11), 2749-2756.

- Harmsen, D. and Karch, H., 2004. 16S rDNA for diagnosing pathogens: a living tree. *Asm News*, 70 (1), 19-24.
- Heck, J.X., Hertz, P.F., and Ayub, M.A.Z. Cellulase And Xylanase Production By Isolated Amazon *Bacillus* Strains Using Soybean Industrial Residue Based Solid-State Cultivation. *Brazilian Journal of Microbiology* 33:213-218. 2002.
- Hiremath, K.S., Patil, C.S., Isolation, production and characterization of alkalophilic thermostable xylanase from newly Isolated *Bacillus* sp. *International Journal of Biotechnology Application*, 3(1): 48-51. 2011.
- Hols, P., Ferain, T., Garmyn, D., Bernard, N. and Delcour, J., 1994. Use of Homologous Expression-Secretion Signals and Vector-Free Stable Chromosomal Integration in Engineering of *Lactobacillus plantarum* for Alpha-Amylase and Levanase Expression. *Applied and Environmental Microbiology*, 60 (5), 1401-1413.
- Honda, H., Kudo, T. and Horikoshi, K., 1985. Molecular-Cloning and Expression of the Xylanase Gene of Alkalophilic *Bacillus* sp Strain C-125 in *Escherichia-Coli*. *Journal of Bacteriology*, 161 (2), 784-785.
- Horikoshi, K. and Atsukawa, Y., 1973. Production of Enzymes by Alkalophilic Microorganisms .7. Xylanase Produced by Alkalophilic *Bacillus* No-C-59-2. *Agricultural and Biological Chemistry*, 37 (9), 2097-2103.
- Irfan, M., Asghar, U., Nadeem, M., Nelofer, R. and Syed, Q., 2016. Optimization of process parameters for xylanase production by *Bacillus* sp. in submerged fermentation. *Journal of Radiation Research and Applied Sciences*, 9 (2), 139-147.
- Jampaphaeng, K., Cocolin, L. and Maneerat, S., 2017. Selection and evaluation of functional characteristics of autochthonous lactic acid bacteria isolated from traditional fermented stinky bean (Sataw-Dong). *Annals of Microbiology*, 67 (1), 25-36.
- Jung, K.H. and Pack, M.Y., 1993. Expression of a *Clostridium thermocellum* Xylanase Gene in *B. subtilis*. *Biotechnology Letters*, 15 (2), 115-120.
- Kamble, R.D., Jadhav, A.R., Isolation, purification, and characterization of xylanase produced by a new species of *Bacillus* solid state fermentation. *International Journal of Microbiology*, Article ID 683193, 8 pages. 2012.
- Kapilan, R., 2016. Characterisation of purified protease from *B. subtilis* BS166. *Journal of the National Science Foundation of Sri Lanka*, 44 (3), 243-248.
- Kaynar, P. and Beyatli, Y., 2008. Protein Profiles and Biochemical Characterizations of *Bacillus* sp. Strains Isolated from Fishes. *Fresenius Environmental Bulletin*, 17 (9a), 1316-1321.
- Kennedy, J.F. and Rehm, H.-J., 1987. *Enzyme technology*, 7. John Wiley & Sons.
- Khandeparkar, R.D.S. and Bhosle, N.B., 2006. Isolation, purification and characterization of the xylanase produced by *Arthrobacter* sp MTCC 5214 when grown in solid-state fermentation. *Enzyme and Microbial Technology*, 39 (4), 732-742.
- Khasin, A., Alchanati, I. and Shoham, Y., 1993. Purification and Characterization of a Thermostable Xylanase from *Bacillus stearothermophilus* T-6. *Applied and Environmental Microbiology*, 59 (6), 1725-1730.
- Kim, S.K., Chung, D., Himmel, M.E., Bomble, Y.J. and Westpheling, J., 2016. Heterologous expression of family 10 xylanases from *Acidothermus cellulolyticus* enhances the exoproteome of *Caldicellulosiruptor bescii* and growth on xylan substrates. *Biotechnology for Biofuels*, 9.
- Konsula, Z. and Liakopoulou-Kyriakides, A., 2004. Hydrolysis of starches by the action of an alpha-amylase from *B. subtilis*. *Process Biochemistry*, 39 (11), 1745-1749.
- Kulkarni, N., Shendye, A. and Rao, M., 1999. Molecular and biotechnological aspects of xylanases. *FEMS microbiology reviews*, 23 (4), 411-456.

- Kumar, B.K., Balakrishnan, H. and Rele, M.V., 2004. Compatibility of alkaline xylanases from an alkaliphilic *Bacillus* NCL(87-6-10) with commercial detergents and proteases. *Journal of Industrial Microbiology & Biotechnology*, 31 (2), 83-87.
- Lama, L., Calandrelli, V., Gambacorta, A. and Nicolaus, B., 2004. Purification and characterization of thermostable xylanase and beta-xylosidase by the thermophilic bacterium *Bacillus thermantarcticus*. *Research in Microbiology*, 155 (4), 283-289.
- Lee, K.C., Arai, T., Ibrahim, D., Prawitwong, P., Lan, D., Murata, Y., Mori, Y. and Kosugi, A., 2015. Purification and Characterization of a Xylanase from the Newly Isolated *Penicillium rolsii* c3-2(1) IBRL. *BioResources*, 10 (1), 1627-1643.
- Lin, S., Schraft, H., Odumeru, J.A. and Griffiths, M.W., 1998. Identification of contamination sources of *Bacillus cereus* in pasteurized milk. *International Journal of Food Microbiology*, 43 (3), 159-171.
- Menon, G., Mody, K., Keshri, J. and Jha, B., 2010. Isolation, Purification, and Characterization of Haloalkaline Xylanase from a Marine *Bacillus pumilus* Strain, GESF-1. *Biotechnology and Bioprocess Engineering*, 15 (6), 998-1005.
- Negri, A., Daniele, L., Aravena, D., Muñoz, M., Delgado, A. and Morata, D., 2018. Decoding fjord water contribution and geochemical processes in the Aysen thermal springs (Southern Patagonia, Chile). *Journal of Geochemical Exploration*, 185, 1-13.
- Niehaus, F., Bertoldo, C., Kahler, M. and Antranikian, G., 1999. Extremophiles as a source of novel enzymes for industrial application. *Applied microbiology and biotechnology*, 51 (6), 711-729.
- Outtrup, H. and Jorgensen, S.T., 2002. The importance of *Bacillus* species in the production of industrial enzymes. *Applications and systematics of Bacillus and relatives*, 206-218.
- Ozcelik, S., 1995. Genel Mikrobiyoloji, Isparta, 1-33s.
- Ozic, C., 2012 Bazı Orthrias (Çöpçü Balığı) Türlerinin Biyoinformatik ve Deneysel Karakterizasyonu. Anadolu Üniversitesi, Fen Bilimleri Enstitüsü, Biyoloji Anabilim Dalı, Eskişehir
- Paul, J. and Varma, A.K., 1992. Glycoprotein Components of Cellulase and Xylanase Enzymes of a *Bacillus* sp. *Biotechnology Letters*, 14 (3), 207-212.
- Petti CA, Carroll KC. 2011 Procedures for the storage of microorganisms. In: Versalovic J, Carroll KC, Funke G, Jorgensen JH, Landry ML, Warnock DW (eds). *Manual of Clinical Microbiology*. 10th ed., ASM Press, Washington D.C. , p. 124-131
- Pham, P.L., Strehaiano, P. and Taillandier, P., 1998a. Effect of aeration on xylanase production by *Bacillus* sp. I-1018. *Bioprocess Engineering*, 18 (1), 41-43.
- Pham, P.L., Taillandier, P., Delmas, M. and Strehaiano, P., 1998. Optimization of a culture medium for xylanase production by *Bacillus* sp. using statistical experimental designs. *World Journal of Microbiology & Biotechnology*, 14 (2), 185-190.
- Pirinccioglu H. 2010. Dargeçit ve Güçlükonak sıcak su kaynaklarından termofilik bakteri izolasyonu ve tanımlanması. Dicle Üniversitesi Fen Bilimleri Enstitüsü. Yüksek Lisans Tezi
- Poorna, C.A. and Prema, P., 2006. Production and partial characterization of endoxylanase by *Bacillus pumilus* using agro industrial residues. *Biochemical Engineering Journal*, 32 (2), 106-112.
- Ratanakhanokchai, K., Kyu, K.L. and Tanticharoen, M., 1999. Purification and properties of a xylan-binding endoxylanase from alkaliphilic *Bacillus* sp. strain K-1. *Applied and Environmental Microbiology*, 65 (2), 694-697.

- Roy, N., Rowshanul, H.M., Isolation and characterization of xylanase producing strain of *Bacillus cereus* from soil. Iranian Journal of Microbiology, 1(2): 4953. 2009.
- Ryan, S.E., Nolan, K., Thompson, R., Gubitz, G.M., Savage, A.V. and Tuohy, M.G., 2003. Purification and characterization of a new low molecular weight endoxylanase from *Penicillium capsulatum*. Enzyme and Microbial Technology, 33 (6), 775-785.
- Saha, B.C., 2002. Production, purification and properties of xylanase from a newly isolated *Fusarium proliferatum*. Process Biochemistry, 37 (11), 1279-1284.
- Salles, B.C., Cunha, R.B., Fontes, W., Sousa, M.V. and Filho, E.X.F., 2000. Purification and characterization of a new xylanase from *Acrophialophora nainiana*. Journal of Biotechnology, 81 (2-3), 199-204.
- Sanghvi, G., Jivrajani, M., Patel, N., Jivrajani, H., Bhaskara, G.B., Patel, S., Purification and characterization of haloalkaline, organic solvent stable xylanase from newly isolated halophilic bacterium-OKH. International Scholarly Research Notices, Article ID: 198251, 10 pages. 2014.
- Sapre, M.P., Jha, H. and Patil, M.B., 2005. Purification and characterization of a thermoalkalophilic xylanase from *Bacillus* sp. World Journal of Microbiology & Biotechnology, 21 (5), 649-654.
- Sargin, S., Öngen G.(2003). Kanatlı Yemi Katkısı Olarak Kullanılan Ksilanaz Enziminin Katı Kültür Fermantasyon Yöntemi ile Üretiminde Ölçek Büyütme Çalışmalar. Ege Üniv. Ziraat Fak. Dergisi. 40 :3, 145-152.
- Sarıkaya, E., 1995. α -amilase üreten bazı *Bacillus* suşlarının gelişme parametreleri, enzim özellik ve üretim koşullarının optimizasyonu. Ankara Üniversitesi Fen Bilimleri Enstitüsü Doktora Tezi.
- Say, R., Unluer, O.B., Ersoz, A., Ozic, C. and Kilic, V., 2015. Reusable Nanocopy Machine Particles for the Replication of DNA. Biotechnology Progress, 31 (1), 119-123.
- Sharma, M., Mehta, S., Kumar, A., Purification and characterization of alkaline xylanase secreted from *Paenibacillus macquariensis*. Advances In Microbiology, 3: 32-41. 2013.
- Silo-Suh, L.A., Stabb, E.V., Raffel, S.J. and Handelsman, J., 1998. Target range of Zwittermicin A, an aminopolyol antibiotic from *Bacillus cereus*. Current Microbiology, 37 (1), 6-11.
- St John, Franz J., et al. "Crystallization and crystallographic analysis of *Bacillus subtilis* xylanase C." Acta Crystallographica Section F: Structural Biology and Crystallization Communications 65.5 (2009): 499-503.
- Steinert, R., Bettermann, H. and Kleinermanns, K., 1997. Identification of xylene isomers in high-pressure liquid chromatography eluates by Raman spectroscopy. Applied Spectroscopy, 51 (11), 1644-1647.
- Temizkan, G., ve Arda. N.. 1999. Moleküler Biyolojide Kullanılan Yöntemler. İstanbul Üniversitesi, Biyoicknoloji ve Genetik Mühendisliği Araştırma ve Uygulama Merkezi (BİYOGEN) No; 1,236s.
- Tolan, J.S. and Collins, J., 2004. Use of xylanase in the production of bleached, unrefined pulp at Marathon Pulp Inc. Pulp & Paper-Canada, 105 (7), 44-46.
- Tortoli, E., 2003. Impact of genotypic studies on mycobacterial taxonomy: the new mycobacteria of the 1990s. Clinical Microbiology Reviews, 16 (2), 319-+.
- Turker C. 2014 α -amilaz enzimlerini üreten termofilik *Bacillus* suşlarının izolasyonu ve enzimlerin kısmi karakterizasyonu Fen Bilimleri Enstitüsü Osmaniye Korkut Ata Üniversitesi 2014 Osmaniye

- Turnbell, P. C. B. and Kramer. J. M., 1991, *Bacillus*: Manual of clinical Microbiology, Fifth Edition, Balows, A., Hauster, J. R., Herman, K. L., Isenberg, H. D. and Shadomy, H. J., American Society of Microbiology, Washington D. C., 296-303.
- Uchino, F. and Nakane, T., 1981. A Thermostable Xylanase from a Thermophilic Acidophilic *Bacillus* sp. *Agricultural and Biological Chemistry*, 45 (5), 1121-1127.
- Uchino, F. and Nakane, T., 1981. A Thermostable Xylanase from a Thermophilic Acidophilic *Bacillus* sp. *Agricultural and Biological Chemistry*, 45 (5), 1121-1127.
- Voget, S., Steele, H.L. and Streit, W.R., 2006. Characterization of a metagenome-derived halotolerant cellulase. *Journal of Biotechnology*, 126 (1), 26-36.
- Waino, M. and Ingvorsen, K., 2003. Production of beta-xylanase and beta-xylosidase by the extremely halophilic archaeon *Halorhabdus utahensis*. *Extremophiles*, 7 (2), 87-93.
- Walia, A., Guleria, S., Mehta, P., Chauhan, A. and Parkash, J., 2017. Microbial xylanases and their industrial application in pulp and paper biobleaching: a review. *3 Biotech*, 7.
- Wejse, P.L., Ingvorsen, K. and Mortensen, K.K., 2003. Xylanase production by a novel halophilic bacterium increased 20-fold by response surface methodology. *Enzyme and Microbial Technology*, 32 (6), 721-727.
- Wiseman, A. and Dalton, H., 1987. Enzymes Versus Enzyme-Mimetic Systems for Biotechnological Applications. *Trends in Biotechnology*, 5 (9), 241-244.
- Wiseman, A., 1983. *Industrial Enzymology - the Application of Enzymes in Industry - Godfrey, T, Reichelt, J. Chemistry in Britain*, 19 (5), 423-424.
- Woese, C.R., 1987. Bacterial Evolution. *Microbiological Reviews*, 51 (2), 221-271.
- Wolf, M., Geczi, A., Simon, O. and Borriess, R., 1995. Genes Encoding Xylan and Beta-Glucan Hydrolyzing Enzymes in *B. subtilis* - Characterization, Mapping and Construction of Strains Deficient in Lichenase, Cellulase and Xylanase. *Microbiology-Uk*, 141, 281-290.
- Wong, K.K.Y., Tan, L.U.L. and Saddler, J.N., 1988. Multiplicity of Beta-1,4-Xylanase in Microorganisms - Functions and Applications. *Microbiological Reviews*, 52 (3), 305-317.
- Wulf C., 1989, Anneliese Crueger. *A Textbook of Industrial Microbiology.*, second edition. Biotechnology, Sinauer press.
- Yang, R.C.A., Mackenzie, C.R., Bilous, D., Seligy, V.L. and Narang, S.A., 1988. Molecular-Cloning and Expression of a Xylanase Gene from *Bacillus polymyxa* in *Escherichia coli*. *Applied and Environmental Microbiology*, 54 (4), 1023-1029.
- Yang, V.W., Zhuang, Z., Elegir, G. and Jeffries, T.W., 1995. Alkaline-active xylanase produced by an alkaliphilic *Bacillus* sp. isolated from kraft pulp. *Journal of Industrial Microbiology*, 15 (5), 434-441.
- Yasinok, A.E., Biran, S., Kocabas, A. and Bakir, U., 2010. Xylanase from a soil isolate, *Bacillus pumilus*: gene isolation, enzyme production, purification, characterization and one-step separation by aqueous-two-phase system. *World Journal of Microbiology & Biotechnology*, 26 (9), 1641-1652.
- Zafar, A., Aftab, M.N., Din, Z.U., Aftab, S., Iqbal, I., Shahid, A., Tahir, A. and ul Haq, I., 2016. Cloning, Expression, and Purification of Xylanase Gene from *Bacillus licheniformis* for Use in Saccharification of Plant Biomass. *Applied Biochemistry and Biotechnology*, 178 (2), 294-311.
- Zeikus, J.G., 1979. Thermophilic Bacteria - Ecology, Physiology and Technology. *Enzyme and Microbial Technology*, 1 (4), 243-252.

- Zhan, Y.H., Sun, R.J., Sun, X.Y., Xu, Y., Hou, C.X., Huang, Y.Y., Jiang, D. and Weng, X.Y., 2017. Expression regulation of a xylanase inhibitor gene riceXIP in rice (*Oryza sativa L.*). Brazilian Journal of Botany, 40 (4), 983-991.
- Zheng, W., 2017. Enhancement of Heterogeneous Alkaline Xylanase Production in *Pichia pastoris* GS115. Green Energy and Sustainable Development I, 1864.
<http://www.rcsb.org/pdb/explore.do?structureId=4XV0> (Eriřim Tarihi 03.01.2018 Saat: 17:05)



EKLER

EK 1. BLAST analiz sonucunda elde edilen türün *B. subtilis* türlerine yakınlıklarının gösterilmesi

BLAST Results

[Edit and Resubmit](#) [Save Search Strategies](#) [Formatting options](#) [Download](#) [YouTube](#) [How to read this page](#) [Blast report des](#)

Job title: Nucleotide Sequence (1384 letters)

RID [8MXP1RBC015](#) (Expires on 02-20 14:03 pm)

Query ID [Id|Query_215901](#) Database Name [nr](#)
Description [None](#) Description [Nucleotide collection \(nt\)](#)
Molecule type [nucleic acid](#) Program [BLASTN 2.8.0+](#) [Citation](#)
Query Length [1384](#)

Other reports: [Search Summary](#) [Taxonomy reports](#) [Distance tree of results](#) [MSA viewer](#)

[Graphic Summary](#)
[Descriptions](#)

Sequences producing significant alignments:
Select: [All](#) [None](#) Selected: 0

[Alignments](#) [Download](#) [GenBank](#) [Graphics](#) [Distance tree of results](#)

Description	Max score	Total score	Query cover	E value	Ident	Accession
<input type="checkbox"/> Bacillus subtilis strain GOM7 16S ribosomal RNA gene, partial sequence	2427	2427	100%	0.0	99%	MG725751.1
<input type="checkbox"/> Bacillus siamensis strain LCX6 16S ribosomal RNA gene, partial sequence	2174	2174	100%	0.0	95%	KY646078.1
<input type="checkbox"/> Bacillus sp. KXJ22 16S ribosomal RNA gene, partial sequence	2174	2174	100%	0.0	95%	KT201618.1
<input type="checkbox"/> Uncultured Bacillus sp. clone Jerish04 16S ribosomal RNA gene, partial sequence	2174	2174	100%	0.0	95%	KC597267.1
<input type="checkbox"/> Bacillus sp. M1(2010) strain M1 16S ribosomal RNA gene, partial sequence	2174	2174	100%	0.0	95%	GQ340518.1
<input type="checkbox"/> Bacillus sp. CIFE_HT35 16S ribosomal RNA gene, partial sequence	2172	2172	99%	0.0	95%	KM016989.1
<input type="checkbox"/> Bacillus sp. KID2 16S ribosomal RNA gene, partial sequence	2170	2170	100%	0.0	95%	KM497526.1
<input type="checkbox"/> Bacillus subtilis QB928, complete genome	2170	21609	100%	0.0	95%	CP003783.1
<input type="checkbox"/> Bacillus tequilensis strain SH10 16S ribosomal RNA gene, partial sequence	2170	2170	100%	0.0	95%	JN700071.1

EK 2. BLAST analizi sonucu *B. subtilis* 16S rRNA geninin benzerlik gösterdiği *B. subtilis* dizisi

Bacillus subtilis strain GOM7 16S ribosomal RNA gene, partial sequence

GenBank: MG725751.1

[FASTA](#) [Graphics](#)

Go to:

LOCUS MG725751 1492 bp DNA linear BCT 31-DEC-2017

DEFINITION Bacillus subtilis strain GOM7 16S ribosomal RNA gene, partial sequence.

ACCESSION MG725751

VERSION MG725751.1

KEYWORDS .

SOURCE Bacillus subtilis

ORGANISM [Bacillus subtilis](#)
Bacteria; Firmicutes; Bacilli; Bacillales; Bacillaceae; Bacillus.

REFERENCE 1 (bases 1 to 1492)
AUTHORS Kongarasi,K., Karthik Sundaram,S., Sankar,R. and Muneeswaran,T.
TITLE Bacillus subtilis strain GOM7 16S ribosomal RNA gene, partial sequence
JOURNAL Unpublished

REFERENCE 2 (bases 1 to 1492)
AUTHORS Kongarasi,K., Karthik Sundaram,S., Sankar,R. and Muneeswaran,T.
TITLE Direct Submission
JOURNAL Submitted (26-DEC-2017) MICROBIOLOGY, PSG CAS, CIVIL AERODROME POST, COIMBATORE, International 641014, India

COMMENT ##Assembly-Data-START##
Sequencing Technology :: Sanger dideoxy sequencing
##Assembly-Data-END##

FEATURES

source Location/Qualifiers
1..1492
/organism="Bacillus subtilis"
/mol_type="genomic DNA"
/strain="GOM7"
/isolation_source="marine sediment"
/db_xref="taxon:1423"
/country="India: Gulf of Mannar"
/collection_date="12-Feb-2016"
/collected_by="Kongarasi K"
/identified_by="Kongarasi K"
/PCR_primers="fwd_name: 8F, fwd_seq: agagtttgatcctggctcag, rev_name: 1541R, rev_seq: aaggaggatgatccagccgca"
rRNA <1..>1492
/product="16S ribosomal RNA"

ORIGIN

```

1 tggagtgagg ggctgctata catgcagtcg agcggacaga tgggagcttg ctccctgatg
61 ttagcggcgg acgggtgagt aacacgtggg taacctgcct gtaagactgg gataactcgg
121 ggaaaccggg gctaataacc gatggttgtt tgaaccgcat ggttcaaa caaaaagggtgg
181 ctctgggtac cacttacaga tggaccgcg gcgcattagc tagttggtga ggtaaccgct
241 caccaaggca acgatgcgta gccgacctga gagggatgat ggccacactg ggactgagac
301 acggcccaga ctctacggg aggcagcagt agggaaatctt ccgcaatgga cgaaagtctg
361 acggagcaac gcccgctgag tgatgaaggt tttcggatcg taaagctctg ttgttaggga
421 agaacaagta ccgttcgaat agggcggtac cttgacggta cctaaccaga aagccacggc
481 taactacgtg ccagcagccg cggtataacg taggtggcaa gcgttgctcc gaattattgg
541 gcgtaaaagg ctgcagggc gtttcttaag tctgatgtga aagccccggg ctcaaccggg
601 gagggtcatt ggaaactggg gaacttgagt gcagaagagg agagtggaat tccactgtga

```

Ek 3. BLAST analizi sonucu *B. subtilis* olduğunu düşündüğümüz türün dizisi ile benzerlik gösterdiği *B. subtilis* dizinin hizalanması

Bacillus subtilis strain GOM7 16S ribosomal RNA gene, partial sequence					
Sequence ID: MG725751.1 Length: 1492 Number of Matches: 1					
Range 1: 22 to 1385 GenBank Graphics ▼ Next Match ▲ Previous Match					
Score	Expect	Identities	Gaps	Strand	
2519 bits(1364)	0.0	1364/1364(100%)	0/1364(0%)	Plus/Plus	
Query 1	ATGCAAGTCGAGCGGACAGATGGGAGCTTGC	TCCCTGATGTTAGCGGCGGACGGGTGAGTA		68	
Sbjct 22	ATGCAAGTCGAGCGGACAGATGGGAGCTTGC	TCCCTGATGTTAGCGGCGGACGGGTGAGTA		81	
Query 61	ACACGTTGGTAACCTGCCCTGTAAGACTGGGATAAC	TCCGGGAAACCGGGGCTAATACCGG		128	
Sbjct 82	ACACGTTGGTAACCTGCCCTGTAAGACTGGGATAAC	TCCGGGAAACCGGGGCTAATACCGG		141	
Query 121	ATGGTTGTTTGAACCCGCAATGGTTCAAACATAAAAGGTGGCTTCGGCTACCCAC	TACAGAT		180	
Sbjct 142	ATGGTTGTTTGAACCCGCAATGGTTCAAACATAAAAGGTGGCTTCGGCTACCCAC	TACAGAT		201	
Query 181	GGACCCGCGGCGCATTAGCTAGTTGGTGGGTAACGGCTCACCAAGGCAACGATGCGTAG		240		
Sbjct 202	GGACCCGCGGCGCATTAGCTAGTTGGTGGGTAACGGCTCACCAAGGCAACGATGCGTAG		261		
Query 241	CCGACCTGAGAGGGTGAATCGCCACACTGGGACTGAGACACGGCCACAGACTCCTACGGGA		300		
Sbjct 262	CCGACCTGAGAGGGTGAATCGCCACACTGGGACTGAGACACGGCCACAGACTCCTACGGGA		321		
Query 301	GGCAGCAGTAGGGAACTTCCGCAATGGACGAAAGTCTGACGGAGCAACGCCGCGTGAGT		360		
Sbjct 322	GGCAGCAGTAGGGAACTTCCGCAATGGACGAAAGTCTGACGGAGCAACGCCGCGTGAGT		381		
Query 361	GATGAAGGTTTTCGGATCGTAAAGCTCTGTGTAGGGAAAGAACAAGTACCGTT	CGAATA	420		
Sbjct 382	GATGAAGGTTTTCGGATCGTAAAGCTCTGTGTAGGGAAAGAACAAGTACCGTT	CGAATA	441		
Query 421	GGGCGGTACCTTACCGGTACCTAACAGAAAGCCACGGCTAACACGTCGCCAGCAGCCGC		488		
Sbjct 442	GGGCGGTACCTTACCGGTACCTAACAGAAAGCCACGGCTAACACGTCGCCAGCAGCCGC		501		
Query 481	GGTAATACGTAGGTGGCAAGCGTTGTCGGSAATATTGGGCGTAAAGGGCTCGCAGGCGG		540		
Sbjct 502	GGTAATACGTAGGTGGCAAGCGTTGTCGGSAATATTGGGCGTAAAGGGCTCGCAGGCGG		561		
Query 541	TTTTCTAAGTCTGATGTGAAAGCCCCCGGCTCAACCGGGGAGGGTCATTGGAAACTGGGG		600		
Sbjct 562	TTTTCTAAGTCTGATGTGAAAGCCCCCGGCTCAACCGGGGAGGGTCATTGGAAACTGGGG		621		
Query 601	AACCTTGAAGTGCAGAAGAGGAGAGTGGAAATCCACGTTGAGCGGTGAAATGCGTAGAGATG		660		
Sbjct 622	AACCTTGAAGTGCAGAAGAGGAGAGTGGAAATCCACGTTGAGCGGTGAAATGCGTAGAGATG		681		
Query 661	TGGAGAACACCACTGGCGAAGGCGACTCTCTGGTCTGTAACGACGCTGAGGAGCGGAAA		720		
Sbjct 682	TGGAGAACACCACTGGCGAAGGCGACTCTCTGGTCTGTAACGACGCTGAGGAGCGGAAA		741		
Query 721	GCCTGGGAGCGAACAGGATAGATACCCTGGTAGTCCACGCCGTAACGATGAGTGCTA		780		
Sbjct 742	GCCTGGGAGCGAACAGGATAGATACCCTGGTAGTCCACGCCGTAACGATGAGTGCTA		801		
Query 781	AGTGTAGGGGGTTTTCCGCCCTTAGTGCTGCAGCTAACGCAATTAAGCACTCCGCCCTGGG		840		
Sbjct 802	AGTGTAGGGGGTTTTCCGCCCTTAGTGCTGCAGCTAACGCAATTAAGCACTCCGCCCTGGG		861		
Query 841	GAGTACGGTGCAGACTGAAACTCAAAGGAAATGACGGGGGGCCGCACAAGCGGTGGAG		900		
Sbjct 862	GAGTACGGTGCAGACTGAAACTCAAAGGAAATGACGGGGGGCCGCACAAGCGGTGGAG		921		
Query 901	CATGTGGTTAAATCGAAGCAACGCGAAGAACCTTACCAGGCTTACATCCTCTGACAA		960		
Sbjct 922	CATGTGGTTAAATCGAAGCAACGCGAAGAACCTTACCAGGCTTACATCCTCTGACAA		981		
Query 961	TCCTAGAGATAGGACGTCCTTCCGGGGCAGAGTGACAGGTGGTGCATGGTTGTCGTCA		1020		
Sbjct 982	TCCTAGAGATAGGACGTCCTTCCGGGGCAGAGTGACAGGTGGTGCATGGTTGTCGTCA		1041		
Query 1021	GCCTCGTCTCCTGAGATGTTGGGGTAAGTCCCCCAACGAGCGCAACCTTGAATCTATTG		1080		
Sbjct 1042	GCCTCGTCTCCTGAGATGTTGGGGTAAGTCCCCCAACGAGCGCAACCTTGAATCTATTG		1101		
Query 1081	CCACCATTCAGTTGGGCACTCTAAGGGGACTGCCGGTGACAAACCGGAGGAAAGGGGGGGGA		1140		
Sbjct 1102	CCACCATTCAGTTGGGCACTCTAAGGGGACTGCCGGTGACAAACCGGAGGAAAGGGGGGGGA		1161		
Query 1141	GGAAAGCCAAAAAATCCAGGCGCCCTATGAACAGGGGGGACACACTGGTTTAAATGGAGA		1200		
Sbjct 1162	GGAAAGCCAAAAAATCCAGGCGCCCTATGAACAGGGGGGACACACTGGTTTAAATGGAGA		1221		
Query 1201	GAAAAAAAAAGGGGGCGGAAACCCGCGGGGTTAGCCAAACCCACCAAAAAATGTTCTCATTTTC		1260		
Sbjct 1222	GAAAAAAAAAGGGGGCGGAAACCCGCGGGGTTAGCCAAACCCACCAAAAAATGTTCTCATTTTC		1281		
Query 1261	GAGCGCAGTCTGCAACTCGACTGCGTGAAGCTGGAATCGCTAGTAATCGCGGATCAGCAT		1320		
Sbjct 1282	GAGCGCAGTCTGCAACTCGACTGCGTGAAGCTGGAATCGCTAGTAATCGCGGATCAGCAT		1341		
Query 1321	GCCGCGGTGAATACGTTCCCGGCGCTTGTACACACCGCCCGTCA	1364			
Sbjct 1342	GCCGCGGTGAATACGTTCCCGGCGCTTGTACACACCGCCCGTCA	1385			

EK 4. BLAST analiz sonucunda elde edilen türün *B. licheniformis* türlerine yakınlıklarının gösterilmesi

BLAST Results

[Edit and Resubmit](#) [Save Search Strategies](#) [Formatting options](#) [Download](#) [YouTube](#) [How to read this page](#) [Blast report desc](#)

Job title: Nucleotide Sequence (1410 letters)

RID 8MY5ZWAR014 (Expires on 02-20 14:11 pm)

Query ID lcl|Query_163841 Database Name nr
 Description None Description Nucleotide collection (nt)
 Molecule type nucleic acid Program BLASTN 2.8.0+ [Citation](#)
 Query Length 1410

Other reports: [Search Summary](#) [Taxonomy reports](#) [Distance tree of results](#) [MSA viewer](#)

[Graphic Summary](#)
[Descriptions](#)

Sequences producing significant alignments:

Select: [All](#) [None](#) Selected: 0

[Alignments](#) [Download](#) [GenBank](#) [Graphics](#) [Distance tree of results](#)

Description	Max score	Total score	Query cover	E value	Ident	Accession
<input type="checkbox"/> Bacillus licheniformis strain GINM-3 16S ribosomal RNA gene, partial sequence	2410	2410	99%	0.0	98%	KY492396.1
<input type="checkbox"/> Bacillus licheniformis gene for 16S ribosomal RNA, partial sequence, strain ND4	2410	2410	99%	0.0	98%	AB862128.1
<input type="checkbox"/> Bacillus licheniformis partial 16S rRNA gene, strain ND4	2410	2410	99%	0.0	98%	HG796156.1
<input type="checkbox"/> Bacillus licheniformis strain PG5 16S ribosomal RNA gene, partial sequence	2244	2244	96%	0.0	97%	HQ143565.1
<input type="checkbox"/> Bacillus licheniformis strain GA1-17 16S ribosomal RNA gene, partial sequence	2244	2244	96%	0.0	97%	AY162134.1
<input type="checkbox"/> Bacillus paralicheniformis strain SBP11 16S ribosomal RNA gene, partial sequence	2242	2242	96%	0.0	97%	KY630568.1
<input type="checkbox"/> Bacillus paralicheniformis strain SBP15 16S ribosomal RNA gene, partial sequence	2241	2241	95%	0.0	97%	KY630572.1
<input type="checkbox"/> Bacillus sp. Bac167R 16S ribosomal RNA gene, partial sequence	2241	2241	96%	0.0	97%	KP795830.1
<input type="checkbox"/> Bacillus licheniformis strain BCL-8 16S ribosomal RNA gene, partial sequence	2241	2241	96%	0.0	97%	KM378584.1
<input type="checkbox"/> Bacillus licheniformis strain SB-21 16S ribosomal RNA gene, partial sequence	2239	2239	96%	0.0	97%	MF321846.1
<input type="checkbox"/> Bacillus licheniformis strain KJZSK 16S ribosomal RNA gene, partial sequence	2239	2239	96%	0.0	97%	MF470181.1
<input type="checkbox"/> Bacillus licheniformis strain BJ_TC130 16S ribosomal RNA gene, partial sequence	2239	2239	96%	0.0	97%	KY575581.1
<input type="checkbox"/> Bacillus licheniformis strain SRV-D 16S ribosomal RNA gene, partial sequence	2239	2239	96%	0.0	97%	KY106410.1

EK 5. BLAST analizi sonucu *B. licheniformis* 16s rRNA geninin benzerlik gösterdiği *B. licheniformis* 16s rRNA dizisi

GenBank Send to: ▾

Bacillus licheniformis strain GINM-3 16S ribosomal RNA gene, partial sequence

GenBank: KY492396.1
[FASTA](#) [Graphics](#)

[Go to:](#) ▾

LOCUS KY492396 1466 bp DNA linear BCT 02-APR-2017
DEFINITION *Bacillus licheniformis* strain GINM-3 16S ribosomal RNA gene, partial sequence.
ACCESSION KY492396
VERSION KY492396.1
KEYWORDS .
SOURCE *Bacillus licheniformis*
ORGANISM *Bacillus licheniformis*
Bacteria; Firmicutes; Bacilli; Bacillales; Bacillaceae; Bacillus.
REFERENCE 1 (bases 1 to 1466)
AUTHORS Parihar,S. and Joshi,H.
TITLE Glucose isomerase producing bacteria
JOURNAL Unpublished
REFERENCE 2 (bases 1 to 1466)
AUTHORS Parihar,S. and Joshi,H.
TITLE Direct Submission
JOURNAL Submitted (20-JAN-2017) Biotechnology, Mohanlal Sukhadia University, Vigyan Bhawan B Block MLSU, Udaipur, Rajasthan 313001, India
COMMENT ##Assembly-Data-START##
Sequencing Technology :: Sanger dideoxy sequencing
##Assembly-Data-END##
FEATURES
source Location/Qualifiers
1..1466
/organism="Bacillus licheniformis"
/mol_type="genomic DNA"
/strain="GINM-3"
/isolation_source="soil sample"
/db_xref="taxon:1402"
/country="India"
/collected_by="Sanjay Parihar"

Analyze this sequence Change region shown ▾
Run BLAST
Pick Primers
Highlight Sequence Features
Find in this Sequence

Related information Turn Off Clear
Taxonomy

Recent activity
Bacillus licheniformis strain GINM-3 16S ribosomal RNA gene, partial sequen Nucleotide
Bacillus subtilis strain NG 05 16S ribosomal RNA gene, partial sequence Nucleotide
Cloning, purification, and characterization of β-galactosidase from Bacillus lic... PubMed
Cloning, sequencing and expression of the xylanase gene from a Bacillus subtilis PubMed
Genetics - Medical Microbiology

[See more...](#)

EK 6. BLAST analizi sonucu *B. licheniformis* olduğunu düşündüğümüz türün dizisi ile benzerlik gösterdiği *B. licheniformis* dizinin hizalanması

Bacillus licheniformis strain GINM-3 16S ribosomal RNA gene, partial sequence
Sequence ID: [KY492396.1](#) Length: 1466 Number of Matches: 1

Range 1: 141 to 1004 [GenBank](#) [Graphics](#) ▼ Next Match ▲ Previous Match

Score	Expect	Identities	Gaps	Strand
1596 bits(864)	0.0	864/864(100%)	0/864(0%)	Plus/Plus
Query 1	ATGCTTGATTGAACCGCATGGTTCAATTATAAAAAGGTGGCTTTTAGCTACCACTTACAGA	60		
Sbjct 141	ATGCTTGATTGAACCGCATGGTTCAATTATAAAAAGGTGGCTTTTAGCTACCACTTACAGA	200		
Query 61	TGGACCCGCGGCGCATTAGCTAGTTGGTGAGGTAAACGGCTCACCAAGGCAACGATGCGTA	120		
Sbjct 201	TGGACCCGCGGCGCATTAGCTAGTTGGTGAGGTAAACGGCTCACCAAGGCAACGATGCGTA	260		
Query 121	GCCGACCTGAGAGGGTGATCGGCCACACTGGGACTGAGACACGGCCCAAACCTCTACGGG	180		
Sbjct 261	GCCGACCTGAGAGGGTGATCGGCCACACTGGGACTGAGACACGGCCCAAACCTCTACGGG	320		
Query 181	AGGCAGCAGTAGGGAATCTTCCGCAATGGACGAAAGTCTGACGGAGCAACGCCGCGTGAG	240		
Sbjct 321	AGGCAGCAGTAGGGAATCTTCCGCAATGGACGAAAGTCTGACGGAGCAACGCCGCGTGAG	380		
Query 241	TGATGAAGGTTTTCGGATCGTAAACTCTGTTGTTAGGGAAGAACAAGTACC GTTTCGAAT	300		
Sbjct 381	TGATGAAGGTTTTCGGATCGTAAACTCTGTTGTTAGGGAAGAACAAGTACC GTTTCGAAT	440		
Query 301	AGGGCGGTACCTTGACGGTACCTAACCCAGAAAGCCACGGCTAACTACGTGCCAGCAGCCG	360		
Sbjct 441	AGGGCGGTACCTTGACGGTACCTAACCCAGAAAGCCACGGCTAACTACGTGCCAGCAGCCG	500		
Query 361	CGGTAATACGTAGGTGGCAAGCGTGTCCGGAAATTATGGGCGTAAAGCGCGCGCAGGCG	420		
Sbjct 501	CGGTAATACGTAGGTGGCAAGCGTGTCCGGAAATTATGGGCGTAAAGCGCGCGCAGGCG	560		
Query 421	GTTTCTTAAGTCTGATGTGAAAGCCCGGGCTCAACCGGGGAGGGTCATTGGGAAACTG	480		
Sbjct 561	GTTTCTTAAGTCTGATGTGAAAGCCCGGGCTCAACCGGGGAGGGTCATTGGGAAACTG	620		
Query 481	GGGAACTTGAGTGAGAGAGGGGAGTCGCATTCCACGTGTACCGGTGAAATGCGTAGA	540		
Sbjct 621	GGGAACTTGAGTGAGAGAGGGGAGTCGCATTCCACGTGTACCGGTGAAATGCGTAGA	680		
Query 541	GATGTGGAGGAACACCAGTGGCGAAGGGCGACTCTCTGGTCTGTAACGACGCTGAGGCG	600		
Sbjct 681	GATGTGGAGGAACACCAGTGGCGAAGGGCGACTCTCTGGTCTGTAACGACGCTGAGGCG	740		
Query 601	CGAAAGCGTGGGGAGCGAACAGGATTAGATACCCTGGTAGTCCACGCGTAAACGATGAG	660		
Sbjct 741	CGAAAGCGTGGGGAGCGAACAGGATTAGATACCCTGGTAGTCCACGCGTAAACGATGAG	800		
Query 661	TGCTAAGTGTAGAGGGTTTCCGCCCTTATGCTGCTGCAGCAAACGCATTAAGCACTCCGC	720		
Sbjct 801	TGCTAAGTGTAGAGGGTTTCCGCCCTTATGCTGCTGCAGCAAACGCATTAAGCACTCCGC	860		
Query 721	CTGGGGAGTACGGTCGCAAGACTGAAACTCAAAGGAATTGACGGGGGCCCCGACAAGCGG	780		
Sbjct 861	CTGGGGAGTACGGTCGCAAGACTGAAACTCAAAGGAATTGACGGGGGCCCCGACAAGCGG	920		
Query 781	TGGAGCATGTGGTTTAATTGGAAGCAACGCGAAGAACCTTACCAGGTCTTGACATCCTCT	840		
Sbjct 921	TGGAGCATGTGGTTTAATTGGAAGCAACGCGAAGAACCTTACCAGGTCTTGACATCCTCT	980		

EK 7. BLAST analiz sonucunda elde edilen türün *B. thuringiensis* türlerine yakınlıklarının gösterilmesi

BLAST Results

Erzurum Teknik Üniversitesi
www.ertu.edu.tr/Menu/32/ten-bilimler/te

[Edit and Resubmit](#) [Save Search Strategies](#) [Formatting options](#) [Download](#) [Blast report des](#)

Job title: Nucleotide Sequence (1341 letters)

RID: 475BRZCR014 (Expires on 01-06 22:10 pm)

Query ID: |d|Query_147843
 Description: None
 Molecule type: nucleic acid
 Query Length: 1341

Database Name: nr
 Description: Nucleotide collection (nr)
 Program: BLASTN 2.7.1+ [Citation](#)

Other reports: [Search Summary](#) [Taxonomy reports](#) [Distance tree of results](#) [MSA viewer](#)

[Graphic Summary](#)
[Descriptions](#)

Sequences producing significant alignments:

Select: [All](#) [None](#) Selected: 0

[Alignments](#) [Download](#) [GenBank](#) [Graphics](#) [Distance tree of results](#)

Description	Max score	Total score	Query cover	E value	Ident	Accession
Bacillus thuringiensis strain KNUJ-07, complete genome	2477	36901	100%	0.0	100%	CP016588.1
Bacillus wiedmannii strain FSL V18-0169 16S ribosomal RNA, partial sequence	2471	2471	100%	0.0	99%	NR_152682.1
Bacillus cereus strain MLY1 chromosome MLY1.0, complete sequence	2471	39120	100%	0.0	99%	CP024655.1
Bacillus sp. strain C11 16S ribosomal RNA gene, partial sequence	2471	2471	100%	0.0	99%	MG461675.1
Bacillus cereus strain HBL-AI chromosome, complete genome	2471	34511	100%	0.0	99%	CP023245.1
Bacillus thuringiensis strain ATCC 10792, complete genome	2471	34501	100%	0.0	99%	CP020754.1
Bacillus thuringiensis strain UFGS2 16S ribosomal RNA gene, partial sequence	2471	2471	100%	0.0	99%	MF526967.1
Bacillus thuringiensis strain c25, complete genome	2471	34557	100%	0.0	99%	CP022345.1
Bacillus cereus strain FORC_047, complete genome	2471	34584	100%	0.0	99%	CP017080.1
Bacillus cereus strain M13, complete genome	2471	32101	100%	0.0	99%	CP016380.1
Bacillus cereus strain K3, complete sequence	2471	34551	100%	0.0	99%	CP016595.1
Bacillus cereus strain FORC_048, complete genome	2471	34562	100%	0.0	99%	CP017234.1
Bacillus cereus strain D12_2, complete genome	2471	34562	100%	0.0	99%	CP016315.1
Bacillus thuringiensis strain BM-BT15426, complete genome	2471	34472	100%	0.0	99%	CP020723.1
Bacillus thuringiensis strain SCG04-02, complete genome	2471	34492	100%	0.0	99%	CP017577.1

EK 8. BLAST analizi sonucu *B. thuringiensis* 16s rRNA geninin benzerlik gösterdiği *B. thuringiensis* 16s rRNA dizisi

GenBank Send to: ▼

Bacillus thuringiensis strain KNU-07 chromosome, complete genome

GenBank: CP016588.1
[FASTA](#) [Graphics](#)

[Go to:](#)

LOCUS CP016588 5344151 bp DNA circular BCT 22-JUL-2016
DEFINITION Bacillus thuringiensis strain KNU-07, complete genome.
ACCESSION CP016588
VERSION CP016588.1
DBLINK BioProject: [PRJNA330597](#)
BioSample: [SAMN05417762](#)

KEYWORDS .
SOURCE Bacillus thuringiensis
ORGANISM [Bacillus thuringiensis](#)
Bacteria; Firmicutes; Bacilli; Bacillales; Bacillaceae; Bacillus;
Bacillus cereus group.

REFERENCE 1 (bases 1 to 5344151)
AUTHORS Park,G.-S., Hong,S.-J., Jung,B.K. and Shin,J.-H.
TITLE Complete genome sequence of Bacillusthuringiensis KNU-07
JOURNAL Unpublished

REFERENCE 2 (bases 1 to 5344151)
AUTHORS Park,G.-S., Hong,S.-J., Jung,B.K. and Shin,J.-H.
TITLE Direct Submission
JOURNAL Submitted (20-JUL-2016) School of Applied Biosciences, Kyungpook National University, 80 Daehakro, Bukgu, Deagu, 41566, South of Korea

COMMENT Annotation was added by the NCBI Prokaryotic Genome Annotation Pipeline (released 2013). Information about the Pipeline can be found here: https://www.ncbi.nlm.nih.gov/genome/annotation_prok/
Source bacteria available from Shin's Lab, Kyungpook National University. Collection number: KNU-07, Agriculture and Life Sciences building #1, room 203, Kyungpook National University.

##Genome-Assembly-Data-START##
Assembly Method :: PacBio SMRT analysis 2.3 v. HGAP 2
Genome Coverage :: 106x
Sequencing Technology :: PacBio
##Genome-Assembly-Data-END##

##Genome-Annotation-Data-START##
Annotation Provider :: NCBI
Annotation Date :: 07/20/2016 13:57:47
Annotation Pipeline :: NCBI Prokaryotic Genome Annotation Pipeline
Annotation Method :: Best-placed reference protein set; GeneMarks+
Annotation Software revision :: 3.3

EK 9. BLAST analizi sonucu *B. thuringiensis* olduğunu düşündüğümüz türün dizisi ile benzerlik gösterdiği *B. thuringiensis* dizinin hizalanması

Download GenBank Graphics sort by: E value

Bacillus thuringiensis strain KNU-07, complete genome
 Sequence ID: [CP016588.1](#) Length: 5344151 Number of Matches: 15

Range 1: 48173 to 49513 [GenBank](#) [Graphics](#) [Next Match](#) [Previous Match](#)

Score	Expect	Identities	Gaps	Strand
2477 bits(1341)	0.0	1341/1341(100%)	0/1341(0%)	Plus/Plus

Features: [rRNA-16S ribosomal RNA](#)

Query	1	TTCCGATACGGCTACCTTGTACGACTTCACCCCAATCATCTGTCCCACCTTAGGCGGCT	68
Sbjct	48173	TTCCGATACGGCTACCTTGTACGACTTCACCCCAATCATCTGTCCCACCTTAGGCGGCT	48232
Query	61	GGCTCCATAAAGGTACCCACCCGACTTCGGGTGTTACAAACTCTCGTGGTGTGACGGGC	128
Sbjct	48233	GGCTCCATAAAGGTACCCACCCGACTTCGGGTGTTACAAACTCTCGTGGTGTGACGGGC	48292
Query	121	GGTGTGTACAAGGCCCGGAAACGATTCACCGCGGCATGCTGATCCGCGATTACTAGCGA	188
Sbjct	48293	GGTGTGTACAAGGCCCGGAAACGATTCACCGCGGCATGCTGATCCGCGATTACTAGCGA	48352
Query	181	TTCCAGCTTCATGTAGGCGAGTTGCAGCCTACAATCCGAACTGAGAACGGTTTTATGAGA	248
Sbjct	48353	TTCCAGCTTCATGTAGGCGAGTTGCAGCCTACAATCCGAACTGAGAACGGTTTTATGAGA	48412
Query	241	TTAGCTCCACCTCGCGGCTTTCAGCTCTTTGTACCGTCCATTGTAGCACGTTGTAGCC	308
Sbjct	48413	TTAGCTCCACCTCGCGGCTTTCAGCTCTTTGTACCGTCCATTGTAGCACGTTGTAGCC	48472
Query	301	CAGGTCATAAGGGGCATGATGATTTGACGTCATCCCCACCTTCCGCCGTTGTACCAGG	368
Sbjct	48473	CAGGTCATAAGGGGCATGATGATTTGACGTCATCCCCACCTTCCGCCGTTGTACCAGG	48532
Query	361	CAGTCACCTTAGAGTGCCCAACTAATGATGGCAACTAAGATCAAGGGTTGCGCTCGTTG	428
Sbjct	48533	CAGTCACCTTAGAGTGCCCAACTAATGATGGCAACTAAGATCAAGGGTTGCGCTCGTTG	48592
Query	421	CGGGACTTAACCCAACATCTCACGACACGAGCTGACGACAAACCATGCACCACCTGTCACT	488
Sbjct	48593	CGGGACTTAACCCAACATCTCACGACACGAGCTGACGACAAACCATGCACCACCTGTCACT	48652
Query	481	CTGCTCCCGAAGGAGAAGCCCTATCTCTAGGGTTTTAGAGGATGTCAAGACCTGGTAAG	548
Sbjct	48653	CTGCTCCCGAAGGAGAAGCCCTATCTCTAGGGTTTTAGAGGATGTCAAGACCTGGTAAG	48712
Query	541	GTTCTTCGCGTTGCTTCGAATTAACACACATGCTCCACCCTTGTGCGGGCCCCCGTCAA	608
Sbjct	48713	GTTCTTCGCGTTGCTTCGAATTAACACACATGCTCCACCCTTGTGCGGGCCCCCGTCAA	48772
Query	601	TTCCCTTGAGTTTTCAGCCTTTCGCGGCGTACTCCCAGGCGGAGTGCTTAATGCGTTAACT	668
Sbjct	48773	TTCCCTTGAGTTTTCAGCCTTTCGCGGCGTACTCCCAGGCGGAGTGCTTAATGCGTTAACT	48832
Query	661	TCAGCACTAAAGGGCGGAAACCCCTTAACACTTAGCACTCATCGTTTACGGCGTGGACTA	728
Sbjct	48833	TCAGCACTAAAGGGCGGAAACCCCTTAACACTTAGCACTCATCGTTTACGGCGTGGACTA	48892
Query	721	CCAGGGTATCTAATCCTGTTTGTCTCCACGCTTTCGCGCCTCAGTGTGAGTTACAGACC	788
Sbjct	48893	CCAGGGTATCTAATCCTGTTTGTCTCCACGCTTTCGCGCCTCAGTGTGAGTTACAGACC	48952
Query	781	AGAAAGTCGCCCTTCGCCACTGGTGTTCCTCCATATCTCTACGCATTTACCCGCTACACAT	848
Sbjct	48953	AGAAAGTCGCCCTTCGCCACTGGTGTTCCTCCATATCTCTACGCATTTACCCGCTACACAT	49012
Query	841	GGAAATCCACTTTCCCTCTTCTGCACCTCAAGTCTCCAGTTCCTCAATGACCCCTCCACGGTT	908
Sbjct	49013	GGAAATCCACTTTCCCTCTTCTGCACCTCAAGTCTCCAGTTCCTCAATGACCCCTCCACGGTT	49072
Query	901	GAGCCGTGGGCTTTCACATCAGACTTAAGAAACCACTGCGCGCGCTTACGCCCAATAA	968
Sbjct	49073	GAGCCGTGGGCTTTCACATCAGACTTAAGAAACCACTGCGCGCGCTTACGCCCAATAA	49132
Query	961	TTCCGGATAACGCTTGCCACCTACGTAATACCGCGGCTGCTGGCACGTAAGTTAGCCGTGG	1028
Sbjct	49133	TTCCGGATAACGCTTGCCACCTACGTAATACCGCGGCTGCTGGCACGTAAGTTAGCCGTGG	49192
Query	1021	CTTCTGGTTAGGTACCGTCAAGGTGCCAGCTTATCAACTAGCACTTGTTCTTCCCTAA	1088
Sbjct	49193	CTTCTGGTTAGGTACCGTCAAGGTGCCAGCTTATCAACTAGCACTTGTTCTTCCCTAA	49252
Query	1081	CAACAGAGTTTTACGACCCGAAAGCCTTCATCACACGCGGGCTTGTCCGTCAGACTT	1148
Sbjct	49253	CAACAGAGTTTTACGACCCGAAAGCCTTCATCACACGCGGGCTTGTCCGTCAGACTT	49312
Query	1141	TCGTCCATGCGGAAGATTCCCTACTGCTGCCCTCCCGTAGGAGTCTGGGCCGTGTCTCAG	1208
Sbjct	49313	TCGTCCATGCGGAAGATTCCCTACTGCTGCCCTCCCGTAGGAGTCTGGGCCGTGTCTCAG	49372
Query	1201	TCCCAGTGTGGCCGATCACCTCTCAGGTCGGCTACGCATCGTTGCCCTGGTGGAGCCGTT	1268
Sbjct	49373	TCCCAGTGTGGCCGATCACCTCTCAGGTCGGCTACGCATCGTTGCCCTGGTGGAGCCGTT	49432
Query	1261	ACCTCACCAACTAGCTAATGCGACGCGGGTCCATCCATAAGTGACAGCCGAAGCCGCTT	1328
Sbjct	49433	ACCTCACCAACTAGCTAATGCGACGCGGGTCCATCCATAAGTGACAGCCGAAGCCGCTT	49492
Query	1321	TCAATTCGAACCATGCGGTT	1341
Sbjct	49493	TCAATTCGAACCATGCGGTT	49513

EK 10. BLAST analiz sonucunda elde edilen türün *Geobacillus kaustophilus* türlerine yakınlıklarının gösterilmesi

BLAST Results

[Edit and Resubmit](#) [Save Search Strategies](#) [Formatting options](#) [Download](#) [YouTube](#) [How to read this page](#) [Blast report des](#)

Job title: Nucleotide Sequence (1406 letters)

RID [8MYKESMA014](#) (Expires on 02-20 14:19 pm)

Query ID [Ic|Query_124963](#) Database Name [nr](#)
 Description [None](#) Description [Nucleotide collection \(nt\)](#)
 Molecule type [nucleic acid](#) Program [BLASTN 2.8.0+ > Citation](#)
 Query Length [1406](#)

Other reports: [Search Summary](#) [Taxonomy reports](#) [Distance tree of results](#) [MSA viewer](#)

[+ Graphic Summary](#)
[- Descriptions](#)

Sequences producing significant alignments:

Select: [All](#) [None](#) Selected: 0

[Alignments](#) [Download](#) [GenBank](#) [Graphics](#) [Distance tree of results](#)

Description	Max score	Total score	Query cover	E value	Ident	Accession
Geobacillus kaustophilus strain YE5-1016-404 16S ribosomal RNA gene, partial sequence	2370	2370	99%	0.0	98%	MG456829.1
[Bacillus] caldolyticus strain NEB414 chromosome, complete genome	2348	21087	99%	0.0	97%	CP025074.1
Geobacillus subterraneus subsp. aromaticivorans strain Manikaran-099 16S ribosomal RNA gene, partial sequence	2348	2348	99%	0.0	97%	MF965134.1
Geobacillus kaustophilus strain Manikaran-098C 16S ribosomal RNA gene, partial sequence	2348	2348	99%	0.0	97%	MF965133.1
Geobacillus kaustophilus strain Manikaran-097C 16S ribosomal RNA gene, partial sequence	2348	2348	99%	0.0	97%	MF965131.1
Geobacillus kaustophilus strain Manikaran-086A 16S ribosomal RNA gene, partial sequence	2348	2348	99%	0.0	97%	MF965109.1
Geobacillus thermoleovorans strain FJAT-2391, complete genome	2348	23387	99%	0.0	97%	CP017071.1
Geobacillus thermoleovorans strain KCTC 3570, complete genome	2348	23399	99%	0.0	97%	CP014335.1
Geobacillus sp. SP24 16S ribosomal RNA gene, partial sequence	2348	2348	99%	0.0	97%	JN692241.2
Geobacillus sp. EPT3 16S ribosomal RNA gene, partial sequence	2348	2348	99%	0.0	97%	KF438702.1
Geobacillus kaustophilus strain A7 16S ribosomal RNA gene, partial sequence	2348	2348	99%	0.0	97%	KC252972.1
Geobacillus kaustophilus strain G2 16S ribosomal RNA gene, partial sequence	2348	2348	99%	0.0	97%	JX522539.1

EK 11. BLAST analizi sonucu *Geobacillus kaustophilus* 16s rRNA geninin benzerlik gösterdiği *G. kaustophilus* 16s rRNA dizisi.

Geobacillus kaustophilus strain YE5-1016-404 16S ribosomal RNA gene, partial sequence

GenBank: MG456829.1
[FASTA](#) [Graphics](#)

Go to:

LOCUS MG456829 1469 bp DNA linear BCT 25-NOV-2017
 DEFINITION *Geobacillus kaustophilus* strain YE5-1016-404 16S ribosomal RNA gene, partial sequence.
 ACCESSION MG456829
 VERSION MG456829.1
 KEYWORDS .
 SOURCE *Geobacillus kaustophilus*
 ORGANISM [Geobacillus kaustophilus](#)
 Bacteria; Firmicutes; Bacilli; Bacillales; Bacillaceae;
Geobacillus; *Geobacillus thermoleovorans* group.
 REFERENCE 1 (bases 1 to 1469)
 AUTHORS Rawat,S. and Ranawat,P.
 TITLE Direct Submission
 JOURNAL Submitted (07-NOV-2017) Microbiology, HNB Garhwal University, Srinagar (Garhwal), Uttarakhand 246174, India
 COMMENT ##Assembly-Data-START##
 Sequencing Technology :: Sanger dideoxy sequencing
 ##Assembly-Data-END##
 FEATURES
 source Location/Qualifiers
 1..1469
 /organism="Geobacillus kaustophilus"
 /mol_type="genomic DNA"
 /strain="YE5-1016-404"
 /isolation_source="hot water spring"
 /db_xref="taxon:1462"
 /country="India: Uttarakhand, Uttarkashi district, Yamunotri"
 /collection_date="17-Jun-2015"
 /collected_by="P. Ranawat"
 /identified_by="S. Rawat & P. Ranawat"
 rRNA
 <1..1469
 /product="16S ribosomal RNA"
 ORIGIN
 1 acatgcaagt cgagcggacc aaatcggagc ttgctctggt ttgctcagcg gccgacgggt
 61 gagtaacacg tggcaacct gcccgcaaga ccgggataac tccgggaaac cggagctaatt
 121 accggataac accgaagacc gcatggtcct tggttgaaag gccggccttg gctgtcactt
 181 gcggatgggc ccgcccgcga ttagctagtt ggtgaggtaa cggtcaccac aggcgacgat
 241 gcgtagccgg cctgagaggg tgaccggcca cactgggact gagcacggc ccagactcct
 301 acgggaggca gcagtaggga atcttccgca atgggcgaaa gcctgacgga gcgacgccgc
 361 gtgagcgaag aaggccttcg ggtcgtaaag ctctgtgtg agggacgaag gacgcccgtt
 421 cgaagaggcc gccgcggtga cggtaactca cgaggaagcc cggcctaact acgtgccagc
 481 agcccggtta atactaggg ggcgagcgtt gtccggaatt attggcgta aagcgcgcgc
 541 aggcggttcc ttaagtctga tgtgaaagcc cacggctcaa ccgtggaggg tcattggaaa
 601 ctgggggact tgagtgcagg agaggagagc ggaattccac gtgtagcgtt gaaatgcgta
 661 gagatgtgga ggaacaccag tggcgaagcc ggctctctgg cctgcaactg acgctgaggc
 721 gcgaaagcgt ggggagcaaa caggattaga taccctggta gtccacgccg taaacgatga
 781 gtgctaagtg ttagaggggt cacacccttt agtctgcag ctaacgcgat aagcactccg
 841 cctggggagt acggccgcaa ggctgaaact caaaggaatt gacgggggcc gcacaagcg
 901 gtggaacatg tggtttaatt cgaagcaacg cgaagaacct taccaggtct tgacatcccc
 961 tgacaacca agagattggg cgttccccct tcggggggac aggggtgacag gtggtgcatg
 1021 gttgtcgtca gctcgtgtcg agatatgtt gggttaagtcc cgcaacgagc gcaacctctg
 1081 cctctagttg ccagcacgaa ggtgggcact ctaaaggac tgccggcgac aagtcggagg
 1141 aaggtgggga tgacgtcaaa tcatcatgcc cttatgacc tgggctacac acgtgctaca
 1201

EK 12. BLAST analizi sonucu *Geobacillus kaustophilus* olduğunu düşündüğümüz türün dizisi ile benzerlik gösterdiği *G.kaustophilus* dizinin hizalanması

Geobacillus kaustophilus strain YE5-1016-404 16S ribosomal RNA gene, partial sequence
 Sequence ID: [MG458829.1](#) Length: 1489 Number of Matches: 1

Range 1: 23 to 1390 [GenBank](#) [Graphics](#) [Next Match](#) [Previous Match](#)

Score	Expect	Identities	Gaps	Strand
2527 bits(1368)	0.0	1368/1368(100%)	0/1368(0%)	Plus/Plus
Query 1	ATCGGAGCTTGGCTCTGGTTTGGTCAGCGGCCGGACGGGTGAGTAACACAGTGGGCAACCTGC	68		
Sbjct 23	ATCGGAGCTTGGCTCTGGTTTGGTCAGCGGCCGGACGGGTGAGTAACACAGTGGGCAACCTGC	82		
Query 61	CCGCAAGACCGGGATAACTCCGGGAAACCGGAGCTAATACCGGATAACACCGGAAGACCCGC	128		
Sbjct 83	CCGCAAGACCGGGATAACTCCGGGAAACCGGAGCTAATACCGGATAACACCGGAAGACCCGC	142		
Query 121	ATGGTCTTGGTGAAGAGCGGCCCTTGGCTGTCACTTGCAGATGGGCCCCGGCGCAAT	188		
Sbjct 143	ATGGTCTTGGTGAAGAGCGGCCCTTGGCTGTCACTTGCAGATGGGCCCCGGCGCAAT	202		
Query 181	AGCTAGTTGGTGAGGTAACGGCTCACCAAGGCGACGATGCGTAGCCGGCTTGGAGGGGTG	248		
Sbjct 203	AGCTAGTTGGTGAGGTAACGGCTCACCAAGGCGACGATGCGTAGCCGGCTTGGAGGGGTG	262		
Query 241	ACCGGCCACACTGGGACTGAGACACGGCCACAGACTCTACGGGAGGCAGCAGTAGGGAAT	308		
Sbjct 263	ACCGGCCACACTGGGACTGAGACACGGCCACAGACTCTACGGGAGGCAGCAGTAGGGAAT	322		
Query 301	CTTCCGCAATGGGCGAAAGCCTGACGGAGCGACGCCGCGTAGCGAAGAAAGGCCCTCGGG	368		
Sbjct 323	CTTCCGCAATGGGCGAAAGCCTGACGGAGCGACGCCGCGTAGCGAAGAAAGGCCCTCGGG	382		
Query 361	TCGTAAGCTCTGTTGTGAGGGACGAAGGAGCGCCGTTGAAAGAGGGCGGGCGGGTGACG	428		
Sbjct 383	TCGTAAGCTCTGTTGTGAGGGACGAAGGAGCGCCGTTGAAAGAGGGCGGGCGGGTGACG	442		
Query 421	GTACCTCACGAGGAAAGCCCGGCTAACTACGTGCCAGCAGCCGCGGTAACTAGTAGGGGG	488		
Sbjct 443	GTACCTCACGAGGAAAGCCCGGCTAACTACGTGCCAGCAGCCGCGGTAACTAGTAGGGGG	502		
Query 481	CGAGCGTTGTCGGAAATTAATGGGCGTAAAGCGCGCGCAGGCGGTTCCTTAAGTCTGATG	548		
Sbjct 503	CGAGCGTTGTCGGAAATTAATGGGCGTAAAGCGCGCGCAGGCGGTTCCTTAAGTCTGATG	562		
Query 541	TGAAAGCCACAGGCTCAACCGTGGAGGGTCATGGAAACTGGGGGACTTGAAGTGCAGGAG	608		
Sbjct 563	TGAAAGCCACAGGCTCAACCGTGGAGGGTCATGGAAACTGGGGGACTTGAAGTGCAGGAG	622		
Query 601	AGGAGAGCGGAAATCCACGTGTAGCGGTGAAATGCGTAGAGATGTGGAGGAACACAGTG	668		
Sbjct 623	AGGAGAGCGGAAATCCACGTGTAGCGGTGAAATGCGTAGAGATGTGGAGGAACACAGTG	682		
Query 661	GCGAAGGCGGCTCTCGGCTGCAACTGACGCTGAGGCGCGAAAGCGTGGGAGCAAAACA	728		
Sbjct 683	GCGAAGGCGGCTCTCGGCTGCAACTGACGCTGAGGCGCGAAAGCGTGGGAGCAAAACA	742		
Query 721	GGATTAGATACCTGGTAGTCCACGCGTAAACGATGAGTGTAAAGTGTAGAGGGGTCA	788		
Sbjct 743	GGATTAGATACCTGGTAGTCCACGCGTAAACGATGAGTGTAAAGTGTAGAGGGGTCA	802		
Query 781	CACCCCTTAGTGTGACGCTAACGCGATAAGCACTCCGCCGGGGAGTACGGCCGCAAGG	848		
Sbjct 803	CACCCCTTAGTGTGACGCTAACGCGATAAGCACTCCGCCGGGGAGTACGGCCGCAAGG	862		
Query 841	CTGAAACTCAAAGGAATTGACGGGGGCCCGCACAAAGCGGTGGAACATGTGGTTAATTCG	908		
Sbjct 863	CTGAAACTCAAAGGAATTGACGGGGGCCCGCACAAAGCGGTGGAACATGTGGTTAATTCG	922		
Query 901	AAGCAACGCGAAGAACCTTACCAGGCTTGACATCCCTGACAACCCAAAGAGATTGGGCG	968		
Sbjct 923	AAGCAACGCGAAGAACCTTACCAGGCTTGACATCCCTGACAACCCAAAGAGATTGGGCG	982		
Query 961	TTCCCTTTGGGGGGACAGGGTGACAGGTGGTGCATGGTGTGCTCAGCTCGTGTGCGAG	1028		
Sbjct 983	TTCCCTTTGGGGGGACAGGGTGACAGGTGGTGCATGGTGTGCTCAGCTCGTGTGCGAG	1042		
Query 1021	ATATGTTGGGTTAAGTCCCGCAACGAGCGCAACCCTCGCCCTAGTTGCCAGCACGAAGG	1088		
Sbjct 1043	ATATGTTGGGTTAAGTCCCGCAACGAGCGCAACCCTCGCCCTAGTTGCCAGCACGAAGG	1102		
Query 1081	TGGGCACCTCAAAGGGACTGCCGGCGACAAGTCGGAGGAAGGTGGGGATGACGTCAAATC	1148		
Sbjct 1103	TGGGCACCTCAAAGGGACTGCCGGCGACAAGTCGGAGGAAGGTGGGGATGACGTCAAATC	1162		
Query 1141	ATCATGCCCTTATGACCTGGGCTACACAGCTGCTACAATGGGCGGTACAAAGGGCTGCG	1208		
Sbjct 1163	ATCATGCCCTTATGACCTGGGCTACACAGCTGCTACAATGGGCGGTACAAAGGGCTGCG	1222		
Query 1201	AACCCGCGAGGGGGAGCGAATCCCAAAAAGCCGCTCTCAGTTGCGATTGCAAGGCTGCAAC	1268		
Sbjct 1223	AACCCGCGAGGGGGAGCGAATCCCAAAAAGCCGCTCTCAGTTGCGATTGCAAGGCTGCAAC	1282		
Query 1261	TCGCTTGCATGAAGCCGGAATCGCTAGTAACTGCGGATCAGCATGCCGCGGTGAATACGT	1328		
Sbjct 1283	TCGCTTGCATGAAGCCGGAATCGCTAGTAACTGCGGATCAGCATGCCGCGGTGAATACGT	1342		
Query 1321	TCCCGGGCTTGTACACACCGCCCGTCAACACAGAGAGCTTGAACA 1368			
Sbjct 1343	TCCCGGGCTTGTACACACCGCCCGTCAACACAGAGAGCTTGAACA 1398			

EK 13. BLAST analiz sonucunda elde edilen türün *B. coagulans* türlerine yakınlıklarının gösterilmesi

BLAST Results

[Edit and Resubmit](#) [Save Search Strategies](#) [Formatting options](#) [Download](#) [YouTube](#) [How to read this page](#) [Blast report details](#)

Job title: Nucleotide Sequence (1343 letters)

RID: [8MYXG1JX015](#) (Expires on 02-20 14:24 pm)

Query ID: [lcl|Query_243945](#) Database Name: [nr](#)

Description: [None](#) Description: [Nucleotide collection \(nr\)](#)

Molecule type: [nucleic acid](#) Program: [BLASTN 2.8.0+](#) [Citation](#)

Query Length: [1343](#)

Other reports: [Search Summary](#) [Taxonomy reports](#) [Distance tree of results](#) [MSA viewer](#)

Graphic Summary

Descriptions

Sequences producing significant alignments:

Select: [All](#) [None](#) Selected: 0

[Alignments](#) [Download](#) [GenBank](#) [Graphics](#) [Distance tree of results](#)

Description	Max score	Total score	Query cover	E value	Ident	Accession
Bacillus coagulans partial 16S rRNA gene, strain MTCC5260	2274	2274	100%	0.0	98%	FN675759.1
Bacillus coagulans strain LBSC chromosome	1969	17636	100%	0.0	93%	CP022701.1
Bacillus coagulans strain hsto-8 16S ribosomal RNA gene, partial sequence	1969	1969	100%	0.0	93%	KX822708.1
Bacillus sp. MC-02 gene for 16S ribosomal RNA, partial sequence	1969	1969	100%	0.0	93%	AB849115.1
Bacillus coagulans gene for 16S rRNA, strain: T5	1969	1969	100%	0.0	93%	AB240205.1
Bacillus sp. IMM05 partial 16S rRNA gene, strain IMM05	1965	1965	100%	0.0	93%	FR727705.1
Bacillus coagulans strain R11 chromosome, complete genome	1964	19485	100%	0.0	93%	CP026649.1
Uncultured Bacillus sp. clone Bco 16S ribosomal RNA gene, partial sequence	1964	1964	100%	0.0	93%	MG557779.1
Bacillus coagulans strain KCCM203098 16S ribosomal RNA gene, partial sequence	1964	1964	100%	0.0	93%	MF992239.1
Bacillus coagulans strain disam16 16S ribosomal RNA gene, partial sequence	1964	1964	100%	0.0	93%	KX580387.1
Bacillus coagulans strain BC-HY1, complete genome	1964	19476	100%	0.0	93%	CP017888.1
Bacillus coagulans strain E21 16S ribosomal RNA gene, partial sequence	1964	1964	100%	0.0	93%	KX986311.1
Bacillus coagulans strain S-lac, complete genome	1964	19545	100%	0.0	93%	CP011939.1

EK 14. BLAST analizi sonucu *B. coagulans* 16s rRNA geninin benzerlik gösterdiği *B. coagulans* 16s rRNA dizisi

Bacillus coagulans partial 16S rRNA gene, strain MTCC5260

GenBank: FN675759.1
[FASTA](#) [Graphics](#)

[Go to:](#)

LOCUS FN675759 1412 bp DNA linear BCT 05-MAR-2010
DEFINITION Bacillus coagulans partial 16S rRNA gene, strain MTCC5260.
ACCESSION FN675759
VERSION FN675759.1
KEYWORDS .
SOURCE Bacillus coagulans
ORGANISM [Bacillus coagulans](#)
Bacteria; Firmicutes; Bacilli; Bacillales; Bacillaceae; Bacillus.
REFERENCE 1
AUTHORS Ratna Sudha,M.
TITLE Bacillus coagulans strain
JOURNAL Unpublished
REFERENCE 2 (bases 1 to 1412)
AUTHORS Sudha,R.
TITLE Direct Submission
JOURNAL Submitted (01-MAR-2010) R&D, Unique biotech ltd, Plot-2, phase-2,
S.P.Biotech Park, A.P, 500078, INDIA
FEATURES Location/Qualifiers
source 1..1412
/organism="Bacillus coagulans"
/mol_type="genomic DNA"
/strain="MTCC5260"
/isolate="Unique IS-2"
/db_xref="taxon:1398"
[gene](#) <1..>1412
/gene="16S rRNA"
[rRNA](#) <1..>1412
/gene="16S rRNA"
/product="16S ribosomal RNA"
ORIGIN

Customize view

Analyze this sequence

Run BLAST
Pick Primers
Highlight Sequence Features
Find in this Sequence

Related information

Taxonomy

LinkOut to external resources

Ribosomal Database Project II
[Ribosomal Database Project II]
SILVA SSU Database [SILVA]

Recent activity

[Turn Off](#) [Clear](#)

Bacillus coagulans partial 16S rRNA gene, strain MTCC5260 Nucleotide
 Geobacillus kaustophilus strain PS9 16S ribosomal RNA gene, complete seq Nucleotide

EK 15. BLAST analizi sonucu *B. coagulans* olduğunu düşündüğümüz türün dizisi ile benzerlik gösterdiği *B. coagulans* dizinin hizalanması

Bacillus coagulans partial 16S rRNA gene, strain MTCC5260					
Sequence ID: FN675759.1 Length: 1412 Number of Matches: 1					
Range 1: 351 to 1309 GenBank Graphics ▼ Next Match ▲ Previous Match					
Score	Expect	Identities	Gaps	Strand	
1772 bits(959)	0.0	959/959(100%)	0/959(0%)	Plus/Plus	
Query 1	ATGGACGAAAGTCTGACGGAGCAACGCCGCGTGAGTGAAGAAGGCCTTCGGGTCGTAAAA				68
Sbjct 351	ATGGACGAAAGTCTGACGGAGCAACGCCGCGTGAGTGAAGAAGGCCTTCGGGTCGTAAAA				418
Query 61	CTCTGTTGCCGGGGAAGAACAAGTGCCTTCGAACAGGGCGGGCCCTTGACGGTACCCGG				120
Sbjct 411	CTCTGTTGCCGGGGAAGAACAAGTGCCTTCGAACAGGGCGGGCCCTTGACGGTACCCGG				478
Query 121	CCAGAAAGCCACGGCTAACTACGTGCCAGCAGCCGCGGTAATACGTAGGTGGCAAGCGTT				188
Sbjct 471	CCAGAAAGCCACGGCTAACTACGTGCCAGCAGCCGCGGTAATACGTAGGTGGCAAGCGTT				538
Query 181	GTCCGGAATTATTGGGCGTAAAGCGCGCGCAGGGCGGCTTCTTAAGTCTGATGTGAAATCT				248
Sbjct 531	GTCCGGAATTATTGGGCGTAAAGCGCGCGCAGGGCGGCTTCTTAAGTCTGATGTGAAATCT				598
Query 241	TGCGGCTCAACCGCAAGCGGTCATTGGAAACTGGGAGGCTTGAGTGCCAGAAAGAGGAGGT				308
Sbjct 591	TGCGGCTCAACCGCAAGCGGTCATTGGAAACTGGGAGGCTTGAGTGCCAGAAAGAGGAGGT				658
Query 301	GGAAATCCACGTGTAGCGGTGAAATGCGTAGAGATGTGGAGGAACACCAGTGGCGAAGGC				368
Sbjct 651	GGAAATCCACGTGTAGCGGTGAAATGCGTAGAGATGTGGAGGAACACCAGTGGCGAAGGC				718
Query 361	GGCTCTCTGGTCTGTAACCTGACGCTGAGGCGCGAAAGCGTGGGGAGCAAACCGGATTAGA				428
Sbjct 711	GGCTCTCTGGTCTGTAACCTGACGCTGAGGCGCGAAAGCGTGGGGAGCAAACCGGATTAGA				778
Query 421	TTAACGTGGTAGTCCAAACGGAAACAAATAAGGGTAAAGAATAAAAGGGTTTACGCCCTT				488
Sbjct 771	TTAACGTGGTAGTCCAAACGGAAACAAATAAGGGTAAAGAATAAAAGGGTTTACGCCCTT				838
Query 481	TATGCTACAACCTAACGCTTTAACCACTTCGCCTGGGGGAGTACGGCGCAAGGGTTAAACT				548
Sbjct 831	TATGCTACAACCTAACGCTTTAACCACTTCGCCTGGGGGAGTACGGCGCAAGGGTTAAACT				898
Query 541	AAAGGAATTGACGGGGGCCCCACAAGCGATGGAGACAAGTGGTTAATTCAAGCAACCGA				608
Sbjct 891	AAAGGAATTGACGGGGGCCCCACAAGCGATGGAGACAAGTGGTTAATTCAAGCAACCGA				958
Query 601	AGAACCTTACCAGGTCTTGACATCGTCTGAAATCCCTGGGGACAGGGCCTTCCCCTTCGG				668
Sbjct 951	AGAACCTTACCAGGTCTTGACATCGTCTGAAATCCCTGGGGACAGGGCCTTCCCCTTCGG				1018
Query 661	GGACAGAGTGACAGATGGTGCATAGTTGTCGTCAGCTCGTGTGAGATGTTGGGTTAA				728
Sbjct 1011	GGACAGAGTGACAGATGGTGCATAGTTGTCGTCAGCTCGTGTGAGATGTTGGGTTAA				1078
Query 721	GTCCCGCAACGAGCGCAACCCCTGACCTTAGTTGCCAGCATTAGTTGGGCACTCTAAGGT				788
Sbjct 1071	GTCCCGCAACGAGCGCAACCCCTGACCTTAGTTGCCAGCATTAGTTGGGCACTCTAAGGT				1138
Query 781	GACTGCCGGGGACAAACCGGAGGAAGGTGGGGATGAGTCAAATCATCATGCCCTTATGA				848
Sbjct 1131	GACTGCCGGGGACAAACCGGAGGAAGGTGGGGATGAGTCAAATCATCATGCCCTTATGA				1198
Query 841	CCTGGGGTACACACGTGCTACAATGGATGGTACAAGGGCTGCGAGACCCGAGGTTAAG				908
Sbjct 1191	CCTGGGGTACACACGTGCTACAATGGATGGTACAAGGGCTGCGAGACCCGAGGTTAAG				1258
Query 901	CCAATCCCAGAAGGCATTCCCAGTTCGGATTGCAGGCTGCAACCCGCTGCATGAAGCC				968
Sbjct 1251	CCAATCCCAGAAGGCATTCCCAGTTCGGATTGCAGGCTGCAACCCGCTGCATGAAGCC				1318

EK 16. Farklı saat dilimlerinde örneklerin total ksılanaz aktivitesi

	6 Saat	12 Saat	14 Saat	16 Saat	20 Saat	24 Saat	48 Saat	72 Saat	168 Saat	Max
BTX 53	0,031	0,038	0,011	0,074	0,014	0,068	0,068	0,032	0,15	0,15
BTX 71	0,045	0,023	0,018	0,052	0,015	0,049	0,108	0,015	0,155	0,155
BTX 84	0,037	0,035	0,023	0,096	0,02	0,047	0,122	0,021	0,156	0,156
BTX 82	0,152	0,077	0,014	0,078	0,015	0,141	0,131	0,023	0,16	0,16
BTX 43	0,02	0,01	0,02	0,073	0,02	0,039	0,109	0,01	0,164	0,164
BTX 55	0,029	0,029	0,007	0,079	0,006	0,056	0,145	0,015	0,166	0,166
BTX 54	0,071	0,034	0,013	0,077	0,017	0,044	0,121	0,007	0,167	0,167
BTX 51	0,145	0,05	0,1	0,06	0,17	0,02	0,01	0,1	0,045	0,17
BTX 75	0,047	0,07	0,029	0,072	0,032	0,072	0,112	0,01	0,175	0,175
BTX 37	0,024	0,007	0,012	0,107	0,058	0,043	0,134	0,008	0,176	0,176
BTX 39	0,021	0,039	0,006	0,009	0,049	0,044	0,044	0,017	0,178	0,178
BTX 73	0,042	0,03	0,016	0,075	0,021	0,056	0,113	0,017	0,179	0,179
BTX 52	0,064	0,034	0,01	0,079	0,013	0,046	0,117	0,013	0,184	0,184
BTX 70	0,056	0,024	0,028	0,078	0,021	0,039	0,112	0,016	0,185	0,185
BTX 62	0,031	0,03	0,017	0,075	0,026	0,07	0,109	0,012	0,186	0,186
BTX 68	0,034	0,026	0,016	0,08	0,02	0,044	0,145	0,009	0,188	0,188
BTX 56	0,037	0,046	0,022	0,075	0,014	0,047	0,112	0,014	0,189	0,189
BTX 42	0,02	0,029	0,007	0,083	0,055	0,049	0,136	0,012	0,193	0,193
BTX 65	0,044	0,022	0,02	0,079	0,023	0,081	0,124	0,022	0,193	0,193
BTX 61	0,037	0,009	0,009	0,094	0,043	0,053	0,112	0,034	0,197	0,197
BTX 64	0,028	0,032	0,016	0,081	0,041	0,052	0,135	0,028	0,198	0,198
BTX 38	0,024	0,074	0,004	0,038	0,05	0,171	0,107	0,006	0,199	0,199
BTX 40	0,028	0,016	0,014	0,051	0,016	0,081	0,138	0,016	0,199	0,199
BTX 57	0,043	0,092	0,015	0,074	0,057	0,081	0,12	0,016	0,2	0,2
BTX 67	0,025	0,021	0,007	0,088	0,019	0,04	0,206	0,017	0,191	0,206
BTX 72	0,029	0,03	0,035	0,079	0,023	0,047	0,117	0,016	0,213	0,213
BTX 83	0,084	0,033	0,027	0,074	0,022	0,052	0,121	0,023	0,215	0,215
BTX 44	0,065	0,028	0,005	0,078	0,013	0,043	0,109	0,01	0,216	0,216
BTX 80	0,043	0,051	0,036	0,106	0,022	0,109	0,127	0,023	0,22	0,22
BTX 81	0,06	0,049	0,01	0,101	0,137	0,04	0,22	0,027	0,171	0,22
BTX 77	0,042	0,033	0,029	0,091	0,029	0,045	0,122	0,029	0,227	0,227
BTX 79	0,036	0,03	0,026	0,089	0,027	0,061	0,129	0,022	0,228	0,228
BTX 76	0,045	0,027	0,015	0,085	0,023	0,041	0,124	0,016	0,232	0,232
BTX 58	0,029	0,005	0,022	0,053	0,021	0,051	0,109	0,017	0,233	0,233
BTX 63	0,033	0,023	0,035	0,077	0,029	0,236	0,112	0,017	0,189	0,236
BTX 74	0,057	0,038	0,024	0,085	0,028	0,196	0,115	0,014	0,248	0,248
BTX 78	0,036	0,066	0,016	0,093	0,023	0,038	0,12	0,022	0,248	0,248
BTX 15	0,029	0,011	0,098	0,035	0,185	0,022	0,017	0,003	0,258	0,258

EK 16. (Devam) Farklı saat dilimlerinde örneklerin total ksılanaz aktivitesi

	6 Saat	12 Saat	14 Saat	16 Saat	20 Saat	24 Saat	48 Saat	72 Saat	168 Saat	Max
BTX 69	0,034	0,053	0,015	0,074	0,017	0,26	0,107	0,128	0,175	0,26
BTX 45	0,049	0,032	0,033	0,098	0,014	0,269	0,107	0,009	0,194	0,269
BTX 7	0,019	0,138	0,121	0,049	0,138	0,099	0,006	0,002	0,273	0,273
BTX 10	0,109	0,061	0,077	0,04	0,13	0,031	0,001	0,063	0,277	0,277
BTX 28	0,023	0,014	0,079	0,092	0,131	0,021	0,08	0,237	0,282	0,282
BTX 8	0,021	0,014	0,083	0,083	0,165	0,028	0,006	0,089	0,298	0,298
BTX 47	0,09	0,028	0,099	0,091	0,147	0,031	0,012	0,117	0,304	0,304
BTX 9	0,029	0,02	0,089	0,091	0,155	0,025	0,01	0,002	0,306	0,306
BTX 13	0,037	0,025	0,081	0,294	0,148	0,026	0,061	0,009	0,308	0,308
BTX 29	0,115	0,082	0,171	0,108	0,211	0,086	0,108	0,061	0,308	0,308
BTX 5	0,024	0,064	0,071	0,025	0,315	0,02	0,062	0,003	0,24	0,315
BTX 49	0,044	0,1	0,09	0,036	0,133	0,004	0,017	0,004	0,319	0,319
BTX 12	0,043	0,074	0,084	0,045	0,14	0,04	0,235	0,027	0,321	0,321
BTX 11	0,044	0,038	0,083	0,059	0,271	0,04	0,012	0,009	0,325	0,325
BTX 66	0,041	0,079	0,343	0,115	0,047	0,1	0,141	0,233	0,173	0,343
BTX 41	0,038	0,019	0,107	0,062	0,014	0,052	0,304	0,344	0,197	0,344
BTX 48	0,145	0,054	0,1	0,062	0,172	0,024	0,011	0,1	0,349	0,349
BTX 60	0,061	0,159	0,095	0,093	0,136	0,039	0,022	0,111	0,353	0,353
BTX 46	0,063	0,035	0,107	0,052	0,143	0,039	0,022	0,011	0,354	0,354
BTX 1	0,021	0,022	0,148	0,07	0,377	0,115	0,205	0,181	0,258	0,377
BTX 2	0,009	0,127	0,082	0,068	0,436	0,03	0,084	0,005	0,268	0,436
BTX 19	0,049	0,095	0,106	0,05	0,443	0,036	0,009	0,025	0,407	0,443
BTX 50	0,077	0,18	0,119	0,1	0,173	0,052	0,046	0,027	0,491	0,491
BTX 36	0,097	0,117	0,128	0,071	0,177	0,058	0,028	0,121	0,531	0,531
BTX 21	0,129	0,044	0,124	0,072	0,248	0,064	0,063	0,033	0,565	0,565
BTX 17	0,067	0,066	0,112	0,073	0,25	0,085	0,039	0,038	0,576	0,576
BTX 4	0,059	0,129	0,172	0,07	0,266	0,055	0,069	0,022	0,612	0,612
BTX 18	0,079	0,076	0,125	0,08	0,204	0,09	0,073	0,044	0,697	0,697
BTX 14	0,048	0,101	0,702	0,049	0,225	0,047	0,014	0,137	0,325	0,702
BTX 31	0,09	0,073	0,151	0,088	0,195	0,077	0,042	0,186	0,707	0,707
BTX 20	0,095	0,067	0,208	0,161	0,187	0,106	0,063	0,048	0,716	0,716
BTX 24	0,088	0,054	0,127	0,111	0,173	0,076	0,046	0,049	0,716	0,716
BTX 3	0,104	0,219	0,137	0,074	0,317	0,098	0,098	0,041	0,766	0,766
BTX 23	0,082	0,068	0,143	0,082	0,209	0,085	0,058	0,063	0,79	0,79
BTX 25	0,09	0,078	0,143	0,095	0,269	0,085	0,049	0,092	0,799	0,799
BTX 59	0,05	0,159	0,103	0,044	0,805	0,032	0,028	0,004	0,248	0,805
BTX 16	0,077	0,079	0,138	0,106	0,276	0,083	0,063	0,057	0,808	0,808
BTX 35	0,103	0,089	0,148	0,109	0,217	0,161	0,06	0,054	0,809	0,809
BTX 33	0,112	0,081	0,157	0,101	0,193	0,126	0,063	0,052	0,811	0,811

EK 16. (Devam) Farklı saat dilimlerinde örneklerin total ksılanaz aktivitesi

	6 Saat	12 Saat	14 Saat	16 Saat	20 Saat	24 Saat	48 Saat	72 Saat	168 Saat	Max
BTX 26	0,091	0,073	0,17	0,105	0,286	0,09	0,051	0,056	0,815	0,815
BTX 34	0,179	0,078	0,183	0,102	0,196	0,498	0,052	0,195	0,825	0,825
BTX 22	0,103	0,065	0,236	0,107	0,191	0,103	0,067	0,081	0,848	0,848
BTX 32	0,105	0,096	0,257	0,108	0,2	0,089	0,06	0,068	0,879	0,879
BTX 30	0,097	0,084	0,145	0,099	0,224	0,087	0,05	0,147	0,909	0,909
BTX 6	0,109	0,083	0,158	0,167	0,299	0,099	0,093	0,069	1,007	1,007
BTX 27	0,097	0,084	0,139	1,22	0,2	0,088	0,039	0,046	0,814	1,22



EK 17. BLAST analiz sonucunda elde edilen gen bölgesinin ksilanz genine olan yakınlığının gösterilmesi

BLAST Results

[Edit and Resubmit](#) [Save Search Strategies](#) [Formatting options](#) [Download](#) [YouTube](#) [How to read this page](#) [Blast report de](#)

Job title: Nucleotide Sequence (1283 letters)

RID: 8MZ6W65F014 (Expires on 02-20 14:29 pm)

Query ID: lc|Query_49231
 Description: None
 Molecule type: nucleic acid
 Query Length: 1283

Database Name: nr
 Description: Nucleotide collection (nt)
 Program: BLASTN 2.8.0+ [Citation](#)

Other reports: [Search Summary](#) [Taxonomy reports](#) [Distance tree of results](#) [MSA viewer](#)

Graphic Summary

Descriptions

Sequences producing significant alignments:

Select: [All](#) [None](#) Selected: 0

[Alignments](#) [Download](#) [GenBank](#) [Graphics](#) [Distance tree of results](#)

Description	Max score	Total score	Query cover	E value	Ident	Accession
Bacillus subtilis strain AK1 xyJanase gene, complete cds	2156	2156	100%	0.0	97%	DQ217402.1
Bacillus subtilis strain VV2, complete genome	1936	1936	98%	0.0	95%	CP017676.1
Bacillus subtilis strain qe28, complete genome	1914	1914	98%	0.0	95%	CP021903.1
Bacillus sp. YP1, complete genome	1914	1914	98%	0.0	95%	CP010014.1
Bacillus subtilis strain TLO3 chromosome, complete genome	1912	1912	98%	0.0	94%	CP023257.1
Bacillus subtilis strain DKU_NT_03, complete genome	1906	1906	98%	0.0	94%	CP022891.1
Bacillus subtilis subsp. subtilis strain SRM100333, complete genome	1906	1906	98%	0.0	94%	CP021892.1
Bacillus licheniformis strain SRM101441, complete genome	1906	1906	98%	0.0	94%	CP021507.1
Bacillus subtilis strain HRBS-10TD13, complete genome	1906	1906	98%	0.0	94%	CP015222.1
Bacillus subtilis strain GS 188 genome	1895	1895	98%	0.0	94%	CP022391.1
Bacillus subtilis subsp. subtilis RC-NN-1, complete genome	1895	1895	98%	0.0	94%	CP002906.1
Bacillus subtilis strain BE-91 hypothetical protein (yocV), endo-1,4-beta-xylanase (yxnA), and pyruvate water dikinase/PEP synthase-like protein (yocS) genes, complete cds	1895	1895	98%	0.0	94%	GQ845010.2

EK 18. BLAST analizi sonucu Ksilanaz gen dizisi

Bacillus subtilis strain AK1 xylanase gene, complete cds

GenBank: DQ217402.1

[FASTA](#) [Graphics](#)

Go to:

LOCUS DQ217402 1250 bp DNA linear BCT 11-OCT-2005
 DEFINITION Bacillus subtilis strain AK1 xylanase gene, complete cds.
 ACCESSION DQ217402
 VERSION DQ217402.1
 KEYWORDS .
 SOURCE Bacillus subtilis
 ORGANISM [Bacillus subtilis](#)
 Bacteria; Firmicutes; Bacilli; Bacillales; Bacillaceae; Bacillus.
 REFERENCE 1 (bases 1 to 1250)
 AUTHORS Arumugam,P., Govindasamy,V., Revathy,G., Kalaichelvan,T. and Arulmani,M.
 TITLE Sequence of xylanase gene from Bacillus subtilis AK1
 JOURNAL Unpublished
 REFERENCE 2 (bases 1 to 1250)
 AUTHORS Arumugam,P., Govindasamy,V., Revathy,G., Kalaichelvan,T. and Arulmani,M.
 TITLE Direct Submission
 JOURNAL Submitted (21-SEP-2005) CAS in Botany, University of Madras, Guindy Campus, Chennai, Tamilnadu 600 025, India
 FEATURES Location/Qualifiers
 source 1..1250
 /organism="Bacillus subtilis"
 /mol_type="genomic DNA"
 /strain="AK1"
 /db_xref="taxon:1423"
 CDS 578..1219
 /codon_start=1
 /transl_table=11
 /product="xylanase"
 /protein_id="ABA64459.1"
 /translation="MFKFKKNFLVGLSAAALMSISLFSATASAASTDYQNWTDGGGIV
 NAVNGSGGNYSVNWSTGNFVVGKGNITGSPFRTINYNAGVWAPNGDGYLTLYGWTRS
 PLHRILCVDSWGTYRPTGYKGTVKGDGGTYDIYTTTRYNAPSIDGDRITFTQYNSVR
 QTKRPTGSNATITFSNHVNAWKSJGHNLSNWAYQVMATEGVQSSGSSNVTW"

ORIGIN

```

1 gggccgtcga cgaattggag gctcggttac atccccacagt taccctgatt gtcaattctt
61 ttttttcttt ttcagagccc tttcaaataa aaatcttgca acttctttgt aaaactgatc
121 taagctatca tcctcaaat tttggtaaat aattctaatt gacagttct tcttagtat
181 aaccttaatt gttttcttct tcagttcttc atattcttca taaatttgc tcccttcatt
241 agacaagcgg cagcaacaat gacttcacaa tctctaatat atatctcctt tatacgaaaa
301 gatccaatgg gaattcatta cagatattac tccatctgaa ttagaacaaa gaattgtgat
361 cctgcgaaaa aaggatcagg atatggtgga acaaggccac ttataatgca tttctaggta
421 tttgtaattg aattacaat acttttaata tttgctcatg aattcgtgta ttactgaa
481 ggggacgatc aaaagctttg gcgttagtaa ttaaaaatgt tttaaatgta tacgagtct
541 gcctcaaatg cggaaaaaat attataggag gtaacatag ttttaagtta aaaagaattt
601 cttagttgga ttatcgccag ctttaatgag tattagcttg ttttcggcaa ccgctctg
661 agctagcaca gactactggc aaaattggac tgatgggggc ggtatagtaa acgctgtcaa
721 tgggtctggc gggaaactaca gtgttaattg gtctaatacc ggaaatttcg ttgttgtaa
781 aggttggact acaggttcgc catttaggac gataaactat aatgccggag tttggcgcc
841 gaatggcgat gggatattga cttttagtgg ctggacgaga tcgccccttc atagaatatt
901 atgtgtggat tcatgggta cttataggcc caccggaacg tataaaggta ctgtaaaggg
961 tgatggaggt acatagaca tatatacaac tacacgttat aacgcacctt ccattgatgg
1021 cgatcgcact acttttacgc agtactggag tgttcgtcag acgaagagac caactggaag
1081 taacgctaca atcactttca gcaatcatgt gaacgcatgg aagagccatg gaatgaatct
1141 gggcagtaat tgggcttacc aagtcattgc gacagaagga tatcaaaagta gtggaagttc
1201 taecgtaaca gtgtggaac agatcatcct taatcagggg atccgggccc
  
```


EK 19. BLAST Analizi Sonucu Ksilanaz Gen Dizisinin hizalanması

Bacillus subtilis strain AK1 xylanase gene, complete cds					
Sequence ID: DQ217402.1 Length: 1250 Number of Matches: 1					
Range 1: 1 to 1250 GenBank Graphics ▼ Next Match ▲ Pre					
Score	Expect	Identities	Gaps	Strand	
2309 bits(1250)	0.0	1250/1250(100%)	0/1250(0%)	Plus/Plus	
Query 1		GGGCCGTGACGAATTGGAGGCTCGGTTACATCCCACAGTTACCCTGATTGTCAATTC			60
Sbjct 1		GGGCCGTGACGAATTGGAGGCTCGGTTACATCCCACAGTTACCCTGATTGTCAATTC			60
Query 61		ttttttctttttCAGAGCCCTTTCAAATAAAAAATCTTGCAACTTCTTTGTAAAACGATC			120
Sbjct 61		TTTTTCTTTTTCAGAGCCCTTTCAAATAAAAAATCTTGCAACTTCTTTGTAAAACGATC			120
Query 121		TAAGCTATCATCCTCAAATTTTTGGTCAATAAATTCTAATTGAGCAGTTCCTTCTTAGTAT			180
Sbjct 121		TAAGCTATCATCCTCAAATTTTTGGTCAATAAATTCTAATTGAGCAGTTCCTTCTTAGTAT			180
Query 181		AACCTTAATTGTTTTCTTCTTCAGTTCCTCATATTCATATAAATTTGCTTCCCTTCATT			240
Sbjct 181		AACCTTAATTGTTTTCTTCTTCAGTTCCTCATATTCATATAAATTTGCTTCCCTTCATT			240
Query 241		AGACAAGCGGCAGCAACAATGACTTCACAATCTCTAATATATATCTCCTTTATACGAAAA			300
Sbjct 241		AGACAAGCGGCAGCAACAATGACTTCACAATCTCTAATATATATCTCCTTTATACGAAAA			300
Query 301		GATCCAATGGGAATTCATTACAGATATTACTCCATCTGAATTAGAAAACAAGAAATGTGAT			360
Sbjct 301		GATCCAATGGGAATTCATTACAGATATTACTCCATCTGAATTAGAAAACAAGAAATGTGAT			360
Query 361		CCTGCGAAAAAAGGATCAGGATATGGTGGAAACAAGGCCACTTATAATGCATTTCTAGGTA			420
Sbjct 361		CCTGCGAAAAAAGGATCAGGATATGGTGGAAACAAGGCCACTTATAATGCATTTCTAGGTA			420
Query 421		TTTGTAAATTGAATTACAAAATACTTTTAAATTTTGCTCATGAATTCGTGATTATACTGAA			480
Sbjct 421		TTTGTAAATTGAATTACAAAATACTTTTAAATTTTGCTCATGAATTCGTGATTATACTGAA			480
Query 481		GGGGACGATCAAAAAGCTTTGGCGTTAGTAATTAAAAATGTTTTAAATGTATACGAGTGCT			540
Sbjct 481		GGGGACGATCAAAAAGCTTTGGCGTTAGTAATTAAAAATGTTTTAAATGTATACGAGTGCT			540
Query 541		GCCTCAAAGTCGGAAAAAATATTATAGGAGGTAACATATGTTTTAAGTTTAAAAAGAAATTT			600
Sbjct 541		GCCTCAAAGTCGGAAAAAATATTATAGGAGGTAACATATGTTTTAAGTTTAAAAAGAAATTT			600
Query 601		CTTAGTTGGATTATCGGCAGCTTTAATGAGTATTAGCTTGTTTTCGGCAACCGCCTCTGC			660
Sbjct 601		CTTAGTTGGATTATCGGCAGCTTTAATGAGTATTAGCTTGTTTTCGGCAACCGCCTCTGC			660
Query 661		AGCTAGCACAGACTACTGGCAAAAATGGACTGATGGGGCGGTATAGTAAACCGCTGTCAA			720
Sbjct 661		AGCTAGCACAGACTACTGGCAAAAATGGACTGATGGGGCGGTATAGTAAACCGCTGTCAA			720
Query 721		TGGGTCTGGCGGAACTACAGTGTTAATTGGTCTAATACCGGAAATTTTCGTTGTTGGTAA			780
Sbjct 721		TGGGTCTGGCGGAACTACAGTGTTAATTGGTCTAATACCGGAAATTTTCGTTGTTGGTAA			780
Query 781		AGGTTGGACTACAGGTTTCGCCATTTAGGACGATAAACATAAATGCCGGAGTTTGGGCGCC			840
Sbjct 781		AGGTTGGACTACAGGTTTCGCCATTTAGGACGATAAACATAAATGCCGGAGTTTGGGCGCC			840
Query 841		GAATGGCGATGGGTATTTGACTTTGTATGGCTGGACGAGATCGCCCTTCATAGAATATT			900
Sbjct 841		GAATGGCGATGGGTATTTGACTTTGTATGGCTGGACGAGATCGCCCTTCATAGAATATT			900
Query 901		ATGTGTGGATTATGGGGTACTTATAGGCCACCGGAACGTATAAAGGTAAGTAAAGGG			960
Sbjct 901		ATGTGTGGATTATGGGGTACTTATAGGCCACCGGAACGTATAAAGGTAAGTAAAGGG			960
Query 961		TGATGGAGGTACATATGACATATATACAACACACGTTATAACGCACCTTCCATTGATGG			1020
Sbjct 961		TGATGGAGGTACATATGACATATATACAACACACGTTATAACGCACCTTCCATTGATGG			1020
Query 1021		CGATCGCACTACTTTTACGCACTACTGGAGTGTTTCGTGAGCAGAAAGAGACCAACTGGAAG			1080
Sbjct 1021		CGATCGCACTACTTTTACGCACTACTGGAGTGTTTCGTGAGCAGAAAGAGACCAACTGGAAG			1080
Query 1081		TAACGCTACAATCACTTTTACGCACTACTGGAGTGTTTCGTGAGCAGAAAGAGACCAACTGGAAG			1140
Sbjct 1081		TAACGCTACAATCACTTTTACGCACTACTGGAGTGTTTCGTGAGCAGAAAGAGACCAACTGGAAG			1140
Query 1141		GGGCAGTAATTGGGCTTACCAAGTCATGGCGACAGAAAGGATATCAAAGTAGTGGAAAGTTC			1200
Sbjct 1141		GGGCAGTAATTGGGCTTACCAAGTCATGGCGACAGAAAGGATATCAAAGTAGTGGAAAGTTC			1200
Query 1201		TAACGTAACAGTGTGGTAAACAGATCATCCTTAATCAGGGGATCCGGGCCC 1250			
Sbjct 1201		TAACGTAACAGTGTGGTAAACAGATCATCCTTAATCAGGGGATCCGGGCCC 1250			

EK 20. İzolatların Total DNA yoğunluklarının Nanodrop Cihazı ile ölçüm sonuçları

Örnek Adı	Abs260	Abs280	Abs230	260/280	260/230	Yoğ. (ng/ul)	Örnek Türü
D.S.1	8.486	4.522	3.708	1,88	2,29	424,2	dsDNA
D.S.2	0,813	0,48	0,552	1,69	1,47	40,6	dsDNA
D.S. A1	10.024	5.246	5.863	1,91	1,71	501,2	dsDNA
D.S. A2	4.756	2.516	2.484	1,89	1,91	237,7	dsDNA
D.C.1.1	8.959	4.722	4.757	1,9	1,88	447,9	dsDNA
D.C.1.2	17,09	9.911	10.328	1,72	1,65	854,5	dsDNA
D.C.2.1	2.799	1.954	4.068	1,43	0,69	139,9	dsDNA
D.C.2.2	10.809	5.989	4.981	1,8	2,17	540,4	dsDNA
D.C.3	11.294	6.726	6.553	1,68	1,72	564,7	dsDNA
D.C.5	10.583	6.158	5.667	1,72	1,87	529,2	dsDNA
D.C.A1	1.186	0,796	1.831	1,49	0,65	59,3	dsDNA
D.C.A2	13.648	7.921	7,93	1,72	1,72	682,4	dsDNA
D.C.A3	5.231	2.885	3.279	1,81	1,6	261,5	dsDNA
D.C.A4	3.323	1.953	2.114	1,7	1,57	166,1	dsDNA
D.C.A5	10.571	6.126	7.865	1,73	1,34	528,5	dsDNA
D.C.Nb.3.1	0,829	0,612	1.091	1,35	0,76	41,4	dsDNA
D.C.Nb.3.2	0,539	0,439	0,729	1,23	0,74	26,9	dsDNA
D.C.Nb.5.1	1.468	1.074	1.124	1,37	1,31	73,4	dsDNA
D.C.Nb.5.2	0,457	0,379	0,907	1,21	0,5	22,8	dsDNA
D.C.Lb.8	1.386	1.211	4.313	1,14	0,32	69,3	dsDNA
D.C.Nb.8	0,894	0,577	0,645	1,55	1,39	44,7	dsDNA
D.C.Lb.9	1.537	1.089	1.504	1,41	1,02	76,8	dsDNA
D.C.Lb.9.2	0,732	0,564	1.183	1,3	0,62	36,6	dsDNA
D.Nb.Alt.1	0,41	0,33	0,688	1,24	0,6	20,4	dsDNA
D.Nb.Alt.2	4.243	2.712	6.666	1,56	0,64	212,1	dsDNA
D.Nb.Alt.2.2	5.633	4.461	16.208	1,26	0,35	281,6	dsDNA
D.Nb.Alt.4	0,663	0,565	0,731	1,17	0,91	33,1	dsDNA
D.Lb.Alt.6	0,461	0,378	0,82	1,22	0,56	23	dsDNA
D.Lb.Alt.7.1	0,677	0,515	0,889	1,31	0,76	33,8	dsDNA
D.Lb.Alt.7.2	1.239	1.072	4.072	1,16	0,3	61,9	dsDNA
D.Lb.Ust.10.1	0,169	0,171	0,133	0,99	1,27	8,4	dsDNA
D.Lb.Ust.10.2	0,032	0,092	0,085	0,35	0,38	1,5	dsDNA
D.Lb.Ust.11.1	0,55	0,461	0,436	1,19	1,26	27,5	dsDNA
D.Lb.Ust.11.2	0,217	0,235	0,566	0,92	0,38	10,8	dsDNA
Dc.Nb.4	0,232	0,261	0,515	0,89	0,45	11,6	dsDNA
D.Lb.Alt 6	0,199	0,214	1.545	0,93	0,13	9,9	dsDNA
Pc.1	7.798	4.257	4.414	1,83	1,77	389,9	dsDNA

EK 20. (Devam) İzolatların Total DNA yoğunluklarının Nanodrop Cihazı ile ölçüm sonuçları

Örnek Adı	Abs260	Abs280	Abs230	260/280	260/230	Yoğ. (ng/ul)	Örnek Türü
Pc.6	2.361	1.386	1.389	1,7	1,7	118	dsDNA
Pc.Lb 4	0,813	0,607	1.918	1,34	0,42	40,6	dsDNA
Pc.Lb 5	0,697	0,575	1.783	1,21	0,39	34,8	dsDNA
Pc.Lb 6	2.348	1.781	5,51	1,32	0,43	117,3	dsDNA
Pc.Nb 7	0,749	0,651	1.596	1,15	0,47	37,4	dsDNA
P.Lb.Alt 1	0,402	0,389	0,923	1,03	0,44	20	dsDNA
P.Nb.Alt 3	0,223	0,23	0,691	0,97	0,32	11,1	dsDNA
P.C.A1	11,07	6.397	6.711	1,73	1,65	553,5	dsDNA
P.C.A2	10.994	5.727	6.069	1,92	1,81	549,7	dsDNA
P.C.A3	18.027	9.643	10.571	1,87	1,71	901,4	dsDNA
P.C.A4	7.649	4.077	3.878	1,88	1,97	382,4	dsDNA
P.K.A. Ust	0,163	0,172	0,146	0,95	1,12	8,1	dsDNA
P.C İlk	8.882	5.041	4.652	1,76	1,91	444,1	dsDNA
H.C.1	6.216	3,35	3.307	1,86	1,88	310,8	dsDNA
Hista 2	3.461	1.864	1.903	1,86	1,82	173	dsDNA
H.C.2.2	2.467	1.328	1.685	1,86	1,46	123,3	dsDNA
H.C.3	0,297	0,316	0,312	0,94	0,95	14,8	dsDNA
H.C.4	3.786	2.139	2.458	1,77	1,54	189,3	dsDNA
Guclu 1	1.067	0,742	1.416	1,44	0,75	53,3	dsDNA
Guclu 2	1.442	0,906	1.305	1,59	1,1	72,1	dsDNA
Dargecit 1	3.576	2.308	4.422	1,55	0,81	178,8	dsDNA
Dargecit 2	1.583	1.112	2.034	1,42	0,78	79,1	dsDNA
Hista 1	2.521	1.726	3.099	1,46	0,81	126	dsDNA
Hista 3	0,323	0,294	0,485	1,1	0,67	16,1	dsDNA
D.Nb.Alt 1	1.588	1.264	4.375	1,26	0,36	79,4	dsDNA
K.C. Nb 1	0,2	0,275	0,621	0,73	0,32	10	dsDNA
K.C. Nb 2	0,104	0,172	0,231	0,6	0,45	5,1	dsDNA
K.C. Nb 3	0,321	0,286	0,577	1,12	0,56	16	dsDNA
K.C. Nb 4	-0,042	0,076	-0,025	-0,55	1,68	-2,1	dsDNA
K.C. Nb 5	0,432	0,357	0,93	1,21	0,46	21,6	dsDNA
Pasin Su 1	0,539	0,33	0,531	1,63	1,02	26,9	dsDNA
Pasin Su 2	0,519	0,335	0,432	1,55	1,2	25,9	dsDNA
Pasin Su 3	0,446	0,247	0,188	1,81	2,37	22,3	dsDNA
Pasin Camur 4	1.098	0,631	0,75	1,74	1,46	54,9	dsDNA

EK 20. (Devam) İzolatların Total DNA yoğunluklarının Nanodrop Cihazı ile ölçüm sonuçları

Örnek Adı	Abs260	Abs280	Abs230	260/280	260/230	Yoğ. (ng/ul)	Örnek Türü
Pasin Camur 4.2	6.676	3.639	3.221	1,83	2,07	333,7	dsDNA
Pasin Camur 5	0,699	0,383	0,379	1,83	1,84	34,9	dsDNA
Pasin Camur 6	0,495	0,285	0,272	1,74	1,82	24,7	dsDNA
Pasin Camur 7	0,576	0,338	0,226	1,7	2,55	28,8	dsDNA
Pasin Camur 2	2.056	1.123	0,953	1,83	2,16	102,8	dsDNA
Pasin Camur 3	10.539	5.889	6,36	1,79	1,66	526,9	dsDNA
Pasin Kanlı Ag. Su	0,833	0,515	0,666	1,62	1,25	41,6	dsDNA
Kopru Su 1	0,55	0,302	0,333	1,82	1,65	27,5	dsDNA
Kopru Camur 2	1.131	0,713	0,94	1,59	1,2	56,5	dsDNA
Kopru Camur 3	0,626	0,347	0,512	1,8	1,22	31,3	dsDNA
Kopru Camur 4	0,614	0,365	0,693	1,68	0,89	30,6	dsDNA
Kopru Camur 5	0,7	0,379	0,866	1,85	0,81	34,9	dsDNA
Pasin Camur 4.2	6.676	3.639	3.221	1,83	2,07	333,7	dsDNA
Pasin Camur 5	0,699	0,383	0,379	1,83	1,84	34,9	dsDNA
Pasin Camur 6	0,495	0,285	0,272	1,74	1,82	24,7	dsDNA
Pasin Camur 7	0,576	0,338	0,226	1,7	2,55	28,8	dsDNA
Pasin Camur 2	2.056	1.123	0,953	1,83	2,16	102,8	dsDNA
Pasin Camur 3	10.539	5.889	6,36	1,79	1,66	526,9	dsDNA

EK 21. *B. subtilis* 16s rRNA baz dizisi

BTX1

GTACATGCAGTCGAGCGGACAGATGGGAGTTCTTGCTCCCTGATGTTAGCGGGCGGACGGGTGAGTAACAC
GTGGGTAACCTGCCTGTAAGACTGGGATAACTCCGGGAAAACCGGGGCTAATACCGGATGGTTAAGTTTGA
ACCGCATGGTTCAAACATAAAAAGGTGGCTTCGGCTACCACTTACAGATGGACCCGCGGCGCATTAGCTAG
TTGGTGAGGTAACGGCTCACCAAGGCAACGATGCGTAGCCGACCTGAGAGGGTGATCGGCCACACTGGGA
CTGAGACACGGCCCAGACTCCTACGGGAGGCAGCAGTAGGGAATCTTCCGCAATGGGACGAAAAGTCTGAC
GGAGCAACGCCGCGTGAGTGATGAAGGTTTTTCGGATCGTAAAAGCTCTGTTGTTAGGGAAGAACAAGTAC
CGTTCGAATAGGGCGGTACCTTGACGGTACCTAACCAGAAAAGCCACGGCTAACTACGTGCCAGCAGCCGC
GGTAATACGTAGGTGGCAAGCGTTGTCCGGAATTATTGGGCGTAAAGGGCTCGCAGGCGGTTTTCTTAAGT
CTGATGATGTGAAAGCCCCCGCTCAACCGGGGAGGGTCATTGGAAAAGTGGGAACTTGAGTGCAGAAGA
GGAGAGTGGAATTCACGTGTAGCGGTGAAATGCGTAGAGATGTGGAGGAACACCAAGTGGCGAAGGCGAC
TCTCTGGTCTGTAAGTACGCTGAGGAGCGAAAAGCGTGGGGAGCGAACAGGATTAGATACCCCTGGTAGTA
TGCCACGCCGTAAACGATGAGTGCTAAGTGTAGGGGGTTTTTCCCGCCCTTAGTGCTGCAGCTAACGCA
TTAAGCACTCCGCCTGGGGGAGTACGGTCGCAAGACTGAAAAGTCAAAGGAATTTGACGGGGGCCCGCACAA
CCGGTGGAGCATGTGGTTAATTCGAAGCAACGCGAAGAACCCTACCAGGTCTTGACATCCTCTGACAA
CCTAGAGATAGGACGTCCTCCCTTCGGGGCAGAGTGACAGGTGGTGCATGGTTGTCGTCAGTCTGTCCT
GAGATGTTCCGGGGTAAGTCCCCCAACGAGCGCAACCCTTGATCTTATTTTGGCCACCATTCAGTTGGGC
ACTCTAAGGGGACTGCCGGTGACAACCGGAGGAAGGGGGGGAGGAAAAGCCAAAAAATCCAGGCGCCCT
ATGAACAGGGGGGACACACTGGTTTTAAATGGAGAGAAAAAAGGGGGCGGAAAACCGCGGGGTTAGCCAA
CCCACCAAAAATGTTCTCATTTTTCGAGCGCAGTCTGCAACTCGACTGCGTGAAGCTGGAATCGCTAGTAA
TCGCGGATCAGCATGCCGCGGTGAATACGTTCCCGGGCCTTGATACACACCGCCCGTCACACCACGAG

BTX2,

ACGTACATGCAGTCGAGCGGACAGATGGGAGTTCTTGCTCCCTGATGTTAGCGGGCGGACGGGTGAGTAAC
ACGTGGGTAACCTGCCTGTAAGACTGGGATAACTCCGGGAAAACCGGGGCTAATACCGGATGGTTAAGTTT
GAACCGCATGGTTCAAACATAAAAAGGTGGCTTCGGCTACCACTTACAGATGGACCCGCGGCGCATTAGCT
AGTTGGTGAGGTAACGGCTCACCAAGGCAACGATGCGTAGCCGACCTGAGAGGGTGATCGGCCACACTGG
GACTGAGACACGGCCCAGACTCCTACGGGAGGCAGCAGTAGGGAATCTTCCGCAATGGGACGAAAAGTCTG
ACGGAGCAACGCCGCGTGAGTGATGAAGGTTTTTCGGATCGTAAAAGCTCTGTTGTTAGGGAAGAACAAGT
ACCGTTTCAATAGGGCGGTACCTTGACGGTACCTAACCAGAAAAGCCACGGCTAACTACGTGCCAGCAGCC
GCGGTAATACGTAGGTGGCAAGCGTTGTCCGGAATTATTGGGCGTAAAGGGCTCGCAGGCGGTTTTCTTAA
GCTCTGATGATGTGAAAGCCCCCGCTCAACCGGGGAGGGTCATTGGAAAAGTGGGAACTTGAGTGCAGAA
GAGGAGAGTGGAATTCACGTGTAGCGGTGAAATGCGTAGAGATGTGGAGGAACACCAAGTGGCGAAGGCG
ACTCTCTGGTCTGTAAGTACGCTGAGGAGCGAAAAGCGTGGGGAGCGAACAGGATTAGATACCCCTGGTAG
TATGCCACGCCGTAAACGATGAGTGCTAAGTGTAGGGGGTTTTTCCCGCCCTTAGTGCTGCAGCTAACG
CATTAAAGCACTCCGCCTGGGGGAGTACGGTCGCAAGACTGAAAAGTCAAAGGAATTTGACGGGGGCCCGCAC
AAGCGGTGGAGCATGTGGTTAATTCGAAGCAACGCGAAGAACCCTACCAGGTCTTGACATCCTCTGACA
ATCCTAGAGATAGGACGTCCTTCGGGGCAGAGTGACAGGTGGTGCATGGTTGTCGTCAGTCTGTCGTC
CTGAGATGTTCCGGGGTAAGTCCCCCAACGAGCGCAACCCTTGATCTTATTTTGGCCACCATTCAGTTGG
GCACTCTAAGGGGACTGCCGGTGACAACCGGAGGAAGGGGGGGAGGAAAAGCCAAAAAATCCAGGCGCC
CTATGAACAGGGGGGACACACTGGTTTTAAATGGAGAGAAAAAAGGGGGCGGAAAACCGCGGGGTTAGCC
AACCACCAAAAATGTTCTCATTTTTCGAGCGCAGTCTGCAACTCGACTGCGTGAAGCTGGAATCGCTAGT
AATCGCGGATCAGCATGCCGCGGTGAATACGTTCCCGGGCCTTGATACACACCGCCCGTCACACCACGAG

BTX3,

GTACATGCAGTCGAGCGGACAGATGGGAGTTCTTGCTCCCTGATGTTAGCGGGCGGACGGGTGAGTAACAC
GTGGGTAACCTGCCTGTAAGACTGGGATAACTCCGGGAAAACCGGGGCTAATACCGGATGGTTAAGTTTGA
ACCGCATGGTTCAAACATAAAAAGGTGGCTTCGGCTACCACTTACAGATGGACCCGCGGCGCATTAGCTAG
TTGGTGAGGTAACGGCTCACCAAGGCAACGATGCGTAGCCGACCTGAGAGGGTGATCGGCCACACTGGGA
CTGAGACACGGCCCAGACTCCTACGGGAGGCAGCAGTAGGGAATCTTCCGCAATGGGACGAAAAGTCTGAC
GGAGCAACGCCGCGTGAGTGATGAAGGTTTTTCGGATCGTAAAAGCTCTGTTGTTAGGGAAGAACAAGTAC
CGTTCGAATAGGGCGGTACCTTGACGGTACCTAACCAGAAAAGCCACGGCTAACTACGTGCCAGCAGCCGC
GGTAATACGTAGGTGGCAAGCGTTGTCCGGAATTATTGGGCGTAAAGGGCTCGCAGGCGGTTTTCTTAAGT
CTGATGATGTGAAAGCCCCCGCTCAACCGGGGAGGGTCATTGGAAAAGTGGGAACTTGAGTGCAGAAGA
GGAGAGTGGAATTCACGTGTAGCGGTGAAATGCGTAGAGATGTGGAGGAACACCAAGTGGCGAAGGCGAC
TCTCTGGTCTGTAAGTACGCTGAGGAGCGAAAAGCGTGGGGAGCGAACAGGATTAGATACCCCTGGTAGTA

TGCCACGCCGTAAACGATGAGTGCTAAGTGTAGGGGGTTTTCCCGCCCTTAGTGCTGCAGCTAACGCA
TTAAGCACTCCGCCTGGGGGAGTACGGTCGCAAGACTGAAACTCAAAGGAATTGACGGGGGCCGCACAA
GCGGTGGAGCATGTGGTTTAATTCGAAGCAACGCGAAGAACCTTACCAGGTCTTGACATCCTCTGACAAT
CCTAGAGATAGGACGTCCCCTTCGGGGGCAGAGTGACAGGTGGTGCATGGTTGTGCTCAGCTCGTGTCCCT
GAGATGTTTCGGGGGTAAGTCCCCCAACGAGCGCAACCCCTTGATCTTATTTTGCCACCATTGAGTTGGGC
ACTCTAAGGGGACTGCCGGTGACAACCGGAGGAAGGGGGGGGAGGAAAAGCCAAAAAATCCAGGCGCCCT
ATGAACAGGGGGGACACACTGGTTTAAATGGAGAGAAAAAAGGGGGCGGAAACCCGCGGGGTTAGCCAA
CCCACCAAAAATGTTCTCATTTTTCGAGCGCAGTCTGCAACTCGACTGCGTGAAGCTGGAATCGCTAGTAA
TCGCGGATCAGCATGCCGCGGTGAATACGTTCCCGGGCCTTGATACACACCGCCCGTCACACCACGAGC

BTX4,

TACGTACATGCAGTCGAGCGGACAGATGGGAGTTCTTGCTCCCTGATGTTAGCGGCGGACGGGTGAGTAA
CACGTGGGTAACCTGCCTGTAAGACTGGGATAACTCCGGGAAACCGGGGCTAATACCGGATGGTTAAGTT
TGAACCGCATGGTTCAAACATAAAAGGTGGCTTCGGCTACCACTTACAGATGGACCCGCGGCATTAGC
TAGTTGGTGAGGTAACGGCTCACCAAGGCAACGATGCGTAGCCGACCTGAGAGGGTGATCGGCCACACTG
GGACTGAGACACGGCCCAGACTCCTACGGGAGGCAGCAGTAGGGAATCTTCCGCAATGGGACGAAAGTCT
GACGGAGCAACGCCGCGTGAGTGATGAAGTTTTTCGGATCGTAAAAGCTCTGTTGTTAGGGAAGAACAAG
TACCGTTCGAATAGGGCGGTACCTTGACGGTACCTAACAGAAAAGCCACGGCTAACTACGTGCCAGCAGC
CGCGGTAATACGTAGGTGGCAAGCGTTGTCCGGAATTATTGGGCGTAAAGGGCTCGCAGGCGGTTTCTTA
AGTCTGATGATGTGAAAGCCCCCGGCTCAACCGGGGAGGGTCATTGGAAACTGGGGAACCTGAGTGCAGA
AGAGGAGAGTGGAATTCCACGTGTAGCGGTGAAATGCGTAGAGATGTGGAGGAACACCAGTGGCGAAGGC
GACTCTCTGGTCTGTAACCTGACGCTGAGGAGCGAAAAGCGTGGGGAGCGAACAGGATTAGATAACCTGGTA
GTATGCCACGCCGTAAACGATGAGTGCTAAGTGTAGGGGGTTTTCCCGCCCTTAGTGCTGCAGCTAAC
GCATTAAGCACTCCGCCTGGGGGAGTACGGTCGCAAGACTGAAACTCAAAGGAATTGACGGGGGCCGCA
CAAGCGGTGGAGCATGTGGTTTAATTCGAAGCAACGCGAAGAACCCTTACCAGGTCTTGACATCCTCTGAC
AATCCTAGAGATAGGACGTCCCCTTCGGGGGCAGAGTGACAGGTGGTGCATGGTTGTGCTCAGTCTGTGT
CCTGAGATGTTTCGGGGGTAAGTCCCCCAACGAGCGCAACCCCTTGATCTTATTTTGCCACCATTGAGTTG
GGCACTCTAAGGGGACTGCCGGTGACAACCGGAGGAAGGGGGGGGAGGAAAAGCCAAAAAATCCAGGCGC
CCTATGAACAGGGGGGACACACTGGTTTAAATGGAGAGAAAAAAGGGGGCGGAAACCCGCGGGGTTAGC
CAACCCACCAAAAATGTTCTCATTTTTCGAGCGCAGTCTGCAACTCGACTGCGTGAAGCTGGAATCGCTAG
TAATCGCGGATCAGCATGCCGCGGTGAATACGTTCCCGGGCCTTGATACACACCGCCCGTCACACCACGAG
CA

BTX5,

AAGTACATGCAGTCGAGCGGACAGATGGGAGTTCTTGCTCCCTGATGTTAGCGGCGGACGGGTGAGTAA
ACGTGGGTAACCTGCCTGTAAGACTGGGATAACTCCGGGAAACCGGGGCTAATACCGGATGGTTAAGTTT
GAACCGCATGGTTCAAACATAAAAGGTGGCTTCGGCTACCACTTACAGATGGACCCGCGGCATTAGCT
AGTTGGTGAGGTAACGGCTCACCAAGGCAACGATGCGTAGCCGACCTGAGAGGGTGATCGGCCACACTGG
GACTGAGACACGGCCCAGACTCCTACGGGAGGCAGCAGTAGGGAATCTTCCGCAATGGGACGAAAAGTCTG
ACGGAGCAACGCCGCGTGAGTGATGAAGTTTTTCGGATCGTAAAAGCTCTGTTGTTAGGGAAGAACAAGT
ACCGTTCGAATAGGGCGGTACCTTGACGGTACCTAACAGAAAAGCCACGGCTAACTACGTGCCAGCAGCC
GCGGTAATACGTAGGTGGCAAGCGTTGTCCGGAATTATTGGGCGTAAAGGGCTCGCAGGCGGTTTCTTAA
GTCTGATGATGTGAAAGCCCCCGGCTCAACCGGGGAGGGTCATTGGAAACTGGGGAACTTGAGTGCAGAA
GAGGAGAGTGGAATTCCACGTGTAGCGGTGAAATGCGTAGAGATGTGGAGGAACACCAGTGGCGAAGGCG
ACTCTCTGGTCTGTAACCTGACGCTGAGGAGCGAAAAGCGTGGGGAGCGAACAGGATTAGATAACCTGGTAG
TATGCCACGCCGTAAACGATGAGTGCTAAGTGTAGGGGGTTTTCCCGCCCTTAGTGCTGCAGCTAACG
CATTAAAGCACTCCGCCTGGGGGAGTACGGTCGCAAGACTGAAACTCAAAGGAATTGACGGGGGCCGCAC
AAGCGGTGGAGCATGTGGTTTAATTCGAAGCAACGCGAAGAACCCTTACCAGGTCTTGACATCCTCTGACA
ATCCTAGAGATAGGACGTCCCCTTCGGGGGCAGAGTGACAGGTGGTGCATGGTTGTGCTCAGCTCGTGTG
CTGAGATGTTTCGGGGGTAAGTCCCCCAACGAGCGCAACCCCTTGATCTTATTTTGCCACCATTGAGTTGG
GCACTCTAAGGGGACTGCCGGTGACAACCGGAGGAAGGGGGGGGAGGAAAAGCCAAAAAATCCAGGCGCC
CTATGAACAGGGGGGACACACTGGTTTAAATGGAGAGAAAAAAGGGGGCGGAAACCCGCGGGGTTAGCC
AACCCACCAAAAATGTTCTCATTTTTCGAGCGCAGTCTGCAACTCGACTGCGTGAAGCTGGAATCGCTAGT
AATCGCGGATCAGCATGCCGCGGTGAATACGTTCCCGGGCCTTGATACACACCGCCCGTCACACCACGAG

BTX6,

GTACATGCAGTCGAGCGGACAGATGGGAGTTCTTGCTCCCTGATGTTAGCGGGCGGACGGGTGAGTAACAC
GTGGGTAACCTGCCTGTAAGACTGGGATAACTCCGGGAAACCGGGGCTAATACCGGATGGTTAAGTTTGA
ACCGCATGGTTCAAACATAAAAAGGTGGCTTCGGCTACCACTTACAGATGGACCCGCGGCATTAGCTAG
TTGGTGAGGTAACGGCTCACCAAGGCAACGATGCGTAGCCGACCTGAGAGGGTGATCGGCCACACTGGGA
CTGAGACACGGCCAGACTCCTACGGGAGGCAGCAGTAGGGAATCTTCCGCAATGGGACGAAAGTCTGAC
GGAGCAACGCCCGCTGAGTGATGAAGGTTTTTCGGATCGTAAAAGCTCTGTTGTTAGGGAAGAACAAGTAC
CGTTTCGAATAGGGCGGTACCTTGACGGTACCTAACCAGAAAAGCCACGGCTAACTACGTGCCAGCAGCCGC
GGTAATACGTAGGTGGCAAGCGTTGTCCGGAATTATTGGGCGTAAAAGGGCTCGCAGGCGGTTTTCTTAAGT
CTGATGATGTGAAAGCCCCCGCTCAACCGGGGAGGGTCATTGGAAACTGGGGAACTTGAGTGCAGAAGA
GGAGAGTGGAATTCACGTGTAGCGGTGAAATGCGTAGAGATGTGGAGGAACACCAGTGGCGAAGGCGAC
TCTCTGGTCTGTAAGTACGCTGAGGAGCGAAAGCGTGGGAGCGAACAGGATTAGATACCCTGGTAGTA
TGCCACGCCGTAACGATGAGTGCTAAGTGTTAGGGGGTTTTCCCGCCCTTAGTGCTGCAGCTAACGCA
TTAAGCACTCCGCCTGGGGGAGTACGGTCGCAAGACTGAAACTCAAAGGAATTGACGGGGGCCGCACAA
GCGGTGGAGCATGTGGTTTTAATTCGAAGCAACCGGAAGAACCTTACCAGGTCTTGACATCCCTGACAAT
CCTAGAGATAGGACGTCCCCTTCGGGGCAGAGTGACAGGTGGTGCATGGTTGTCGTCAGCTCGTGTCCCT
GAGATGTTCCGGGGTAAGTCCCCCAACGAGCGCAACCCTTGATCTTATTTTGCCACCATTGAGTTGGGC
ACTCTAAGGGGACTGCCGGTGACAACCGGAGGAAGGGGGGGAGGAAAAGCCAAAAAATCCAGGCGCCCT
ATGAACAGGGGGGACACACTGGTTTTAAATGGAGAGAAAAAAGGGGGCGGAAACCCGCGGGTTAGCCAA
CCCACAAAAATGTTCTCATTTTTCGAGCGCAGTCTGCAACTCGACTGCGTGAAGCTGGAATCGCTAGTAA
TCGCGGATCAGCATGCCCGGTGAATACGTTCCCGGGCCTTGATACACACCGCCCGTCACACCACGAG

BTX7,

ACATGCAGTCGAGCGGACAGATGGGAGTTCTTGCTCCCTGATGTTAGCGGGCGGACGGGTGAGTAACACGT
GGGTAACCTGCCTGTAAGACTGGGATAACTCCGGGAAACCGGGGCTAATACCGGATGGTTAAGTTTGAAC
CGCATGGTTCAAACATAAAAAGGTGGCTTCGGCTACCACTTACAGATGGACCCGCGGCATTAGCTAGTT
GGTGAGGTAACGGCTCACCAAGGCAACGATGCGTAGCCGACCTGAGAGGGTGATCGGCCACACTGGGACT
GAGACACGGCCAGACTCCTACGGGAGGCAGCAGTAGGGAATCTTCCGCAATGGGACGAAAGTCTGACGG
AGCAACGCCCGCTGAGTGATGAAGGTTTTTCGGATCGTAAAAGCTCTGTTGTTAGGGAAGAACAAGTACCG
TTCGAATAGGGCGGTACCTTGACGGTACCTAACCAGAAAAGCCACGGCTAACTACGTGCCAGCAGCCGCGG
TAATACGTAGGTGGCAAGCGTTGTCCGGAATTATTGGGCGTAAAAGGGCTCGCAGGCGGTTTTCTTAAGTCT
GATGATGTGAAAGCCCCCGCTCAACCGGGGAGGGTCATTGGAAACTGGGGAACTTGAGTGCAGAAGAGG
AGAGTGGAATTCACGTGTAGCGGTGAAATGCGTAGAGATGTGGAGGAACACCAGTGGCGAAGGCGACTC
TCTGGTCTGTAAGTACGCTGAGGAGCGAAAGCGTGGGAGCGAACAGGATTAGATACCCTGGTAGTATG
CCACGCCGTAACGATGAGTGCTAAGTGTTAGGGGGTTTTCCCGCCCTTAGTGCTGCAGCTAACGCATT
AAGCACTCCGCCTGGGGGAGTACGGTCGCAAGACTGAAACTCAAAGGAATTGACGGGGGCCGCACAAGC
GGTGAGCATGTGGTTTTAATTCGAAGCAACCGGAAGAACCTTACCAGGTCTTGACATCCCTGACAATCC
TAGAGATAGGACGTCCCCTTCGGGGCAGAGTGACAGGTGGTGCATGGTTGTCGTCAGCTCGTGTCCCTGA
GATGTTCCGGGGTAAGTCCCCCAACGAGCGCAACCCTTGATCTTATTTTGCCACCATTGAGTTGGGCAC
TCTAAGGGGACTGCCGGTGACAACCGGAGGAAGGGGGGGAGGAAAAGCCAAAAAATCCAGGCGCCCTAT
GAACAGGGGGGACACACTGGTTTTAAATGGAGAGAAAAAAGGGGGCGGAAACCCGCGGGTTAGCCAACC
CACCAAAAAATGTTCTCATTTTTCGAGCGCAGTCTGCAACTCGACTGCGTGAAGCTGGAATCGCTAGTAA
TCGCGGATCAGCATGCCCGGTGAATACGTTCCCGGGCCTTGATACACACCGCCCGTCACACCACGAG

BTX8,

CATGCAGTCGAGCGGACAGATGGGAGTTCTTGCTCCCTGATGTTAGCGGCGGACGGGTGAGTAACACGTG
GGTAACCTGCCTGTAAGACTGGGATAACTCCGGGAAACCGGGGCTAATACCGGATGGTTAAGTTTGAAC
GCATGGTTCAAACATAAAAAGGTGGCTTCGGCTACCACTTACAGATGGACCCGCGGCATTAGCTAGTTG
GTGAGGTAACGGCTCACCAAGGCAACGATGCGTAGCCGACCTGAGAGGGTGATCGGCCACACTGGGACTG
AGACACGGCCCAGACTCCTACGGGAGGCAGCAGTAGGGAATCTTCCGCAATGGGACGAAAGTCTGACGGA
GCAACGCCGCGTGAGTGATGAAGTTTTTCGGATCGTAAAAGCTCTGTTGTTAGGGAAGAACAAGTACCGT
TCGAATAGGGCGGTACCTTGACGGTACCTAACCCAGAAAAGCCACGGCTAACTACGTGCCAGCAGCCGCGGT
AATACGTAGGTGGCAAGCGTTGTCCGGAATTATTGGGCGTAAAAGGCTCGCAGGCGGTTTCTTAAGTCTG
ATGATGTGAAAGCCCCCGCTCAACCGGGGAGGGTCATTGGAAACTGGGGAACCTGAGTGCAGAAGAGGA
GAGTGAATTCACGTGTAGCGGTGAAATGCGTAGAGATGTGGAGGAACACCAGTGGCGAAGGCGACTCT
CTGGTCTGTAACCTGACGCTGAGGAGCGAAAGCGTGGGAGCGAACAGGATTAGATACCTGGTAGTATGC
CACGCCGTAAACGATGAGTGCTAAGTGTTAGGGGGTTTTCCCGCCCCCTAGTGCTGCAGCTAACGCATTA
AGCACTCCGCTGGGGGAGTACGGTCGCAAGACTGAAACTCAAAGGAATTGACGGGGGCCCGCACAAGCG
GTGGAGCATGTGGTTTAATTCGAAGCAACCGGAAGAACCTTACCAGGTCTTGACATCCTCTGACAATCCT
AGAGATAGGACGTCCCTTCGGGGGCGAGGTGACAGGTGGTGCATGGTTGTCGTCAGCTCGTGTCCCTGAG
ATGTTCCGGGGGTAAGTCCCCCAACGAGCGCAACCCTTGATCTTATTTTGCACCATTCAGTTGGGCACT
CTAAGGGGACTGCCGGTGACAACCGGAGGAAGGGGGGGGAGGAAAAGCCAAAAAATCCAGGCGCCCTATG
AACAGGGGGGACACACTGGTTTAAATGGAGAGAAAAAAGGGGGCGGAAACCCGCGGGGTTAGCCAACCC
ACCAAAAATGTTCTCATTTCGAGCGCAGTCTGCAACTCGACTGCGTGAAGCTGGAATCGCTAGTAATCG
CGGATCAGCATGCCGCGGTGAATACGTTCCCGGGCCTTGACACACCGCCCGTACACCACGAG

BTX9,

GTACATGCAGTCGAGCGGACAGATGGGAGTTCTTGCTCCCTGATGTTAGCGGCGGACGGGTGAGTAACAC
GTGGGTAACCTGCCTGTAAGACTGGGATAACTCCGGGAAACCGGGGCTAATACCGGATGGTTAAGTTTGA
ACCGCATGGTTCAAACATAAAAAGGTGGCTTCGGCTACCACTTACAGATGGACCCGCGGCATTAGCTAG
TTGGTGAGGTAACGGCTCACCAAGGCAACGATGCGTAGCCGACCTGAGAGGGTGATCGGCCACACTGGGA
CTGAGACACGGCCCAGACTCCTACGGGAGGCAGCAGTAGGGAATCTTCCGCAATGGGACGAAAAGTCTGAC
GGAGCAACGCCGCGTGAGTGATGAAGTTTTTCGGATCGTAAAAGCTCTGTTGTTAGGGAAGAACAAGTAC
CGTTCGAATAGGGCGGTACCTTGACGGTACCTAACCCAGAAAAGCCACGGCTAACTACGTGCCAGCAGCCGC
GGTAATACGTAGGTGGCAAGCGTTGTCCGGAATTATTGGGCGTAAAAGGCTCGCAGGCGGTTTCTTAAGT
CTGATGATGTGAAAGCCCCCGCTCAACCGGGGAGGGTCATTGGAAACTGGGGAACCTGAGTGCAGAAGA
GGAGAGTGAATTCACGTGTAGCGGTGAAATGCGTAGAGATGTGGAGGAACACCAGTGGCGAAGGCGAC
TCTCTGGTCTGTAACCTGACGCTGAGGAGCGAAAGCGTGGGAGCGAACAGGATTAGATACCTGGTAGTA
TGCCACGCCGTAAACGATGAGTGCTAAGTGTTAGGGGGTTTTCCCGCCCCCTAGTGCTGCAGCTAACGCA
TTAAGCACTCCGCCTGGGGGAGTACGGTCGCAAGACTGAAACTCAAAGGAATTGACGGGGGCCCGCACAA
CCGGTGGAGCATGTGGTTTAATTCGAAGCAACCGGAAGAACCTTACCAGGTCTTGACATCCTCTGACAAT
CCTAGAGATAGGACGTCCCCTTCGGGGGCGAGGTGACAGGTGGTGCATGGTTGTCGTCAGTCTGTGTCCT
GAGATGTTCCGGGGTAAGTCCCCCAACGAGCGCAACCCTTGATCTTATTTTGCACCATTCAGTTGGGC
ACTCTAAGGGGACTGCCGGTGACAACCGGAGGAAGGGGGGGGAGGAAAAGCCAAAAAATCCAGGCGCCCT
ATGAACAGGGGGGACACACTGGTTTAAATGGAGAGAAAAAAGGGGGCGGAAACCCGCGGGGTTAGCCAA
CCCACCAAAAATGTTCTCATTTCGAGCGCAGTCTGCAACTCGACTGCGTGAAGCTGGAATCGCTAGTAA
TCGCGGATCAGCATGCCGCGGTGAATACGTTCCCGGGCCTTGACACACCGCCCGTACACCACGAGAA

BTX10,

TGTACATGCAGTCGAGCGGACAGATGGGAGTTCTTGCTCCCTGATGTTAGCGGCGGACGGGTGAGTAACA
CGTGGGTAACCTGCCTGTAAGACTGGGATAACTCCGGGAAACCGGGGCTAATACCGGATGGTTAAGTTTG
AACCGCATGGTTCAAACATAAAAAGGTGGCTTCGGCTACCCTTACAGATGGACCCGCGGCATTAGCTA
GTTGGTGAGGTAACGGCTCACCAAGGCAACGATGCGTAGCCGACCTGAGAGGGTGATCGGCCACACTGGG
ACTGAGACACGGCCAGACTCCTACGGGAGGCAGCAGTAGGGAATCTTCCGCAATGGGACGAAAAGTCTGA
CGGAGCAACGCCGCGTGAGTGATGAAGTTTTTCGGATCGTAAAAGCTCTGTTGTTAGGGAAGAACAAGTA
CCGTTTCGAATAGGGCGGTACCTTGACGGTACCTAACCCAGAAAAGCCACGGCTAACTACGTGCCAGCAGCCG
CGGTAATACGTAGGTGGCAAGCGTTGTCCGGAATTATTGGGCGTAAAAGGCTCGCAGGCGGTTTTCTTAAG
TCTGATGATGTGAAAGCCCCCGGCTCAACCGGGGAGGGTCATTGGAAACTGGGGAACCTGAGTGCAGAAG
AGGAGAGTGAATTCACGTGTAGCGGTGAAATGCGTAGAGATGTGGAGGAACACCAGTGGCGAAGGCGA
CTCTCTGGTCTGTAACCTGACGCTGAGGAGCGAAAAGCGTGGGGAGCGAACAGGATTAGATACCCTGGTAGT
ATGCCACGCCGTAAACGATGAGTGCTAAGTGTTAGGGGGTTTTCCCGCCCTTAGTGCTGCAGCTAACGC
ATTAAGCACTCCGCTGGGGGAGTACGGTCGCAAGACTGAAACTCAAAGGAATTGACGGGGGCCCGCACA
AGCGGTGGAGCATGTGGTTTTAATTCGAAGCAACCGGAAGAACCCTTACCAGGTCTTGACATCCCTTGACAA
TCCTAGAGATAGGACGTCCCTTCGGGGGCGAGGTGACAGGTGGTGCATGGTTGTCGTCAGCTCGTGTCC
TGAGATGTTCCGGGGTAAGTCCCCCAACGAGCGCAACCCTTGATCTTATTTTGCACCATTCAGTTGGG
CACTCTAAGGGGACTGCCGGTGACAACCGGAGGAAGGGGGGGGAGGAAAAGCCAAAAAATCCAGGCGCCC
TATGAACAGGGGGGACACACTGGTTTTAAATGGAGAGAAAAAAGGGGGCGGAAAACCCGCGGGTTAGCCA
ACCCACCAAAAATGTTCTCATTTTTCGAGCGCAGTCTGCAACTCGACTGCGTGAAGCTGGAATCGCTAGTA
ATCGCGGATCAGCATGCCGCGGTGAATACGTTCCCGGGCCTTGACACACCGCCCGTACACCACGAGT

BTX11,

ACATGCAGTCGAGCGGACAGATGGGAGTTCTTGCTCCCTGATGTTAGCGGCGGACGGGTGAGTAACACGT
GGGTAACCTGCCTGTAAGACTGGGATAACTCCGGGAAACCGGGGCTAATACCGGATGGTTAAGTTTGAAC
CGCATGGTTCAAACATAAAAAGGTGGCTTCGGCTACCCTTACAGATGGACCCGCGGCATTAGCTAGTT
GGTGAGGTAACGGCTCACCAAGGCAACGATGCGTAGCCGACCTGAGAGGGTGATCGGCCACACTGGGACT
GAGACACGGCCAGACTCCTACGGGAGGCAGCAGTAGGGAATCTTCCGCAATGGGACGAAAAGTCTGACGG
AGCAACGCCGCGTGAGTGATGAAGTTTTTCGGATCGTAAAAGCTCTGTTGTTAGGGAAGAACAAGTACCG
TTCGAATAGGGCGGTACCTTGACGGTACCTAACCCAGAAAAGCCACGGCTAACTACGTGCCAGCAGCCGCGG
TAATACGTAGGTGGCAAGCGTTGTCCGGAATTATTGGGCGTAAAAGGCTCGCAGGCGGTTTTCTTAAGTCT
GATGATGTGAAAGCCCCCGGCTCAACCGGGGAGGGTCATTGGAAACTGGGGAACCTGAGTGCAGAAGAGG
AGAGTGGAATTCACGTGTAGCGGTGAAATGCGTAGAGATGTGGAGGAACACCAGTGGCGAAGGCGACTC
TCTGGTCTGTAACCTGACGCTGAGGAGCGAAAAGCGTGGGGAGCGAACAGGATTAGATACCCTGGTAGTATG
CCACGCCGTAAACGATGAGTGCTAAGTGTTAGGGGGTTTTCCCGCCCTTAGTGCTGCAGCTAACGCATT
AAGCACTCCGCCTGGGGGAGTACGGTCGCAAGACTGAAACTCAAAGGAATTGACGGGGGCCCGCACAAGC
GGTGAGCATGTGGTTTTAATTCGAAGCAACCGGAAGAACCCTTACCAGGTCTTGACATCCCTGACAATCC
TAGAGATAGGACGTCCCCTTCGGGGGCGAGGTGACAGGTGGTGCATGGTTGTCGTCAGTCTGTCTCCTGA
GATGTTCCGGGGTAAGTCCCCCAACGAGCGCAACCCTTGATCTTATTTTGCACCATTCAGTTGGGCAC
TCTAAGGGGACTGCCGGTGACAACCGGAGGAAGGGGGGGGAGGAAAAGCCAAAAAATCCAGGCGCCCTAT
GAACAGGGGGGACACACTGGTTTTAAATGGAGAGAAAAAAGGGGGCGGAAAACCCGCGGGTTAGCCAACC
CACCAAAAATGTTCTCATTTTTCGAGCGCAGTCTGCAACTCGACTGCGTGAAGCTGGAATCGCTAGTAATC
GCGGATCAGCATGCCGCGGTGAATACGTTCCCGGGCCTTGACACACCGCCCGTACACCACG

BTX12,

GTACATGCAGTCGAGCGGACAGATGGGAGTTCTTGCTCCCTGATGTTAGCGGCGGACGGGTGAGTAACAC
GTGGGTAACTGCCTGTAAGACTGGGATAACTCCGGGAAACCGGGGCTAATACCGGATGGTTAAGTTTGA
ACCGCATGGTTCAAACATAAAAAGGTGGCTTCGGCTACCACTTACAGATGGACCCGCGGCATTAGCTAG
TTGGTGAGGTAACGGCTCACCAAGGCAACGATGCGTAGCCGACCTGAGAGGGTGATCGGCCACACTGGGA
CTGAGACACGGCCAGACTCCTACGGGAGGCAGCAGTAGGGAATCTTCCGCAATGGGACGAAAGTCTGAC
GGAGCAACGCCCGGTGAGTGATGAAGGTTTTTCGGATCGTAAAAGCTCTGTTGTATAGGGAAGAACAAGTA
CCGTTTCAATAGGGCGGTACCTTGACGGTACCTAACCCAGAAAAGCCACGGCTAACTACGTGCCAGCAGCCG
CGGTAATACGTAGGTGGCAAGCGTTGTCCGGAATTATTGGGCGTAAAAGGCTCGCAGGCGGTTTTCTTAAG
TCTGATGATGTGAAAGCCCCCGGCTCAACCGGGGAGGGTCATTGGAACTGGGGAACCTGAGTGCAGAAG
AGGAGAGTGGAATTCCACGTGTAGCGGTGAAATGCGTAGAGATGTGGAGGAACACCAGTGGCGAAGGCGA
CTCTCTGGTCTGTAACCTGACGCTGAGGAGCGAAAAGCGTGGGAGCGAACAGGATTAGATACCCTGGTAG
TATGCCACGCCGTAAACGATGAGTGCTAAGTGTAGGGGGTTTTCCCGCCCTTAGTGCTGCAGCTAACG
CATTAAAGCACTCCGCCTGGGGGAGTACGGTGCAGAACTGAAACTCAAAGGAATTGACGGGGGCCGCAC
AAGCGGTGGAGCATGTGGTTTTAATTCGAAGCAACCGGAAGAACCTTACCAGGTCTTGACATCCTCTGACA
ATCCTAGAGATAGGACGTCCCCTTCGGGGCAGAGTGACAGGTGGTGCATGGTTGTCGTCAGCTCGTGTG
CTGAGATGTTCCGGGGTAAGTCCCCCAACGAGCGCAACCCTTGATCTTATTTTGCCACCATTAGTTGG
GCACTCTAAGGGGACTGCCGGTGACAACCGGAGGAAGGGGGGGAGGAAAAGCCAAAAAATCCAGGCGCC
CTATGAACAGGGGGGACACACTGGTTTTAAATGGAGAGAAAAAAGGGGGCGGAAACCCGCGGGTTAGCC
AACCCACAAAAATGTTCTCATTTTTCGAGCGCAGTCTGCAACTCGACTGCGTGAAGCTGGAATCGCTAGT
AATCGCGGATCAGCATGCCGCGGTGAATACGTTCCCGGGCCTTGATACACACCGCCCGTCACACCACGAG

BTX13,

GTACATGCAGTCGAGCGGACAGATGGGAGTTCTTGCTCCCTGATGTTAGCGGCGGACGGGTGAGTAACAC
GTGGGTAACTGCCTGTAAGACTGGGATAACTCCGGGAAACCGGGGCTAATACCGGATGGTTAAGTTTGA
ACCGCATGGTTCAAACATAAAAAGGTGGCTTCGGCTACCACTTACAGATGGACCCGCGGCATTAGCTAG
TTGGTGAGGTAACGGCTCACCAAGGCAACGATGCGTAGCCGACCTGAGAGGGTGATCGGCCACACTGGGA
CTGAGACACGGCCAGACTCCTACGGGAGGCAGCAGTAGGGAATCTTCCGCAATGGGACGAAAGTCTGAC
GGAGCAACGCCCGGTGAGTGATGAAGGTTTTTCGGATCGTAAAAGCTCTGTTGTAGGGAAGAACAAGTAC
CGTTTCAATAGGGCGGTACCTTGACGGTACCTAACCCAGAAAAGCCACCGGCTAACTACGTGCCAGCAGCCG
CGGTAATACGTAGGTGGCAAGCGTTGTCCGGAATTATTGGGCGTAAAAGGCTCGCAGGCGGTTTTCTTAAG
TCTGATGATGTGAAAGCCCCCGGCTCAACCGGGGAGGGTCATTGGAACTGGGGAACCTGAGTGCAGAAG
AGGAGAGTGGAATTCCACGTGTAGCGGTGAAATGCGTAGAGATGTGGAGGAACACCAGTGGCGAAGGCGA
CTCTCTGGTCTGTAACCTGACGCTGAGGAGCGAAAAGCGTGGGAGCGAACAGGATTAGATACCCGGTAGT
ATGCCACGCCGTAAACGATGAGTGCTAAGTGTAGGGGGTTTTCCCGCCCTTAGTGCTGCAGCTAACGC
ATTAAGCACTCCGCCTGGGGGAGTACGGTGCAGAACTGAAACTCAAAGGAATTGACGGGGGCCGCACA
AGCGGTGGAGCATGTGGTTTTAATTCGAAGCAACCGGAAGAACCTTACCAGGTCTTGACATCCTCTGACAA
TCCTAGAGATAGGACGTCCCCTTCGGGGCAGAGTGACAGGTGGTGCATGGTTGTCGTCAGCTCGTGTGTC
TGAGATGTTCCGGGGTAAGTCCCCCAACGAGCGCAACCCTTGATCTTATTTTGCCACCATTAGTTGGG
CACTCTAAGGGGACTGCCGGTGACAACCGGAGGAAGGGGGGGAGGAAAAGCCAAAAAATCCAGGCGCC
TATGAACAGGGGGGACACACTGGTTTTAAATGGAGAGAAAAAAGGGGGCGGAAACCCGCGGGTTAGCCA
ACCCACAAAAATGTTCTCATTTTTCGAGCGCAGTCTGCAACTCGACTGCGTGAAGCTGGAATCGCTAGT
ATCGCGGATCAGCATGCCGCGGTGAATACGTTCCCGGGCCTTGATACACACCGCCCGTCACACCACGAG

BTX14,

GTACATGCAGTCGAGCGGACAGATGGGAGTTCTTGCTCCCTGATGTTAGCGGGCGGACGGGTGAGTAACAC
GTGGGTAACCTGCCTGTAAGACTGGGATAACTCCGGGAAACCGGGGCTAATACCGGATGGTTAAGTTTGA
ACCGCATGGTTCAAACATAAAAAGGTGGCTTCGGCTACCACTTACAGATGGACCCGCGGCATTAGCTAG
TTGGTGAGGTAACGGCTCACCAAGGCAACGATGCGTAGCCGACCTGAGAGGGTGATCGGCCACACTGGGA
CTGAGACACGGCCAGACTCCTACGGGAGGCAGCAGTAGGGAATCTTCCGCAATGGGACGAAAGTCTGAC
GGAGCAACGCCGCGTGAGTGATGAAGGTTTTTCGGATCGTAAAAGCTCTGTTGTTAGGGAAGAACAAGTAC
CGTTTCAATAGGGCGGTACCTTGACGGTACCTAACCAGAAAAGCCACGGCTAACTACGTGCCAGCAGCCGC
GGTAATACGTAGGTGGCAAGCGTTGTCCGGAATTATTGGGCGTAAAAGGGCTCGCAGGCGGTTTTCTTAAGT
CTGATGATGTGAAAGCCCCCGCTCAACCGGGGAGGGTCATTGGAAACTGGGGAACCTGAGTGCAGAAGA
GGAGAGTGAATTCCACGTGTAGCGGTGAAATGCGTAGAGATGTGGAGGAACACCAGTGGCGAAGGCGAC
TCTCTGGTCTGTAAGTACGCTGAGGAGCGAAAGCGTGGGAGCGAACAGGATTAGATACCCTGGTAGTA
TGCCACGCCGTAAACGATGAGTGCTAAGTGTTAGGGGGTTTTCCCGCCCTTAGTGTCTGCAGCTAACGCA
TTAAGCACTCCGCTGGGGGAGTACGGTTCGCAAGACTGAAACTCAAAGGAATTGACGGGGGCCCGCACAAG
CGGTGGAGCATGTGGTTTTAATTCGAAGCAACCGGAAGAACCCTTACCAGGTCTTGACATCCTCTGACAATC
CTAGAGATAGGACGTCCCTTTCGGGGGCGAGGTGACAGGTGGTGCATGGTTGTCGTCAGCTCGTGTCTCTG
AGATGTTTCGGGGGTAAGTCCCCCAACGAGCGCAACCCTTGATCTTATTTTGCACCATTACAGTTGGGCA
CTCTAAGGGGACTGCCGGTGACAACCGGAGGAAGGGGGGGGAGGAAAAGCCAAAAAATCCAGGCGCCCTA
TGAACAGGGGGGACACACTGGTTTTAAATGGAGAGAAAAAAGGGGGCGGAAACCCGCGGGGTTAGCCAAC
CCACCAAAAATGTTCTCATTTCGAGCGCAGTCTGCAACTCGACTGCGTGAAGCTGGAATCGCTAGTAAT
CGCGGATCAGCATGCCGCGGTGAATACGTTCCCGGGCCTTGACACACCGCCCGTACACCACGAG

BTX15,

ACGTACATGCAGTCGAGCGGACAGATGGGAGTTCTTGCTCCCTGATGTTAGCGGGCGGACGGGTGAGTAAC
ACGTGGGTAACCTGCCTGTAAGACTGGGATAACTCCGGGAAACCGGGGCTAATACCGGATGGTTAAGTTT
GAACCGCATGGTTCAAACATAAAAAGGTGGCTTCGGCTACCACTTACAGATGGACCCGCGGCATTAGCT
AGTTGGTGAGGTAACGGCTCACCAAGGCAACGATGCGTAGCCGACCTGAGAGGGTGATCGGCCACACTGG
GACTGAGACACGGCCAGACTCCTACGGGAGGCAGCAGTAGGGAATCTTCCGCAATGGGACGAAAGTCTG
ACGGAGCAACGCCGCGTGAGTGATGAAGGTTTTTCGGATCGTAAAAGCTCTGTTGTTAGGGAAGAACAAGT
ACCGTTTCAATAGGGCGGTACCTTGACGGTACCTAACCAGAAAAGCCACGGCTAACTACGTGCCAGCAGCC
GCGGTAATACGTAGGTGGCAAGCGTTGTCCGGAATTATTGGGCGTAAAAGGGCTCGCAGGCGGTTTTCTTAA
GTCTGATGATGTGAAAGCCCCCGCTCAACCGGGGAGGGTCATTGGAAACTGGGGAACCTGAGTGCAGAA
GAGGAGAGTGAATTCCACGTGTAGCGGTGAAATGCGTAGAGATGTGGAGGAACACCAGTGGCGAAGGCG
ACTCTCTGGTCTGTAAGTACGCTGAGGAGCGAAAGCGTGGGAGCGAACAGGATTAGATACCCTGGTAG
TATGCCACGCCGTAAACGATGAGTGCTAAGTGTTAGGGGGTTTTCCCGCCCTTAGTGTCTGCAGCTAACG
CATTAAGCACTCCGCCTGGGGGAGTACGGTTCGCAAGACTGAAACTCAAAGGAATTGACGGGGGCCCGCAC
AAGCGGTGGAGCATGTGGTTTTAATTCGAAGCAACCGGAAGAACCCTTACCAGGTCTTGACATCCTCTGACA
ATCCTAGAGATAGGACGTCCCCTTCGGGGGCGAGGTGACAGGTGGTGCATGGTTGTCGTCAGCTCGTGTG
CTGAGATGTTTCGGGGTAAGTCCCCCAACGAGCGCAACCCTTGATCTTATTTTGCACCATTACAGTTGG
GCACTCTAAGGGGACTGCCGGTGACAACCGGAGGAAGGGGGGGGAGGAAAAGCCAAAAAATCCAGGCGCC
CTATGAACAGGGGGGACACACTGGTTTTAAATGGAGAGAAAAAAGGGGGCGGAAACCCGCGGGGTTAGCC
AACCACCAAAAATGTTCTCATTTCGAGCGCAGTCTGCAACTCGACTGCGTGAAGCTGGAATCGCTAGT
AATCGCGGATCAGCATGCCGCGGTGAATACGTTCCCGGGCCTTGACACACCGCCCGTACACCACGAG

BTX22,

CGTACATGCAGTCGAGCGGACAGATGGGAGTTCTTGCTCCCTGATGTTAGCGGCGGACGGGTGAGTAACA
CGTGGGTAACCTGCCTGTAAGACTGGGATAACTCCGGGAAACCGGGGCTAATACCGGATGGTTAAGTTTG
AACCGCATGGTTCAAACATAAAAAGGTGGCTTCGGCTACCCTACAGATGGACCCGCGGCATTAGCTA
GTTGGTGAGGTAACGGCTCACCAAGGCAACGATGCGTAGCCGACCTGAGAGGGTGATCGGCCACACTGGG
ACTGAGACACGGCCAGACTCCTACGGGAGGCAGCAGTAGGGAATCTTCCGCAATGGGACGAAAGTCTGA
CGGAGCAACGCCGCGTGAGTGATGAAGGTTTTTCGGATCGTAAAAGCTCTGTTGTTAGGGAAGAACAAGTA
CCGTTTCGAATAGGGCGGTACCTTGACGGTACCTAACCAGAAAAGCCACGGCTAACTACGTGCCAGCAGCCG
CGGTAATACGTAGGTGGCAAGCGTTGTCCGGAATTATTGGGCGTAAAAGGCTCGCAGGCGGTTTTCTTAAG
TCTGATGATGTGAAAGCCCCCGGCTCAACCGGGGAGGGTCATTGGAACTGGGGAACCTGAGTGCAGAAG
AGGAGAGTGGAATTCCACGTGTAGCGGTGAAATGCGTAGAGATGTGGAGGAACACCAGTGGCGAAGGCGA
CTCTCTGGTCTGTAACTGACGCTGAGGAGCGAAAAGCGTGGGGAGCGAACAGGATTAGATACCCTGGTAGT
ATGCCACGCCGTAAACGATGAGTGCTAAGTGTTAGGGGGTTTTCCCGCCCTTAGTGCTGCAGCTAACGC
ATTAAGCACTCCGCTGGGGGAGTACGGTCGCAAGACTGAAACTCAAAGGAATTGACGGGGGCCCGCACA
AGCGGTGGAGCATGTGGTTTTAATTCGAAGCAACCGGAAGAACCCTTACCAGGTCTTGACATCCTCTGACAA
TCCTAGAGATAGGACGTCCCTTCGGGGGCGAGGTGACAGGTGGTGCATGGTTGTCGTCAGCTCGTGTCC
TGAGATGTTCCGGGGTAAGTCCCCCAACGAGCGCAACCCTTGATCTTATTTTGCACCATTCAGTTGGG
CACTCTAAGGGGACTGCCGGTGACAACCGGAGGAAGGGGGGGGAGGAAAAGCCAAAAAATCCAGGCGCCC
TATGAACAGGGGGGACACACTGGTTTTAAATGGAGAGAAAAAAGGGGGCGGAAAACCCGCGGGTTAGCCA
ACCCACCAAAAATGTTCTCATTTCGAGCGCAGTCTGCAACTCGACTGCGTGAAGCTGGAATCGCTAGTA
ATCGCGGATCAGCATGCCGCGGTGAATACGTTCCCGGGCCTTGACACACCGCCCGTACACCACGAGCA
C

BTX23,

GTACATGCAGTCGAGCGGACAGATGGGAGTTCTTGCTCCCTGATGTTAGCGGCGGACGGGTGAGTAACAC
GTGGGTAACCTGCCTGTAAGACTGGGATAACTCCGGGAAACCGGGGCTAATACCGGATGGTTAAGTTTGA
ACCGCATGGTTCAAACATAAAAAGGTGGCTTCGGCTACCCTACAGATGGACCCGCGGCATTAGCTAG
TTGGTGAGGTAACGGCTCACCAAGGCAACGATGCGTAGCCGACCTGAGAGGGTGATCGGCCACACTGGGA
CTGAGACACGGCCAGACTCCTACGGGAGGCAGCAGTAGGGAATCTTCCGCAATGGGACGAAAGTCTGAC
GGAGCAACGCCGCGTGAGTGATGAAGGTTTTTCGGATCGTAAAAGCTCTGTTGTTAGGGAAGAACAAGTAC
CGTTTCGAATAGGGCGGTACCTTGACGGTACCTAACCAGAAAAGCCACGGCTAACTACGTGCCAGCAGCCGC
GGTAATACGTAGGTGGCAAGCGTTGTCCGGAATTATTGGGCGTAAAAGGCTCGCAGGCGGTTTTCTTAAGT
CTGATGATGTGAAAGCCCCCGGCTCAACCGGGGAGGGTCATTGGAACTGGGGAACCTGAGTGCAGAAGA
GGAGAGTGGAATTCCACGTGTAGCGGTGAAATGCGTAGAGATGTGGAGGAACACCAGTGGCGAAGGCGAC
TCTCTGGTCTGTAACTGACGCTGAGGAGCGAAAAGCGTGGGGAGCGAACAGGATTAGATACCCTGGTAGTA
TGCCACGCCGTAAACGATGAGTGCTAAGTGTTAGGGGGTTTTCCCGCCCTTAGTGCTGCAGCTAACGCA
TTAAGCACTCCGCTGGGGGAGTACGGTCGCAAGACTGAAACTCAAAGGAATTGACGGGGGCCCGCACA
GCGGTGGAGCATGTGGTTTTAATTCGAAGCAACCGGAAGAACCCTTACCAGGTCTTGACATCCTCTGACAAT
CCTAGAGATAGGACGTCCCTTCGGGGGCGAGGTGACAGGTGGTGCATGGTTGTCGTCAGCTCGTGTCTCCT
GAGATGTTCCGGGGTAAGTCCCCCAACGAGCGCAACCCTTGATCTTATTTTGCACCATTCAGTTGGGC
ACTCTAAGGGGACTGCCGGTGACAACCGGAGGAAGGGGGGGGAGGAAAAGCCAAAAAATCCAGGCGCCCT
ATGAACAGGGGGGACACACTGGTTTTAAATGGAGAGAAAAAAGGGGGCGGAAAACCCGCGGGTTAGCCAA
CCCACCAAAAATGTTCTCATTTCGAGCGCAGTCTGCAACTCGACTGCGTGAAGCTGGAATCGCTAGTAA
TCGCGGATCAGCATGCCGCGGTGAATACGTTCCCGGGCCTTGACACACCGCCCGTACACCACGAG

BTX24,

GTACATGCAGTCGAGCGGACAGATGGGAGTTCTTGCTCCCTGATGTTAGCGGCGGACGGGTGAGTAACAC
GTGGGTAACCTGCCTGTAAGACTGGGATAACTCCGGGAAACCGGGGCTAATACCGGATGGTTAAGTTTGA
ACCGCATGGTTCAAACATAAAAAGGTGGCTTCGGCTACCACTTACAGATGGACCCGCGGCATTAGCTAG
TTGGTGAGGTAACGGCTCACCAAGGCAACGATGCGTAGCCGACCTGAGAGGGTGATCGGCCACACTGGGA
CTGAGACACGGCCAGACTCCTACGGGAGGCAGCAGTAGGGAATCTTCCGCAATGGGACGAAAGTCTGAC
GGAGCAACGCCCGGTGAGTGATGAAGGTTTTTCGGATCGTAAAAGCTCTGTTGTTAGGGAAGAACAAGTAC
CGTTTCGAATAGGGCGGTACCTTGACGGTACCTAACAGAAAAGCCACGGCTAACTACGTGCCAGCAGCCGC
GGTAATACGTAGGTGGCAAGCGTTGTCCGGAATTATTGGGCGTAAAAGGGCTCGCAGGCGGTTTTCTTAAGT
CTGATGATGTGAAAGCCCCCGCTCAACCGGGGAGGGTCATTGGAAACTGGGGAAGTTGAGTGCAGAAGA
GGAGAGTGAATTTCCACGTGTAGCGGTGAAATGCGTAGAGATGTGGAGGAACACCAGTGGCGAAGGCGAC
TCTCTGGTCTGTAAGTACGCTGAGGAGCGAAAGCGTGGGAGCGAACAGGATTAGATACCCTGGTAGTA
TGCCACGCCGTAACGATGAGTGCTAAGTGTAGGGGGTTTTCCCGCCCCCTTAGTGCTGCAGCTAACGCA
TTAAGCACTCCGCCTGGGGGAGTACGGTCGCAAGACTGAAACTCAAAGGAATTGACGGGGGCCGCACAA
GCGGTGGAGCATGTGGTTTTAATTCGAAGCAACCGGAAGAACCTTACCAGGTCTTGACATCCCTGACAAT
CCTAGAGATAGGACGTCCCCTTCGGGGCAGAGTGACAGGTGGTGCATGGTTGTCGTCAGCTCGTGTCCCT
GAGATGTTCCGGGGTAAGTCCCCCAACGAGCGCAACCCCTTGATCTTATTTTGCCACCATTGAGTTGGGC
ACTCTAAGGGGACTGCCGGTGACAACCGGAGGAAGGGGGGGAGGAAAAGCCAAAAAATCCAGGCGCCCT
ATGAACAGGGGGGACACACTGGTTTTAAATGGAGAGAAAAAAGGGGGCGGAAACCCGCGGGTTAGCCAA
CCCACCAAAAATGTTCTCATTTTTCGAGCGCAGTCTGCAACTCGACTGCGTGAAGCTGGAATCGCTAGTAA
TCGCGGATCAGCATGCCGCGGTGAATACGTTCCCGGGCCTTGATACACACCGCCCGTCACACCACGAG

BTX25,

TACGTACATGCAGTCGAGCGGACAGATGGGAGTTCTTGCTCCCTGATGTTAGCGGCGGACGGGTGAGTAA
CACGTGGGTAACCTGCCTGTAAGACTGGGATAACTCCGGGAAACCGGGGCTAATACCGGATGGTTAAGTT
TGAACCGCATGGTTCAAACATAAAAAGGTGGCTTCGGCTACCACTTACAGATGGACCCGCGGCATTAGC
TAGTTGGTGAGGTAACGGCTCACCAAGGCAACGATGCGTAGCCGACCTGAGAGGGTGATCGGCCACACTG
GGACTGAGACACGGCCAGACTCCTACGGGAGGCAGCAGTAGGGAATCTTCCGCAATGGGACGAAAGTCT
GACGGAGCAACGCCCGGTGAGTGATGAAGGTTTTTCGGATCGTAAAAGCTCTGTTGTTAGGGAAGAACAAG
TACCGTTTCGAATAGGGCGGTACCTTGACGGTACCTAACAGAAAAGCCACGGCTAACTACGTGCCAGCAGC
CGCGGTAATACGTAGGTGGCAAGCGTTGTCCGGAATTATTGGGCGTAAAAGGCTCGCAGGCGGTTTTCTTA
AGTCTGATGATGTGAAAGCCCCCGCTCAACCGGGGAGGGTCATTGGAAACTGGGGAAGTTGAGTGCAGA
AGAGGAGAGTGAATTTCCACGTGTAGCGGTGAAATGCGTAGAGATGTGGAGGAACACCAGTGGCGAAGGC
GACTCTCTGGTCTGTAAGTACGCTGAGGAGCGAAAGCGTGGGAGCGAACAGGATTAGATACCCCTGGTA
GTATGCCACGCCGTAACGATGAGTGCTAAGTGTAGGGGGTTTTCCCGCCCCCTTAGTGCTGCAGCTAAC
GCATTAAGCACTCCGCCTGGGGGAGTACGGTCGCAAGACTGAAACTCAAAGGAATTGACGGGGGCCGC
CAAGCGGTGGAGCATGTGGTTTTAATTCGAAGCAACCGGAAGAACCTTACCAGGTCTTGACATCCCTCTGAC
AATCCTAGAGATAGGACGTCCCCTTCGGGGCAGAGTGACAGGTGGTGCATGGTTGTCGTCAGCTCGTGT
CCTGAGATGTTCCGGGGTAAGTCCCCCAACGAGCGCAACCCCTTGATCTTATTTTGCCACCATTGAGTTG
GGCACTCTAAGGGGACTGCCGGTGACAACCGGAGGAAGGGGGGGGAGGAAAAGCCAAAAAATCCAGGCGC
CCTATGAACAGGGGGGACACACTGGTTTTAAATGGAGAGAAAAAAGGGGGCGGAAACCCGCGGGTTAGC
CAACCCACCAAAAATGTTCTCATTTTTCGAGCGCAGTCTGCAACTCGACTGCGTGAAGCTGGAATCGCTAG
TAATCGCGGATCAGCATGCCGCGGTGAATACGTTCCCGGGCCTTGATACACACCGCCCGTCACACCACGAG

BTX26,

GTACATGCAGTCGAGCGGACAGATGGGAGTTCTTGCTCCCTGATGTTAGCGGCGGACGGGTGAGTAACAC
GTGGGTAACCTGCCTGTAAGACTGGGATAACTCCGGGAAACCGGGGCTAATACCGGATGGTTAAGTTTGA
ACCGCATGGTTCAAACATAAAAAGGTGGCTTCGGCTACCACTTACAGATGGACCCGCGGCATTAGCTAG
TTGGTGAGGTAACGGCTCACCAAGGCAACGATGCGTAGCCGACCTGAGAGGGTGATCGGCCACACTGGGA
CTGAGACACGGCCAGACTCCTACGGGAGGCAGCAGTAGGGAATCTTCCGCAATGGGACGAAAGTCTGAC
GGAGCAACGCCCGCTGAGTGATGAAGGTTTTTCGGATCGTAAAAGCTCTGTTGTTAGGGAAGAACAAGTAC
CGTTTCGAATAGGGCGGTACCTTGACGGTACCTAACCAGAAAAGCCACGGCTAACTACGTGCCAGCAGCCGC
GGTAATACGTAGGTGGCAAGCGTTGTCCGGAATTATTGGGCGTAAAAGGGCTCGCAGGCGGTTTTCTTAAGT
CTGATGATGTGAAAGCCCCCGCTCAACCGGGGAGGGTCATTGGAAACTGGGGAACCTGAGTGCAGAAGA
GGAGAGTGAATTCCACGTGTAGCGGTGAAATGCGTAGAGATGTGGAGGAACACCAGTGGCGAAGGCGAC
TCTCTGGTCTGTAAGTACGCTGAGGAGCGAAAGCGTGGGAGCGAACAGGATTAGATACCCTGGTAGTA
TGCCACGCCGTAACGATGAGTGCTAAGTGTTAGGGGGTTTTCCCGCCCTTAGTGCTGCAGCTAACGCA
TTAAGCACTCCGCCTGGGGGAGTACGGTCGCAAGACTGAAACTCAAAGGAATTGACGGGGGCCGCACAA
GCGGTGGAGCATGTGGTTTTAATTCGAAGCAACCGGAAGAACCTTACCAGGTCTTGACATCCCTGACAAT
CCTAGAGATAGGACGTCCCCTTCGGGGCAGAGTGACAGGTGGTGCATGGTTGTCGTCAGCTCGTGTCCCT
GAGATGTTCCGGGGTAAGTCCCCCAACGAGCGCAACCCTTGATCTTATTTTGCCACCATTGAGTTGGGC
ACTCTAAGGGGACTGCCGGTGACAACCGGAGGAAGGGGGGGAGGAAAAGCCAAAAAATCCAGGCGCCCT
ATGAACAGGGGGGACACACTGGTTTTAAATGGAGAGAAAAAAGGGGGCGGAAACCCGCGGGTTAGCCAA
CCCACAAAAATGTTCTCATTTTTCGAGCGCAGTCTGCAACTCGACTGCGTGAAGCTGGAATCGCTAGTAA
TCGCGGATCAGCATGCCGCGGTGAATACGTTCCCGGGCCTTGACACACCGCCCGTCACACCACGAG

BTX27,

GTACATGCAGTCGAGCGGACAGATGGGAGTTCTTGCTCCCTGATGTTAGCGGCGGACGGGTGAGTAACAC
GTGGGTAACCTGCCTGTAAGACTGGGATAACTCCGGGAAACCGGGGCTAATACCGGATGGTTAAGTTTGA
ACCGCATGGTTCAAACATAAAAAGGTGGCTTCGGCTACCACTTACAGATGGACCCGCGGCATTAGCTAG
TTGGTGAGGTAACGGCTCACCAAGGCAACGATGCGTAGCCGACCTGAGAGGGTGATCGGCCACACTGGGA
CTGAGACACGGCCAGACTCCTACGGGAGGCAGCAGTAGGGAATCTTCCGCAATGGGACGAAAGTCTGAC
GGAGCAACGCCCGCTGAGTGATGAAGGTTTTTCGGATCGTAAAAGCTCTGTTGTTAGGGAAGAACAAGTAC
CGTTTCGAATAGGGCGGTACCTTGACGGTACCTAACCAGAAAAGCCACGGCTAACTACGTGCCAGCAGCCGC
GGTAATACGTAGGTGGCAAGCGTTGTCCGGAATTATTGGGCGTAAAAGGGCTCGCAGGCGGTTTTCTTAAGT
CTGATGATGTGAAAGCCCCCGCTCAACCGGGGAGGGTCATTGGAAACTGGGGAACCTGAGTGCAGAAGA
GGAGAGTGAATTCCACGTGTAGCGGTGAAATGCGTAGAGATGTGGAGGAACACCAGTGGCGAAGGCGAC
TCTCTGGTCTGTAAGTACGCTGAGGAGCGAAAGCGTGGGAGCGAACAGGATTAGATACCCTGGTAGTA
TGCCACGCCGTAACGATGAGTGCTAAGTGTTAGGGGGTTTTCCCGCCCTTAGTGCTGCAGCTAACGCA
TTAAGCACTCCGCCTGGGGGAGTACGGTCGCAAGACTGAAACTCAAAGGAATTGACGGGGGCCGCACAA
GCGTGGAGCATGTGGTTTTAATTCGAAGCAACCGGAAGAACCTTACCAGGTCTTGACATCCCTGACAATC
CTAGAGATAGGACGTCCCCTTCGGGGCAGAGTGACAGGTGGTGCATGGTTGTCGTCAGCTCGTGTCCCTG
AGATGTTCCGGGGTAAGTCCCCCAACGAGCGCAACCCTTGATCTTATTTTGCCACCATTGAGTTGGGCA
CTCTAAGGGGACTGCCGGTGACAACCGGAGGAAGGGGGGGAGGAAAAGCCAAAAAATCCAGGCGCCCTA
TGAACAGGGGGGACACACTGGTTTTAAATGGAGAGAAAAAAGGGGGCGGAAACCCGCGGGTTAGCCAA
CCACCAAAAAATGTTCTCATTTTTCGAGCGCAGTCTGCAACTCGACTGCGTGAAGCTGGAATCGCTAGTAA
TCGCGGATCAGCATGCCGCGGTGAATACGTTCCCGGGCCTTGACACACCGCCCGTCACACCACGAG

BTX28,

AAGTACATGCAGTCGAGCGGACAGATGGGAGTTCTTGCTCCCTGATGTTAGCGGGCGGACGGGTGAGTAAC
ACGTGGGTAACTGCCTGTAAGACTGGGATAACTCCGGGAAACCGGGGCTAATACCGGATGGTTAAGTTT
GAACCGCATGGTTCAAACATAAAAAGGTGGCTTCGGCTACCACTTACAGATGGACCCGCGGCATTAGCT
AGTTGGTGAGGTAACGGCTCACCAAGGCAACGATGCGTAGCCGACCTGAGAGGGTGATCGGCCACACTGG
GACTGAGACACGGCCAGACTCCTACGGGAGGCAGCAGTAGGGAATCTTCCGCAATGGGACGAAAAGTCTG
ACGGAGCAACGCCGCGTGAGTGATGAAGGTTTTTCGGATCGTAAAAGCTCTGTTGTTAGGGAAGAACAAGT
ACCGTTCGAATAGGGCGGTACCTTGACGGTACCTAACCAGAAAAGCCACGGCTAACTACGTGCCAGCAGCC
GCGGTAATACGTAGGTGGCAAGCGTTGTCCGGAATTATTGGGCGTAAAAGGGCTCGCAGGCGGTTTTCTTAA
GTCTGATGATGTGAAAGCCCCCGCTCAACCGGGGAGGGTCATTGGAAACTGGGGAAGTTGAGTGCAGAA
GAGGAGAGTGGAATTCACGTGTAGCGGTGAAATGCGTAGAGATGTGGAGGAACACCAGTGGCGAAGGCG
ACTCTCTGGTCTGTAAGTACGCTGAGGAGCGAAAAGCGTGGGAGCGAACAGGATTAGATACCCTGGTAG
TATGCCACGCCGTAACGATGAGTGCTAAGTGTAGGGGGTTTTCCCGCCCTTAGTGCTGCAGCTAACG
CATTAAAGCACTCCGCCTGGGGGAGTACGGTCGCAAGACTGAAACTCAAAGGAATTGACGGGGGCCGCAC
AAGCGGTGGAGCATGTGGTTTTAATTCGAAGCAACCGGAAGAACCTTACCAGGTCTTGACATCCTCTGACA
ATCCTAGAGATAGGACGTCCCCTTCGGGGCAGAGTGACAGGTGGTGCATGGTTGTCGTCAGCTCGTGTG
CTGAGATGTTCCGGGGTAAGTCCCCCAACGAGCGCAACCTTGATCTTATTTGCCACCATTCAGTTGG
GCACTCTAAGGGGACTGCCGGTGACAACCGGAGGAAGGGGGGGAGGAAAAGCCAAAAAATCCAGGCGCC
CTATGAACAGGGGGGACACACTGGTTTTAAATGGAGAGAAAAAAGGGGGCGGAAAACCCGCGGGTTAGCC
AACCCACAAAAATGTTCTCATTTTTCGAGCGCAGTCTGCAACTCGACTGCGTGAAGCTGGAATCGCTAGT
AATCGCGGATCAGCATGCCGCGGTGAATACGTTCCCGGGCTTGTACACACCGCCGTCACACCACGAG

BTX30,

GTACATGCAGTCGAGCGGACAGATGGGAGTTCTTGCTCCCTGATGTTAGCGGGCGGACGGGTGAGTAACAC
GTGGGTAACTGCCTGTAAGACTGGGATAACTCCGGGAAACCGGGGCTAATACCGGATGGTTAAGTTTGA
ACCGCATGGTTCAAACATAAAAAGGTGGCTTCGGCTACCACTTACAGATGGACCCGCGGCATTAGCTAG
TTGGTGAGGTAACGGCTCACCAAGGCAACGATGCGTAGCCGACCTGAGAGGGTGATCGGCCACACTGGGA
CTGAGACACGGCCAGACTCCTACGGGAGGCAGCAGTAGGGAATCTTCCGCAATGGGACGAAAAGTCTGAC
GGAGCAACGCCGCGTGAGTGATGAAGGTTTTTCGGATCGTAAAAGCTCTGTTGTTAGGGAAGAACAAGTAC
CGTTTCGAATAGGGCGGTACCTTGACGGTACCTAACCAGAAAAGCCACGGCTAACTACGTGCCAGCAGCCGC
GGTAATACGTAGGTGGCAAGCGTTGTCCGGAATTATTGGGCGTAAAAGGGCTCGCAGGCGGTTTTCTTAAGT
CTGATGATGTGAAAGCCCCCGCTCAACCGGGGAGGGTCATTGGAAACTGGGGAAGTTGAGTGCAGAAGA
GGAGAGTGGAATTCACGTGTAGCGGTGAAATGCGTAGAGATGTGGAGGAACACCAGTGGCGAAGGCGAC
TCTCTGGTCTGTAAGTACGCTGAGGAGCGAAAAGCGTGGGAGCGAACAGGATTAGATACCCTGGTAGTA
TGCCACGCCGTAACGATGAGTGCTAAGTGTAGGGGGTTTTCCCGCCCTTAGTGCTGCAGCTAACGCA
TTAAGCACTCCGCCTGGGGGAGTACGGTCGCAAGACTGAAACTCAAAGGAATTGACGGGGGCCGCACAA
CCGGTGGAGCATGTGGTTTTAATTCGAAGCAACCGGAAGAACCTTACCAGGTCTTGACATCCTCTGACAAT
CCTAGAGATAGGACGTCCCCTTCGGGGCAGAGTGACAGGTGGTGCATGGTTGTCGTCAGTCTGTGTCCT
GAGATGTTCCGGGGTAAGTCCCCCAACGAGCGCAACCTTGATCTTATTTGCCACCATTCAGTTGGGC
ACTCTAAGGGGACTGCCGGTGACAACCGGAGGAAGGGGGGGAGGAAAAGCCAAAAAATCCAGGCGCCCT
ATGAACAGGGGGGACACACTGGTTTTAAATGGAGAGAAAAAAGGGGGCGGAAAACCCGCGGGTTAGCCAA
CCCACAAAAATGTTCTCATTTTTCGAGCGCAGTCTGCAACTCGACTGCGTGAAGCTGGAATCGCTAGTAA
TCGCGGATCAGCATGCCGCGGTGAATACGTTCCCGGGCTTGTACACACCGCCGTCACACCACGAG

BTX31,

GTACATGCAGTCGAGCGGACAGATGGGAGTTCTTGCTCCCTGATGTTAGCGGCGGACGGGTGAGTAACAC
GTGGGTAACTGCCTGTAAGACTGGGATAACTCCGGGAAACCGGGGCTAATACCGGATGGTTAAGTTTGA
ACCGCATGGTTCAAACATAAAAAGGTGGCTTCGGCTACCACTTACAGATGGACCCGCGGCATTAGCTAG
TTGGTGAGGTAACGGCTCACCAAGGCAACGATGCGTAGCCGACCTGAGAGGGTGATCGGCCACACTGGGA
CTGAGACACGGCCAGACTCCTACGGGAGGCAGCAGTAGGGAATCTTCCGCAATGGGACGAAAGTCTGAC
GGAGCAACGCCCGCTGAGTGATGAAGGTTTTTCGGATCGTAAAAGCTCTGTTGTTAGGGAAGAACAAGTAC
CGTTTCGAATAGGGCGGTACCTTGACGGTACCTAACCAGAAAAGCCACGGCTAACTACGTGCCAGCAGCCGC
GGTAATACGTAGGTGGCAAGCGTTGTCCGGAATTATTGGGCGTAAAAGGGCTCGCAGGCGGTTTTCTTAAGT
CTGATGATGTGAAAGCCCCCGCTCAACCGGGGAGGGTCATTGGAAACTGGGGAAGTTGAGTGCAGAAGA
GGAGAGTGAATTTCCACGTGTAGCGGTGAAATGCGTAGAGATGTGGAGGAACACCAGTGGCGAAGGCGAC
TCTCTGGTCTGTAAGTACGCTGAGGAGCGAAAGCGTGGGAGCGAACAGGATTAGATACCCTGGTAGTA
TGCCACGCCGTAACGATGAGTGCTAAGTGTTAGGGGGTTTTCCCGCCCTTAGTGCTGCAGCTAACGCA
TTAAGCACTCCGCCTGGGGGAGTACGGTCGCAAGACTGAAACTCAAAGGAATTGACGGGGGCCGCACAA
GCGGTGGAGCATGTGGTTTTAATTCGAAGCAACCGGAAGAACCTTACCAGGTCTTGACATCCCTGACAAT
CCTAGAGATAGGACGTCCCCTTCGGGGCAGAGTGACAGGTGGTGCATGGTTGTCGTCAGCTCGTGTCCCT
GAGATGTTCCGGGGTAAGTCCCCCAACGAGCGCAACCTTGATCTTATTTTGGCCACCATTCAGTTGGGC
ACTCTAAGGGGACTGCCGGTGACAACCGGAGGAAGGGGGGGAGGAAAAGCCAAAAAATCCAGGCGCCCT
ATGAACAGGGGGGACACACTGGTTTTAAATGGAGAGAAAAAAGGGGGCGGAAACCCGCGGGTTAGCCAA
CCCACAAAAATGTTCTCATTTTTCGAGCGCAGTCTGCAACTCGACTGCGTGAAGCTGGAATCGCTAGTAA
TCGCGGATCAGCATGCCCGGTGAATACGTTCCCGGGCCTTGATACACACCGCCCGTCACACCACGAG

BTX32,

GTACATGCAGTCGAGCGGACAGATGGGAGTTCTTGCTCCCTGATGTTAGCGGCGGACGGGTGAGTAACAC
GTGGGTAACTGCCTGTAAGACTGGGATAACTCCGGGAAACCGGGGCTAATACCGGATGGTTAAGTTTGA
ACCGCATGGTTCAAACATAAAAAGGTGGCTTCGGCTACCACTTACAGATGGACCCGCGGCATTAGCTAG
TTGGTGAGGTAACGGCTCACCAAGGCAACGATGCGTAGCCGACCTGAGAGGGTGATCGGCCACACTGGGA
CTGAGACACGGCCAGACTCCTACGGGAGGCAGCAGTAGGGAATCTTCCGCAATGGGACGAAAGTCTGAC
GGAGCAACGCCCGCTGAGTGATGAAGGTTTTTCGGATCGTAAAAGCTCTGTTGTTAGGGAAGAACAAGTAC
CGTTTCGAATAGGGCGGTACCTTGACGGTACCTAACCAGAAAAGCCACGGCTAACTACGTGCCAGCAGCCGC
GGTAATACGTAGGTGGCAAGCGTTGTCCGGAATTATTGGGCGTAAAAGGGCTCGCAGGCGGTTTTCTTAAGT
CTGATGATGTGAAAGCCCCCGCTCAACCGGGGAGGGTCATTGGAAACTGGGGAAGTTGAGTGCAGAAGA
GGAGAGTGAATTTCCACGTGTAGCGGTGAAATGCGTAGAGATGTGGAGGAACACCAGTGGCGAAGGCGAC
TCTCTGGTCTGTAAGTACGCTGAGGAGCGAAAGCGTGGGAGCGAACAGGATTAGATACCCTGGTAGTA
TGCCACGCCGTAACGATGAGTGCTAAGTGTTAGGGGGTTTTCCCGCCCTTAGTGCTGCAGCTAACGCA
TTAAGCACTCCGCCTGGGGGAGTACGGTCGCAAGACTGAAACTCAAAGGAATTGACGGGGGCCGCACAA
GCGGTGGAGCATGTGGTTTTAATTCGAAGCAACCGGAAGAACCTTACCAGGTCTTGACATCCCTGACAAT
CCTAGAGATAGGACGTCCCCTTCGGGGCAGAGTGACAGGTGGTGCATGGTTGTCGTCAGCTCGTGTCCCT
GAGATGTTCCGGGGTAAGTCCCCCAACGAGCGCAACCTTGATCTTATTTTGGCCACCATTCAGTTGGGC
ACTCTAAGGGGACTGCCGGTGACAACCGGAGGAAGGGGGGGAGGAAAAGCCAAAAAATCCAGGCGCCCT
ATGAACAGGGGGGACACACTGGTTTTAAATGGAGAGAAAAAAGGGGGCGGAAACCCGCGGGTTAGCCAA
CCCACAAAAATGTTCTCATTTTTCGAGCGCAGTCTGCAACTCGACTGCGTGAAGCTGGAATCGCTAGTAA
TCGCGGATCAGCATGCCCGGTGAATACGTTCCCGGGCCTTGATACACACCGCCCGTCACACCACGAG

BTX33,

GGGTACATGCAGTCGAGCGGACAGATGGGAGTTCTTGCTCCCTGATGTTAGCGGGCGGACGGGTGAGTAAC
ACGTGGGTAACTGCCTGTAAGACTGGGATAACTCCGGGAAACCGGGGCTAATACCGGATGGTTAAGTTT
GAACCGCATGGTTCAAACATAAAAAGGTGGCTTCGGCTACCCTTACAGATGGACCCGCGGCATTAGCT
AGTTGGTGAGGTAACGGCTCACCAAGGCAACGATGCGTAGCCGACCTGAGAGGGTGATCGGCCACACTGG
GACTGAGACACGGCCAGACTCCTACGGGAGGCAGCAGTAGGGAATCTTCCGCAATGGGACGAAAGTCTG
ACGGAGCAACGCCGCGTGAGTGATGAAGGTTTTTCGGATCGTAAAAGCTCTGTTGTTAGGGAAGAACAAGT
ACCGTTTCGAATAGGGCGGTACCTTGACGGTACCTAACCAGAAAAGCCACGGCTAACTACGTGCCAGCAGCC
GCGGTAATACGTAGGTGGCAAGCGTTGTCCGGAATTATTGGGCGTAAAGGGCTCGCAGGCGGTTTTCTTAA
GTCTGATGATGTGAAAGCCCCCGCTCAACCGGGGAGGGTCATTGGAAACTGGGGAACCTGAGTGCAGAA
GAGGAGAGTGGAATTCACGTGTAGCGGTGAAATGCGTAGAGATGTGGAGGAACACCAGTGGCGAAGGCG
ACTCTCTGGTCTGTAAGTACGCTGAGGAGCGAAAGCGTGGGAGCGAACAGGATTAGATACCCTGGTAG
TATGCCACGCCGTAACGATGAGTGCTAAGTGTAGGGGGTTTTCCCGCCCTTAGTGTCTGCAGCTAACG
CATTAAAGCACTCCGCCTGGGGGAGTACGGTGCAGAACTGAAACTCAAAGGAATTGACGGGGGCCGCAC
AAGCGGTGGAGCATGTGGTTTTAATTCGAAGCAACCGGAAGAACCTTACCAGGTCTTGACATCCTCTGACA
ATCCTAGAGATAGGACGTCCCCTTCGGGGCAGAGTGACAGGTGGTGCATGGTTGTCGTCAGCTCGTGTG
CTGAGATGTTCCGGGGTAAGTCCCCCAACGAGCGCAACCTTGATCTTATTTGCCACCATTAGTTGG
GCACTCTAAGGGGACTGCCGGTGACAACCGGAGGAAGGGGGGGAGGAAAAGCCAAAAAATCCAGGCGCC
CTATGAACAGGGGGGACACACTGGTTTTAAATGGAGAGAAAAAAGGGGGCGGAAACCCGCGGGTTAGCC
AACCACCAAAAATGTTCTCATTTTTCGAGCGCAGTCTGCAACTCGACTGCGTGAAGCTGGAATCGCTAGT
AATCGCGGATCAGCATGCCGCGGTGAATACGTTCCCGGGCCTTGATACACACCGCCCGTACACCACGAGT
ACAA

BTX34,

GTACATGCAGTCGAGCGGACAGATGGGAGTTCTTGCTCCCTGATGTTAGCGGGCGGACGGGTGAGTAACAC
GTGGGTAACTGCCTGTAAGACTGGGATAACTCCGGGAAACCGGGGCTAATACCGGATGGTTAAGTTTGA
ACCGCATGGTTCAAACATAAAAAGGTGGCTTCGGCTACCCTTACAGATGGACCCGCGGCATTAGCTAG
TTGGTGAGGTAACGGCTCACCAAGGCAACGATGCGTAGCCGACCTGAGAGGGTGATCGGCCACACTGGGA
CTGAGACACGGCCAGACTCCTACGGGAGGCAGCAGTAGGGAATCTTCCGCAATGGGACGAAAGTCTGAC
GGAGCAACGCCGCGTGAGTGATGAAGGTTTTTCGGATCGTAAAAGCTCTGTTGTTAGGGAAGAACAAGTAC
CGTTTCGAATAGGGCGGTACCTTGACGGTACCTAACCAGAAAAGCCACGGCTAACTACGTGCCAGCAGCCGC
GGTAATACGTAGGTGGCAAGCGTTGTCCGGAATTATTGGGCGTAAAGGGCTCGCAGGCGGTTTTCTTAAAGT
CTGATGATGTGAAAGCCCCCGCTCAACCGGGGAGGGTCATTGGAAACTGGGGAACCTGAGTGCAGAAGA
GGAGAGTGGAATTCACGTGTAGCGGTGAAATGCGTAGAGATGTGGAGGAACACCAGTGGCGAAGGCGAC
TCTCTGGTCTGTAAGTACGCTGAGGAGCGAAAGCGTGGGAGCGAACAGGATTAGATACCCTGGTAGTA
TGCCACGCCGTAACGATGAGTGCTAAGTGTAGGGGGTTTTCCCGCCCTTAGTGTCTGCAGCTAACGCA
TTAAGCACTCCGCCTGGGGGAGTACGGTCGCAAGACTGAAACTCAAAGGAATTGACGGGGGCCGCACAA
GCGGTGGAGCATGTGGTTTTAATTCGAAGCAACCGGAAGAACCTTACCAGGTCTTGACATCCTCTGACAAT
CCTAGAGATAGGACGTCCCCTTCGGGGCAGAGTGACAGGTGGTGCATGGTTGTCGTCAGCTCGTGTCTCCT
GAGATGTTCCGGGGTAAGTCCCCCAACGAGCGCAACCTTGATCTTATTTGCCACCATTAGTTGGGC
ACTCTAAGGGGACTGCCGGTGACAACCGGAGGAAGGGGGGGAGGAAAAGCCAAAAAATCCAGGCGCCCT
ATGAACAGGGGGGACACACTGGTTTTAAATGGAGAGAAAAAAGGGGGCGGAAACCCGCGGGTTAGCCAA
CCCACCAAAAATGTTCTCATTTTTCGAGCGCAGTCTGCAACTCGACTGCGTGAAGCTGGAATCGCTAGTAA
TCGCGGATCAGCATGCCGCGGTGAATACGTTCCCGGGCCTTGATACACACCGCCCGTACACCA

BTX35,

ACCGTACATGCAGTCGAGCGGACAGATGGGAGTTCTTGCTCCCTGATGTTAGCGGCGGACGGGTGAGTAA
CACGTGGGTAACCTGCCTGTAAGACTGGGATAACTCCGGGAAACCGGGGCTAATACCGGATGGTTAAGTT
TGAACCGCATGGTTCAAACATAAAAAGGTGGCTTCGGCTACCACTTACAGATGGACCCGCGGCATTAGC
TAGTTGGTGAGGTAACGGCTCACCAAGGCAACGATGCGTAGCCGACCTGAGAGGGTGATCGGCCACACTG
GGACTGAGACACGGCCAGACTCCTACGGGAGGCAGCAGTAGGGAATCTTCCGCAATGGGACGAAAGTCT
GACGGAGCAACGCCGCTGAGTGATGAAGTTTTTCGGATCGTAAAAGCTCTGTTGTTAGGGAAGAACAAG
TACCGTTTCAATAGGGCGGTACCTTGACGGTACCTAACCCAGAAAAGCCACGGCTAACTACGTGCCAGCAGC
CGCGGTAATACGTAGGTGGCAAGCGTTGTCCGGAATTATTGGGCGTAAAAGGCTCGCAGGCGGTTTCTTA
AGTCTGATGATGTGAAAGCCCCCGGCTCAACCGGGGAGGGTCATTGGAAACTGGGGAACCTGAGTGCAGA
AGAGGAGAGTGAATTCACGTGTAGCGGTGAAATGCGTAGAGATGTGGAGGAACACCAGTGGCGAAGGC
GACTCTCTGGTCTGTAAGTACGCTGAGGAGCGAAAAGCGTGGGAGCGAACAGGATTAGATACCCTGGTA
GTATGCCACGCCGTAAACGATGAGTGCTAAGTGTAGGGGGTTTTCCCGCCCTTAGTGCTGCAGCTAAC
GCATTAAGCACTCCGCTGGGGGAGTACGGTCGCAAGACTGAAACTCAAAGGAATTGACGGGGGCCCGCA
CAAGCGGTGGAGCATGTGGTTAATTGCAAGCAACCGCAAGAACCTTACCAGGTCTTGACATCCTCTGAC
AATCCTAGAGATAGGACGTCCCTTTCGGGGGCGAGGTGACAGGTGGTGCATGGTTGTCGTCAGCTCGTGT
CCTGAGATGTTCCGGGGTAAGTCCCCCAACGAGCGCAACCCTTGATCTTATTTTGCACCATTCAGTTG
GGCACTCTAAGGGGACTGCCGGTGACAACCGGAGGAAGGGGGGGGAGGAAAAGCCAAAAAATCCAGGGCGC
CCTATGAACAGGGGGGACACACTGGTTTTAAATGGAGAGAAAAAAGGGGGCGGAAAACCCGCGGGTTAGC
CAACCCACCAAAAATGTTCTCATTTCGAGCGCAGTCTGCAACTCGACTGCGTGAAGCTGGAATCGCTAG
TAATCGCGGATCAGCATGCCGCGGTGAATACGTTCCCGGGCCTTGACACACCGCCCGTACACCACGAG

BTX48,

GTACATGCAGTCGAGCGGACAGATGGGAGTTCTTGCTCCCTGATGTTAGCGGCGGACGGGTGAGTAACAC
GTGGGTAACCTGCCTGTAAGACTGGGATAACTCCGGGAAACCGGGGCTAATACCGGATGGTTAAGTTTGA
ACCGCATGGTTCAAACATAAAAAGGTGGCTTCGGCTACCACTTACAGATGGACCCGCGGCATTAGCTAG
TTGGTGAGGTAACGGCTCACCAAGGCAACGATGCGTAGCCGACCTGAGAGGGTGATCGGCCACACTGGGA
CTGAGACACGGCCAGACTCCTACGGGAGGCAGCAGTAGGGAATCTTCCGCAATGGGACGAAAAGTCTGAC
GGAGCAACGCCGCTGAGTGATGAAGTTTTTCGGATCGTAAAAGCTCTGTTGTTAGGGAAGAACAAGTAC
CGTTTCAATAGGGCGGTACCTTGACGGTACCTAACCCAGAAAAGCCACGGCTAACTACGTGCCAGCAGCCGC
GGTAATACGTAGGTGGCAAGCGTTGTCCGGAATTATTGGGCGTAAAAGGGCTCGCAGGCGGTTTCTTAAGT
CTGATGATGTGAAAGCCCCCGGCTCAACCGGGGAGGGTCATTGGAAACTGGGGAACCTGAGTGCAGAAGA
GGAGAGTGAATTCACGTGTAGCGGTGAAATGCGTAGAGATGTGGAGGAACACCAGTGGCGAAGGCGAC
TCTCTGGTCTGTAAGTACGCTGAGGAGCGAAAAGCGTGGGAGCGAACAGGATTAGATACCCTGGTAGTA
TGCCACGCCGTAAACGATGAGTGCTAAGTGTAGGGGGTTTTCCCGCCCTTAGTGCTGCAGCTAACGCA
TTAAGCACTCCGCCTGGGGGAGTACGGTCGCAAGACTGAAACTCAAAGGAATTGACGGGGGCCCGCACAA
CCGGTGGAGCATGTGGTTAATTGCAAGCAACCGCAAGAACCTTACCAGGTCTTGACATCCTCTGACAAT
CCTAGAGATAGGACGTCCCCTTCGGGGGCGAGGTGACAGGTGGTGCATGGTTGTCGTCAGTCTGTGTCCT
GAGATGTTCCGGGGTAAGTCCCCCAACGAGCGCAACCCTTGATCTTATTTTGCACCATTCAGTTGGGC
ACTCTAAGGGGACTGCCGGTGACAACCGGAGGAAGGGGGGGGAGGAAAAGCCAAAAAATCCAGGGCGCCCT
ATGAACAGGGGGGACACACTGGTTTTAAATGGAGAGAAAAAAGGGGGCGGAAAACCCGCGGGTTAGCCAA
CCCACCAAAAATGTTCTCATTTCGAGCGCAGTCTGCAACTCGACTGCGTGAAGCTGGAATCGCTAGTAA
TCGCGGATCAGCATGCCGCGGTGAATACGTTCCCGGGCCTTGACACACCGCCCGTACACCACGAG

BTX60,

GTACATGCAGTCGAGCGGACAGATGGGAGTTCTTGCTCCCTGATGTTAGCGGCGGACGGGTGAGTAACAC
GTGGGTAACTGCCTGTAAGACTGGGATAACTCCGGGAAACCGGGGCTAATACCGGATGGTTAAGTTTGA
ACCGCATGGTTCAAACATAAAAAGGTGGCTTCGGCTACCACTTACAGATGGACCCGCGGCATTAGCTAG
TTGGTGAGGTAACGGCTCACCAAGGCAACGATGCGTAGCCGACCTGAGAGGGTGATCGGCCACACTGGGA
CTGAGACACGGCCAGACTCCTACGGGAGGCAGCAGTAGGGAATCTTCCGCAATGGGACGAAAGTCTGAC
GGAGCAACGCCGCGTGAGTGATGAAGGTTTTTCGGATCGTAAAAGCTCTGTTGTTAGGGAAGAACAAGTAC
CGTTTCGAATAGGGCGGTACCTTGACGGTACCTAACCAGAAAAGCCACGGCTAACTACGTGCCAGCAGCCGC
GGTAATACGTAGGTGGCAAGCGTTGTCCGGAATTATTGGGCGTAAAAGGGCTCGCAGGCGGTTTTCTTAAGT
CTGATGATGTGAAAGCCCCCGCTCAACCGGGGAGGGTCATTGGAAACTGGGGAACCTGAGTGCAGAAGA
GGAGAGTGAATTCCACGTGTAGCGGTGAAATGCGTAGAGATGTGGAGGAACACCAGTGGCGAAGGCGAC
TCTCTGGTCTGTAAGTACGCTGAGGAGCGAAAGCGTGGGAGCGAACAGGATTAGATACCCTGGTAGTA
TGCCACGCCGTAACGATGAGTGCTAAGTGTTAGGGGGTTTTCCCGCCCTTAGTGCTGCAGCTAACGCA
TTAAGCACTCCGCCTGGGGGAGTACGGTCGCAAGACTGAAACTCAAAGGAATTGACGGGGGCCGCACAA
GCGGTGGAGCATGTGGTTTTAATTCGAAGCAACCGGAAGAACCTTACCAGGTCTTGACATCCCTGACAAT
CCTAGAGATAGGACGTCCCCTTCGGGGCAGAGTGACAGGTGGTGCATGGTTGTCGTCAGCTCGTGTCCCT
GAGATGTTCCGGGGTAAGTCCCCCAACGAGCGCAACCCTTGATCTTATTTTGCCACCATTGAGTTGGGC
ACTCTAAGGGGACTGCCGGTGACAACCGGAGGAAGGGGGGGAGGAAAAGCCAAAAAATCCAGGCGCCCT
ATGAACAGGGGGGACACACTGGTTTTAAATGGAGAGAAAAAAGGGGGCGGAAACCCGCGGGTTAGCCAA
CCCACAAAAATGTTCTCATTTTTCGAGCGCAGTCTGCAACTCGACTGCGTGAAGCTGGAATCGCTAGTAA
TCGCGGATCAGCATGCCGCGGTGAATACGTTCCCGGGCCTTGATACACACCGCCCGTCACACCACGAG

BTX61,

GTACATGCAGTCGAGCGGACAGATGGGAGTTCTTGCTCCCTGATGTTAGCGGCGGACGGGTGAGTAACAC
GTGGGTAACTGCCTGTAAGACTGGGATAACTCCGGGAAACCGGGGCTAATACCGGATGGTTAAGTTTGA
ACCGCATGGTTCAAACATAAAAAGGTGGCTTCGGCTACCACTTACAGATGGACCCGCGGCATTAGCTAG
TTGGTGAGGTAACGGCTCACCAAGGCAACGATGCGTAGCCGACCTGAGAGGGTGATCGGCCACACTGGGA
CTGAGACACGGCCAGACTCCTACGGGAGGCAGCAGTAGGGAATCTTCCGCAATGGGACGAAAGTCTGAC
GGAGCAACGCCGCGTGAGTGATGAAGGTTTTTCGGATCGTAAAAGCTCTGTTGTTAGGGAAGAACAAGTAC
CGTTTCGAATAGGGCGGTACCTTGACGGTACCTAACCAGAAAAGCCACGGCTAACTACGTGCCAGCAGCCGC
GGTAATACGTAGGTGGCAAGCGTTGTCCGGAATTATTGGGCGTAAAAGGGCTCGCAGGCGGTTTTCTTAAGT
CTGATGATGTGAAAGCCCCCGCTCAACCGGGGAGGGTCATTGGAAACTGGGGAACCTGAGTGCAGAAGA
GGAGAGTGAATTCCACGTGTAGCGGTGAAATGCGTAGAGATGTGGAGGAACACCAGTGGCGAAGGCGAC
TCTCTGGTCTGTAAGTACGCTGAGGAGCGAAAGCGTGGGAGCGAACAGGATTAGATACCCTGGTAGTA
TGCCACGCCGTAACGATGAGTGCTAAGTGTTAGGGGGTTTTCCCGCCCTTAGTGCTGCAGCTAACGCA
TTAAGCACTCCGCCTGGGGGAGTACGGTCGCAAGACTGAAACTCAAAGGAATTGACGGGGGCCGCACAA
GCGGTGGAGCATGTGGTTTTAATTCGAAGCAACCGGAAGAACCTTACCAGGTCTTGACATCCCTGACAAT
CCTAGAGATAGGACGTCCCCTTCGGGGCAGAGTGACAGGTGGTGCATGGTTGTCGTCAGCTCGTGTCCCT
GAGATGTTCCGGGGTAAGTCCCCCAACGAGCGCAACCCTTGATCTTATTTTGCCACCATTGAGTTGGGC
ACTCTAAGGGGACTGCCGGTGACAACCGGAGGAAGGGGGGGAGGAAAAGCCAAAAAATCCAGGCGCCCT
ATGAACAGGGGGGACACACTGGTTTTAAATGGAGAGAAAAAAGGGGGCGGAAACCCGCGGGTTAGCCAA
CCCACAAAAATGTTCTCATTTTTCGAGCGCAGTCTGCAACTCGACTGCGTGAAGCTGGAATCGCTAGTAA
TCGCGGATCAGCATGCCGCGGTGAATACGTTCCCGGGCCTTGATACACACCGCCCGTCACACCACGAG

BTX78,

TAAATGTACATGCAGTCGAGCGGACAGATGGGAGTTCTTGCTCCCTGATGTTAGCGGCGGACGGGTGAGT
AACACGTGGGTAACCTGCCTGTAAGACTGGGATAACTCCGGGAAACCGGGGCTAATACCGGATGGTTAAG
TTTGAACCGCATGGTTCAAACATAAAAAGGTGGCTTCGGCTACCACTTACAGATGGACCCGCGGCATTA
GCTAGTTGGTGAGGTAACGGCTCACCAAGGCAACGATGCGTAGCCGACCTGAGAGGGTGATCGGCCACAC
TGGGACTGAGACACGGCCCAGACTCCTACGGGAGGCAGCAGTAGGGAATCTTCCGCAATGGGACGAAAGT
CTGACGGAGCAACGCCGCGTGAGTGATGAAGGTTTTTCGGATCGTAAAAGCTCTGTTGTTAGGGAAGAACA
AGTACCGTTCGAATAGGGCGGTACCTTGACGGTACCTAACCCAGAAAAGCCACGGCTAACTACGTGCCAGCA
GCCGCGGTAATACGTAGGTGGCAAGCGTTGTCCGGAATTATTGGGCGTAAAAGGCTCGCAGGCGGTTTCT
TAAGTCTGATGATGTGAAAGCCCCCGCTCAACCGGGGAGGGTCATTGGAAACTGGGGAACCTGAGTGCA
GAAGAGGAGAGTGGAATTCCACGTGTAGCGGTGAAATGCGTAGAGATGTGGAGGAACACCAGTGGCGAAG
GCGACTCTCTGGTCTGTAAGTACGCTGAGGAGCGAAAAGCGTGGGAGCGAACAGGATTAGATACCCTGG
TAGTATGCCACGCCGTAAACGATGAGTGCTAAGTGTAGGGGGTTTTCCCGCCCTTAGTGCTGCAGCTA
ACGCATTAAGCACTCCGCTGGGGGAGTACGGTCGCAAGACTGAAACTCAAAGGAATTGACGGGGGCCCG
CACAAGCGGTGGAGCATGTGGTTAATTGCAAGCAACCGGAAGAACCTTACCAGGCTTGACATCCTCTG
ACAATCCTAGAGATAGGACGTCCCTTCGGGGGCGAGGTGACAGGTGGTGCATGGTTGTCGTCAGCTCGT
GTCCTGAGATGTTCCGGGGTAAGTCCCCCAACGAGCGCAACCCTTGATCTTATTTTGCACCATTTCAGT
TGGGCACTCTAAGGGGACTGCCGGTGACAACCGGAGGAAGGGGGGGGAGGAAAAGCCAAAAAATCCAGGC
GCCCTATGAACAGGGGGGACACACTGGTTTTAAATGGAGAGAAAAAAGGGGGCGGAAAACCCGCGGGTTA
GCCAACCCACCAAAAATGTTCTCATTTCGAGCGCAGTCTGCAACTCGACTGCGTGAAGCTGGAATCGCT
AGTAATCGCGGATCAGCATGCCGCGGTGAATACGTTCCCGGGCCTTGACACACCGCCCGTACACCACG
AGAAAA

BTX81

AGTACATGCAGTCGAGCGGACAGATGGGAGTTCTTGCTCCCTGATGTTAGCGGCGGACGGGTGAGTAACA
CGTGGGTAACCTGCCTGTAAGACTGGGATAACTCCGGGAAACCGGGGCTAATACCGGATGGTTAAGTTT
AACCGCATGGTTCAAACATAAAAAGGTGGCTTCGGCTACCACTTACAGATGGACCCGCGGCATTAGCTA
GTTGGTGAGGTAACGGCTCACCAAGGCAACGATGCGTAGCCGACCTGAGAGGGTGATCGGCCACACTGGG
ACTGAGACACGGCCCAGACTCCTACGGGAGGCAGCAGTAGGGAATCTTCCGCAATGGGACGAAAGTCTGA
CGGAGCAACGCCGCGTGAGTGATGAAGGTTTTTCGGATCGTAAAAGCTCTGTTGTTAGGGAAGAACAAGTA
CCGTTTCGAATAGGGCGGTACCTTGACGGTACCTAACCCAGAAAAGCCACGGCTAACTACGTGCCAGCAGCCG
CGGTAATACGTAGGTGGCAAGCGTTGTCCGGAATTATTGGGCGTAAAAGGCTCGCAGGCGGTTTCTTAAG
TCTGATGATGTGAAAGCCCCCGCTCAACCGGGGAGGGTCATTGGAAACTGGGGAACCTGAGTGCAAG
AGGAGAGTGGAATTCCACGTGTAGCGGTGAAATGCGTAGAGATGTGGAGGAACACCAGTGGCGAAGGCCA
CTCTCTGGTCTGTAAGTACGCTGAGGAGCGAAAAGCGTGGGAGCGAACAGGATTAGATACCCTGGTAGT
ATGCCACGCCGTAAACGATGAGTGCTAAGTGTAGGGGGTTTTCCCGCCCTTAGTGCTGCAGCTAACGC
ATTAAGCACTCCGCTGGGGGAGTACGGTCGCAAGACTGAAACTCAAAGGAATTGACGGGGGCCCGCACA
AGCGGTGGAGCATGTGGTTAATTGCAAGCAACCGGAAGAACCTTACCAGGCTTGACATCCTCTGACAA
TCCTAGAGATAGGACGTCCCTTCGGGGGCGAGGTGACAGGTGGTGCATGGTTGTCGTCAGCTCGTGTCC
TGAGATGTTCCGGGGTAAGTCCCCCAACGAGCGCAACCCTTGATCTTATTTTGCACCATTTCAGTTGGG
CACTCTAAGGGGACTGCCGGTGACAACCGGAGGAAGGGGGGGGAGGAAAAGCCAAAAAATCCAGGCGCCC
TATGAACAGGGGGGACACACTGGTTTTAAATGGAGAGAAAAAAGGGGGCGGAAAACCCGCGGGTTAGCCA
ACCCACCAAAAATGTTCTCATTTCGAGCGCAGTCTGCAACTCGACTGCGTGAAGCTGGAATCGCTAGTA
ATCGCGGATCAGCATGCCGCGGTGAATACGTTCCCGGGCCTTGACACACCGCCCGTACACCACGAGCC

EK 22. *B. licheniformis* 16s rRNA baz dizisi

BTX16,

TATATAGTCGAGCGGACAGATGGGAGCTTGCTCCCCTGATGTCCCGCGGCGCACGGTTGAGTTACACGTG
GGTAAAGTCCTGCCTGTAAGACTGGGATAACTCCGGGAAACCGGGGCTAATACCGGATGCTTGATTGAAC
CGCATGGTTCAATTATAAAAAGGTGGCTTTTAGCTACCACTTACAGATGGACCCGCGGCATTAGCTAGT
TGGTGAGGTAACGGCTCACCAAGGCAACGATGCGTAGCCGACCTGAGAGGGGTGATCGGCCACACTGGGA
CTGAGACACGGCCAAACTCCTACGGGAGGCAGCAGTAGGGAATCTTCCGCAATGGACGAAAGTCTGACG
GAGCAACGCCGCTGAGTGATGAAGGTTTTTCGGATCGTAAAACTCTGTTGTTAGGGAAGAACAAAGTACCG
TTCGAATAGGGCGGTACCTTGACGGTACCTAACCCAGAAAAGCCACGGCTAACTACGTGCCAGCAGCCGCGG
TAATACGTAGGTGGCAAGCGTTGTCCGGAATTATTGGGCGTAAAGCGCGCGCAGGCGGTTTTTCTTAAGT
CTGATGTGAAAGCCCCGCGGGCTCAACCGGGGGGAGGGTCATTGGGAAACTGGGGAACCTGAGTGCAGAAG
AGGGGAGTCGCATTCCCCACGTGTACCGGTGAAATGCGTAGAGATGTGGAGGAACACCAGTGGCGAAGGG
CGACTCTCTGGTCTGTAAGTACGCTGAGGCGCGAAAGCGTGGGGGAGCGAACAGGATTAGATACCCTGG
TAGTCCACGCCGTAAACGATCATGAGTGCTAAGTGTTAGAGGGTTTTCCGCCCTTTAGTGTGCAGCAA
CGCATTAAAGCACTCCGCCTGGGGAGTACGGTCGCAAGACTGAAACTCAAAGGAATTGACGGGGGCCCGCA
CAAGCGGTGGAGCATGTGGTTTTAATTCGAAGCAACCGGAAGAACCCTTACCAGGTCTTGACATCCTCTGAC
AACCCCTAGAGATAGGGCTTCCCCCTTCGGGGGGCAGAGTGACAGGTGGTGCATGGTTTTGTCTGTCAGCT
CGTGTCTGAGATGTTGGGTTAAGTCCCAGCAACGAGCGCAACCCTTGATCTTAGTTGCCAGCATTGAGTT
GGGCACTCTAAGGTGACTGCCGGTGACAAACCGGAGGAAAAGGTGGGGATGACGTCAAAATCATCATGCCC
CTTATGACCTGGGCTACACACGTGCTACAATGGGCAGAACAAAGGGGGCAGCGAAGCCGCGAGGCTAAGC
CAATCCCACAAAATTCTGTTCTCAGTTCGGATCGCAGTCTGCAACTCGACTGCGTGAAGCTGGAATCGCT
AGTAATCGCGGATCAGCAGGCCCGGGTGGAGTAAGTGTAAAGGGCTAACCAACGCACCCGTAGAGCCTGATCC
CCGGATCAAAAATTTTT

BTX17,

GTCGAGCGGACAGATGGGAGCTTGCTCCCCTGATGTCCCGCGGCGCACGGTTGAGTTACACGTGGGTAAA
GTCCTGCCTGTAAGACTGGGATAACTCCGGGAAACCGGGGCTAATACCGGATGCTTGATTGAACCGCATG
GTTCAATTATAAAAAGGTGGCTTTTAGCTACCACTTACAGATGGACCCGCGGCATTAGCTAGTTGGTGA
GGTAACGGCTCACCAAGGCAACGATGCGTAGCCGACCTGAGAGGGGTGATCGGCCACACTGGGACTGAGA
CACGGCCAAACTCCTACGGGAGGCAGCAGTAGGGAATCTTCCGCAATGGACGAAAGTCTGACGGAGCAA
CGCCGCGTGAGTGATGAAGGTTTTTCGGATCGTAAAACTCTGTTGTTAGGGAAGAACAAAGTACCGTTGAA
TAGGGCGGTACCTTGACGGTACCTAACCCAGAAAAGCCACGGCTAACTACGTGCCAGCAGCCGCGGTAATAC
GTAGGTGGCAAGCGTTGTCCGGAATTATTGGGCGTAAAGCGCGCGCAGGCGGTTTTTCTTAAGTCTGATG
TGAAAGCCCCGCGGGCTCAACCGGGGGGAGGGTCATTGGGAAACTGGGGAACCTGAGTGCAGAAGAGGGGA
GTCGCATTCCCCACGTGTACCGGTGAAATGCGTAGAGATGTGGAGGAACACCAGTGGCGAAGGGCGACTC
TCTGGTCTGTAAGTACGCTGAGGCGCGAAAGCGTGGGGGAGCGAACAGGATTAGATACCCTGGTAGTCC
ACGCCGTAAACGATCATGAGTGCTAAGTGTAGAGGGTTTTCCGCCCTTTAGTGTGCAGCAAACGCATT
AAGCACTCCGCCTGGGGAGTACGGTCGCAAGACTGAAACTCAAAGGAATTGACGGGGGCCCGCACAAAGCG
GTGGAGCATGTGGTTTTAATTCGAAGCAACCGGAAGAACCCTTACCAGGTCTTGACATCCTCTGACAACCCC
TAGAGATAGGGCTTCCCCCTTCGGGGGGCAGAGTGACAGGTGGTGCATGGTTTTGTCTGTCAGCTCGTGTG
GTGAGATGTTGGGTTAAGTCCCAGCAACGAGCGCAACCCTTGATCTTAGTTGCCAGCATTGAGTTGGGCAC
TCTAAGGTGACTGCCGGTGACAAACCGGAGGAAAAGGTGGGGATGACGTCAAAATCATCATGCCCCCTTATG
ACCTGGGCTACACACGTGCTACAATGGGCAGAACAAAGGGGGCAGCGAAGCCGCGAGGCTAAGCCAATCC
CACAAAATTCTGTTCTCAGTTCGGATCGCAGTCTGCAACTCGACTGCGTGAAGCTGGAATCGCTAGTAAT
CGCGGATCAGCAGGCCCGGGTGGAGTAAGTGTAAAGGGCTAACCAACGCACCCGTAGAGCCTGATCCCCGGAT
CAAAAATTT

BTX18,

AGTCGAGCGGACAGATGGGAGCTTGCTCCCCTGATGTCCCGCGGCGCACGGTTGAGTTACACGTGGGTAA
AGTCCTGCCTGTAAGACTGGGATAACTCCGGGAAACCGGGGCTAATACCGGATGCTTGATTGAACCGCAT
GGTTCAATTATAAAAGGTGGCTTTTAGCTACCACTTACAGATGGACCCGCGGCGCATTAGCTAGTTGGTG
AGGTAACGGCTCACCAAGGCAACGATGCGTAGCCGACCTGAGAGGGGTGATCGGCCACACTGGGACTGAG
ACACGGCCCCAACTCCTACGGGAGGCAGCAGTAGGGAATCTTCCGCAATGGACGAAAGTCTGACGGAGCA
ACGCCGCGTGAGTGATGAAGGTTTTTCGGATCGTAAAACCTCTGTTGTTAGGGAAGAACAAGTACCGTTCGA
ATAGGGCGGTACCTTGACGGTACCTAACCAGAAAGCCACGGCTAACTACGTGCCAGCAGCCGCGGTAATA
CGTAGGTGGCAAGCGTTGTCCGGAATTATTGGGCGTAAAGCGCGCGCAGGCGGTTTTCTTAAGTCTGAT
GTGAAAGCCCGCGGGCTCAACCGGGGGGAGGGTCATTGGGAAACTGGGGAACCTTGAGTGCAGAAGAGGGG
AGTCGCATTCCCCACGTGTACCGGTGAAATGCGTAGAGATGTGGAGGAACACCAGTGGCGAAGGGCGACT
CTCTGGTCTGTAACCTGACGCTGAGGCGCGAAAGCGTGGGGGAGCGAACAGGATTAGATAACCTGGTAGTC
CACGCCGTAAACGATCATGAGTGCTAAGTGTTAGAGGGTTTTCCGCCCTTTAGTGCTGCAGCAAACGCAT
TAAGCACTCCGCCTGGGGAGTACGGTCGCAAGACTGAAACTCAAAGGAATTTGACGGGGGCCCGACAAGC
GGTAGAGCATGTGGTTTTAATTCGAAGCAACCGCAAGAACCTTACCAGGCTTTGACATCCTCTGACAACCC
CTAGAGATAGGGCTTCCCCCTTCGGGGGGCAGAGTGACAGGTGGTGCATGGTTTTTCTGTCGTCAGTCTGT
CGTGAGATGTTGGGTTAAGTCCCAGCAACGAGCGCAACCCCTGATCTTAGTTGCCAGCATTCAGTTGGGCA
CTCTAAGGTGACTGCCGGTGACAAACCGGAGGAAAAGGTGGGGATGACGTCAAATCATCATGCCCTTAT
GACCTGGGCTACACACGTGCTACAATGGGCAGAAACAAAGGGGGCAGCGAAGCCCGGAGGCTAAGCCAATC
CCACAAAATTCTGTTCTCAGTTCCGGATCGCAGTCTGCAACTCGACTGCGTGAAGCTGGAATCGCTAGTAA
TCGCGGATCAGCAGGCCGCGGTGAGTAAGTGAAGGGCTAACACGCACCCGTAGAGCCTGATCCCCGGA
TCAAAAATTT

BTX19,

GTCGAGCGGACAGATGGGAGCTTGCTCCCCTGATGTCCCGCGGCGCACGGTTGAGTTACACGTGGGTAAA
GTCCTGCCTGTAAGACTGGGATAACTCCGGGAAACCGGGGCTAATACCGGATGCTTGATTGAACCGCATG
GTTCAATTATAAAAGGTGGCTTTTAGCTACCACTTACAGATGGACCCGCGGCGCATTAGCTAGTTGGTGA
GGTAACGGCTCACCAAGGCAACGATGCGTAGCCGACCTGAGAGGGGTGATCGGCCACACTGGGACTGAGA
CACGGCCCCAACTCCTACGGGAGGCAGCAGTAGGGAATCTTCCGCAATGGACGAAAGTCTGACGGAGCAA
CGCCGCGTGAGTGATGAAGGTTTTTCGGATCGTAAAACCTCTGTTGTTAGGGAAGAACAAGTACCGTTCGAA
TAGGGCGGTACCTTGACGGTACCTAACCAGAAAGCCACGGCTAACTACGTGCCAGCAGCCGCGGTAATAC
GTAGGTGGCAAGCGTTGTCCGGAATTATTGGGCGTAAAGCGCGCGCAGGCGGTTTTCTTAAGTCTGATG
TGAAAGCCCGCGGGCTCAACCGGGGGGAGGGTCATTGGGAAACTGGGGAACCTTGAGTGCAGAAGAGGGGA
GTCGCATTCCCCACGTGTACCGGTGAAATGCGTAGAGATGTGGAGGAACACCAGTGGCGAAGGGCGACTC
TCTGGTCTGTAACCTGACGCTGAGGCGCGAAAGCGTGGGGGAGCGAACAGGATTAGATAACCTGGTAGTCC
ACGCCGTAAACGATCATGAGTGCTAAGTGTTAGAGGGTTTTCCGCCCTTTAGTGCTGCAGCAAACGCATT
AAGCACTCCGCCTGGGGAGTACGGTCGCAAGACTGAAACTCAAAGGAATTGACGGGGGCCCGACAAGCG
GTGGAGCATGTGGTTTTAATTCGAAGCAACCGCAAGAACCTTACCAGGCTTTGACATCCTCTGACAACCCC
TAGAGATAGGGCTTCCCCCTTCGGGGGGCAGAGTGACAGGTGGTGCATGGTTTTTGTGTCGTCAGCTCGTGT
GTGAGATGTTGGGTTAAGTCCCAGCAACGAGCGCAACCCCTTATGTTAGTTGCCAGCATTCAGTTGGGCAC
TCTAAGGTGACTGCCGGTGACAAACCGGAGGAAAAGGTGGGGATGACGTCAAATCATCATGCCCTTATG
ACCTGGGCTACACACGTGCTACAATGGGCAGAAACAAAGGGGGCAGCGAAGCCCGGAGGCTAAGCCAATCC
CACAAAATTCTGTTCTCAGTTCCGGATCGCAGTCTGCAACTCGACTGCGTGAAGCTGGAATCGCTAGTAA
CGCGGATCAGCAGGCCGCGGTGAGTAAGTGAAGGGCTAACACGCACCCGTAGAGCCTGATCCCCGGAT
CAAAAATTTTTTTT

BTX20,

GTCGAGCGGACAGATGGGAGCTTGCTCCCCTGATGTCCCGCGGCGCACGGTTGAGTTACACGTGGGTAAA
GTCCTGCCTGTAAGACTGGGATAACTCCGGGAAACCGGGGCTAATACCGGATGCTTGATTGAACCGCATG
GTTCAATTATAAAAGGTGGCTTTTAGCTACCACTTACAGATGGACCCGCGGCGCATTAGCTAGTTGGTGA
GGTAACGGCTCACCAAGGCAACGATGCGTAGCCGACCTGAGAGGGGTGATCGGCCACACTGGGACTGAGA
CACGGCCCAAACCTCCTACGGGAGGCAGCAGTAGGGAATCTTCCGCAATGGACGAAAGTCTGACGGAGCAA
CGCCGCGTGAGTGATGAAGTTTTTCGGATCGTAAAACCTCTGTTGTTAGGGAAGAACAAGTACCGTTCGAA
TAGGGCGGTACCTTGACGGTACCTAACCAGAAAGCCACGGCTAACTACGTGCCAGCAGCCGCGGTAATAC
GTAGGTGGCAAGCGTTGTCCGGAATTATTGGGCGTAAAGCGCGCGCAGGCGGTTTTCTTAAGTCTGATG
TGAAAGCCCCGCGGGCTCAACCGGGGGGAGGGTCAATTGGGAAACTGGGGAACCTTGAGTGCAGAAGAGGGGA
GTGCGATTTCCCACGTGTACCGGTGAAATGCGTAGAGATGTGGAGGAACACCAGTGGCGAAGGGCGACTC
TCTGGTCTGTAACGTGACGCTGAGGCGCGAAAGCGTGGGGGAGCGAACAGGATTAGATACCCCTGGTAGTCC
ACGCCGTAAACGATCATGAGTGCTAAGTGTAGAGGGTTTTCCGCCCTTTAGTGCTGCAGCAAACGCATT
AAGCACTCCGCCTGGGGAGTACGGTCGCAAGACTGAAACTCAAAGGAATTGACGGGGGCCCGACAAGCG
GTGGAGCATGTGGTTAATTGCAAGCAACGCGAAGAACCTTACCAGGTCTTGACATCCTCTGACAACCC
TAGAGATAGGGCTTCCCCTTCGGGGGGCAGAGTGACAGGTGGTGCATGGTTTTGTCGTCAGCTCGTGTG
GTGAGATGTTGGGTTAAGTCCCGCAACGAGCGCAACCCCTGATCTTAGTTGCCAGCATTCAGTTGGGCAC
TCTAAGGTGACTGCCGGTGACAAACCGGAGGAAAAGGTGGGGATGACGTCAAATCATCATGCCCTTATG
ACCTGGGCTACACACGTGCTACAATGGGCAGAACAAAGGGGGCAGCGAAGCCGCGAGGCTAAGCCAATCC
CACAAAATTCTGTTCTCAGTTCGGATCGCAGTCTGCAACTCGACTGCGTGAAGCTGGAATCGCTAGTAAT
CGCGGATCAGCAGGCCGCGGTGAGTAAGTGTAAAGGGCTAACACGCACCCGTAGAGCCTGATCCCCGGAT
CAAAAAAATTTT

BTX21,

TTTAAAGTCGAGCGGACAGATGGGAGCTTGCTCCCCTGATGTCCCGCGGCGCACGGTTGAGTTACACGTG
GGTAAAGTCCTGCCTGTAAGACTGGGATAACTCCGGGAAACCGGGGCTAATACCGGATGCTTGATTGAAC
CGCATGGTTCAATTATAAAAGGTGGCTTTTAGCTACCACTTACAGATGGACCCGCGGCGCATTAGCTAGT
TGGTGAGGTAACGGCTCACCAAGGCAACGATGCGTAGCCGACCTGAGAGGGGTGATCGGCCACACTGGGA
CTGAGACACGGCCCAAACCTCCTACGGGAGGCAGCAGTAGGGAATCTTCCGCAATGGACGAAAGTCTGACG
GAGCAACGCCGCGTGAGTGATGAAGTTTTTCGGATCGTAAAACCTCTGTTGTTAGGGAAGAACAAGTACCG
TTCGAATAGGGCGGTACCTTGACGGTACCTAACCAGAAAGCCACGGCTAACTACGTGCCAGCAGCCGCGG
TAATACGTAGGTGGCAAGCGTTGTCCGGAATTATTGGGCGTAAAGCGCGCGCAGGCGGTTTTCTTAAGT
CTGATGTGAAAGCCCCGCGGGCTCAACCGGGGGGAGGGTCAATTGGGAAACTGGGGAACCTTGAGTGCAGAAG
AGGGGAGTCGCATTTCCCACGTGTACCGGTGAAATGCGTAGAGATGTGGAGGAACACCAGTGGCGAAGGG
CGACTCTCTGGTCTGTAACGTGACGCTGAGGCGCGAAAGCGTGGGGGAGCGAACAGGATTAGATACCCCTGG
TAGTCCACGCCGTAAACGATCATGAGTGCTAAGTGTAGAGGGTTTTCCGCCCTTTAGTGCTGCAGCAA
CGCATTAAAGCACTCCGCCTGGGGAGTACGGTCGCAAGACTGAAACTCAAAGGAATTGACGGGGGGCCGCA
CAAGCGGTGGAGCATGTGGTTAATTGCAAGCAACGCGAAGAACCTTACCAGGTCTTGACATCCTCTGAC
AACCCTAGAGATAGGGCTTCCCCTTCGGGGGGCAGAGTGACAGGTGGTGCATGGTTTTGTCGTCAGCT
CGTGTGTCGAGATGTTGGGTTAAGTCCCGCAACGAGCGCAACCCCTGATCTTAGTTGCCAGCATTCAGTT
GGGCACTCTAAGGTGACTGCCGGTGACAAACCGGAGGAAAAGGTGGGGATGACGTCAAATCATCATGCC
CTTATGACCTGGGCTACACACGTGCTACAATGGGCAGAACAAAGGGGGCAGCGAAGCCGCGAGGCTAAGC
CAATCCCACAAAATTCTGTTCTCAGTTCGGATCGCAGTCTGCAACTCGACTGCGTGAAGCTGGAATCGCT
AGTAATCGCGGATCAGCAGGCCGCGGTGAGTAAGTGTAAAGGGCTAACACGCACCCGTAGAGCCTGATCC
CCGGATCAAAAAATTT

BTX29,

GTCGAGCGGACAGATGGGAGCTTGCTCCCCTGATGTCCCGCGGCGCACGGTTGAGTTACACGTGGGTAAA
GTCCTGCCTGTAAGACTGGGATAACTCCGGGAAACCGGGGCTAATACCGGATGCTTGATTGAACCGCATG
GTTCAATTATAAAAGGTGGCTTTTAGCTACCACTTACAGATGGACCCGCGGCATTAGCTAGTTGGTGA
GGTAACGGCTCACCAAGGCAACGATGCGTAGCCGACCTGAGAGGGGTGATCGGCCACACTGGGACTGAGA
CACGGCCCAAACCTCCTACGGGAGGCAGCAGTAGGGAATCTTCCGCAATGGACGAAAGTCTGACGGAGCAA
CGCCGCGTGAGTGATGAAGTTTTTCGGATCGTAAAACCTCTGTTGTTAGGGAAGAACAAGTACCGTTCGAA
TAGGGCGGTACCTTGACGGTACCTAACCAGAAAGCCACGGCTAACTACGTGCCAGCAGCCGCGGTAATAC
GTAGGTGGCAAGCGTTGTCCGGAATTATTGGGCGTAAAGCGCGCGCAGGCGGTTTTTCTTAAGTCTGATG
TGAAAGCCCCGCGGGCTCAACCGGGGGGAGGGTCATTGGGAAACTGGGGAACCTTGAGTGCAGAAGAGGGGA
GTCGCATTCCCCACGTGTACCGGTGAAATGCGTAGAGATGTGGAGGAACACCAGTGGCGAAGGGCGACTC
TCTGGTCTGTAACCTGACGCTGAGGCGCGAAAGCGTGGGGGAGCGAACAGGATTAGATACCTGGTAGTCC
ACGCCGTAAACGATCATGAGTGCTAAGTGTAGAGGGTTTTCCGCCCTTTAGTGCTGCAGCAAACGCATT
AAGCACTCCGCCTGGGGAGTACGGTCGCAAGACTGAAACTCAAAGGAATTGACGGGGGCCCGACAAGCG
GTGGAGCATGTGGTTTTAATTCGAAGCAACGCGAAGAACCTTACCAGGTCTTGACATCCTCTGACAACCCC
TAGAGATAGGGCTTCCCCCTTCGGGGGGCAGAGTGACAGGTGGTGCATGGTTTTGTCGTCAGCTCGTGTG
GTGAGATGTTGGGTTAAGTCCCGCAACGAGCGCAACCCCTGATCTTAGTTGCCAGCATTCAGTTGGGCAC
TCTAAGGTGACTGCCGGTGACAAACCGGAGGAAAAGGTGGGGATGACGTCAAATCATCATGCCCTTATG
ACCTGGGCTACACACGTGCTACAATGGGCAGAACAAAGGGGGCAGCGAAGCCGCGAGGCTAAGCCAATCC
CACAAAATTCTGTTCTCAGTTCGGATCGCAGTCTGCAACTCGACTGCGTGAAGCTGGAATCGCTAGTAAT
CGCGGATCAGCAGGCCGCGGTGAGTAAGTGTAAAGGGCTAACACGCACCCGTAGAGCCTGATCCCCGGAT
CAAAAATTT

BTX36,

GTCGAGCGGACAGATGGGAGCTTGCTCCCCTGATGTCCCGCGGCGCACGGTTGAGTTACACGTGGGTAAA
GTCCTGCCTGTAAGACTGGGATAACTCCGGGAAACCGGGGCTAATACCGGATGCTTGATTGAACCGCATG
GTTCAATTATAAAAGGTGGCTTTTAGCTACCACTTACAGATGGACCCGCGGCATTAGCTAGTTGGTGA
GGTAACGGCTCACCAAGGCAACGATGCGTAGCCGACCTGAGAGGGGTGATCGGCCACACTGGGACTGAGA
CACGGCCCAAACCTCCTACGGGAGGCAGCAGTAGGGAATCTTCCGCAATGGACGAAAGTCTGACGGAGCAA
CGCCGCGTGAGTGATGAAGTTTTTCGGATCGTAAAACCTCTGTTGTTAGGGAAGAACAAGTACCGTTCGAA
TAGGGCGGTACCTTGACGGTACCTAACCAGAAAGCCACGGCTAACTACGTGCCAGCAGCCGCGGTAATAC
GTAGGTGGCAAGCGTTGTCCGGAATTATTGGGCGTAAAGCGCGCGCAGGCGGTTTTTCTTAAGTCTGATG
TGAAAGCCCCGCGGGCTCAACCGGGGGGAGGGTCATTGGGAAACTGGGGAACCTTGAGTGCAGAAGAGGGGA
GTCGCATTCCCCACGTGTACCGGTGAAATGCGTAGAGATGTGGAGGAACACCAGTGGCGAAGGGCGACTC
TCTGGTCTGTAACCTGACGCTGAGGCGCGAAAGCGTGGGGGAGCGAACAGGATTAGATACCTGGTAGTCC
ACGCCGTAAACGATCATGAGTGCTAAGTGTAGAGGGTTTTCCGCCCTTTAGTGCTGCAGCAAACGCATT
AAGCACTCCGCCTGGGGAGTACGGTCGCAAGACTGAAACTCAAAGGAATTGACGGGGGCCCGACAAGCG
GTGGAGCATGTGGTTTTAATTCGAAGCAACGCGAAGAACCTTACCAGGTCTTGACATCCTCTGACAACCCC
TAGAGATAGGGCTTCCCCCTTCGGGGGGCAGAGTGACAGGTGGTGCATGGTTTTGTCGTCAGCTCGTGTG
GTGAGATGTTGGGTTAAGTCCCGCAACGAGCGCAACCCCTGATCTTAGTTGCCAGCATTCAGTTGGGCAC
TCTAAGGTGACTGCCGGTGACAAACCGGAGGAAAAGGTGGGGATGACGTCAAATCATCATGCCCTTATG
ACCTGGGCTACACACGTGCTACAATGGGCAGAACAAAGGGGGCAGCGAAGCCGCGAGGCTAAGCCAATCC
CACAAAATTCTGTTCTCAGTTCGGATCGCAGTCTGCAACTCGACTGCGTGAAGCTGGAATCGCTAGTAAT
CGCGGATCAGCAGGCCGCGGTGAGTAAGTGTAAAGGGCTAACACGCACCCGTAGAGCCTGATCCCCGGAT
CAAAAATTT

BTX37,

CCGGTCGAGCGGACAGATGGGAGCTTGCTCCCCTGATGTCCCGCGGCGCACGGTTGAGTTACACGTGGGT
AAAGTCCTGCCTGTAAGACTGGGATAACTCCGGGAAACCGGGGCTAATACCGGATGCTTGATTGAACCGC
ATGGTTCAATTATAAAAGGTGGCTTTTAGCTACCACTTACAGATGGACCCGCGGCGCATTAGCTAGTTGG
TGAGGTAACGGCTCACCAAGGCAACGATGCGTAGCCGACCTGAGAGGGGTGATCGGCCACACTGGGACTG
AGACACGGCCCCAACTCCTACGGGAGGCAGCAGTAGGGAATCTTCCGCAATGGACGAAAAGTCTGACGGAG
CAACGCCGCGTGAGTGATGAAGGTTTTTCGGATCGTAAAACCTCTGTTGTTAGGGAAGAACAAGTACCGTTC
GAATAGGGCGGTACCTTGACGGTACCTAACCAGAAAAGCCACGGCTAACTACGTGCCAGCAGCCGCGGTAA
TACGTAGGTGGCAAGCGTTGTCCGGAATTATTGGGCGTAAAGCGCGCGCAGGCGGTTTTCTTAAGTCTG
ATGTGAAAGCCCGCGGGCTCAACCGGGGGGAGGGTCATTGGGAAACTGGGGAACCTTGAGTGCAGAAGAGG
GGAGTCGCATTCCCCACGTGTACCGGTGAAAATGCGTAGAGATGTGGAGGAACACCAGTGGCGAAGGGCGA
CTCTCTGGTCTGTAACCTGACGCTGAGGCGCGAAAAGCGTGGGGGAGCGAACAGGATTAGATAACCTGGTAG
TCCACGCCGTAAACGATCATGAGTGCTAAGTGTTAGAGGGTTTTCCGCCCTTTAGTGCTGCAGCAAACGC
ATTAAGCACTCCGCCTGGGGAGTACGGTCGCAAGACTGAAACTCAAAGGAATTTGACGGGGGCCCGCACAA
CCGTTGGAGATGTGGTTTTAATTCGAAGCAACCGCAAGAACCTTACCAGGTCTTGACATCCTCTGACAA
CCCTAGAGATAGGGCTTCCCCCTTCGGGGGGCAGAGTGACAGGTGGTGCATGGTTTTGTCTGTCAGTCGT
GTCGTGAGATGTTGGGTTAAGTCCCACAACGCGCAACCCCTGATCTTAGTTGCCAGCAATTCAGTTGGG
CACTCTAAGGTGACTGCCGGTGACAAAACCGGAGGAAAAGGTGGGGATGACGTCAAATCATCATGCCCTT
ATGACCTGGGCTACACACGTGCTACAATGGGCAGAAACAAAAGGGGGCAGCGAAGCCCGGAGGCTAAGCCAA
TCCCACAAAATTCTGTTCTCAGTTTCGGATCGCAGTCTGCAACTCGACTGCGTGAAGCTGGAATCGCTAGT
AATCGCGGATCAGCAGGCCGCGGTGAGTAAGTGAAGGGCTAACAAACGCACCCGTAGAGCCTGATCCCCG
GATCAAAAATTT

BTX38,

AGCATCGTCGAGCGGACAGATGGGAGCTTGCTCCCCTGATGTCCCGCGGCGCACGGTTGAGTTACACGTG
GGTAAAGTCCTGCCTGTAAGACTGGGATAACTCCGGGAAACCGGGGCTAATACCGGATGCTTGATTGAAC
CGCATGGTTCAATTATAAAAGGTGGCTTTTAGCTACCACTTACAGATGGACCCGCGGCGCATTAGCTAGT
TGGTGAGGTAACGGCTCACCAAGGCAACGATGCGTAGCCGACCTGAGAGGGGTGATCGGCCACACTGGGA
CTGAGACACGGCCCCAACTCCTACGGGAGGCAGCAGTAGGGAATCTTCCGCAATGGACGAAAAGTCTGACG
GAGCAACGCCGCGTGAGTGATGAAGGTTTTTCGGATCGTAAAACCTCTGTTGTTAGGGAAGAACAAGTACCG
TTCGAATAGGGCGGTACCTTGACGGTACCTAACCAGAAAAGCCACGGCTAACTACGTGCCAGCAGCCGCGG
TAATACGTAGGTGGCAAGCGTTGTCCGGAATTATTGGGCGTAAAGCGCGCGCAGGCGGTTTTCTTAAGT
CTGATGTGAAAGCCCGCGGGCTCAACCGGGGGGAGGGTCATTGGGAAACTGGGGAACCTTGAGTGCAGAAG
AGGGGAGTCGCATTCCCCACGTGTACCGGTGAAATGCGTAGAGATGTGGAGGAACACCAGTGGCGAAGGG
CGACTCTCTGGTCTGTAACCTGACGCTGAGGCGCGAAAAGCGTGGGGGAGCGAACAGGATTAGATAACCTGG
TAGTCCACGCCGTAAACGATCATGAGTGCTAAGTGTTAGAGGGTTTTCCGCCCTTTAGTGCTGCAGCAA
CGCATTAAGCACTCCGCCTGGGGAGTACGGTCGCAAGACTGAAACTCAAAGGAATTTGACGGGGGCCCGCA
CAAGCGGTGGAGCATGTGGTTTTAATTCGAAGCAACCGCAAGAACCTTACCAGGTCTTGACATCCTCTGAC
AACCCTTAGAGATAGGGCTTCCCCCTTCGGGGGGCAGAGTGACAGGTGGTGCATGGTTTTGTCTGTCAGCT
CGTGTCTGAGATGTTGGGTTAAGTCCCACAACGAGCGCAACCCCTTATGCTTAGTTGCCAGCAATTCAGTT
GGGCACTCTAAGGTGACTGCCGGTGACAAAACCGGAGGAAAAGGTGGGGATGACGTCAAATCATCATGCC
CTTATGACCTGGGCTACACACGTGCTACAATGGGCAGAAACAAAAGGGGGCAGCGAAGCCCGGAGGCTAAGC
CAATCCCACAAAATTCTGTTCTCAGTTTCGGATCGCAGTCTGCAACTCGACTGCGTGAAGCTGGAATCGCT
AGTAATCGCGGATCAGCAGGCCGCGGTGAGTAAGTGAAGGGCTAACAAACGCACCCGTAGAGCCTGATCC
CCGATCAAAAATTTTTTTT

BTX39,

ACACCGTCGAGCGGACAGATGGGAGCTTGCTCCCCTGATGTCCCGCGGCGCACGGTTGAGTTACACGTGG
GTAAAGTCCTGCCTGTAAGACTGGGATAACTCCGGGAAACCGGGGCTAATACCGGATGCTTGATTGAACC
GCATGGTTCAATTATAAAAGGTGGCTTTTAGCTACCACTTACAGATGGACCCGCGGCGCATTAGCTAGTT
GGTGAGGTAACGGCTCACCAAGGCAACGATGCGTAGCCGACCTGAGAGGGGTGATCGGCCACACTGGGAC
TGAGACACGGCCCAAACCTCCTACGGGAGGCAGCAGTAGGGAATCTTCCGCAATGGACGAAAGTCTGACGG
AGCAACGCCCGCTGAGTGATGAAGGTTTTTCGGATCGTAAAACCTCTGTTGTTAGGGAAGAACAAGTACCGT
TCGAATAGGGCGGTACCTTGACGGTACCTAACCAGAAAGCCACGGCTAACTACGTGCCAGCAGCCGCGGT
AATACGTAGGTGGCAAGCGTTGTCCGGAATTATTGGGCGTAAAGCGCGCGCAGGCGGTTTTCTTAAGTC
TGATGTGAAAGCCCGCGGGCTCAACCGGGGGGAGGGTCATTGGGAAACTGGGGAACCTTGAGTGCAGAAGA
GGGGAGTCGCATTTCCCCACGTGTACCGGTGAAAATGCGTAGAGATGTGGAGGAACACCAGTGGCGAAGGGC
GACTCTCTGGTCTGTAACCTGACGCTGAGGCGCGAAAGCGTGGGGGAGCGAACAGGATTAGATAACCTGGT
AGTCCACGCCGTAAACGATCATGAGTGCTAAGTGTTAGAGGGTTTTCCGCCCTTTAGTGCTGCAGCAAAC
GCATTAAGCACTCCGCTGGGGAGTACGGTCGCAAGACTGAAAACCTCAAAGGAATTTGACGGGGGCCCGCAC
AAGCGGTGGAGCATGTGGTTTAATTCGAAGCAACGCGAAGAACCTTACCAGGCTTTGACATCCTCTGACA
ACCCCTAGAGATAGGGCTTCCCCCTTCGGGGGGCAGAGTGACAGGTGGTGCATGGTTTTTGTCTGCTCAGCT
GTGTCTGAGATGTTGGGTTAAGTCCCACAACGCGCAACCCCTGATCTTAGTTGCCAGCATTCAGTTG
GGCACTCTAAGGTGACTGCCGGTGACAAAACCGGAGGAAAAGGTGGGGATGACGTCAAATCATCATGCCCC
TTATGACCTGGGCTACACACGTGCTACAATGGGCAGAAACAAAGGGGGCAGCGAAGCCGCGAGGCTAAGCC
AATCCACAAAATTTCTGTTCTCAGTTTCGGATCGCAGTCTGCAACTCGACTGCGTGAAGCTGGAATCGCTA
GTAATCGCGGATCAGCAGGCCGCGGTGAGTAAGTGTAAGGGCTAACAAACGCACCCGTAGAGCCTGATCCC
CGGATCAAAAATTT

BTX40,

GTCGAGCGGACAGATGGGAGCTTGCTCCCCTGATGTCCCGCGGCGCACGGTTGAGTTACACGTGGGTAAA
GTCCTGCCTGTAAGACTGGGATAACTCCGGGAAACCGGGGCTAATACCGGATGCTTGATTGAACCGCATG
GTTCAATTATAAAAGGTGGCTTTTAGCTACCACTTACAGATGGACCCGCGGCGCATTAGCTAGTTGGTGA
GGTAACGGCTCACCAAGGCAACGATGCGTAGCCGACCTGAGAGGGGTGATCGGCCACACTGGGACTGAGA
CACGGCCCAAACCTCCTACGGGAGGCAGCAGTAGGGAATCTTCCGCAATGGACGAAAGTCTGACGGAGCAA
CGCCGCGTGAGTGATGAAGGTTTTTCGGATCGTAAAACCTCTGTTGTTAGGGAAGAACAAGTACCGTTTCGAA
TAGGGCGGTACCTTGACGGTACCTAACCAGAAAGCCACGGCTAACTACGTGCCAGCAGCCGCGGTAATAC
GTAGGTGGCAAGCGTTGTCCGGAATTATTGGGCGTAAAGCGCGCGCAGGCGGTTTTTCTTAAGTCTGATG
TGAAAGCCCGCGGGCTCAACCGGGGGGAGGGTCATTGGGAAACTGGGGAACCTTGAGTGCAGAAGAGGGGA
GTCGCATTTCCCCACGTGTACCGGTGAAATGCGTAGAGATGTGGAGGAACACCAGTGGCGAAGGGCGACTC
TCTGGTCTGTAACCTGACGCTGAGGCGCGAAAGCGTGGGGGAGCGAACAGGATTAGATAACCTGGTAGTCC
ACGCCGTAAACGATCATGAGTGCTAAGTGTTAGAGGGTTTTCCGCCCTTTAGTGCTGCAGCAAACGCATT
AAGCACTCCGCCTGGGGAGTACGGTCGCAAGACTGAAAACCTCAAAGGAATTGACGGGGGCCCGCACAAAGCG
GTGGAGCATGTGGTTTTAATTCGAAGCAACGCGAAGAACCTTACCAGGCTTTGACATCCTCTGACAACCCC
TAGAGATAGGGCTTCCCCCTTCGGGGGGCAGAGTGACAGGTGGTGCATGGTTTTTGTCTGCTCAGCTCGTGT
GTGAGATGTTGGGTTAAGTCCCACAACGAGCGCAACCCCTTATGCTTAGTTGCCAGCATTCAGTTGGGCAC
TCTAAGGTGACTGCCGGTGACAAAACCGGAGGAAAAGGTGGGGATGACGTCAAATCATCATGCCCTTATG
ACCTGGGCTACACACGTGCTACAATGGGCAGAAACAAAGGGGGCAGCGAAGCCGCGAGGCTAAGCCAATCC
CACAAAATTTCTGTTCTCAGTTTCGGATCGCAGTCTGCAACTCGACTGCGTGAAGCTGGAATCGCTAGTAAT
CGCGGATCAGCAGGCCGCGGTGAGTAAGTGTAAGGGCTAACAAACGCACCCGTAGAGCCTGATCCCCGGAT
CAAAAATTTAAAAAAA

BTX41,

AGTCGAGCGGACAGATGGGAGCTTGCTCCCCTGATGTCCCGCGGCGCACGGTTGAGTTACACGTGGGTAA
AGTCCTGCCTGTAAGACTGGGATAACTCCGGGAAACCGGGGCTAATACCGGATGCTTGATTGAACCGCAT
GGTTCAATTATAAAAGGTGGCTTTTAGCTACCACTTACAGATGGACCCGCGGCGCATTAGCTAGTTGGTG
AGGTAACGGCTCACCAAGGCAACGATGCGTAGCCGACCTGAGAGGGGTGATCGGCCACACTGGGACTGAG
ACACGGCCCCAACTCCTACGGGAGGCAGCAGTAGGGAATCTTCCGCAATGGACGAAAAGTCTGACGGAGCA
ACGCCGCGTGAGTGATGAAGGTTTTTCGGATCGTAAAACCTCTGTTGTTAGGGAAGAACAAGTACCGTTCGA
ATAGGGCGGTACCTTGACGGTACCTAACCAGAAAGCCACGGCTAACTACGTGCCAGCAGCCGCGGTAATA
CGTAGGTGGCAAGCGTTGTCCGGAATTATTGGGCGTAAAGCGCGCGCAGGCGGTTTTCTTAAGTCTGAT
GTGAAAGCCCCGCGGGCTCAACCGGGGGGAGGGTCAATTGGGAAACTGGGGAACCTTGAGTGCAGAAGAGGGG
AGTCGCATTCCCCACGTGTACCGGTGAAATGCGTAGAGATGTGGAGGAACACCAGTGGCGAAGGGCGACT
CTCTGGTCTGTAACCTGACGCTGAGGCGCGAAAGCGTGGGGGAGCGAACAGGATTAGATACCCCTGGTAGTC
CACGCCGTAAACGATCATGAGTGCTAAGTGTTAGAGGGTTTTCCGCCCTTTAGTGCTGCAGCAAACGCAT
TAAGCACTCCGCCTGGGGAGTACGGTCGCAAGACTGAAACTCAAAGGAATTTGACGGGGGCCCGCACAAAGC
GGTAGAGCATGTGGTTTTAATTCGAAGCAACCGCAAGAACCTTACCAGGCTTTGACATCCTCTGACAACCC
CTAGAGATAGGGCTTCCCCCTTCGGGGGGCAGAGTGACAGGTGGTGCATGGTTTTTGTCTGTCAGCTCGTGT
CGTGAGATGTTGGGTTAAGTCCCAGCAACGAGCGCAACCCCTGATCTTAGTTGCCAGCATTCAGTTGGGCA
CTCTAAGGTGACTGCCGGTGACAAACCGGAGGAAAAGGTGGGGATGACGTCAAATCATCATGCCCTTAT
GACCTGGGCTACACACGTGCTACAATGGGCAGAAACAAAGGGGGCAGCGAAGCCGCGAGGCTAAGCCAATC
CCACAAAATTTCTGTTCTCAGTTCGGATCGCAGTCTGCAACTCGACTGCGTGAAGCTGGAATCGCTAGTAA
TCGCGGATCAGCAGGCCGCGGTGAGTAAGTGAAGGGCTAACAACGCACCCGTAGAGCCTGATCCCCGGA
TCAAAAATTT

BTX82

GTCGAGCGGACAGATGGGAGCTTGCTCCCCTGATGTCCCGCGGCGCACGGTTGAGTTACACGTGGGTAAA
GTCCTGCCTGTAAGACTGGGATAACTCCGGGAAACCGGGGCTAATACCGGATGCTTGATTGAACCGCATG
GTTCAATTATAAAAGGTGGCTTTTAGCTACCACTTACAGATGGACCCGCGGCGCATTAGCTAGTTGGTGA
GGTAACGGCTCACCAAGGCAACGATGCGTAGCCGACCTGAGAGGGGTGATCGGCCACACTGGGACTGAGA
CACGGCCCCAACTCCTACGGGAGGCAGCAGTAGGGAATCTTCGCAATGGACGAAAAGTCTGACGGAGCAAC
GCCGCGTGAGTGATGAAGGTTTTTCGGATCGTAAAACCTCTGTTGTTAGGGAAGAACAAGTACCGTTCGAAT
AGGGCGGTACCTTGACGGTACCTAACCAGAAAGCCACGGCTAACTACGTGCCAGCAGCCGCGGTAATACG
TAGGTGGCAAGCGTTGTCCGGAATTATTGGGCGTAAAGCGCGCGCAGGCGGTTTTCTTAAGTCTGATGT
GAAAGCCCCGCGGGCTCAACCGGGGGGAGGGTCAATTGGGAAACTGGGGAACCTTGAGTGCAGAAGAGGGGAG
TCGCATTCCCCACGTGTACCGGTGAAATGCGTAGAGATGTGGAGGAACACCAGTGGCGAAGGGCGACTCT
CTGGTCTGTAACCTGACGCTGAGGCGCGAAAGCGTGGGGGAGCGAACAGGATTAGATACCCCTGGTAGTCCA
CGCCGTAAACGATCATGAGTGCTAAGTGTTAGAGGGTTTTCCGCCCTTTAGTGCTGCAGCAAACGCATTA
AGCACTCCGCCTGGGGAGTACGGTCGCAAGACTGAAACTCAAAGGAATTTGACGGGGGCCCGCACAAAGCGG
TGGAGCATGTGGTTTTAATTCGAAGCAACCGCAAGAACCTTACCAGGCTTTGACATCCTCTGACAACCCCT
AGAGATAGGGCTTCCCCCTTCGGGGGGCAGAGTGACAGGTGGTGCATGGTTTTTGTCTGTCAGCTCGTGTCTG
TGAGATGTTGGGTTAAGTCCCAGCAACGAGCGCAACCCCTGATCTTAGTTGCCAGCATTCAGTTGGGCACT
CTAAGGTGACTGCCGGTGACAAACCGGAGGAAAAGGTGGGGATGACGTCAAATCATCATGCCCTTATGA
CCTGGGCTACACACGTGCTACAATGGGCAGAAACAAAGGGGGCAGCGAAGCCGCGAGGCTAAGCCAATCCC
ACAAAATTTCTGTTCTCAGTTCGGATCGCAGTCTGCAACTCGACTGCGTGAAGCTGGAATCGCTAGTAAATC
CGGATCAGCAGGCCGCGGTGAGTAAGTGAAGGGCTAACAACGCACCCGTAGAGCCTGATCCCCGGATC
AAAAATTT

EK 23. *B. thuringiensis* 16s rRNA baz dizisi

BTX53,

GGTATTGGAGAGTTTGGATCCTGGCTCAGGATGAACGCTGGCGGCGTGCCTAATACATGCAAGTCGAGCGA
ATGGATTAAGAGCTTGCTCTTATGAAGTTAGCGGCGGACGGGTGAGTAACACGTGGGTAACTGCCATA
AGACTGGGATAACTCCGGGAAACCGGGGCTAATACCGGATAATATTTTGAACCGCATGGTTCGAAATTGA
AAGGCGGCTTCGGCTGTCACTTATGGATGGACCCGCGTCGCATTAGCTAGTTGGTGAGGTAACGGCTCAC
CAAGGCAACGATGCGTAGCCGACCTGAGAGGGTGTATCGGCCACACTGGGACTGAGACACGGCCAGACTC
CTACGGGAGGCAGCAGTAGGGAATCTTCCGCAATGGACGAAAGTCTGACGGAGCAACGCCGCTGAGTGA
TGAAGGCTTTTCGGGTCGTAAAACCTCTGTTGTTAGGGAAGAACAAGTGTAGTTGAATAAGCTGGCACCTT
GACGGTACCTAACCCAGAAAGCCACGGCTAACTACGTGCCAGCAGCCGCGTAATACGTAGGTGGCAAGCG
TTATCCGGAATTATTGGGCGTAAAGCGCGCGCAGGTGGTTTCTTAAGTCTGATGTGAAAGCCACGGCTC
AACCGTGGAGGGTCATTGGAAACTGGGAGACTTGAGTGCAGAAGAGGAAAGTGAATTCATGTGTAGCG
GTGAAATGCGTAGAGATATGGAGGAACACCAGTGGCGAAGGCGACTTTCTGGTCTGTAAGTACACTGAG
GCGCGAAAGCGTGGGAGCAAACAGGATTAGATACCCTGGTAGTCCACGCCGTAAACGATGAGTGCTAAG
TGTTAGAGGGTTTCCGCCCTTTAGTGCTAAATT

BTX54,

AATATTGGAGAGTTTGGATCCTGGCTCAGGATGAACGCTGGCGGCGTGCCTAATACATGCAAGTCGAGCGA
ATGGATTAAGAGCTTGCTCTTATGAAGTTAGCGGCGGACGGGTGAGTAACACGTGGGTAACTGCCATA
AGACTGGGATAACTCCGGGAAACCGGGGCTAATACCGGATAATATTTTGAACCGCATGGTTCGAAATTGA
AAGGCGGCTTCGGCTGTCACTTATGGATGGACCCCGTCGCATTAGCTAGTTGGTGAGGTAACGGCTCAC
CAAGGCAACGATGCGTAGCCGACCTGAGAGGGTGTATCGGCCACACTGGGACTGAGACACGGCCAGACTC
CTACGGGAGGCAGCAGTAGGGAATCTTCCGCAATGGACGAAAGTCTGACGGAGCAACGCCGCTGAGTGA
TGAAGGCTTTTCGGGTCGTAAAACCTCTGTTGTTAGGGAAGAACAAGTGTAGTTGAATAAGCTGGCACCTT
GACGGTACCTAACCCAGAAAGCCACGGCTAACTACGTGCCAGCAGCCGCGTAATACGTAGGTGGCAAGCG
TTATCCGGAATTATTGGGCGTAAAGCGCGCGCAGGTGGTTTCTTAAGTCTGATGTGAAAGCCACGGCTC
AACCGTGGAGGGTCATTGGAAACTGGGAGACTTGAGTGCAGAAGAGGAAAGTGAATTCATGTGTAGCG
GTGAAATGCGTAGAGATATGGAGGAACACCAGTGGCGAAGGCGACTTTCTGGTCTGTAAGTACACTGAG
GCGCGAAAGCGTGGGAGCAAACAGGATTAGATACCCTGGTAGTCCACGCCGTAAACGATGAGTGCTAAG
TGTTAGAGGGTTTCCGCCCTTTAGTGCT

BTX55,

TATTGGAGAGTTTGGATCCTGGCTCAGGATGAACGCTGGCGGCGTGCCTAATACATGCAAGTCGAGCGAAT
GGATTAAGAGCTTGCTCTTATGAAGTTAGCGGCGGACGGGTGAGTAACACGTGGGTAACTGCCATAAG
ACTGGGATAACTCCGGGAAACCGGGGCTAATACCGGATAATATTTTGAACCGCATGGTTCGAAATTGAAA
GGCGGCTTCGGCTGTCACTTATGGATGGACCCGCGTCGCATTAGCTAGTTGGTGAGGTAACGGCTCACCA
AGGCAACGATGCGTAGCCGACCTGAGAGGGTGTATCGGCCACACTGGGACTGAGACACGGCCAGACTCCT
ACGGGAGGCAGCAGTAGGGAATCTTCCGCAATGGACGAAAGTCTGACGGAGCAACGCCGCTGAGTGATG
AAGGCTTTTCGGGTCGTAAAACCTCTGTTGTTAGGGAAGAACAAGTGTAGTTGAATAAGCTGGCACCTTGA
CGGTACCTAACCCAGAAAGCCACGGCTAACTACGTGCCAGCAGCCGCGTAATACGTAGGTGGCAAGCGTT
ATCCGGAATTATTGGGCGTAAAGCGCGCGCAGGTGGTTTCTTAAGTCTGATGTGAAAGCCACGGCTCAA
CCGTGGAGGGTCATTGGAAACTGGGAGACTTGAGTGCAGAAGAGGAAAGTGAATTCATGTGTAGCGGT
GAAATGCGTAGAGATATGGAGGAACACCAGTGGCGAAGGCGACTTTCTGGTCTGTAAGTACACTGAGGC
GCGAAAGCGTGGGAGCAAACAGGATTAGATACCCTGGTAGTCCACGCCGTAAACGATGAGTGCTAAGT
TTAGAGGGTTTCCGCCCTTTAGTGCT

BTX56,

GGTATTGGAGAGTTTGGATCCTGGCTCAGGATGAACGCTGGCGGCGTGCCTAATACATGCAAGTCGAGCGA
ATGGATTAAGAGCTTGCTCTTATGAAGTTAGCGGCGGACGGGTGAGTAACACGTGGGTAACTGCCATA
AGACTGGGATAACTCCGGGAAACCGGGCTAATACCGGATAATATTTGAACCGCATGGTTCGAAATTGA
AAGGCGGCTTTCGGCTGTCACTTATGGATGGACCCGCGTCGCATTAGCTAGTTGGTGAGGTAACGGCTCAC
CAAGGCAACGATGCGTAGCCGACCTGAGAGGGTGATCGGCCACACTGGGACTGAGACACGGCCAGACTC
CTACGGGAGGCAGCAGTAGGGAATCTTCCGCAATGGACGAAAGTCTGACGGAGCAACGCCGCGTGAGTGA
TGAAGGCTTTCGGGTCGTAAAACCTCTGTTGTTAGGGAAGAACAAGTGCTAGTTGAATAAGCTGGCACCTT
GACGGTACCTAACCAGAAAGCCACGGCTAACTACGTGCCAGCAGCCGCGGTAATACGTAGGTGGCAAGCG
TTATCCGGAATTATTGGGCGTAAAGCGCGCAGGTGGTTTTCTTAAGTCTGATGTGAAAGCCCACGGCTC
AACCGTGGAGGGTCATTGGAACTGGGAGACTTGAGTGCAGAAGAGGAAAAGTGGAAATCCATGTGTAGCG
GTGAAATGCGTAGAGATATGGAGGAACACCAGTGGCGAAGGCGACTTTCTGGTCTGTAACCTGACACTGAG
GCGCGAAAGCGTGGGGAGCAAACAGGATTAGATAACCTGGTAGTCCACGCCGTAAACGATGAGTGCTAAG
TGTTAGAGGGTTTTCCGCCCTTTAGTGCTAAATT

BTX57,

GGTATTGGAGAGTTTGGATCCTGGCTCAGGATGAACGCTGGCGGCGTGCCTAATACATGCAAGTCGAGCGA
ATGGATTAAGAGCTTGCTCTTATGAAGTTAGCGGCGGACGGGTGAGTAACACGTGGGTAACTGCCATA
AGACTGGGATAACTCCGGGAAACCGGGCTAATACCGGATAATATTTGAACCGCATGGTTCGAAATTGA
AAGGCGGCTTTCGGCTGTCACTTATGGATGGACCCGCGTCGCATTAGCTAGTTGGTGAGGTAACGGCTCAC
CAAGGCAACGATGCGTAGCCGACCTGAGAGGGTGATCGGCCACACTGGGACTGAGACACGGCCAGACTC
CTACGGGAGGCAGCAGTAGGGAATCTTCCGCAATGGACGAAAGTCTGACGGAGCAACGCCGCGTGAGTGA
TGAAGGCTTTCGGGTCGTAAAACCTCTGTTGTTAGGGAAGAACAAGTGCTAGTTGAATAAGCTGGCACCTT
GACGGTACCTAACCAGAAAGCCACGGCTAACTACGTGCCAGCAGCCGCGGTAATACGTAGGTGGCAAGCG
TTATCCGGAATTATTGGGCGTAAAGCGCGCAGGTGGTTTTCTTAAGTCTGATGTGAAAGCCCACGGCTC
AACCGTGGAGGGTCATTGGAACTGGGAGACTTGAGTGCAGAAGAGGAAAAGTGGAAATCCATGTGTAGCG
GTGAAATGCGTAGAGATATGGAGGAACACCAGTGGCGAAGGCGACTTTCTGGTCTGTAACCTGACACTGAG
GCGCGAAAGCGTGGGGAGCAAACAGGATTAGATAACCTGGTAGTCCACGCCGTAAACGATGAGTGCTAAG
TGTTAGAGGGTTTTCCGCCCTTTAGTGCTAAATT

BTX58,

GGTATTGGAGAGTTTGGATCCTGGCTCAGGATGAACGCTGGCGGCGTGCCTAATACATGCAAGTCGAGCGA
ATGGATTAAGAGCTTGCTCTTATGAAGTTAGCGGCGGACGGGTGAGTAACACGTGGGTAACTGCCATA
AGACTGGGATAACTCCGGGAAACCGGGCTAATACCGGATAATATTTGAACCGCATGGTTCGAAATTGA
AAGGCGGCTTTCGGCTGTCACTTATGGATGGACCCGCGTCGCATTAGCTAGTTGGTGAGGTAACGGCTCAC
CAAGGCAACGATGCGTAGCCGACCTGAGAGGGTGATCGGCCACACTGGGACTGAGACACGGCCAGACTC
CTACGGGAGGCAGCAGTAGGGAATCTTCCGCAATGGACGAAAGTCTGACGGAGCAACGCCGCGTGAGTGA
TGAAGGCTTTCGGGTCGTAAAACCTCTGTTGTTAGGGAAGAACAAGTGCTAGTTGAATAAGCTGGCACCTT
GACGGTACCTAACCAGAAAGCCACGGCTAACTACGTGCCAGCAGCCGCGGTAATACGTAGGTGGCAAGCG
TTATCCGGAATTATTGGGCGTAAAGCGCGCAGGTGGTTTTCTTAAGTCTGATGTGAAAGCCCACGGCTC
AACCGTGGAGGGTCATTGGAACTGGGAGACTTGAGTGCAGAAGAGGAAAAGTGGAAATCCATGTGTAGCG
GTGAAATGCGTAGAGATATGGAGGAACACCAGTGGCGAAGGCGACTTTCTGGTCTGTAACCTGACACTGAG
GCGCGAAAGCGTGGGGAGCAAACAGGATTAGATAACCTGGTAGTCCACGCCGTAAACGATGAGTGCTAAG
TGTTAGAGGGTTTTCCGCCCTTTAGTGCTAAATTTTTAAATTTAAA

BTX59,

GGTATTGGAGAGTTTGGATCCTGGCTCAGGATGAACGCTGGCGGCGTGCCTAATACATGCAAGTCGAGCGA
ATGGATTAAGAGCTTGCTCTTATGAAGTTAGCGGCGGACGGGTGAGTAACACGTTGGGTAACCTGCCATA
AGACTGGGATAACTCCGGGAAACCGGGGCTAATACCGGATAATATTTTGAACCGCATGGTTCGAAATTGA
AAGGCGGCTTTCGGCTGTCACTTATGGATGGACCCGCGTCGCATTAGCTAGTTGGTGAGGTAACGGCTCAC
CAAGGCAACGATGCGTAGCCGACCTGAGAGGGTGATCGGCCACACTGGGACTGAGACACGGCCAGACTC
CTACGGGAGGCAGCAGTAGGGAATCTTCCGCAATGGACGAAAGTCTGACGGAGCAACGCCGCGTGAGTGA
TGAAGGCTTTTCGGGTCGTAAAACCTCTGTTGTTAGGGAAGAACAAGTGCTAGTTGAATAAGCTGGCACCTT
GACGGTACCTAACCAGAAAGCCACGGCTAACTACGTGCCAGCAGCCGCGGTAATACGTAGGTGGCAAGCG
TTATCCGGAATTATTGGGCGTAAAGCGCGCGCAGGTGGTTTTCTTAAGTCTGATGTGAAAGCCCACGGCTC
AACCCTGGAGGGTCATTGGAACTGGGAGACTTGAGTGCAGAAGAGGAAAAGTGGAAATCCATGTGTAGCG
GTGAAATGCGTAGAGATATGGAGGAACACCAGTGGCGAAGGCGACTTTCTGGTCTGTAACCTGACACTGAG
GCGCGAAAGCGTGGGGAGCAAACAGGATTAGATAACCCTGGTAGTCCACGCCGTAAACGATGAGTGCTAAG
TGTTAGAGGGTTTTCCGCCCTTTAGTGCTAAA

BTX72,

GGTATTGGAGAGTTTGGATCCTGGCTCAGGATGAACGCTGGCGGCGTGCCTAATACATGCAAGTCGAGCGA
ATGGATTAAGAGCTTGCTCTTATGAAGTTAGCGGCGGACGGGTGAGTAACACGTTGGGTAACCTGCCATA
AGACTGGGATAACTCCGGGAAACCGGGGCTAATACCGGATAATATTTTGAACCGCATGGTTCGAAATTGA
AAGGCGGCTTTCGGCTGTCACTTATGGATGGACCCGCGTCGCATTAGCTAGTTGGTGAGGTAACGGCTCAC
CAAGGCAACGATGCGTAGCCGACCTGAGAGGGTGATCGGCCACACTGGGACTGAGACACGGCCAGACTC
CTACGGGAGGCAGCAGTAGGGAATCTTCCGCAATGGACGAAAGTCTGACGGAGCAACGCCGCGTGAGTGA
TGAAGGCTTTTCGGGTCGTAAAACCTCTGTTGTTAGGGAAGAACAAGTGCTAGTTGAATAAGCTGGCACCTT
GACGGTACCTAACCAGAAAGCCACGGCTAACTACGTGCCAGCAGCCGCGGTAATACGTAGGTGGCAAGCG
TTATCCGGAATTATTGGGCGTAAAGCGCGCGCAGGTGGTTTTCTTAAGTCTGATGTGAAAGCCCACGGCTC
AACCCTGGAGGGTCATTGGAACTGGGAGACTTGAGTGCAGAAGAGGAAAAGTGGAAATCCATGTGTAGCG
GTGAAATGCGTAGAGATATGGAGGAACACCAGTGGCGAAGGCGACTTTCTGGTCTGTAACCTGACACTGAG
GCGCGAAAGCGTGGGGAGCAAACAGGATTAGATAACCCTGGTAGTCCACGCCGTAAACGATGAGTGCTAAG
TGTTAGAGGGTTTTCCGCCCTTTAGTGCTAAATTGGG

BTX73

GGTATTGGAGAGTTTGGATCCTGGCTCAGGATGAACGCTGGCGGCGTGCCTAATACATGCAAGTCGAGCGA
ATGGATTAAGAGCTTGCTCTTATGAAGTTAGCGGCGGACGGGTGAGTAACACGTTGGGTAACCTGCCATA
AGACTGGGATAACTCCGGGAAACCGGGGCTAATACCGGATAATATTTTGAACCGCATGGTTCGAAATTGA
AAGGCGGCTTTCGGCTGTCACTTATGGATGGACCCGCGTCGCATTAGCTAGTTGGTGAGGTAACGGCTCAC
CAAGGCAACGATGCGTAGCCGACCTGAGAGGGTGATCGGCCACACTGGGACTGAGACACGGCCAGACTC
CTACGGGAGGCAGCAGTAGGGAATCTTCCGCAATGGACGAAAGTCTGACGGAGCAACGCCGCGTGAGTGA
TGAAGGCTTTTCGGGTCGTAAAACCTCTGTTGTTAGGGAAGAACAAGTGCTAGTTGAATAAGCTGGCACCTT
GACGGTACCTAACCAGAAAGCCACGGCTAACTACGTGCCAGCAGCCGCGGTAATACGTAGGTGGCAAGCG
TTATCCGGAATTATTGGGCGTAAAGCGCGCGCAGGTGGTTTTCTTAAGTCTGATGTGAAAGCCCACGGCTC
AACCCTGGAGGGTCATTGGAACTGGGAGACTTGAGTGCAGAAGAGGAAAAGTGGAAATCCATGTGTAGCG
GTGAAATGCGTAGAGATATGGAGGAACACCAGTGGCGAAGGCGACTTTCTGGTCTGTAACCTGACACTGAG
GCGCGAAAGCGTGGGGAGCAAACAGGATTAGATAACCCTGGTAGTCCACGCCGTAAACGATGAGTGCTAAG
TGTTAGAGGGTTTTCCGCCCTTTAGTGCTG

BTX79

GGTATTGGAGAGTTTGTATCCTGGCTCAGGATGAACGCTGGCGGCGTGCCTAATACATGCAAGTCGAGCGA
ATGGATTAAGAGCTTGCTCTTATGAAGTTAGCGGCGGACGGGTGAGTAACACGCTGGGTAACTGCCATA
AGACTGGGATAACTCCGGGAAACCGGGCTAATACCGGATAATATTTGAACCGCATGGTTCGAAATTGA
AAGGCGGCTTCGGCTGTCACTTATGGATGGACCCGCGTCGCATTAGCTAGTTGGTGAGGTAACGGCTCAC
CAAGGCAACGATGCGTAGCCGACCTGAGAGGGTGTATCGGCCACACTGGGACTGAGACACGGCCAGACTC
CTACGGGAGGCAGCAGTAGGGAATCTTCCGCAATGGACGAAAGTCTGACGGAGCAACGCCGCGTGAGTGA
TGAAGGCTTTCGGGTCGTAAAACCTCTGTTGTTAGGGAAGAACAAGTCTAGTTGAATAAGCTGGCACCTT
GACGGTACCTAACCAGAAAGCCACGGCTAACTACGTGCCAGCAGCCGCGGTAATACGTAGGTGGCAAGCG
TTATCCGGAATTATTGGGCGTAAAGCGCGCAGGTGGTTTTCTTAAGTCTGATGTGAAAAGCCACGGCTC
AACCCTGGAGGGTCATTGGAACTGGGAGACTTGAGTGCAGAAAGGAAAAGTGGAAATCCATGTGTAGCG
GTGAAATGCGTAGAGATATGGAGGAACACCAGTGGCGAAGGCGACTTTCTGGTCTGTAAGTACTGACTGAG
GCGCGAAAGCGTGGGGAGCAAACAGGATTAGATACCCTGGTAGTCCACGCCGTAAACGATGAGTGCTAAG
TGTTAGAGGGTTTTCCGCCCTTTAGTGCTAAATTA

EK 24. *Geobacillus kaustophilus* 16s rRNA baz dizisi

BTX42,

AAATCGGAGCTTGCTCTGGTTTTGGTCAGCGGCGGACGGGTGAGTAACACGCTGGGGCAACCTGCCCGCA
AGACCGGGATAACTCCGGGAAACCGGAGCTAATACCGGATAACACCGAAGACCGCATGGTCTTTTTGGTTG
AAAGGCGGCCTTTGGCTGTCACTTGCGGATGGGCCCCCGGCGGCATTAGCTAGTTGGTGAGGTAACGG
CTCACCAAGGCGACGATGCGTAGCCCGCCTGAGAGGGTACCAGCCACACTGGGGACTGAGACACGGCC
CAGACTCCTACGGGAGGCAGCAGTAGGGAATCTTCCGCAATGGGGCGAAAGCCTGACGGAGCGACGCCGC
GTGAGCGAAGAAGGCCTTCGGGTCGTAAAGCTCTGTTGTGAGGGACGAAGGAGCGCCGTTGAAAGAGGGC
GCGGCGCGGTGACGGTACCTCACGAGGAAGCCCCGGCTAACTACGTGCCAGCAGCCGCGGTAATACGTAG
GGGGCGAGCGTTGTCCGGAATTATTGGGCGTAAAGCGCGCAGGCGGTTCTTAAGTCTGATGTGAAAA
GCCCACGGCTCAACCGTGGAGGGTCATTGGAACCTGGGGACTTGAGTGCAGGAGAGAGGAGCGGGGA
ATTCCACGTGTAGCGGTGAAATGCGTAGAGAGATGTGGAGGAACACCAGTGCCGAAAGCGGCTCTCTGGC
CTGCAACTGACGCTGAGGCGCAAAGCGTGGGGAGCAAACAGGATTAGATACCCTGGTAGTCCACGCCGT
AAACGATGAGTGCTAAGTGTTAGAGGGGTACACCCTTTAGTGCTGCAGCTAACCGGATAAGCACTCCG
CCTGGGGAGTACGGCCCCGCAAGGCTGAAACTCAAAGGAATTGACGGGGGCCGACAAAGCGGTGGAACAT
GTGGTTTTTAATTCGAAGCAACGCGAAGAACCCTTACCAGGTCTTTGACATCCCCTGACAACCAAGAGATT
GGGCGTTCCCCCTTCGGGGGACAGGGTGACAGGTGGTGCATGATGGTTGTCGTCAGCTCGTGTGAGAT
ATGTTGGGTTAAGTCCCACAACGAGCGCAACCCTCGCCTCTAGTTGCCAGCACGAAGGTGGGGGCACTCT
AAAGGGACTGCCGGCGACAAGTCCGAGGAAGGTGGGGATGACGTCAAAAATCATCATGCCCTTATGACC
TGGGCTACACACGTGCTACAATGGGCGGTACAAAGGGCTGCGAACCCCGCAGGGGGGAGCGAATCCCCA
AAAAGCCGCTCTCAGTTTCGGATTGCAGGCTGCAACTCGCCTGCATGAAGCCGGAATCGCTAGTAATCGCG
GATCAGCATGCCGCGGTGAATACGTTCCCGGGGCTTGTACACACCGCCGTCACACCAGGAGACTTG
AACAAATTTTT

BTX43,

ATCGGAGCTTGCTCTGGTTTTGGTCAGCGCGGACGGGTGAGTAACACGTGGGGCAACCTGCCCCGCAAG
ACCGGGATAACTCCGGGAAACCGGAGCTAATACCGGATAACACCGAAGACCGCATGGTCTTTTTGGTTGAA
AGGCGGCCTTTGGCTGTCACTTGC GGATGGGCCCCGGCGGCATTAGCTAGTTGGTGAGGTAACGGCT
CACCAAGGCGACGATGCGTAGCCCGCCTGAGAGGGTGACCGGCCACACTGGGGACTGAGACACGGCCCA
GACTCCTACGGGAGGCAGCAGTAGGGAATCTTCCGCAATGGGGCGAAAGCCTGACGGAGCGACGCCGCGT
GAGCGAAGAAGGCCTTCGGGTCGTAAAGCTCTGTTGTGAGGGACGAAGGAGCGCCGTTCTGAAGAGGGCGC
GGCGCGGTGACGGTACCTCACGAGGAAGCCCCGGCTAACTACGTGCCAGCAGCCGCGTAATACGTAGGG
GGCGAGCGTTGTCCGGAATTATTGGGCGTAAAGCGCGCGCAGGCGGTTCCCTTAAGTCTGATGTGAAAAGC
CCACGGCTCAACCGTGGAGGGTCATTGGAAACTGGGGGACTTGAGTGCAGGAGAGAGGAGAGCGGGGAAT
TCCACGTGTAGCGGTGAAATGCGTAGAGAGATGTGGAGGAACACCAGTGGCGAAGGCGGCTCTCTGGCCT
GCAACTGACGCTGAGGCGCGAAAGCGTGGGGAGCAAACAGGATTAGATACCCTGGTAGTCCACGCCGTAA
ACGATGAGTGCTAAGTGTTAGAGGGGGTACACCCCTTTAGTGTGCAGCTAACCGGATAAGCACTCCGCC
TGGGGAGTACGGCCCCGAAGGCTGAAACTCAAAGGAATTGACGGGGGCCCGACAAGCGGTGGAACATGT
GGTTTTAATTCTGAAGCAACGCGAAGAACCTTACCAGGTCTTTGACATCCCTGACAACCCAAGAGATTGG
GCGTTCCCCCTTCGGGGGGACAGGGTGACAGGTGGTGCATGATGGTTGTCGTCAGCTCGTGTGAGATAT
GTTGGGTTAAGTCCCGCAACGAGCGCAACCCCTCGCCTCTAGTTGCCAGCACGAAGGTGGGGGCACTCTAA
AGGGACTGCCGGCGACAAGTCGGAGGAAGGTGGGGATGACGTCAAAAAATCATCATGCCCCCTTATGACCTG
GGCTACACACGTGCTACAATGGGCGGTACAAAGGGCTGCGAACCCCGCAGGGGGGAGCGAATCCCCAAA
AAGCCGCTCTCAGTTCGGATTGCAGGCTGCAACTCGCCTGCATGAAGCCGGAATCGCTAGTAATCGCGGA
TCAGCATGCCGCGGTGAATACGTTCCCGGGGCTTGTACACACCGCCGTCACACCAGAGAGCTTGCAA
CAAATTT

BTX44,

ATCGGAGCTTGCTCTGGTTTTGGTCAGCGCGGACGGGTGAGTAACACGTGGGGCAACCTGCCCCGCAAG
ACCGGGATAACTCCGGGAAACCGGAGCTAATACCGGATAACACCGAAGACCGCATGGTCTTTTTGGTTGAA
AGGCGGCCTTTGGCTGTCACTTGC GGATGGGCCCCGGCGGCATTAGCTAGTTGGTGAGGTAACGGCT
CACCAAGGCGACGATGCGTAGCCCGCCTGAGAGGGTGACCGGCCACACTGGGGACTGAGACACGGCCCA
GACTCCTACGGGAGGCAGCAGTAGGGAATCTTCCGCAATGGGGCGAAAGCCTGACGGAGCGACGCCGCGT
GAGCGAAGAAGGCCTTCGGGTCGTAAAGCTCTGTTGTGAGGGACGAAGGAGCGCCGTTCTGAAGAGGGCGC
GGCGCGGTGACGGTACCTCACGAGGAAGCCCCGGCTAACTACGTGCCAGCAGCCGCGTAATACGTAGGG
GGCGAGCGTTGTCCGGAATTATTGGGCGTAAAGCGCGCGCAGGCGGTTCCCTTAAGTCTGATGTGAAAAGC
CCACGGCTCAACCGTGGAGGGTCATTGGAAACTGGGGGACTTGAGTGCAGGAGAGAGGAGAGCGGGGAAT
TCCACGTGTAGCGGTGAAATGCGTAGAGAGATGTGGAGGAACACCAGTGGCGAAGGCGGCTCTCTGGCCT
GCAACTGACGCTGAGGCGCGAAAGCGTGGGGAGCAAACAGGATTAGATACCCTGGTAGTCCACGCCGTAA
ACGATGAGTGCTAAGTGTTAGAGGGGGTACACCCCTTTAGTGTGCAGCTAACCGGATAAGCACTCCGCC
TGGGGAGTACGGCCCCGAAGGCTGAAACTCAAAGGAATTGACGGGGGCCCGACAAGCGGTGGAACATGT
GGTTTTAATTCTGAAGCAACGCGAAGAACCTTACCAGGTCTTTGACATCCCTGACAACCCAAGAGATTGG
GCGTTCCCCCTTCGGGGGGACAGGGTGACAGGTGGTGCATGATGGTTGTCGTCAGCTCGTGTGAGATAT
GTTGGGTTAAGTCCCGCAACGAGCGCAACCCCTCGCCTCTAGTTGCCAGCACGAAGGTGGGGGCACTCTAA
AGGGACTGCCGGCGACAAGTCGGAGGAAGGTGGGGATGACGTCAAAAAATCATCATGCCCCCTTATGACCTG
GGCTACACACGTGCTACAATGGGCGGTACAAAGGGCTGCGAACCCCGCAGGGGGGAGCGAATCCCCAAA
AAGCCGCTCTCAGTTCGGATTGCAGGCTGCAACTCGCCTGCATGAAGCCGGAATCGCTAGTAATCGCGGA
TCAGCATGCCGCGGTGAATACGTTCCCGGGGCTTGTACACACCGCCGTCACACCAGAGAGCTTGCAA
CAAATTT

BTX45,

ATCGGAGCTTGCTCTGGTTTTGGTCAGCGGCGGACGGGTGAGTAACACGTGGGGCAACCTGCCCCGCAAG
ACCGGGATAACTCCGGGAAACCGGAGCTAATACCGGATAACACCGAAGACCGCATGGTCTTTTTGGTTGAA
AGGCGGCCTTTGGCTGTCACTTGC GGATGGGCCCCGGCGGCATTAGCTAGTTGGTGAGGTAACGGCT
CACCAAGGCGACGATGCGTAGCCCGCCTGAGAGGGTGACCGGCCACACTGGGGACTGAGACACGGCCCA
GACTCCTACGGGAGGCAGCAGTAGGGAATCTTCCGCAATGGGGCGAAAGCCTGACGGAGCGACGCCGCGT
GAGCGAAGAAGGCCTTCGGGTCGTAAAGCTCTGTTGTGAGGGACGAAGGAGCGCCGTTTGAAGAGGGCGC
GGCGCGGTGACGGTACCTCACGAGGAAGCCCCGGCTAACTACGTGCCAGCAGCCGCGGTAATACGTAGGG
GGCGAGCGTTGTCCGGAATTATTGGGCGTAAAGCGCGCGCAGGCGGTTCCCTTAAGTCTGATGTGAAAAGC
CCACGGCTCAACCGTGGAGGGTCATTGGAAACTGGGGGACTTGAGTGCAGGAGAGAGGAGAGCGGGGAAT
TCCACGTGTAGCGGTGAAATGCGTAGAGAGATGTGGAGGAACACCAGTGGCGAAGGCGGCTCTCTGGCCT
GCAACTGACGCTGAGGCGCGAAAGCGTGGGGAGCAAACAGGATTAGATACCCTGGTAGTCCACGCCGTAA
ACGATGAGTGCTAAGTGTTAGAGGGGGTACACCCCTTTAGTGCTGCAGCTAACCGGATAAGCACTCCGCC
TGGGGAGTACGGCCCCGAAGGCTGAAACTCAAAGGAATTGACGGGGGCCCGACAAGCGGTGGAACATGT
GGTTTAATTGGAAGCAACGCGAAGAACCTTACCAGGTCTTTGACATCCCCTGACAACCAAGAGATTGGG
CGTTCCCCCTTCGGGGGGACAGGGTGACAGGTGTCATGATGGTTGTGTCGTCAGCTCGTGTGAGATATG
TTGGGTTAAGTCCCGCAACGAGCGCAACCCTCGCCTCTAGTTGCCAGCACGAAGGTGGGGGCACTCTAAA
GGGACTGCCGGCGACAAGTCGGAGGAAGGTGGGGATGACGTCAAAAAATCATCATGCCCTTATGACCTGG
GCTACACACGTGCTACAATGGGCGGTACAAAAGGCTGCGAACCCCGCGAGGGGGGAGCGAATCCCCAAA
AGCCGCTCTCAGTTTCGGATTGCAGGCTGCAACTCGCCTGCATGAAGCCGGAATCGCTAGTAATCGCGGAT
CAGCATGCCGCGGTGAATACGTTCCCGGGCCTTGTACACACCCCGCTCACACCACGAGAGCTTGCAA
AAATT

BTX46,

ATCGGAGCTTGCTCTGGTTTTGGTCAGCGGCGGACGGGTGAGTAACACGTGGGGCAACCTGCCCCGCAAG
ACCGGGATAACTCCGGGAAACCGGAGCTAATACCGGATAACACCGAAGACCGCATGGTCTTTTTGGTTGAA
AGGCGGCCTTTGGCTGTCACTTGC GGATGGGCCCCGGCGGCATTAGCTAGTTGGTGAGGTAACGGCT
CACCAAGGCGACGATGCGTAGCCCGCCTGAGAGGGTGACCGGCCACACTGGGGACTGAGACACGGCCCA
GACTCCTACGGGAGGCAGCAGTAGGGAATCTTCCGCAATGGGGCGAAAGCCTGACGGAGCGACGCCGCGT
GAGCGAAGAAGGCCTTCGGGTCGTAAAGCTCTGTTGTGAGGGACGAAGGAGCGCCGTTTGAAGAGGGCGC
GGCGCGGTGACGGTACCTCACGAGGAAGCCCCGGCTAACTACGTGCCAGCAGCCGCGGTAATACGTAGGG
GGCGAGCGTTGTCCGGAATTATTGGGCGTAAAGCGCGCGCAGGCGGTTCCCTTAAGTCTGATGTGAAAAGC
CCACGGCTCAACCGTGGAGGGTCATTGGAAACTGGGGGACTTGAGTGCAGGAGAGAGGAGAGCGGGGAAT
TCCACGTGTAGCGGTGAAATGCGTAGAGAGATGTGGAGGAACACCAGTGGCGAAGGCGGCTCTCTGGCCT
GCAACTGACGCTGAGGCGCGAAAGCGTGGGGAGCAAACAGGATTAGATACCCTGGTAGTCCACGCCGTAA
ACGATGAGTGCTAAGTGTTAGAGGGGGTACACCCCTTTAGTGCTGCAGCTAACCGGATAAGCACTCCGCC
TGGGGAGTACGGCCCCGAAGGCTGAAACTCAAAGGAATTGACGGGGGCCCGACAAGCGGTGGAACATGT
GGTTTTAATTGGAAGCAACGCGAAGAACCTTACCAGGTCTTTGACATCCCCTGACAACCAAGAGATTGG
GCGTTCCCCCTTCGGGGGGACAGGGTGACAGGTGGTGCATGATGGTTGTGTCGTCAGCTCGTGTGAGATAT
GTTGGGTTAAGTCCCGCAACGAGCGCAACCCTCGCCTCTAGTTGCCAGCACGAAGGTGGGGGCACTCTAA
AGGGACTGCCGGCGACAAGTCGGAGGAAGGTGGGGATGACGTCAAAAAATCATCATGCCCTTATGACCTG
GGCTACACACGTGCTACAATGGGCGGTACAAAAGGCTGCGAACCCCGCGAGGGGGGAGCGAATCCCCAAA
AAGCCGCTCTCAGTTTCGGATTGCAGGCTGCAACTCGCCTGCATGAAGCCGGAATCGCTAGTAATCGCGGA
TCAGCATGCCGCGGTGAATACGTTCCCGGGCCTTGTACACACCCCGCTCACACCACGAGAGCTTGCAA
CAAATTTTTTAAAA

BTX47,

ATCGGAGCTTGCTCTGGTTTTGGTCAGCGGCGGACGGGTGAGTAACACGTGGGGCAACCTGCCCCGCAAG
ACCGGGATAACTCCGGGAAACCGGAGCTAATACCGGATAACACCGAAGACCGCATGGTCTTTTTGGTTGAA
AGGCGGCCTTTGGCTGTCACTTGC GGATGGGCCCCGGCGGCATTAGCTAGTTGGTGAGGTAACGGCT
CACCAAGGCGACGATGCGTAGCCCGCCTGAGAGGGTGACCGGCCACACTGGGGACTGAGACACGGCCCA
GACTCCTACGGGAGGCAGCAGTAGGGAATCTTCCGCAATGGGGCGAAAGCCTGACGGAGCGACGCCGCGT
GAGCGAAGAAGGCCTTCGGGTCGTAAAGCTCTGTTGTGAGGGACGAAGGAGCGCCGTTTGAAGAGGGCGC
GGCGCGGTGACGGTACCTCACGAGGAAGCCCCGGCTAACTACGTGCCAGCAGCCGCGGTAATACGTAGGG
GGCGAGCGTTGTCCGGAATTATTGGGCGTAAAGCGCGCGCAGGCGGTTCCCTTAAGTCTGATGTGAAAAGC
CCACGGCTCAACCGTGGAGGGTCATTGGAAACTGGGGGACTTGAGTGCAGGAGAGAGGAGAGCGGGGAAT
TCCACGTGTAGCGGTGAAATGCGTAGAGAGATGTGGAGGAACACCAGTGGCGAAGGCGGCTCTCTGGCCT
GCAACTGACGCTGAGGCGCGAAAGCGTGGGGAGCAAACAGGATTAGATACCCTGGTAGTCCACGCCGTAA
ACGATGAGTGCTAAGTGTTAGAGGGGGTACACCCCTTTAGTGTGCAGCTAACCGGATAAGCACTCCGCC
TGGGGAGTACGGCCCCGAAGGCTGAAACTCAAAGGAATTGACGGGGGCCCGACAAGCGGTGGAACATGT
GGTTTTAATTGAAGCAACGCAAGAACCTTACCAGGTCTTTGACATCCCTGACAACCCAAGAGATTGG
GCGTTCCCCCTTCGGGGGGACAGGGTGACAGGTGGTGCATGATGGTTGTCTGTCAGCTCGTGTGAGATAT
GTTGGGTTAAGTCCC GCAACGAGCGCAACCCTCGCCTCTAGTTGCCAGCACGAAGGTGGGGGCACTCTAA
AGGGACTGCCGGCGACAAGTCGGAGGAAGGTGGGGATGACGTCAAAAAATCATCATGCCCTTATGACCTG
GGCTACACACGTGCTACAATGGGCGGTACAAAGGGCTGCGAACCCCGCAGGGGGGAGCGAATCCCCAAA
AAGCCGCTCTCAGTTCGGATTGCAGGCTGCAACTCGCCTGCATGAAGCCGGAATCGCTAGTAATCGCGGA
TCAGCATGCCGCGGTGAATACGTTCCCGGGGCTTGTACACACCGCCGTCACACCAGAGAGCTTGCAA
CAAATT

BTX49,

ATCGGAGCTTGCTCTGGTTTTGGTCAGCGGCGGACGGGTGAGTAACACGTGGGGCAACCTGCCCCGCAAG
ACCGGGATAACTCCGGGAAACCGGAGCTAATACCGGATAACACCGAAGACCGCATGGTCTTTTTGGTTGAA
AGGCGGCCTTTGGCTGTCACTTGC GGATGGGCCCCGGCGGCATTAGCTAGTTGGTGAGGTAACGGCT
CACCAAGGCGACGATGCGTAGCCCGCCTGAGAGGGTGACCGGCCACACTGGGGACTGAGACACGGCCCA
GACTCCTACGGGAGGCAGCAGTAGGGAATCTTCCGCAATGGGGCGAAAGCCTGACGGAGCGACGCCGCGT
GAGCGAAGAAGGCCTTCGGGTCGTAAAGCTCTGTTGTGAGGGACGAAGGAGCGCCGTTTGAAGAGGGCGC
GGCGCGGTGACGGTACCTCACGAGGAAGCCCCGGCTAACTACGTGCCAGCAGCCGCGGTAATACGTAGGG
GGCGAGCGTTGTCCGGAATTATTGGGCGTAAAGCGCGCGCAGGCGGTTCCCTTAAGTCTGATGTGAAAAGC
CCACGGCTCAACCGTGGAGGGTCATTGGAAACTGGGGGACTTGAGTGCAGGAGAGAGGAGAGCGGGGAAT
TCCACGTGTAGCGGTGAAATGCGTAGAGAGATGTGGAGGAACACCAGTGGCGAAGGCGGCTCTCTGGCCT
GCAACTGACGCTGAGGCGCGAAAGCGTGGGGAGCAAACAGGATTAGATACCCTGGTAGTCCACGCCGTAA
ACGATGAGTGCTAAGTGTTAGAGGGGGTACACCCCTTTAGTGTGCAGCTAACCGGATAAGCACTCCGCC
TGGGGAGTACGGCCCCGAAGGCTGAAACTCAAAGGAATTGACGGGGGCCCGACAAGCGGTGGAACATGT
GGTTTTAATTGAAGCAACGCAAGAACCTTACCAGGTCTTTGACATCCCTGACAACCCAAGAGATTGG
GCGTTCCCCCTTCGGGGGGACAGGGTGACAGGTGGTGCATGATGGTTGTCTGTCAGCTCGTGTGAGATAT
GTTGGGTTAAGTCCC GCAACGAGCGCAACCCTCGCCTCTAGTTGCCAGCACGAAGGTGGGGGCACTCTAA
AGGGACTGCCGGCGACAAGTCGGAGGAAGGTGGGGATGACGTCAAAAAATCATCATGCCCTTATGACCTG
GGCTACACACGTGCTACAATGGGCGGTACAAAGGGCTGCGAACCCCGCAGGGGGGAGCGAATCCCCAAA
AAGCCGCTCTCAGTTCGGATTGCAGGCTGCAACTCGCCTGCATGAAGCCGGAATCGCTAGTAATCGCGGA
TCAGCATGCCGCGGTGAATACGTTCCCGGGGCTTGTACACACCGCCGTCACACCAGAGAGCTTGCAA
CAAATT

BTX50,

AATTATCGGAGCTTGCTCTGGTTTTGGTCAGCGGCGGACGGGTGAGTAACACGTGGGGCAACCTGCCCCG
CAAGACCGGGATAACTCCGGGAAACCGGAGCTAATACCGGATAACACCGAAGACCGCATGGTCTTTTGGT
TGAAAGGCGGCCTTTGGCTGTCACTTGC GGATGGGCCCCGGCGGCATTAGCTAGTTGGTGAGGTAAC
GGCTCACCAAGGCGACGATGCGTAGCCCGCCTGAGAGGGTGACCGGCCACACTGGGGACTGAGACACGG
CCCAGACTCCTACGGGAGGCAGCAGTAGGGAATCTTCCGCAATGGGGCGAAAGCCTGACGGAGCGACGCC
GCGTGAGCGAAGAAGGCCTTCGGGTCGTAAAGCTCTGTTGTGAGGGACGAAGGAGCGCCGTTCTGAAGAGG
GCGCGGCGCGGTGACGGTACCTCACGAGGAAGCCCCGGCTAACTACGTGCCAGCAGCCGCGGTAATACGT
AGGGGGCGAGCGTTGTCCGGAATTATTGGGCGTAAAGCGCGCGCAGGCGGTTCCCTAAGTCTGATGTGAA
AAGCCACGGCTCAACCGTGGAGGGTCATTGGAAACTGGGGGACTTGAGTGCAGGAGAGAGGAGAGCGGG
GAATTCACGCTGTAGCGGTGAAATGCGTAGAGAGATGTGGAGGAACACCAGTGGCGAAGGCGGCTCTCTG
GCCTGCAACTGACGCTGAGGCGCGAAAAGCGTGGGGAGCAAACAGGATTAGATACCCTGGTAGTCCACGCC
GTAAACGATGAGTGCTAAGTGTTAGAGGGGGTACACCCTTTAGTGTGACGTAACGCGATAAGCACTC
CGCTGGGGGACTACGGCCCCGAAGGCTGAAACTCAAAGGAATTGACGGGGGCCCGACAAGCGGTGGAAC
ATGTGGTTTTAATTCGAAGCAACGCGAAGAACCCTTACCAGGCTTTGACATCCCTGACAACCCAAGAGA
TTGGGCGTTCCCCCTTCGGGGGGACAGGGTGACAGGTGGTGCATGATGGTTGTCGTCAGCTCGTGTGAG
ATATGTTGGGTTAAGTCCCGCAACGAGCGCAACCCTCGCCTCTAGTTGCCAGCAGCAAGGTGGGGGCACT
CTAAAGGGACTGCCGGCGACAAGTCCGAGGAAGGTGGGGATGACGTCAAAAAATCATCATGCCCTTATGA
CCTGGGCTACACACGTGCTACAATGGGCGGTACAAAAGGGCTGCGAACCCCGGAGGGGGGAGCGAATCCC
CAAAAAGCCGCTCTCAGTTCGGATTGCAGGCTGCAACTCGCCTGCATGAAGCCGGAATCGCTAGTAATCG
CGGATCAGCATGCCGCGGTGAATACGTTCCCGGGGCTTGTACACACCGCCCGTCACACCAGAGAGCTT
GCAACAAATT

BTX51,

CGATCGGAGCTTGCTCTGGTTTTGGTCAGCGGCGGACGGGTGAGTAACACGTGGGGCAACCTGCCCCGCA
AGACCGGGATAACTCCGGGAAACCGGAGCTAATACCGGATAACACCGAAGACCGCATGGTCTTTTGGTTG
AAAGGCGGCCTTTGGCTGTCACTTGC GGATGGGCCCCGGCGGCATTAGCTAGTTGGTGAGGTAACGG
CTCACCAAGGCGACGATGCGTAGCCCGCCTGAGAGGGTGACCGGCCACACTGGGGACTGAGACACGGCC
CAGACTCCTACGGGAGGCAGCAGTAGGGAATCTTCCGCAATGGGGCGAAAGCCTGACGGAGCGACGCCGC
GTGAGCGAAGAAGGCCTTCGGGTCGTAAAGCTCTGTTGTGAGGGACGAAGGAGCGCCGTTCTGAAGAGGGC
GCGGCGCGGTGACGGTACCTCACGAGGAAGCCCCGGCTAACTACGTGCCAGCAGCCGCGGTAATACGTAG
GGGGCGAGCGTTGTCCGGAATTATTGGGCGTAAAGCGCGCGCAGGCGGTTCCCTAAGTCTGATGTGAAAA
GCCCCAGGCTCAACCGTGGAGGGTCATTGGAAACTGGGGGACTTGAGTGCAGGAGAGAGGAGAGCGGGGA
ATTCCACGCTGTAGCGGTGAAATGCGTAGAGAGATGTGGAGGAACACCAGTGGCGAAGGCGGCTCTCTGGC
CTGCAACTGACGCTGAGGCGCGAAAAGCGTGGGGAGCAAACAGGATTAGATACCCTGGTAGTCCACGCCGT
AAACGATGAGTGCTAAGTGTTAGAGGGGGTACACCCTTTAGTGTGACGTAACCGGATAAGCACTCCG
CCTGGGGAGTACGGCCCCGAAGGCTGAAACTCAAAGGAATTGACGGGGGCCCGACAAGCGGTGGAACAT
GTGGTTTTAATTCGAAGCAACGCGAAGAACCCTTACCAGGCTTTGACATCCCTGACAACCCAAGAGATT
GGGCGTTCCCCCTTCGGGGGGACAGGGTGACAGGTGGTGCATGATGGTTGTCGTCAGCTCGTGTGAGAT
ATGTTGGGTTAAGTCCCGCAACGAGCGCAACCCTCGCCTCTAGTTGCCAGCACGAAGGTGGGGGCACTCT
AAAGGGACTGCCGGCGACAAGTCCGAGGAAGGTGGGGATGACGTCAAAAAATCATCATGCCCTTATGACC
TGGGCTACACACGTGCTACAATGGGCGGTACAAAAGGGCTGCGAACCCCGGAGGGGGGAGCGAATCCCCA
AAAAGCCGCTCTCAGTTCGGATTGCAGGCTGCAACTCGCCTGCATGAAGCCGGAATCGCTAGTAATCGCG
GATCAGCATGCCGCGGTGAATACGTTCCCGGGGCTTGTACACACCGCCCGTCACACCAGAGAGCTTGC
AACAAATT

BTX52,

ATCGGAGCTTGCTCTGGTTTTGGTCAGCGGCGGACGGGTGAGTAACACGTGGGGCAACCTGCCCGCAAG
ACCGGGATAACTCCGGGAAACCGGAGCTAATACCGGATAACACCGAAGACCGCATGGTCTTTTTGGTTGAA
AGGCGGCCTTTGGCTGTCACTTGC GGATGGGCCCCGGCGGCATTAGCTAGTTGGTGAGGTAACGGCT
CACCAAGGCGACGATGCGTAGCCCGCCTGAGAGGGTGACCGGCCACACTGGGGACTGAGACACGGCCCA
GACTCCTACGGGAGGCAGCAGTAGGGAATCTTCCGCAATGGGGCGAAAGCCTGACGGAGCGACGCCGCGT
GAGCGAAGAAGGCCTTCGGGTCGTAAAGCTCTGTTGTGAGGGACGAAGGAGCGCCGTTCTGAAGAGGGCGC
GGCGCGGTGACGGTACCTCACGAGGAAGCCCCGGCTAACTACGTGCCAGCAGCCGCGGTAATACGTAGGG
GGCGAGCGTTGTCCGGAATTATTGGGCGTAAAGCGCGCGCAGGCGGTTCCCTTAAGTCTGATGTGAAAAGC
CCACGGCTCAACCGTGGAGGGTCATTGGAAACTGGGGGACTTGAGTGCAGGAGAGAGGAGAGCGGGGAAT
TCCACGTGTAGCGGTGAAATGCGTAGAGAGATGTGGAGGAACACCAGTGGCGAAGGCGGCTCTCTGGCCT
GCAACTGACGCTGAGGCGCGAAAGCGTGGGGAGCAAACAGGATTAGATACCCTGGTAGTCCACGCCGTAA
ACGATGAGTGCTAAGTGTTAGAGGGGGTACACCCCTTTAGTGTGCAGCTAACCGGATAAGCACTCCGCC
TGGGGAGTACGGCCCCGAAGGCTGAAACTCAAAGGAATTGACGGGGGCCCGACAAGCGGTGGAACATGT
GGTTTTAATTCTGAAGCAACGCGAAGAACCTTACCAGGTCTTTGACATCCCTGACAACCCAAGAGATTGG
GCGTTCCCCCTTCGGGGGACAGGGTGACAGGTGACATGGTGCATGATGGTTGTCTGTCAGCTCGTGTGAGATAT
GTTGGGTTAAGTCCC GCAACGAGCGCAACCCTCGCCTCTAGTTGCCAGCACGAAGGTGGGGGCACTCTAA
AGGGACTGCCGGCGACAAGTCGGAGGAAGGTGGGGATGACGTCAAAAAATCATCATGCCCTTATGACCTG
GGCTACACACGTGCTACAATGGGCGGTACAAAGGGCTGCGAACCCCGGAGGGGGGAGCGAATCCCCAAA
AAGCCGCTCTCAGTTCGGATTGCAGGCTGCAACTCGCCTGCATGAAGCCGGAATCGCTAGTAATCGCGGA
TCAGCATGCCGCGGTGAATACGTTCCCGGGGCTTGTACACACCGCCGTCACACCAGAGAGCTTGCAA
CAAATT

BTX69,

ATCGGAGCTTGCTCTGGTTTTGGTCAGCGGCGGACGGGTGAGTAACACGTGGGGCAACCTGCCCGCAAG
ACCGGGATAACTCCGGGAAACCGGAGCTAATACCGGATAACACCGAAGACCGCATGGTCTTTTTGGTTGAA
AGGCGGCCTTTGGCTGTCACTTGC GGATGGGCCCCGGCGGCATTAGCTAGTTGGTGAGGTAACGGCT
CACCAAGGCGACGATGCGTAGCCCGCCTGAGAGGGTGACCGGCCACACTGGGGACTGAGACACGGCCCA
GACTCCTACGGGAGGCAGCAGTAGGGAATCTTCCGCAATGGGGCGAAAGCCTGACGGAGCGACGCCGCGT
GAGCGAAGAAGGCCTTCGGGTCGTAAAGCTCTGTTGTGAGGGACGAAGGAGCGCCGTTCTGAAGAGGGCGC
GGCGCGGTGACGGTACCTCACGAGGAAGCCCCGGCTAACTACGTGCCAGCAGCCGCGGTAATACGTAGGG
GGCGAGCGTTGTCCGGAATTATTGGGCGTAAAGCGCGCGCAGGCGGTTCCCTTAAGTCTGATGTGAAAAGC
CCACGGCTCAACCGTGGAGGGTCATTGGAAACTGGGGGACTTGAGTGCAGGAGAGAGGAGAGCGGGGAAT
TCCACGTGTAGCGGTGAAATGCGTAGAGAGATGTGGAGGAACACCAGTGGCGAAGGCGGCTCTCTGGCCT
GCAACTGACGCTGAGGCGCGAAAGCGTGGGGAGCAAACAGGATTAGATACCCTGGTAGTCCACGCCGTAA
ACGATGAGTGCTAAGTGTTAGAGGGGGTACACCCCTTTAGTGTGCAGCTAACCGGATAAGCACTCCGCC
TGGGGAGTACGGCCCCGAAGGCTGAAACTCAAAGGAATTGACGGGGGCCCGACAAGCGGTGGAACATGT
GGTTTTAATTCTGAAGCAACGCGAAGAACCTTACCAGGTCTTTGACATCCCTGACAACCCAAGAGATTGG
GCGTTCCCCCTTCGGGGGACAGGGTGACATGGTGCATGATGGTTGTCTGTCAGCTCGTGTGAGATATGT
TGGGTTAAGTCCC GCAACGAGCGCAACCCTCGCCTCTAGTTGCCAGCACGAAGGTGGGGCACTCTAAAG
GGACTGCCGGCGACAAGTCGGAGGAAGGTGGGGATGACGTCAAAAAATCATCATGCCCTTATGACCTGGG
CTACACACGTGCTACAATGGGCGGTACAAAGGGCTGCGAACCCCGGAGGGGGGAGCGAATCCCCAAAAA
GCCGCTCTCAGTTCGGATTGCAGGCTGCAACTCGCCTGCATGAAGCCGGAATCGCTAGTAATCGCGGATC
AGCATGCCGCGGTGAATACGTTCCCGGGGCTTGTACACACCGCCGTCACACCAGAGAGCTTGCAACA
AATT

BTX70,

AACATCGGAGCTTGCTCTGGTTTTGGTCAGCGGCGGACGGGTGAGTAACACGTGGGGCAACCTGCCCCGC
AAGACCGGGATAACTCCGGGAAACCGGAGCTAATACCGGATAACACCGAAGACCGCATGGTCTTTTGGTT
GAAAGGCGGCTTTGGCTGTCACTTGC GGATGGCCCCCGCGGCATTAGCTAGTTGGTGAGGTAACG
GCTCACCAAGGCGACGATGCGTAGCCCGCCTGAGAGGGTGACCGCCACACTGGGGACTGAGACACGGC
CCAGACTCCTACGGGAGGCAGCAGTAGGGAATCTTCCGCAATGGGGCGAAAGCCTGACGGAGCGACGCCG
CGTGAGCGAAGAAGGCCCTTCGGGTCGTAAAGCTCTGTTGTGAGGGACGAAGGAGCGCCGTTCGAAGAGGG
CGCGGCGCGGTGACGGTACCTCACGAGGAAGCCCCGGCTAACTACGTGCCAGCAGCCGCGTAATACGTA
GGGGGCGAGCGTTGTCCGGAATTATTGGGCGTAAAGCGCGCGCAGGCGGTTCCCTAAGTCTGATGTGAAA
AGCCCACGGCTCAACCGTGGAGGGTCATTGGAACTGGGGGACTTGAGTGCAGGAGAGAGGAGAGCGGGG
AATTCCACGTGTAGCGGTGAAATGCGTAGAGAGATGTGGAGGAACACCAGTGGCGAAGGCGGCTCTCTGG
CCTGCAACTGACGCTGAGGCGCGAAAGCGTGGGGAGCAAACAGGATTAGATAACCTGGTAGTCCACGCCG
TAAACGATGAGTGCTAAGTGTTAGAGGGGGTACACCCTTTAGTGCTGCAGCTAACGCGATAAGCACTCC
GCCTGGGGACTACGGCCCCGAAGGCTGAACTCAAAGGAATTGACGGGGCCCCGACAAGCGGTGGAACA
TGTGGTTTTAATTGGAAGCAACGCAAGAACCTTACCAGGTCTTTGACATCCCCGACAACCAAGAGAT
TGGGCGTTCCCCCTTCGGGGGACAGGGTGACAGGTGCATGATGGTTGTCTCAGCTCGTGTGCGAGA
TATGTTGGGTTAAGTCCCGCAACGAGCGCAACCCTCGCCTCTAGTTGCCAGCAGCAAGGTGGGGGCACTC
TAAAGGGACTGCCGGCGACAAGTCGGAGGAAGGTGGGGATGACGTCAAAAAATCATCATGCCCTTATGAC
CTGGGCTACACACGTGCTACAATGGGCGGTACAAAAGGCTGCGAACCCTCGAGGGGGGAGCGAATCCCC
AAAAAGCCGCTCTCAGTTCGGATTGCAGGCTGCAACTCGCCTGCATGAAGCCGGAATCGCTAGTAATCGC
GGATCAGCATGCCGCGGTGAATACGTTCCCGGGCCTTGTACACACCGCCCGTCACACCACGAGAGCTTG
CAACAAATT

BTX71,

ATCGGAGCTTGCTCTGGTTTTGGTCAGCGGCGGACGGGTGAGTAACACGTGGGGCAACCTGCCCCGCAAG
ACCGGGATAACTCCGGGAAACCGGAGCTAATACCGGATAACACCGAAGACCGCATGGTCTTTTGGTTGAA
AGGCGGCCTTTGGCTGTCACTTGC GGATGGCCCCCGCGGCATTAGCTAGTTGGTGAGGTAACGGCT
CACCAAGGCGACGATGCGTAGCCCGCCTGAGAGGGTGACCGGCCACACTGGGGACTGAGACACGGCCCA
GACTCCTACGGGAGGCAGCAGTAGGGAATCTTCCGCAATGGGGCGAAAGCCTGACGGAGCGACGCCGCGT
GAGCGAAGAAGGCCTTCGGGTCGTAAAGCTCTGTTGTGAGGGACGAAGGATTTGCCGTTGGAAGAGGGCG
CGGCGCGGTGACGGTACCTCACGAGGAAGCCCCGGCTAACTACGTGCCAGCAGCCGCGTAATACGTAGG
GGGCGAGCGTTGTCCGGAATTATTGGGCGTAAAGCGCGCGCAGGCGGTTCCCTAAGTCTGATGTGAAAAG
CCCACGGCTCAACCGTGGAGGGTCATTGGAACTGGGGGACTTGAGTGCAGGAGAGAGGAGAGCGGGGAA
TTCCACGTGTAGCGGTGAAATGCGTAGAGAGATGTGGAGGAACACCAGTGGCGAAGGCGGCTCTCTGGCC
TGCAACTGACGCTGAGGCGCGAAAGCGTGGGGAGCAAACAGGATTAGATAACCTGGTAGTCCACGCCGTA
AACGATGAGTGCTAAGTGTTAGAGGGGGTACACCCTTTAGTGCTGCAGCTAACGCGATAAGCACTCCGC
CTGGGGAGTACGGCCCCGAAGGCTGAACTCAAAGGAATTGACGGGGCCCCGACAAGCGGTGGAACATGT
GGTTTTAATTGGAAGCAACGCAAGAACCTTACCAGGTCTTTGACATCCCCCCCCGACAACCAAGAGA
TTGGGCGTTCCCCCTTCGGGGGACAGGGTGACAGGTGGTGCATGATGGTTGTCTCAGCTCGTGTGCGAG
ATATGTTGGGTTAAGTCCCGCAACGAGCGCAACCCTCGCCTCTAGTTGCCAGCACGAAGGTGGGGGCACT
CTAAAGGGACTGCCGGCGACAAGTCGGAGGAAGGTGGGGATGACGTCAAAAAATCATCATGCCCTTATGA
CCTGGGCTACACACGTGCTACAATGGGCGGTACAAAAGGCTGCGAACCCTCGAGGGGGGAGCGAATCCC
CAAAAAGCCGCTCTCAGTTCGGATTGCAGGCTGCAACTCGCCTGCATGAAGCCGGAATCGCTAGTAATCG
CGGATCAGCATGCCGCGGTGAATACGTTCCCGGGCCTTGTACACACCGCCCGTCACACCACGAGAGCTTG
GCAACAAATT

BTX77,

ATCGGAGCTTGCTCTGGTTTTGGTCAGCGGCGGACGGGTGAGTAACACGTGGGGCAACCTGCCCCGCAAG
ACCGGGATAACTCCGGGAAACCGGAGCTAATACCGGATAACACCGAAGACCGCATGGTCTTTTTGGTTGAA
AGGCGGCCTTTGGCTGTCACTTGC GGATGGGCCCCGGCGGCATTAGCTAGTTGGTGAGGTAACGGCT
CACCAAGGCGACGATGCGTAGCCCGCCTGAGAGGGTGACCGGCCACACTGGGGACTGAGACACGGCCCA
GACTCCTACGGGAGGCAGCAGTAGGGAATCTTCCGCAATGGGGCGAAAGCCTGACGGAGCGACGCCGCGT
GAGCGAAGAAGGCCTTCGGGTCGTAAAGCTCTGTTGTGAGGGACGAAGGAGCGCCGTTTCGAAGAGGGCGC
GGCGCGGTGACGGTACCTCACGAGGAAGCCCCGGCTAACTACGTGCCAGCAGCCGCGGTAATACGTAGGG
GGCGAGCGTTGTCCGGAATTATTGGGCGTAAAGCGCGCGCAGGCGGTTCCCTTAAGTCTGATGTGAAAAGC
CCACGGCTCAACCGTGGAGGGTCATTGGAAACTGGGGGACTTGAGTGCAAGGAGAGAGGAGCGGGGAAT
TCCACGTGTAGCGGTGAAATGCGTAGAGAGATGTGGAGGAACACCAGTGGCGAAGGCGGCTCTCTGGCCT
GCAACTGACGCTGAGGCGCGAAAGCGTGGGGAGCAAACAGGATTAGATACCCTGGTAGTCCACGCCGTAA
ACGATGAGTGCTAAGTGTTAGAGGGGGTACACCCTTTAGTGCTGCAGCTAACCGGATAAGCACTCCGCC
TGGGGAGTACGGCCCCGAAGGCTGAAACTCAAAGGAATTGACGGGGGCCCGACAAGCGGTGGAACATGT
GGTTTTAATTGAAGCAACGCAAGAACCTTACCAGGCTTTGACATCCCTGACAACCCAAGAGATTGG
GCGTTCCTCCCTTCGGGGGGACAGGGTGACAGGTGGTGCATGATGGTTGTCTGCTCAGCTCGTGTGAGATAT
GTTGGGTTAAGTCCCGCAACGAGCGCAACCCTCGCCTCTAGTTGCCAGCACGAAGGTGGGGGCACCTCTAA
AGGGACTGCCGGCGACAAGTCGGAGGAAGGTGGGGATGACGTCAAAAAATCATCATGCCCTTATGACCTG
GGCTACACACGTGCTACAATGGGCGGTACAAAGGGCTGCGAACCCCGCAGGGGGGAGCGAATCCCCAAA
AAGCCGCTCTCAGTTCGGATTGCAGGCTGCAACTCGCCTGCATGAAGCCGGAATCGCTAGTAATCGCGGA
TCAGCATGCCGCGGTGAATACGTTCCCGGGGCTTGTACACACCGCCGTCACACCAGAGAGCTTGCAAA
CAAATT

BTX80

ATCGGAGCTTGCTCTGGTTTTGGTCAGCGGCGGACGGGTGAGTAACACGTGGGGCAACCTGCCCCGCAAG
ACCGGGATAACTCCGGGAAACCGGAGCTAATACCGGATAACACCGAAGACCGCATGGTCTTTTTGGTTGAA
AGGCGGCCTTTGGCTGTCACTTGC GGATGGGCCCCGGCGGCATTAGCTAGTTGGTGAGGTAACGGCT
CACCAAGGCGACGATGCGTAGCCCGCCTGAGAGGGTGACCGGCCACACTGGGGACTGAGACACGGCCCA
GACTCCTACGGGAGGCAGCAGTAGGGAATCTTCCGCAATGGGGCGAAAGCCTGACGGAGCGACGCCGCGT
GAGCGAAGAAGGCCTTCGGGTCGTAAAGCTCTGTTGTGAGGGACGAAGGAGCGCCGTTTCGAAGAGGGCGC
GGCGCGGTGACGGTACCTCACGAGGAAGCCCCGGCTAACTACGTGCCAGCAGCCGCGGTAATACGTAGGG
GGCGAGCGTTGTCCGGAATTATTGGGCGTAAAGCGCGCGCAGGCGGTTCCCTTAAGTCTGATGTGAAAAGC
CCACGGCTCAACCGTGGAGGGTCATTGGAAACTGGGGGACTTGAGTGCAAGGAGAGAGGAGCGGGGAATTC
CACGTGTAGCGGTGAAATGCGTAGAGAGATGTGGAGGAACACCAGTGGCGAAGGCGGCTCTCTGGCCTGC
AACTGACGCTGAGGCGCGAAAGCGTGGGGAGCAAACAGGATTAGATACCCTGGTAGTCCACGCCGTAAAC
GATGAGTGCTAAGTGTTAGAGGGGGTACACCCTTTAGTGCTGCAGCTAACCGGATAAGCACTCCGCCTG
GGGAGTACGGCCCCGAAGGCTGAAACTCAAAGGAATTGACGGGGGCCCGACAAGCGGTGGAACATGTGG
TTTTAATTGAAGCAACGCAAGAACCTTACCAGGCTTTGACATCCCTGACAACCCAAGAGATTGGGC
GTTCCCTTCGGGGGGACAGGGTGACAGGTGGTGCATGATGGTTGTCTGCTCAGCTCGTGTGAGATATGT
TGGGTTAAGTCCCGCAACGAGCGCAACCCTCGCCTCTAGTTGCCAGCACGAAGGTGGGGGCACCTCTAAAG
GGACTGCCGGCGACAAGTCGGAGGAAGGTGGGGATGACGTCAAAAAATCATCATGCCCTTATGACCTGGG
CTACACACGTGCTACAATGGGCGGTACAAAGGGCTGCGAACCCCGCAGGGGGGAGCGAATCCCCAAAAA
GCCGCTCTCAGTTCGGATTGCAGGCTGCAACTCGCCTGCATGAAGCCGGAATCGCTAGTAATCGCGGATC
AGCATGCCGCGGTGAATACGTTCCCGGGGCTTGTACACACCGCCGTCACACCAGAGAGCTTGCAACA
AATT

EK 25. *B. coagulans* 16s rRNA baz dizisi

BTX62,

ATGCAAGTCGTGCGGACCTTTAAAAAGCTTGCTTTAAAAAGGTTAGCGGCGGACGGGTGAGTAACACGTG
GGCAACCTGCCTGTAAGATCGGGATAACGCCGGGAAACCGGGGGCTAATACCGGATAGTTTTTTTCCCTC
CGCATGGAGGAAAAAGGAAAGACGGCTTCTGCTGTCACTCCTCTGATGGGCCCGCGGCATTAGCTAGT
TGGTGGGGTAACGGCTCACCAAGGGAACGATGCGTATCCGACCTGAGAGAGGGTGATCGGCCACATTGGG
ACTGAGACACGGCCCAAACCTCCTACGGGAGGCAGCAGTAGGGAATCTTCCCAAAATGTGGACGAAAGTCT
GACGGAGCAACGCCGCTGAGTGAAGAAGGCCTTCGGGTGCTAAAACTCTGTTGCCGGGGAAGAACAAGT
GCCGTTTGAACAGGGCGGCCTTGACGGTACCCGGCCAGAAAGCCACGGCTAACTACGTGCCAGCAGCC
GCGGTAATACGTAGGTGGCAAGCGTTGTCCGGAATTATTGGGCGTAAAGCGCGCAGGCGGCTTTCTTA
AGTCTGATGTGAAAATTCTTGC GGCTCAACCGCAAGCGGTGATGCGTAGAGATGTGGAGGAACACCAGTGGCGAAGGCC
GAGGAGGTGGAATTCACGTGTAGCGGTGAAATGCGTAGAGATGTGGAGGAACACCAGTGGCGAAGGCC
GCTCTCTGGTCTGTAACGTGACGCTGAGGCGGAAAAGCGTGGGGAGCAAACCGGATTAGATTAACGTGGT
AGTCCAAACGGAAAACAATAAGGGTAAAGAATAAAAGGGTTTACGCCCTTTATGCTACAACATAACGCTTT
AACCCTTTCGCCTGGGGGAGTACGGCGCAAGGGTTAAACTAAAAGGAATTGACGGGGGGCCCCACAAGCGA
TGGAGACAAGTGGTTTTAATTCAAGCAACCGAAGAACCCTTACCAGGTCTTGATGACATCGTCTGAAATCCC
TGGGGACAGGGCCTTCCCCCTTCGGGGACAGAGTGACAGATGGGTGCATAGTTGTGCTCAGCTCGTGTG
GTGAGATGTTTGGGGTTAAGTCCCGCAACGAGCGCAACCCCTGACCTTAGTTGCCAGCATTCAGTTGGGG
CACTCTAAGGTGACTGCCGGGGGACAAACCGGAGGAAGGTGGGGGATGAGTCAAATCATCATGCCCTTA
TGACCTGGGGTACACACACGTGCTACAATGGATGGTACAAAGGGCTGCGAGACCGCGAGGTTAAGCCAAT
CCCAGAAGGCATTTCCAGTTTCGGATTTGCAGGCTGCAACCCGCCTGCATGAAGCCGGAATCGTAGTAAT
CGCGGATCA

BTX63,

ATGCAAGTCGTGCGGACCTTTTTAAAAAGCTTGCTTTTTAAAAAGGTTAGCGGCGGACGGGTGAGTAACA
CGTGGGCAACCTGCCTGTAAGATCGGGATAACGCCGGGAAACCGGGGGCTAATACCGGATAGTTTTTTTTC
CCTCCGCATGGAGGAAAAAGGAAAGACGGCTTCTGCTGTCACTCCTCTGATGGGCCCGCGGCATTAGC
TAGTTGGTGGGGTAACGGCTCACCAAGGGAACGATGCGTATCCGACCTGAGAGAGGGTGATCGGCCACAT
TGGGACTGAGACACGGCCCAAACCTCCTACGGGAGGCAGCAGTAGGGAATCTTCCCAAAATGTGGACGAAA
GTCTGACGGAGCAACGCCGCTGAGTGAAGAAGGCCTTCGGGTGCTAAAACTCTGTTGCCGGGGAAGAAC
AAGTGCCGTTTGAACAGGGCGGCCTTGACGGTACCCGGCCAGAAAGCCACGGCTAACTACGTGCCAGC
AGCCGCGGTAATACGTAGGTGGCAAGCGTTGTCCGGAATTATTGGGCGTAAAGCGCGCAGGCGGCTTT
CTTAAGTCTGATGTGAAAATTCTTGC GGCTCAACCGCAAGCGGTGATGCGTAGAGATGTGGAGGAACACCAGTGGCGAA
AGAAGAGGAGAGTGAATTCACGTGTAGCGGTGAAATGCGTAGAGATGTGGAGGAACACCAGTGGCGAA
GGCGGCTCTCTGGTCTGTAACGTGACGCTGAGGCGGAAAAGCGTGGGGAGCAAACCGGATTAGATTAACG
TGGTAGTCCAAACGGAAAACAATAAGGGTAAAGAATAAAAGGGTTTACGCCCTTTATGCTACAACATAACG
CTTTAACCCTTTCGCCTGGGGGAGTACGGCGCAAGGGTTAAACTAAAAGGAATTGACGGGGGGCCCCACAA
GCGATGGAGACAAGTGGTTTTAATTCAAGCAACCGAAGAACCCTTACCAGGTCTTGATGACATCGTCTGAAA
TCCCCTGGGGACAGGGCCTTCCCCCTTCGGGGACAGAGTGACAGATGGGTGCATAGTTGTGCTCAGCTCG
TGTCGTGAGATGTTTGGGGTTAAGTCCCGCAACGAGCGCAACCCCTGACCTTAGTTGCCAGCATTCAGTT
GGGGCACTCTAAGGTGACTGCCGGGGGACAAACCGGAGGAAGGTGGGGGATGAGTCAAATCATCATGCCCT
CTTATGACCTGGGGTACACACACGTGCTACAATGGATGGTACAAAGGGCTGCGAGACCGCGAGGTTAAGC
CAATCCCAGAAGGCATTTCCAGTTTCGGATTTGCAGGCTGCAACCCGCCTGCATGAAGCCGGAATCGTAG
TAATCGCGGATCAAAAAAAAAA

BTX64,

ATGCAAGTCGTGCGGACCTTTTTAAAAAGCTTGCTTTTTAAAAAGGTTAGCGGGCGGACGGGTGAGTAACA
CGTGGGCAACCTGCCTGTAAGATCGGGATAACGCCGGGAAACCGGGGGCTAATACCGGATAGTTTTTTTC
CCTCCGCATGGAGGAAAAAGGAAAGACGGCTTCTGCTGTCACTCCTCTGATGGGCCCGCGGCATTAGC
TAGTTGGTGGGGTAACGGCTCACCAAGGGAACGATGCGTATCCGACCTGAGAGAGGGTGATCGGCCACAT
TGGGACTGAGACACGGCCCCAACTCCTACGGGAGGCAGCAGTAGGGAATCTTCCAAAATGTGGACGAAA
GTCTGACGGAGCAACGCCGCTGAGTGAAGAAGGCCTTCGGGTCGTAAAACCTCTGTTGCCGGGGAAGAAC
AAGTGCCGTTTCGAACAGGGCGGCCTTGACGGTACCCGGCCAGAAAGCCACGGCTAACTACGTGCCAGC
AGCCGCGGTAATACGTAGGTGGCAAGCGTTGTCCGGAATTATTGGGCGTAAAGCGCGCGCAGGCGGCTTT
CTTAAGTCTGATGTGAAAATTCTTGCGGCTCAACCGCAAGCGGTTCATTGGAAAACCTGGGAGGCTTGAGTGC
AGAAGAGGAGAGTGGAAATTCACGTGTAGCGGTGAAATGCGTAGAGATGTGGAGGAACACCAGTGGCGAA
GGCGGCTCTCTGGTCTGTAACCTGACGCTGAGGCGCGAAAAGCGTGGGGAGCAAACCGGATTAGATTAACG
TGGTAGTCCAAACGGAAAACAATAAGGGTAAAGAATAAAAAGGGTTTACGCCCTTATGCTACAACCTAACG
CTTTAACCCTTCGCCTGGGGGAGTACGGCGCAAGGGTTAAACTAAAGGAATTGACGGGGGGCCCCACAA
GCGATGGAGACAAGTGGTTAATTCAAGCAACCGAAGAACCTTACCAGGCTTGATGACATCGTCTGAAA
TCCCTGGGGACAGGGGCTTCCCCCTTCGGGGACAGAGTGACAGATGGGTGCATAGTTGTCGTCAGCTCG
TGTCGTGAGATGTTTTGGGGTTAAGTCCCGCAACGAGCGCAACCCCTGACCTTAGTTGCCAGCATTACAGTT
GGGGCACTCTAAGGTGACTGCCGGGGGACAAACCGGAGGAAGGTGGGGGATGAGTCAAATCATCATGCC
CTTATGACCTGGGGTACACACACGTGCTACAATGGATGGTACAAAAGGGCTGCGAGACCGCGAGGTTAAGC
CAATCCCAGAAGGCATTCCAGTTTCGGATTTGCAGGCTGCAACCCGCTGCATGAAGCCGGAATCGCTAG
TAATCGCGGATCA

BTX65,

ATGATGCAAGTCGTGCGGACCTTTTTAAAAAGCTTGCTTTTTAAAAAGGTTAGCGGGCGGACGGGTGAGTA
ACACGTGGGCAACCTGCCTGTAAGATCGGGATAACGCCGGGAAACCGGGGGCTAATACCGGATAGTTTTTT
TTCCCTCCGCATGGAGGAAAAAGGAAAGACGGCTTCTGCTGTCACTCCTCTGATGGGCCCGCGGCATT
AGCTAGTTGGTGGGGTAACGGCTCACCAAGGGAACGATGCGTATCCGACCTGAGAGAGGGTGATCGGCCA
CATTGGGACTGAGACACGGCCCCAACTCCTACGGGAGGCAGCAGTAGGGAATCTTCCAAAATGTGGACG
AAAGTCTGACGGAGCAACGCCGCTGAGTGAAGAAGGCCTTCGGGTCGTAAAACCTCTGTTGCCGGGGAAG
AACAAGTGCCGTTTCGAACAGGGCGGCCTTGACGGTACCCGGCCAGAAAGCCACGGCTAACTACGTGCC
AGCAGCCGCGTAATACGTAGGTGGCAAGCGTTGTCCGGAATTATTGGGCGTAAAGCGCGCGCAGGCGGC
TTTCTTAAGTCTGATGTGAAAATTCTTGCGGCTCAACCGCAAGCGGTTCATTGGAAAATGGGAGGCTTGAG
TGCAGAAGAGGAGAGTGGAAATTCACGTGTAGCGGTGAAATGCGTAGAGATGTGGAGGAACACCAGTGGC
GAAGGCGGCTCTCTGGTCTGTAACCTGACGCTGAGGCGCGAAAAGCGTGGGGAGCAAACCGGATTAGATTA
ACGTGGTAGTCCAAACGGAAAACAATAAGGGTAAAGAATAAAAAGGGTTTACGCCCTTATGCTACAACCTA
ACGCTTTAACCCTTCGCCTGGGGGAGTACGGCGCAAGGGTTAAACTAAAGGAATTGACGGGGGGCCCCA
CAAGCGATGGAGACAAGTGGTTAATTCAAGCAACCGAAGAACCTTACCAGGCTTGATGACATCGTCTG
AAATCCCTGGGGACAGGGGCTTCCCCCTTCGGGGACAGAGTGACAGATGGGTGCATAGTTGTCGTCAGC
TCGTGTCGTGAGATGTTTGGGGTTAAGTCCCGCAACGAGCCCAACCCCTGACCTTAGTTGCCAGCATTCA
GTTGGGGCACTCTAAGGTGACTGCCGGGGGACAAACCGGAGGAAGGTGGGGGATGAGTCAAATCATCATG
CCCCTTATGACCTGGGGTACACACACGTGCTACAATGGATGGTACAAAAGGGCTGCGAGACCGCGAGGTTA
AGCCAATCCCAGAAGGCATTCCAGTTTCGGATTTGCAGGCTGCAACCCGCTGCATGAAGCCGGAATCGC
TAGTAATCGCGGATCA

BTX66,

CGCGATGCAAGTCGTGCGGACCTTTTTTAAAAAGCTTGCTTTTTTAAAAAGGTTAGCGGCGGACGGGTGAG
TAACACGTGGGCAACCTGCCTGTAAGATCGGGATAACGCCGGGAAAACCGGGGGCTAATACCGGATAGTTT
TTTTCCCTCCGCATGGAGGAAAAAGGAAAGACGGCTTCTGCTGTCACTCCTCTGATGGGCCCGCGCGCA
TTAGCTAGTTGGTGGGGTAACGGCTCACCAAGGGAACGATGCGTATCCGACCTGAGAGAGGGTATCGGC
CACATTGGGACTGAGACACGGCCAAACTCCTACGGGAGGCAGCAGTAGGGAATCTTCCAAAAATGTGGA
CGAAAGTCTGACGGAGCAACGCCCGCTGAGTGAAGAAGGCCTTCGGGTCTGTA AAACTCTGTTGCCGGGGA
AGAACAAGTGCCTTTCGAACAGGGCGGCGCCTTGACGGTACCCGGCCAGAAAAGCCACGGCTAACTACGTG
CCAGCAGCCGCGGTAATACGTAGGTGGCAAGCGTTGTCCGGAATTATTGGGCGTAAAGCGCGCGCAGGCC
GCTTACTTAAGTCTGATGTGAAAATTCTTGCGGCTCAACCGCAAGCGGTCATTGGATACTGGGAGGCTTG
AGTGCAGAAGAGGAGAGTGGAAATTCACGTGTAGCGGTGAAATGCGTAGAGATGTGGAGGAACACCAGTG
GCGAAGGCGGCTCTCTGGTCTGTA ACTGACGCTGAGGCGCGAAAAGCGTGGGGAGCAAACCGGATTAGAT
TAACGTGGTAGTCCAAACGGAAAACAATAAGGGTAAAGAATAAAAAGGGTTTACGCCCTTTATGCTACAAC
TAAACGCTTTAACCACTTCGCCTGGGGGAGTACGGCGCAAGGGTTAAACTAAAGGAATTGACGGGGGGCC
CACAAGCGATGGAGACAAGTGGTTAATTCAAGCAACCGAAGAACCTTACCAGTCTTGATGACATCGTC
TGAAATCCCTGGGGACAGGGGCTTCCCCCTTCGGGGACAGAGTGACAGATGGGTGCATAGTTGTCTGTC
GCTCGTGTCTGATGATGTTTGGGGTTAAGTCCCGCAACGAGCGCAACCCCTGACCTTAGTTGCCAGCATT
CAGTTGGGGCACTCTAAGGTGACTGCCGGGGACAAAACCGGAGGAAGGTGGGGGATGAGTCAAATCATCA
TGCCCCCTTATGACCTGGGGTACACACACGTGCTACAATGGATGGTACAAAAGGGCTGCGAGACCGCGAGGT
TAAGCCAATCCCAGAAGGCATTCCCAGTTCGGATTTCAGGCTGCAACCCGCTGCATGAAGCCGGAATC
GCTAGTAATCGCGGATCAA

BTX67,

ATGCAAGTCGTGCGGACCTTTTTTAAAAAGCTTGCTTTTTTAAAAAGGTTAGCGGCGGACGGGTGAGTAACA
CGTGGGCAACCTGCCTGTAAGATCGGGATAACGCCGGGAAAACCGGGGGCTAATACCGGATAGTTTTTTTTC
CCTCCGCATGGAGGAAAAAGGAAAGACGGCTTCTGCTGTCACTCCTCTGATGGGCCCGCGCGCATTAGC
TAGTTGGTGGGGTAACGGCTCACCAAGGGAACGATGCGTATCCGACCTGAGAGAGGGTGATCGGCCACAT
TGGGACTGAGACACGGCCAAACTCCTACGGGAGGCAGCAGTAGGGAATCTTCCAAAAATGTGGACGAAA
GTCTGACGGAGCAACGCCCGCTGAGTGAAGAAGGCCTTCGGGTCTGTA AAACTCTGTTGCCGGGGAAGAAC
AAGTGCCGTTTCGAACAGGGCGGCGCCTTGACGGTACCCGGCCAGAAAAGCCACGGCTAACTACGTGCCAGC
AGCCGCGGTAATACGTAGGTGGCAAGCGTTGTCCGGAATTATTGGGCGTAAAGCGCGCGCAGGCGGCTTT
CTTAAGTCTGATGTGAAAATTCTTGCGGCTCAACCGCAAGCGGTCATTGGAAAAGTGGGAGGCTTGAGTGC
AGAAGAGGAGAGTGGAAATTCACGTGTAGCGGTGAAATGCGTAGAGATGTGGAGGAACACCAGTGGCGAA
GGCGGCTCTCTGGTCTGTA ACTGACGCTGAGGCGCGAAAAGCGTGGGGAGCAAACCGGATTAGATTAACG
TGGTAGTCCAAACGGAAAACAATAAGGGTAAAGAATAAAAAGGGTTTACGCCCTTTATGCTACA ACTAACG
CTTTAACCCTTCGCCTGGGGGAGTACGGCGCAAGGGTTAAACTAAAGGAATTGACGGGGGGGCCCCACAA
GCGATGGAGACAAGTGGTTAATTCAAGCAACCGAAGAACCTTACCAGGCTTGATGACATCGTCTGAAA
TCCCTGGGGACAGGGGCTTCCCCCTTCGGGGACAGAGTGACAGATGGGTGCATAGTTGTCTGTCAGCTCG
TGTCGTGAGATGTTTGGGGTTAAGTCCCGCAACGAGCGCAACCCCTGACCTTAGTTGCCAGCATTGAGTT
GGGGCACTCTAAGGTGACTGCCGGGGGACAAAACCGGAGGAAGGTGGGGGATGAGTCAAATCATCATGCC
CTTATGACCTGGGGTACACACACGTGCTACAATGGATGGTACAAAAGGGCTGCGAGACCGCGAGGTTAAGC
CAATCCCAGAAGGCATTCCCAGTTCGGATTTCAGGCTGCAACCCGCTGCATGAAGCCGGAATCGCTAG
TAATCGCGGATCA

BTX68,

ATGCAAGTCGTGCGGACCTTTTTAAAAAGCTTGCTTTTTAAAAAGGTTAGCGGGCGGACGGGTGAGTAACA
CGTGGGCAACCTGCCTGTAAGATCGGGATAACGCCGGGAAACCGGGGGCTAATACCGGATAGTTTTTTTC
CCTCCGCATGGAGGAAAAAGGAAAGACGGCTTCTGCTGTCACTCCTCTGATGGGCCCGCGGCATTAGC
TAGTTGGTGGGGTAACGGCTCACCAAGGGAACGATGCGTATCCGACCTGAGAGAGGGTGATCGGCCACAT
TGGGACTGAGACACGGCCCCAACTCCTACGGGAGGCAGCAGTAGGGAATCTTCCAAAATGTGGACGAAA
GTCTGACGGAGCAACGCCGCTGAGTGAAGAAGGCCTTCGGGTCGTAAAACCTCTGTTGCCGGGAAGAAC
AAGTGCCGTTTGAACAGGGCGGCCTTGACGGTACCCGGCCAGAAAGCCACGGCTAACTACGTGCCAGC
AGCCGCGGTAATACGTAGGTGGCAAGCGTTGTCCGGAATTATTGGGCGTAAAGCGCGCGCAGGCGGCTTT
CTTAAGTCTGATGTGAAAATTCTTGCGGCTCAACCGCAAGCGGTCAATTGGAAAAGTGGGAGGCTTGAGTGC
AGAAGAGGAGAGTGAATTTCCACGTGTAGCGGTGAAATGCGTAGAGATGTGGAGGAACACCCAGTGGCGAA
GGCGGCTCTCTGGTCTGTAACGTGACGCTGAGGCGCGAAAAGCGTGGGGAGCAAACCGGATTAGATTAACG
TGGTAGTCCAAACGGAAAACAATAAGGGTAAAGAATAAAAAGGGTTTACGCCCTTATGCTACAACATAACG
CTTTAACCCTTTCGCTGGGGGAGTACGGCGCAAGGGTAAACTAAAGGAATTGACGGGGGGCCCCACAA
GCGATGGAGACAAGTGGTTAATTCGAAGCAACCGAAGAACCTTACCAGGCTTGTGATGACATCGTCTGAAA
TCCCTGGGGACAGGGGCTTCCCCCTTCGGGGACAGAGTGACAGATGGGTGCATAGTTGTCGTCAGCTCG
TGTCGTGAGATGTTTTGGGGTTAAGTCCCGCAACGAGCGCAACCCCTGACCTTAGTTGCCAGCATTGAGTT
GGGGCACTCTAAGGTGACTGCCGGGGGACAAACCGGAGGAAGGTGGGGGATGAGTCAAATCATCATGCC
CTTATGACCTGGGGTACACACACGTGCTACAATGGATGGTACAAAAGGGCTGCGAGACCGCGAGGTTAAGC
CAATCCCAGAAGGCATTCCAGTTTCGGATTTGCAGGCTGCAACCCGCTGCATGAAGCCGGAATCGCTAG
TAATCGCGGATCA

BTX74,

ATATATATGCAAGTCGTGCGGACCTTTTTAAAAAGCTTGCTTTTTAAAAAGGTTAGCGGGCGGACGGGTGA
GTAACACGTGGGCAACCTGCCTGTAAGATCGGGATAACGCCGGGAAACCGGGGGCTAATACCGGATAGTT
TTTTTCCCTCCGCATGGAGGAAAAAGGAAAGACGGCTTCTGCTGTCACTCCTCTGATGGGCCCGCGGC
ATTAGCTAGTTGGTGGGGTAACGGCTCACCAAGGGAACGATGCGTATCCGACCTGAGAGAGGGTGATCGG
CCACATTGGGACTGAGACACGGCCCCAACTCCTACGGGAGGCAGCAGTAGGGAATCTTCCAAAATGTGG
ACGAAAGTCTGACGGAGCAACGCCGCTGAGTGAAGAAGGCCTTCGGGTCGTAAAACCTCTGTTGCCGGGG
AAGAACAAGTGCCGTTTGAACAGGGCGGCCTTGACGGTACCCGGCCAGAAAGCCACGGCTAACTACGT
GCCAGCAGCCGCGGTAATACGTAGGTGGCAAGCGTTGTCCGGAATTATTGGGCGTAAAGCGCGCGCAGGC
GGCTTTCTTAAGTCTGATGTGAAAATTCTTGCGGCTCAACCGCAAGCGGTCAATTGGAAAAGTGGGAGGCTT
GAGTGCAGAAGAGGAGAGTGAATTTCCACGTGTAGCGGTGAAATGCGTAGAGATGTGGAGAAAACCCAGT
GGCGAAGGCGGCTCTCTGGTCTGTAACGTGACGCTGAGGCGCGAAAAGCGTGGGGAGCAAACCGGATTAGA
TTAACGTGGTAGTCCAAACGGAAAACAATAAGGGTAAAGAATAAAAAGGGTTTACGCCCTTATGCTACAA
CTAACGCTTTTACCCTTTCGCTGGGGGAGTACGGCGCAAGGGTAAACTAAAGGAATTGACGGGGGGCC
CCACAAGCGATGGAGACAAGTGGTTAATTCGAAGCAACCGAAGAACCTTACCAGGCTTGTGATGACATCGT
CTGAAATCCCTGGGGACAGGGGCTTCCCCCTTCGGGGACAGAGTGACAGATGGGTGCATAGTTGTCGTC
AGCTCGTGTGAGATGTTTTGGGGTTAAGTCCCGCAACGAGCGCAACCCCTGACCTTAGTTGCCAGCAT
TCAGTTGGGGCACTCTAAGGTGACTGCCGGGGGACAAACCGGAGGAAGGTGGGGGATGAGTCAAATCATC
ATGCCCTTATGACCTGGGGTACACACACGTGCTACAATGGATGGTACAAAAGGGCTGCGAGACCGCGAGG
TTAAGCCAATCCCAGAAGGCATTCCAGTTTCGGATTTGCAGGCTGCAACCCGCTGCATGAAGCCGGAAT
CGCTAGTAATCGCGGATCAAAAAA

BTX75,

ATGCAAGTCGTGCGGACCTTTTTAAAAAGCTTGCTTTTTAAAAAGGTTAGCGGGCGGACGGGTGAGTAACACG
TGGGCAACCTGCCTGTAAGATCGGGATAACGCCGGGAAACCGGGGGCTAATACCGGATAGTTTTTTTTCCC
TCCGCATGGAGGAAAAAGGAAAGACGGCTTCTGCTGTCACTCCTCTGATGGGCCCGCGGCATTAGCTA
GTTGGTGGGGTAACGGCTCACCAAGGGAACGATGCGTATCCGACCTGAGAGAGGGTGATCGGCCACATTG
GGACTGAGACACGGCCCCAACTCCTACGGGAGGCAGCAGTAGGGAATCTTCCCAAATGTGGACGAAAGT
CTGACGGAGCAACGCCGCGTGAGTGAAGAAGGCCTTCGGGTCGTAAAACCTCTGTTGCCGGGGAAGAACAA
GTGCCGTTTGAACAGGGCGGGCCTTGACGGTACCCGGCCAGAAAGCCACGGCTAACTACGTGCCAGCAG
CCGCGGTAATACGTAGGTGGCAAGCGTTGTCCGGAATTATTGGGCGTAAAGCGCGCGCAGGCGGCTTTCT
TAAGTCTGATGTGAAAATTCTTGCGGCTCAACCGCAAGCGGTCAATTGGAAACTGGGAGGCTTGAGTGCAG
AAGAGGAGAGTGGAATTCACGTGTAGCGGTGAAATGCGTAGAGATGTGGAGGAACACCAGTGGCGAAGG
CGGCTCTCTGGTCTGTAACGTGACGCTGAGGCGCGAAAAGCGTGGGGAGCAAACCGGATTAGATTAACGTG
GTAGTCCAAACGGAAAACAATAAGGGTAAAGAATAAAAAGGGTTTACGCCCTTATGCTACAACATAACGCT
TTAACCCTTTCGCTGGGGGAGTACGGCGCAAGGGTTAAACTAAAGGAATTGACGGGGGGCCCCACAAGC
GATGGAGACAAGTGGTTAATTCGAAGCAACCGAAGAACCTTACCAGGCTTGATGACATCGTCTGAAATC
CCTGGGGACAGGGGCTTCCCCCTTCGGGGACAGAGTGACAGATGGGTGCATAGTTGTCGTACGCTCGTG
TCGTGAGATGTTTGGGGTTAAGTCCCGCAACGAGCGCAACCCCTGACCTTAGTTGCCAGCATTAGTTGG
GGCACTCTAAGGTGACTGCCGGGGGACAAACCGGAGGAAGGTGGGGGATGAGTCAAATCATCATGCCCT
TATGACCTGGGGTACACACACGTGCTACAATGGATGGTACAAAAGGGCTGCGAGACCGCGAGGTTAAGCCA
ATCCCAGAAGGCATTCCAGTTTCGGATTTGCAGGCTGCAACCCGCTGCATGAAGCCGGAATCGCTAGTA
ATCGCGGATCA

BTX76

AAAAATGCAAGTCGTGCGGACCTTTTTAAAAAGCTTGCTTTTTAAAAAGGTTAGCGGGCGGACGGGTGAG
TAACACGTGGGCAACCTGCCTGTAAGATCGGGATAACGCCGGGAAACCGGGGGCTAATACCGGATAGTTT
TTTTCCCTCCGCATGGAGGAAAAAGGAAAGACGGCTTCTGCTGTCACTCCTCTGATGGGCCCGCGGC
TTAGCTAGTTGGTGGGGTAACGGCTCACCAAGGGAACGATGCGTATCCGACCTGAGAGAGGGTGATCGGC
CACATTGGGACTGAGACACGGCCCCAACTCCTACGGGAGGCAGCAGTAGGGAATCTTCCCAAATGTGGA
CGAAAGTCTGACGGAGCAACGCCGCGTGAGTGAAGAAGGCCTTCGGGTCGTAAAACCTCTGTTGCCGGGGA
AGAACAAGTGCCGTTTGAACAGGGCGGGCCTTGACGGTACCCGGCCAGAAAGCCACGGCTAACTACGTG
CCAGCAGCCGCGGTAATACGTAGGTGGCAAGCGTTGTCCGGAATTATTGGGCGTAAAGCGCGCGCAGGCG
GCTTTCTTAAGTCTGATGTGAAAATTCTTGCGGCTCAACCGCAAGCGGTCAATTGGAAAACGGGAGGCTTG
AGTGCAGAAGAGGAGAGTGGAATTCACGTGTAGCGGTGAAATGCGTAGAGATGTGGAGGAACACCAGTG
GCGAAGGCGGCTCTCTGGTCTGTAACGTGACGCTGAGGCGCGAAAAGCGTGGGGAGCAAACCGGATTAGAT
TAACGTGGTAGTCCAAACGGAAAACAATAAGGGTAAAGAATAAAAAGGGTTTACGCCCTTATGCTACAAC
TAACGCTTTAACCCTTCGCTGGGGGAGTACGGCGCAAGGGTTAAACTAAAGGAATTGACGGGGGGCCC
CACAAGCGATGGAGACAAGTGGTTAATTCGAAGCAACCGAAGAACCTTACCAGGCTTGATGACATCGTC
TGAAATCCCTGGGGACAGGGGCTTCCCCCTTCGGGGACAGAGTGACAGATGGGTGCATAGTTGTCGTCA
GCTCGTGTGCTGAGATGTTTGGGGTTAAGTCCCGCAACGAGCGCAACCCCTGACCTTAGTTGCCAGCATT
CAGTTGGGGCACTCTAAGGTGACTGCCGGGGGACAAACCGGAGGAAGGTGGGGGATGAGTCAAATCATCA
TGCCCCCTTATGACCTGGGGTACACACACGTGCTACAATGGATGGTACAAAAGGGCTGCGAGACCGCGAGGT
TAAGCCAATCCCAGAAGGCATTCCAGTTTCGGATTTGCAGGCTGCAACCCGCTGCATGAAGCCGGAATC
GCTAGTAATCGCGGATCAAA

BTX83

ATGCAAGTCGTGCGGACCTTTTTAAAAAGCTTGCTTTTTAAAAAGGTTAGCGGGCGGACGGGTGAGTAACA
CGTGGGCAACCTGCCTGTAAGATCGGGATAACGCCGGGAAACCGGGGGCTAATACCGGATAGTTTTTTTC
CCTCCGCATGGAGGAAAAAGGAAAGACGGCTTCTGCTGTCACTCCTCTGATGGGCCCGCGGCATTAGC
TAGTTGGTGGGGTAACGGCTCACCAAGGGAACGATGCGTATCCGACCTGAGAGAGGGTGATCGGCCACAT
TGGGACTGAGACACGGCCCCAACTCCTACGGGAGGCAGCAGTAGGGAATCTTCCAAAATGTGGACGAAA
GTCTGACGGAGCAACGCCGCTGAGTGAAGAAGGCCTTCGGGTGTA AAACTCTGTTGCCGGGGAAGAAC
AAGTGCCGTTTCGAACAGGGCGGCCTTGACGGTACCCGGCCAGAAAGCCACGGCTAACTACGTGCCAGC
AGCCGCGGTAATACGTAGGTGGCAAGCGTTGTCCGGAATTATTGGGCGTAAAGCGCGCGCAGGCGGCTTT
CTTAAGTCTGATGTGAAAATTCTTGCGGCTCAACCGCAAGCGGTCAATTGGAAACTGGGAGGCTTGAGTGC
AGAAGAGGAGAGTGGAATTCACGTGTAGCGGTGAAAATGCGTAGAGATGTGGAGGAACACCCAGTGGCGAA
GGCGGCTCTCTGGTCTGTAACGTGACGCTGAGGCGCAAAAAGCGTGGGGAGCAAACCGGATTAGATTAACG
TGGTAGTCCAAACGGAAAACAATAAGGGTAAAGAATAAAAAGGGTTACGCCCTTATGCTACAACATAACG
CTTTAACCACCTTCGCCTGGGGGAGTACGGCGCAAGGGTAAACTAAAGGAATTGACGGGGGGCCCCACAA
GCGATGGAGACAAGTGGTTAATTCGAAGCAACGGAACCTTACCAGGTCTTGATGACATCGTCTGAAA
TCCCTGGGGACAGGGGCTTCCCTTCGGGGACAGAGTGACAGATGGGTGCATAGTTGTCGTCAGACG
TGTCGTGAGATGTTTGGGGTTAAGTCCCGCAACGAGCGCAACCCCTGACCTTAGTTGCCAGCATTCAGTT
GGGGCACTCTAAGGTGACTGCCGGGGGACAAACCGGAGGAAGGTGGGGGATGAGTCAAATCATCATGCC
CTTATGACCTGGGGTACACACACGTGCTACAATGGATGGTACAAAAGGGCTGCGAGACCGCGAGGTTAAGC
CAATCCCAGAAGGCATTCCAGTTTCGGATTTGCAGGCTGCAACCCGCTGCATGAAGCCGGAATCGCTAG
TAATCGCGGATCA

EK 26. *B. subtilis* Ksilanaz genine ait baz dizisi

GGGCCGTCGACGAATTGGAGGCTCGGTTACATCCCACAGTTACCCGTATTGTC AATTCTTTTTTTTTTCT
TTTTCAGAGCCCTTTCAAATAAAAAAATCTTGCAACTTCTTTTGTAAAAACTGATCTAAGCTATCATCCT
CAAATTTTTGGTCAATAATTCTAATTGAGCAGTTCTTTTTCTTAGTATAACCTTAATTGTTTTTCTTCTTC
AGTTCTTCATATTCTTCATAAATTTGCTTCCCTTCATTAGACAAGCGGCAGCAACAATGACTTCACAATC
TCTAATATATATCTCCTTTATACGAAAAGATCCAATGGGAATTCATTTACAGATATTACTCCATCTGAAT
TAGAAACAAGAATTGTGATCCTGCGAAAAAAGGATCAGGATATGGTGGAAACAAGGCCACTTATAATGCAT
TTCTAGGTATTTGTAATTGAATTACAAATACTTTTTAATATTTTGCTCATGAATTCGTGTATTATACTGA
AGGGGACGATCAAAAAGCTTTGGCGTTAGTAATTA AAAATGTTTTAAATGTATACGAGTGCTGCCTCAAA
GTCGGAAAAAATATTATAGGAGGTAACATATGTTTTAAGTTTAAAAAAGAATTTCTTAGTTGGATTATC
GGCAGCTTTAATGAGTATTAGCTTGTTTTTCGGCAACCGCCTCTGCAGCTAGCACAGACTACTGGCAAAA
ATTGGACTGATGGGGGCGGTATAGTAAACGCTGTCAATGGGTCTGGCGGGA ACTACAGTGTTAATTGGT
CTAATACCGGAAATTTTCGTTGTTGGTAAAGGTTGGACTACAGGTTCCGCAATTTAGGACGATAAACTATAA
TGCCGGAGTTTGGGCGCCGAATGGCGATGGGTATTTTTGACTTTGTATGGCTGGACGAGATCGCCCCCTT
CATAGAATATTATGTGTGGATTTCATGGGTACTTATAGGCCACCGGAACGTATAAAGGTACTGTAAAGG
GTGATGGAGGTACATATGACATATATACAACTACACGTTATAACGCACCCCTTCCATTGATGGCGATCGC
ACTACTTTTTACGCAGTACTGGAGTGTTTCGTGACAGCAAGAGAGACCAACTGGAAGTAACGCTACAATCA
CTTTCAGCAATCATGTGAACGCATGGAAGAGCCATGGAATGATGAATCTGGGCAGTAATTGGGCTTACCC
AAGTCATGGCGACAGAAGGATATCAAAGTAGTGGAAGTTCTAACGTAATAACAGTGTGGTAACAGATCAT
CCTTAATCAGGGGATCCGGGCC

ÖZGEÇMİŞ

1. Adı Soyadı : ORHAN ULUÇAY
2. Doğum Tarihi : KARS - 17.02.1986
3. Unvanı : Uzman
4. Çalıştığı Kurum : Kafkas Üniversitesi – 2013
5. Lisans : Kafkas Üniversitesi –Biyoloji - 2010
5. Yüksek Lisans : Kafkas Üniversitesi – Moleküler Biyoloji – 2013

6. Yayınlar

6.1. Uluslararası hakemli dergilerde yayınlanan makaleler (SCI, SSCI, Arts and Humanities)

-Bandyopadhyay, K.; Uluçay, O.; Şakiroğlu, M.; Udvardi, M.K.; Verdier, J. Analysis of Large Seeds from Three Different *Medicago truncatula* Ecotypes Reveals a Potential Role of Hormonal Balance in Final Size Determination of Legume Grains. Int. J. Mol. Sci. 2016, 17, 1472.

6.2. Ulusal hakemli dergilerde yayınlanan makaleler

-Sakiroglu, M., D. Ilhan, M. Mavioglu Kaya, O. Demirozogul, O. Uluçay, and B. Eren. 2011. Moleküler Veriler Işığında *Medicago Sativa* L. Tür Kompleksinin Mevcut Durumu. Kafkas Üniversitesi Fen Bilimleri Enstitüsü Dergisi. 4(1):32-42

6.3. Uluslararası bilimsel toplantılarda sunulan ve bildiri kitabında basılan bildiriler

-6. Uluslararası Moleküler Biyoloji ve Biyoteknoloji Kongresi Doğal Ortamlardan Elde Edilen Çeşitli Termofilik Mikroorganizmaların Moleküler Tayini

7. Projeler

- Baklagillerde Tohum Büyüklüğü ve Protein İçeriğinin Genetik Kontrolü BAP2013-MMF-70 11.02.2012 - 11.02.2013

- Doğal ortamlardan elde edilen çeşitli *Bacillus* türlerinde 1,4-β-endo ksilenaz enziminin üretilmesi, saflaştırılması ve ticari kullanılabilirliği, *Bacillus*'dan endo 1,4-beta ksilenaz enziminin rekombinant ve yarı sentetik nanoenzim olarak üretimi) (2016- Devam)

8. Katıldığı Bilimsel Etkinlikler

-Mühendislik ve İlgili Disiplinlerde Araştırma Projesi Hazırlama Eğitimi. TÜBİTAK (BİDEB-2237). (Proje düzenleme Kurulu üyesi) 2014

-Disiplinler Arası Araştırma Projesi Hazırlama Eğitimi. TÜBİTAK (BİDEB-2237). (Proje düzenleme Kurulu üyesi) 2015